

Hobby Elektronica & Actueel IC-handboek

**Naslagwerk over theorie en praktijk
van de elektronica**

eindredactie

Jos Verstraten

**aanvulling
129**

www.hobbyelektronica.nu

Vego VOF

Postbus 32.014, 6370 JA Landgraaf

CIP-GEGEVENS

Verstraten, Jos

Hobby Elektronica & Actueel IC-handboek

Groot praktijkboek voor de elektronicus met
bouwhandleidingen, theoretische artikelen,
componentengegevens en adressenlijsten

Losbladig, geïllustreerd
Trefwoord: elektronica

Uitgave

Vego VOF, Postbus 32.014, 6370 JA Landgraaf www.vego.nl
www.hobbyelektronica.nu

Contact

E-mail vego_vof@compuserve.com
Telefoon: 045-533.22.00
Fax: 045-533.22.02

Elektronische pagina-opmaak

Vego VOF, Landgraaf www.vego.nl

POD-productie

CPF Landgraaf www.cpf-landgraaf.nl

Cover en ringband ontwerp

Design Studio Sensation, Haarlem www.ds-sensation.nl

ISBN-10

90-805610-4-5

ISBN-13

978-90-805610-4-5

NUR

468

SISO

663.1

DISCLAIMER

Samensteller en uitgever zijn zich volledig bewust van hun taak een zo betrouwbaar mogelijke uitgave te verzorgen. Voor eventueel in deze uitgave voorkomende onjuistheden kunnen zij echter geen aansprakelijkheid aanvaarden.

© 2006, Vego VOF, Landgraaf, Nederland

Behoudens de in/of krachtens de auteurswet 1912 vastgestelde uitzonderingen mag niets uit deze uitgave worden verveelvoudigd en/of openbaar gemaakt door middel van druk, fotokopie, microfilm, software of op welke andere manier dan ook, zonder voorafgaandelijke schriftelijke toestemming van Vego VOF, gevestigd te Landgraaf, die daartoe met uitzondering van ieder ander door de auteursrechthebbende(n) is gemachtigd.

1

Algemene inhoud

2 Trefwoorden en begrippen

- 2/1 Inhoud
- 2/2 Trefwoorden en begrippen: basiswerk 2004
- 2/3 Trefwoorden en begrippen: telecommunicatie
- 2/4 Trefwoorden en begrippen: digitale audiobewerking
- 2/5 Trefwoorden en begrippen: Home Cinema System & HDTV

3 Principes

- 3/1 Inhoud
- 3/2 De natuurkundige basis van de elektronica
- 3/3 Elektronische onderdelen en hun eigenschappen
- 3/4 Schakelingen met passieve componenten
- 3/6 Grondbeginselen van de digitale techniek
- 3/7 Grondbeginselen van de akoestiek en van de audio-techniek
- 3/8 Het hobby-laboratorium
- 3/10 Basis-schakelingen met dioden
- 3/11 Basis-schakelingen met transistoren
- 3/12 Basis-schakelingen met operationele versterkers
- 3/13 Basis-schakelingen met IC's
- 3/14 Theorie en praktijk van voedingen
- 3/15 Principes van ADC en DAC
- 3/16 Principes van Phase Locked Loop (PLL)
- 3/17 Principes en doelstellingen van vage logica
- 3/18 Principes van energieregeling en -bezuiniging
- 3/19 Principes van computer-elektronica
- 3/20 Theorie en praktijk van telecommunicatie
- 3/97 Experimenteren met de universele analoge trainer
- 3/98 Van principes naar praktijk: denken in hoog en laag
- 3/99 Van principes naar praktijk: universele experimenteerprint

4 Voorbeeldschakelingen

- 4/1 Inhoud
- 4/2 Muziek-elektronica

4/3	Amateur-radio
4/4	Radio-ontvangers
4/5	Robotica
4/6	Microcomputer techniek
4/7	De bouw van meet-apparatuur
4/8	Auto-elektronica
4/9	Modelbouw- en afstandsbesturingsschakelingen
4/10	Foto-, dia-, film- en video-schakelingen
4/12	Luidsprekersystemen
4/13	Voedingsschakelingen
4/14	Overige schakelingen
4/15	Schakelingen voor licht-regeling

5 Home electronics

5/1	Inhoud
5/2	Radio
5/3	Televisie
5/4	Video
5/5	Audio-Hifi: bandspeelapparatuur
5/6	Audio-Hifi: platenspelers
5/7	Audio-Hifi: compact disk spelers
5/8	Audio-Hifi: digital compact cassette
5/9	Audio-Hifi: Surround Sound systemen
5/10	Draadloze bediening van AV-apparatuur
5/11	MP3, een internationale standaard voor audio compressie
5/12	Multimedia: werking en principes van digitale foto-camera's
5/13	Satellietontvangstechniek
5/14	Domotica
5/16	CD-uitbreidingen: Photo-CD
5/17	CD-uitbreidingen: Video-CD
5/18	CD-uitbreidingen: CD-Interactive
5/19	CD-uitbreidingen: CD-Recordable
5/20	CD-uitbreidingen: DVD, Digital Versatile Disk
5/21	CD-uitbreidingen: BD, Blu-ray Disc
5/30	PC-uitbreidingen: tuning & upgrading utilities

6 Data-handboek

6/1	Inhoud
6/2	Dioden
6/3	Transistoren
6/4	Thyristoren en triac's
6/5	Digitaal geïntegreerde schakelingen
6/6	Lineair geïntegreerde schakelingen
6/7	Opto-elektronische componenten

6/8	Elektronische symbolen en hun betekenis
6/9	Microprocessoren en hun perifere schakelingen
6/10	Connector-systemen en internationale standaarden
6/11	Eigenschappen van technische grondstoffen
6/12	Foot-prints van de belangrijkste TV-satellieten
6/13	Koelprofielen en hun koeleigenschappen
6/14	Luidsprekers en hun eigenschappen
6/15	Internationale coderingen van halfgeleiders
6/16	Nauwkeurige weerstandswaarden met de standaard E-12 reeks
6/17	Nomogram voor het bepalen van het toelaatbare vermogen van weerstanden
6/18	Componenten-waarden volgens de IEC-standaard
6/50	Interessante buitenbeentjes
6/99	Alfabetische data-base van geïntegreerde schakelingen
6/100	Functionele data-base van geïntegreerde schakelingen

7 Actueel IC-handboek

7/1	Inhoud
-----	--------

8 Nieuwe ontwikkelingen in de vakwereld

8/1	Inhoud
8/2	Voor werkplaats en laboratorium
8/3	Meettechniek
8/4	Computer-techniek
8/5	Spelletjes en computer-programma's
8/6	Vakliteratuur
8/7	Modelbouw
8/8	CD-ROM's
8/9	Wetenschap en techniek
8/10	Audiotechniek

9 Wetten en regels

9/1	Inhoud
9/2	MARC

10 Geïllustreerde encyclopedie van de elektronica

11 Wat koop ik waar?

11/1	Inhoud
11/2	Lijst van instellingen
11/3	Elektronica onderdelen leveranciers in Nederland
11/4	URL's van 4.784 internationale elektronica- en IT-bedrijven
11/5	IC-vertegenwoordigers in Nederland en België
11/6	Elektronica onderdelen leveranciers in België

11/7	Interessante elektronica-sites op het Internet
11/8	IC-fabrikanten op het Internet
11/9	Profiel van de belangrijkste IC-fabrikanten

3/8.9

Software voor de ontwerper

Inhoud

- 3/8.9.1 Kiezen van R- en C- waarden**
(verschenen in de 29e aanvulling)
- 3/8.9.2 Protel-Autotrax, een printontwerp programma**
(verschenen in de 31e aanvulling)
- 3/8.9.3 Torbase, een transistor database**
(verschenen in de 37e aanvulling)
- 3/8.9.4 Qaplus, een PC hardware tester**
(verschenen in de 38e aanvulling)
- 3/8.9.5 Ontwerpen met Ultimate**
(verschenen in de 40e aanvulling)
- 3/8.9.6 Maximus-CBCS**
(verschenen in de 41e aanvulling)
- 3/8.9.7 Torselect, een transistor selectie systeem**
(verschenen in de 51e aanvulling)
- 3/8.9.8 CAAD 3.0, een ontwerpprogramma voor luidsprekerboxen**
(verschenen in de 74e aanvulling)
- 3/8.9.9 Schema's tekenen met Electronic Design 96**
(verschenen in de 75 aanvulling)

Vego's bestelservice voor oude hoofdstukken

Alle hoofdstukken uit dit naslagwerk kunt u afzonderlijk bestellen.
Ga hiervoor naar onze internetsite www.hobbyelektronica.nu en klik de menu-optie "Bestellen hoofdstukken" aan.

8.9 Software voor de ontwerper

3/8.9.10 Data verzamelen via “Infifax”-systemen

(verschenen in de 76e aanvulling)

3/8.9.11 <http://www.vego.nl>, een Nederlandstalige site voor de elektronicus

(verschenen in de 81e aanvulling)

3/8.9.12 Schema's tekenen met Abacoms sPlan versie 5.0

(verschenen in de 115e aanvulling)

3/8.9.13 Printen ontwerpen met Abacoms Sprint Layout versie 4.0

(verschenen in de 111e aanvulling)

3/8.9.14 Fourier Synthese, experimenteren met harmonischen

(verschenen in de 89e aanvulling)

3/8.9.15 Oscilloscope for Windows, versie 2.51

(verschenen in het 2e basiswerk)

3/8.9.16 Printen ontwerpen met “PCB Designer” versie 1.5.5

(verschenen in de 91e aanvulling)

3/8.9.17 De Elektuur IC databank

(verschenen in de 92e aanvulling)

3/8.9.18 WWW.ZOEKELEKTRONICA.NL

(verschenen in de 93e aanvulling)

3/8.9.19 www.datasheetlocator.com, snel vinden van datasheet's op het Internet

(verschenen in de 94e aanvulling)

3/8.9.20 www.vego.nl/hobby, dé site van “HE&IC”

(verschenen in de 101e aanvulling)

3/8.9.21 Frequency Counter for Windows, versie 1.01

(verschenen in het 2e basiswerk)

3/8.9.22 Sine Wave generator, versie 3.0

(verschenen in het 2e basiswerk)

3/8.9.23 Schakelingen op strip board ontwerpen met Abacoms Loch Master

(verschenen in de 113e aanvulling)

3/8.9.24 Frontplaten ontwerpen met Abacoms Front Designer versie 2.0

(verschenen in de 114e aanvulling)

3/8.9.25 Een functiegenerator met AudioWave versie 2.0 van Abacom

(verschenen in de 116e aanvulling)

8.9 Software voor de ontwerper

3/8.9.26 Meetwaarden registreren met RealView 2.0 van Abacom
(verschenen in de 120e aanvulling)

3/8.9.27 Blokschema's simuleren met de ProfiLab's van Abacom
(verschenen in de 125e en 126e aanvulling)

3/8.9.28 Edison4, een elektronica ontwerp laboratorium op uw PC
(verschenen in de 129e aanvulling)

8.9 Software voor de ontwerper

3/8.9.28

Edison4, een elektronica ontwerp laboratorium op uw PC

Kennismaking

Spelenderwijs elektrische en elektronische schakelingen opbouwen

Edison4 is een 3D-omgeving, waarin u spelenderwijs elektronica schakelingen opbouwt, simuleert, test en meet. Edison4 is een uniek hulpmiddel waarmee u al experimenterend de basisprincipes van de elektriciteitsleer en de elektronica leert. Het programma bevat tientallen driedimensionele realistische afbeeldingen van elektrische en elektronische componenten, die u met de muis naar uw virtuele werktafel of virtueel breadboard sleept en met elkaar verbindt. Nadien kunt u meetapparatuur toevoegen en uw schakeling in real time uittesten en meten.

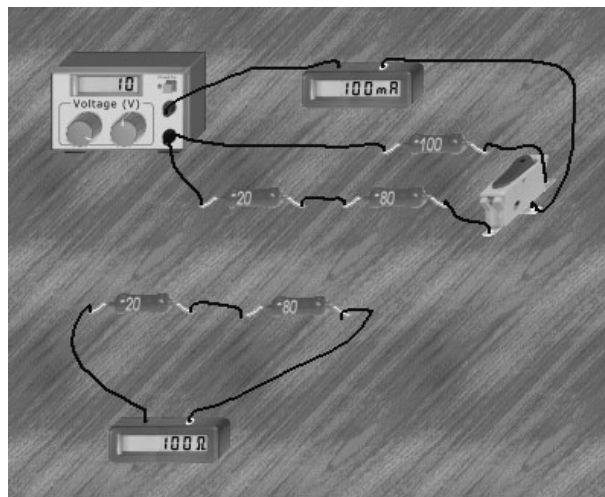
Automatisch schema tekenen

Een unieke eigenschap van Edison4 is dat de software automatisch het schema van uw schakeling tekent! In het linker venster maakt u uw schakeling met realistische componenten, in het rechter venster ziet u onmiddellijk hoe het schema van uw schakeling er uit ziet!

Eenvoudige schema's op uw virtuele werktafel

Eenvoudige schema's, zoals de wet van Ohm demonstratie uit figuur 3/8.9.28-1,

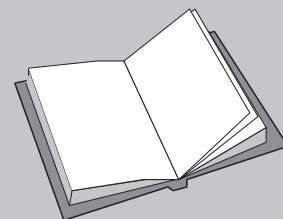
bouwt u met Edison4 snel op uw virtuele werktafel door de onderdelen met de muis uit de voorraad naar de werktafel te slepen.



Figuur 3/8.9.28-1: Eenvoudige schema's kunt u op uw virtuele werktafel samenstellen.

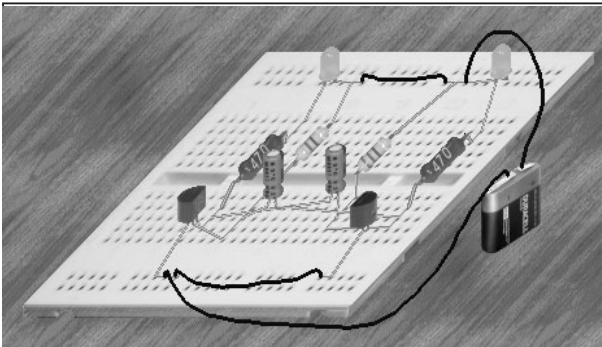
LEES OOK:

Hoofdstuk 3/8.9.27



8.9 Software voor de ontwerper

Nadien voegt u de voeding en een paar meters toe. Tot slot legt u met de muis de bedrading tussen de onderdelen. De meters geven onmiddellijk de juiste meetwaarden in de schakeling aan. In dit voorbeeld wordt de totale weerstand van een serieschakeling gemeten en de stroom die een spanning van 10 V door een weerstand van 100 Ω stuurt. De uitgangsspanning van de voeding is uiteraard in te stellen door met de muis links en recht op de knoppen te klikken.



Figuur 3/8.9.28-2: Dank zij het virtuele breadboard stelt u uw schakelingen realistisch samen.

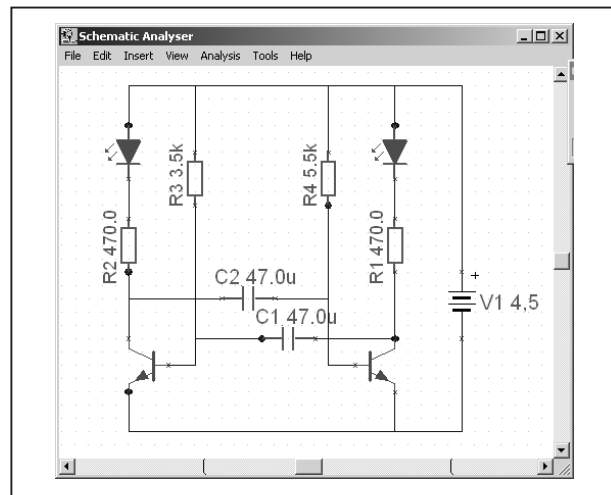
Schema's op virtueel breadboard

Voor ingewikkelder schema's kunt u gebruik maken van het in Edison4 aanwezige virtueel breadboard, zie figuur 3/8.9.28-2. U sleept de onderdelen uit de voorraad naar het breadboard, u ziet de aansluitdraden van de componenten van gaatje naar gaatje springen. Met één klik van de muis fixeert u de onderdelen op de plaats waar u ze wilt hebben. Nadien kunt u de aansluitdraden met de muis verplaatsen naar andere gaatjes in het breadboard als u dat beter uitkomt.

De automatische "Schematic Analyser"

Edison4 biedt als unieke extra functie de automatische "Schematic Analyser" van figuur 3/8.9.28-3. Terwijl u op uw virtuele

le werktafel of breadboard uw schakeling driedimensionaal opbouwt, stelt de "Schematic Analyser" volledig automatisch het schema van uw schakeling samen. Uiteraard kunt u dit schema nadien editen, waarbij rubber banding wordt toegepast. Als u een onderdeel verplaatst, worden de verbindingen van dit onderdeel met de rest van de schakeling automatisch herstelt. Via het menu "Analysis" kunt u uw schakeling op alle mogelijke manieren uittesten en de meetresultaten onder de vorm van grafieken op uw scherm zetten.



Figuur 3/8.9.28-3: In het venster van de "Schematic Analyser" ziet u het schema van uw schakeling onderdeel na onderdeel groeien.

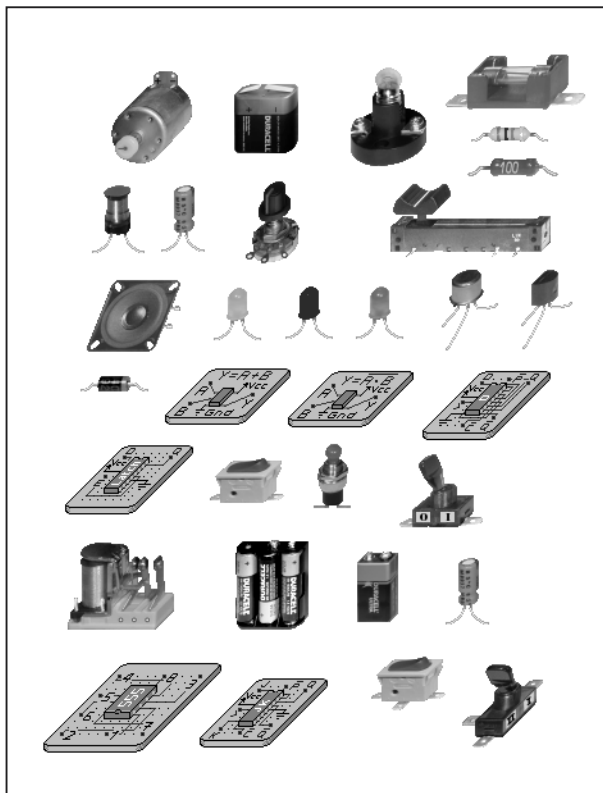
De aanwezige onderdelen

Edison4 bevat alle standaard elektronische onderdelen, zie figuur 3/8.9.28-4, waarmee u vrijwel iedere analoge of digitale schakeling kunt samenstellen:

- enkelvoudige schakelaar;
- omschakelaar;
- drukknop;
- relais met omschakelcontact;
- motor;

8.9 Software voor de ontwerper

- diverse batterijen;
- vaste weerstand;
- draaipotentiometer;
- schuifpotentiometer;
- condensator;
- spoel;
- luidspreker;
- diode;
- LED, rood, groen en geel;
- gloeilampje;
- zekering;
- bipolaire NPN- en PNP-transistor;
- MOSFET N- en P-type;
- operationele versterker 741;
- timer 555;
- logische poorten AND, OR, NAND, NOR, NOT, XOR;
- flip-flop's van het type D en JK;
- latch.



Figuur 3/8.9.28-4: De beschikbare onderdelen hebben een fotorealistische weergave.

Opmerkelijk is dat de vormgeving van de IC's automatisch verandert als u het breadboard inschakelt. De platte voorstelling van figuur 3/8.9.28-4, ideaal voor ontwerpen op uw virtuele werktafel, verandert dan in een écht DIL-IC.

Alle onderdelen werken als hun “echte” soortgenoten:

- u kunt schakelaars en potentiometers met de muis bedienen;
- als er stroom door een lampje of een LED vloeit gaat dit onderdeel licht uitstralen;
- als er te veel stroom door een zekering vloeit gaat dit onderdeel defect;
- de luidspreker geeft via uw geluidskaart geluid;
- als er stroom door de relaisspoel vloeit ziet u het contact schakelen.

Parameters van onderdelen instellen

Edison4 biedt twee mogelijkheden voor het instellen van de parameters van de componenten.

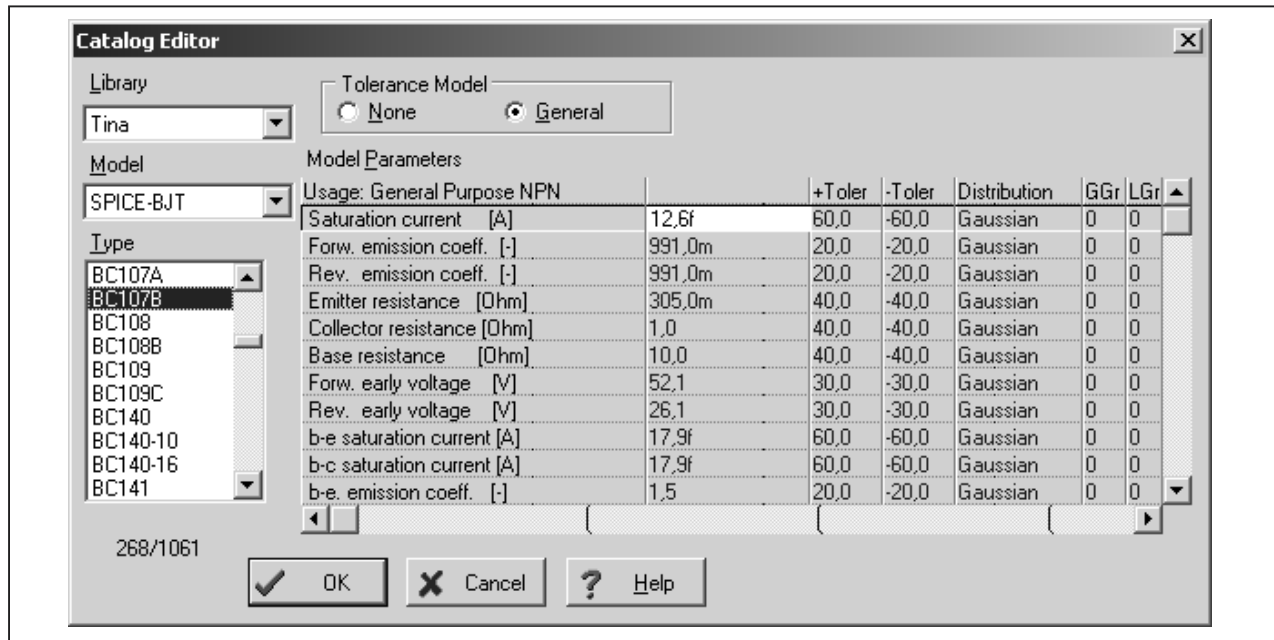
Als u in uw virtuele werktafel of virtueel breadboard op een onderdeel dubbelklikt, kunt u de basiseigenschappen van de onderdelen instellen, zie figuur 3/8.9.28-5, zoals:

- stroomversterking van transistoren;
- waarde en tolerantie van weerstanden, etc.;
- spoelspanning van relais;
- spanning van batterijen.

Deze optie is duidelijk bedoeld voor “beginnelingen”, die nog niet veel van elektronica afweten. Zij worden niet in verwarrend gebracht door allerlei ingewikkelde parameters.

Dubbelklikt u echter in de “Schematic Analyser” op hetzelfde onderdeel, dan kunt u vrijwel alle parameters van het SPICE-model instellen, zie figuur 3/8.9.28-6, zoals:

8.9 Software voor de ontwerper



Figuur 3/8.9.28-6: Het instellen van de parameters van een transistor in de “Schematic Analyser”.

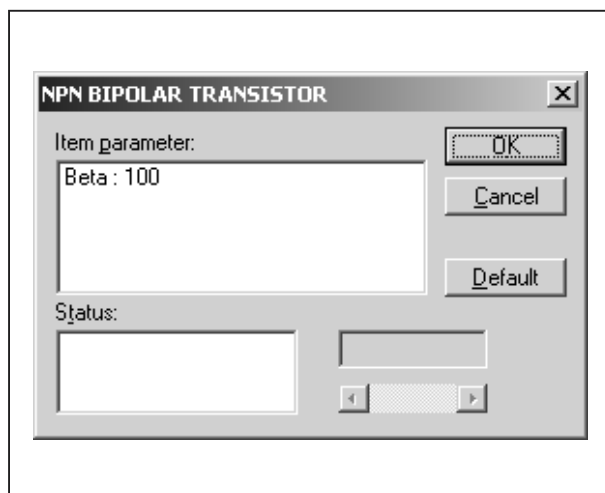
- temperatuurscoëfficiënten;
- inwendige weerstanden;
- grensfrequenties;
- contactweerstand;
- vertragingen.

u nog niet veel van elektronica afweet zullen zelfs de namen van de meeste parameters u immers (nog) niets zeggen.

Toleranties instellen

Op alle specificaties van een elektronisch onderdeel zitten er in het “echte” leven afwijkingen of toleranties. Als u de stroomversterking van één specifieke transistor meet als 456, dan zult u vaststellen dat vrijwel alle andere exemplaren van dit type een andere stroomversterking hebben.

Interessant is dat u in het venster van figuur 3/8.9.28-6 ook dit kunt simuleren door het instellen van een “Tolerantie-model”. Als u deze optie aanvinkt kunt u van iedere parameter niet alleen de gewenste waarde instellen, maar ook de maximale positieve en negatieve afwijking die op die waarde kan zitten. Bovendien kunt u kiezen tussen een “Uniforme” of een “Gaussiaanse” distributie van de afwijking. Als u dan vijf identieke transistoren naar uw werkblad sleept zul-



Figuur 3/8.9.28-5: Het instellen van de basiseigenschappen van de onderdelen.

Het is duidelijk dat deze optie alleen geschikt is voor geoefende elektronici, als

8.9 Software voor de ontwerper

len deze alle vijf iets afwijkende specificaties hebben.

Defecte onderdelen invoeren

Een interessante optie van Edison4 is dat u onderdelen defect kunt maken. In het venster van figuur 3/8.9.28-6 staat de parameter “Fault”. U kunt hier bij een transistor selecteren tussen:

- None;
- RB Open;
- RC Open;
- BE Short;
- BC Short;
- CE Short.

Bij weerstanden en dergelijke onderdelen staan de opties “Open” en “Short” ter beschikking.

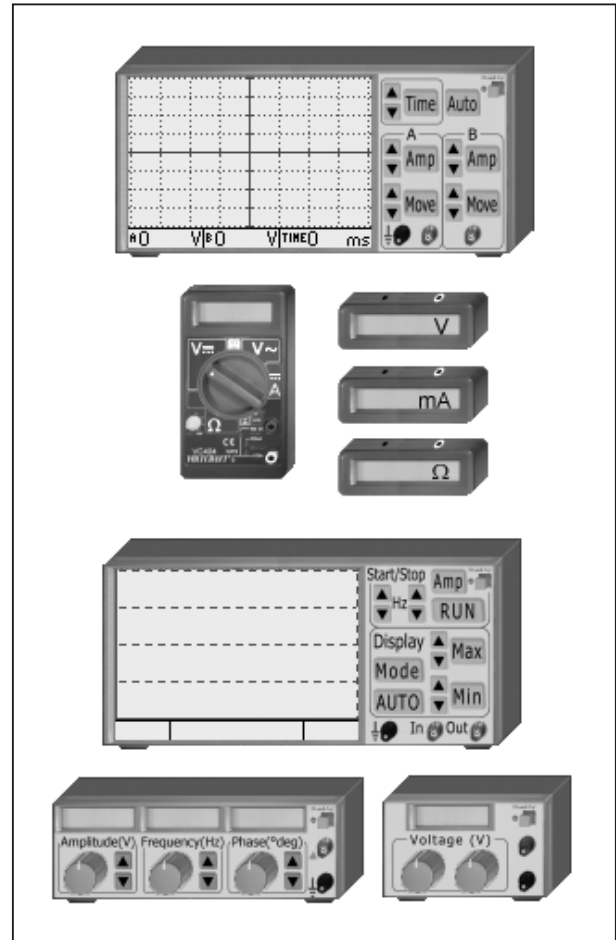
Dit is natuurlijk een zeer interessante optie voor het onderwijs. De docent kan een schema invoeren en een of meerdere onderdelen op een specifieke manier defect maken. Nadien is het aan de studenten om door middel van metingen te achterhalen waar het foute onderdeel zit.

De aanwezige meetapparatuur

Edison4 bevat de volgende meetapparaten, zie figuur 3/8.9.28-7:

- eenvoudige digitale meter voor gelijkspanning;
- eenvoudige digitale meter voor gelijkstroom;
- eenvoudige digitale meter voor weerstand;
- digitale universeelmeter;
- gelijkspanningsvoeding;
- tweekanaals oscilloscoop;
- frequentie-analyser;
- functiegenerator.

De knoppen kunt u bedienen met de muis, de meetresultaten verschijnen onmiddellijk in de display's.

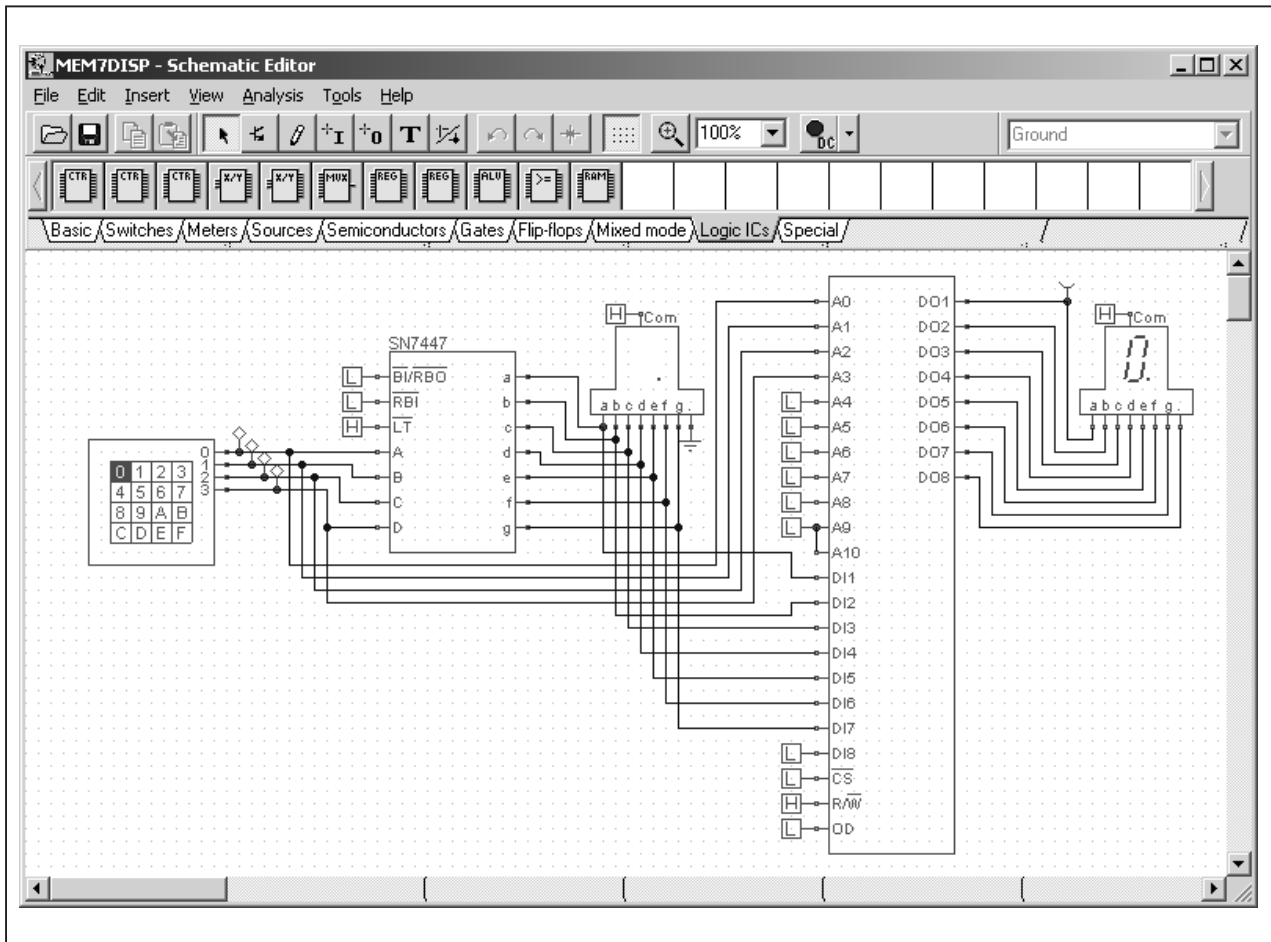


Figuur 3/8.9.28-7: Edison4 bevat een volledig meetinstrumentarium.

De meetapparatuur instellen

Net zoals bij de onderdelen kunt u, door op een meetinstrument te dubbelklikken, de instellingen van het apparaat wijzigen. Ook hier wordt rekening gehouden met “starters” en “gevorderden”. Door het dubbelklikken in het venster van het virtueel werkblad kunt u alleen de basisinstellingen van het meetapparaat wijzigen. Doet u hetzelfde in het venster van de “Schematic Analyser”, dan kunt u de eigenschappen van het instrument heel gedetailleerd instellen. Als voorbeeld hebben wij in figuur 3/8.9.28-8 het instellingenvenster van de functiegenerator weergegeven.

8.9 Software voor de ontwerper

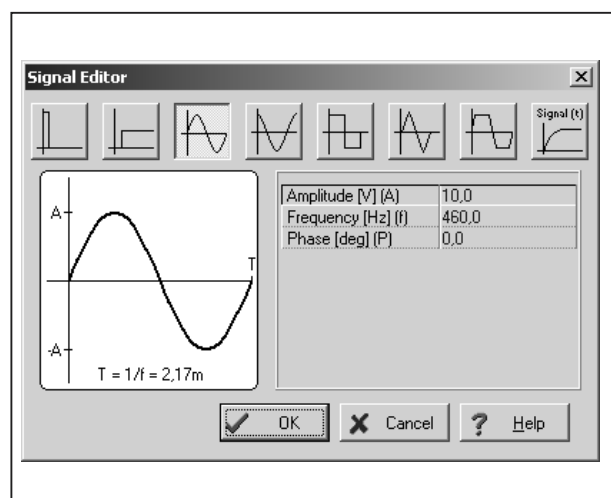


Figuur 3/8.9.28-9: Met de “Schematic Editor” kan de gevorderde elektronicus ingewikkelde schema’s tekenen, testen en evalueren.

In dit voorbeeld hebben wij gekozen voor een sinusuitgang en dan kunt u de amplitude, frequentie en fase instellen. Kiest u echter voor “General”, het voorlaatste symbooltje, dan kunt u van deze puls alle specificaties instellen:

- stijgtijd;
- daaltijd;
- positieve pulsbreedte;
- negatieve pulsbreedte;
- positieve en negatieve amplitude.

De laatste selectie “User Defined” geeft u de mogelijkheid een “Signal= f(t)” formule in te voeren die de variatie van de uitgangsspanning in functie van de tijd beschrijft.



Figuur 3/8.9.28-8: Het instellen van de functie-generator.

8.9 Software voor de ontwerper

De “Schematic Editor”

Edison4 biedt de gevorderde elektronicus de “Schematic Editor”. Deze editor, voorgesteld in figuur 3/8.9.28-9, heeft tien onderdelenbibliotheken met in totaal 115 analoge en digitale basisonderdelen. Wij noemen dit “basisonderdelen”, omdat bij de meeste onderdelen sub-onderdelen ter beschikking staan. Zo kunt u bij de digitale IC's kiezen tussen de TTL, LS, HC, HCT, S, AS en ALS versies. Bij het basisonderdeel “NPN Bipolar Transistor” kunt u uit niet minder dan 1.061 typenummers kiezen!

Het zal wel duidelijk zijn: met de “Schematic Editor” tekent, evalueert en test u uw ingewikkelder schema's.

Analyses

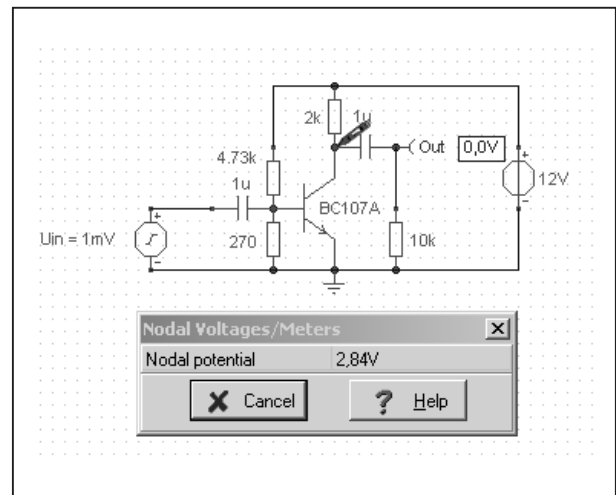
Uiteraard beschikt Edison4 over een hele reeks analyse-werktuigen die u op uw schema's kunt loslaten. Ook hier geldt dat er analyses ter beschikking staan voor de “starter” en er analyses zijn voor de “gevorderden”. Een “starter” zal bijvoorbeeld niet veel hebben aan een Bode-plot, omdat een dergelijk begrip nietszeggend is.

De DC Analyses

Edison4 heeft drie gelijkspanningsanalyses, die u op uw schakeling kunt toepassen:

- DC node spanning:
Uw cursor wordt, zie figuur 3/8.9.28-10, een meetpen waarmee u de gelijkspanning op alle “nodes” van uw schema kunt meten.
- DC transfer karakteristiek:
Geeft het verloop van de gelijkspanning op de uitgang in functie van de driehoekvormig verlopende gelijkspanning op de ingang.
- Temperatuur analyse:

Geeft de gelijkspanning op de uitgang in functie van de omgevingstemperatuur.

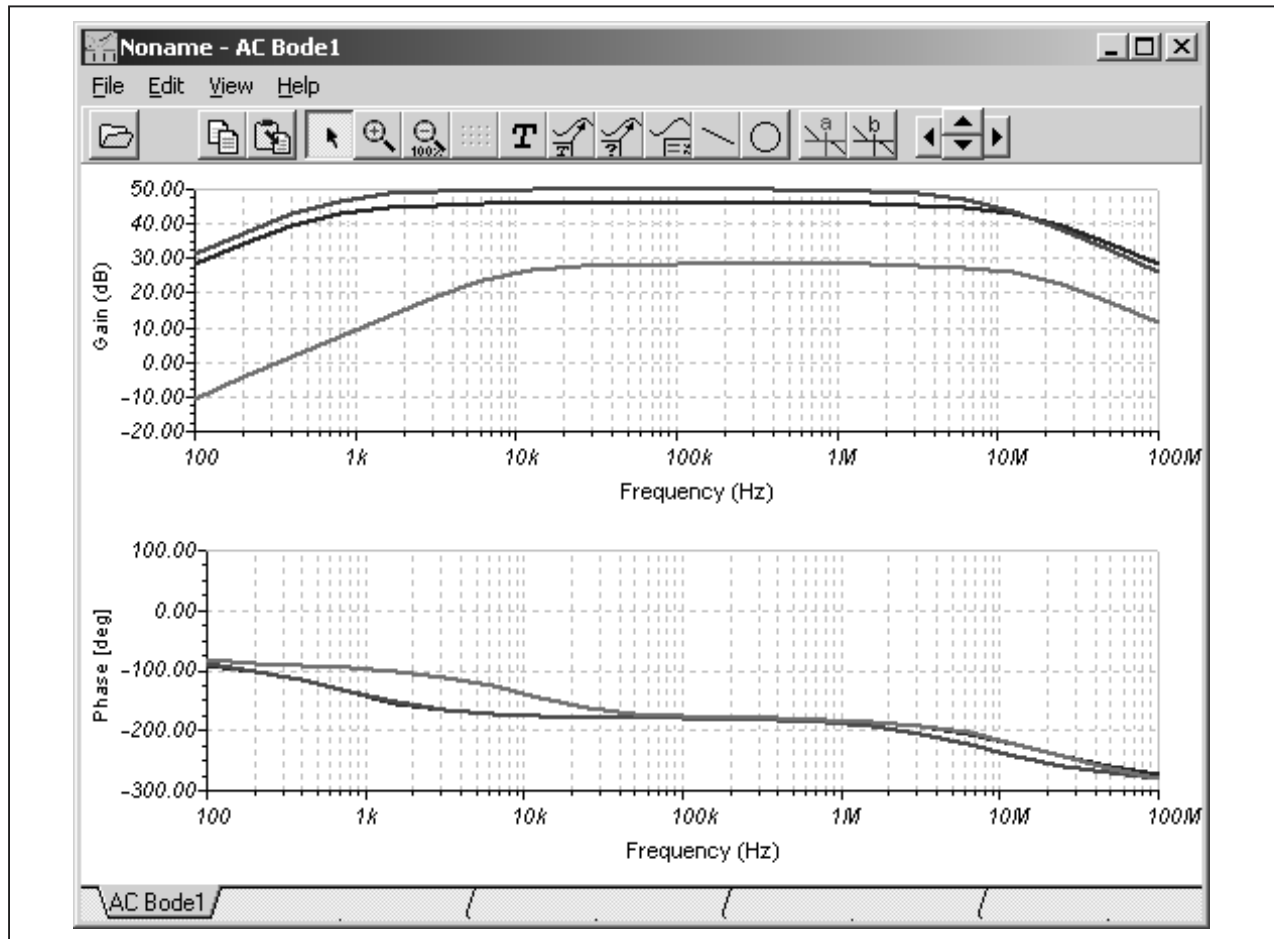


Figuur 3/8.9.28-10: De meest eenvoudige analyse is deze “DC Node Voltage”, waarmee u de gelijkspanning op alle punten van uw schema kunt meten.

De AC Analyses

- AC node spanning:
Uw cursor wordt een meetpen, waarmee u de signaalspanning op alle “nodes” van uw schema kunt meten. U meet nu echter effectieve waarde, amplitude, DC-waarde en fase.
- AC transfer karakteristiek:
Geeft de amplitude, fase, Bode, Nyquist en groepvertraging karakteristieken tussen een start- en een eindfrequentie.
- AC time functie:
Geeft het verloop van de signaalspanningen op diverse punten in functie van de tijd.
- AC transiënt analyse:
Het verloop van de uitgangsspanning in functie van de tijd als respons op een pulsspanning aan de ingang.

8.9 Software voor de ontwerper



Figuur 3/8.9.28-11: Dit Bode-diagram geeft het amplitude- en faseverloop van de uitgangsspanning van een analoge schakeling in functie van de frequentie van het ingangssignaal.

In figuur 3/8.9.28-11 hebben wij als voorbeeld het Bode-diagram van een tweetraps transistorversterker opgemeten. Deze grafiek geeft de versterking (in dB) en het faseverloop weer van de uitgangsspanning van de schakeling in functie van de frequentie van het ingangssignaal. In dit voorbeeld meten wij de spanningen op drie punten (dit kunt u in het schema heel gemakkelijk aangeven) en er worden dan ook drie grafieken in verschillende kleuren getekend.

De digitale step-by-step analyse

Edison4 heeft een zeer handig hulpmiddel, waarmee u het signaalverloop in di-

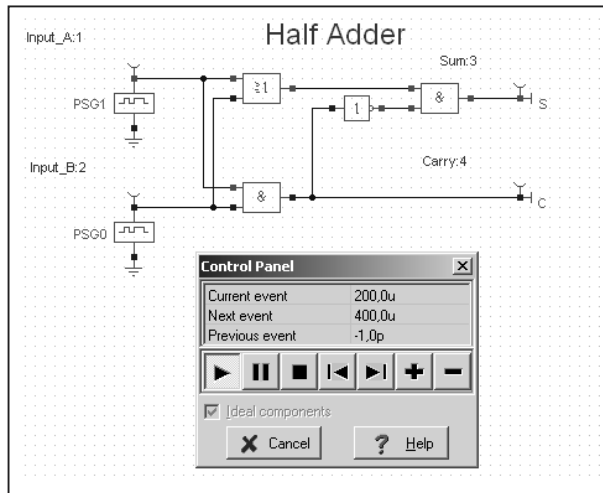
gitale schakelingen stap na stap kunt volgen. Met de step-by-step analyse ziet u welke punten van uw digitale schakeling “L” of “H” zijn na iedere tijdstep. U kunt alle stappen van een cyclus automatisch “afspelen” of handmatig alle stappen van de cyclus doorlopen. “L” wordt weergegeven door blauwe vierkantjes, “H” door rode. In figuur 3/8.9.28-12 hebben wij even snel in de “Schematic Editor” een half adder getekend en er deze analyse op toegepast.

De digitale timing analyse

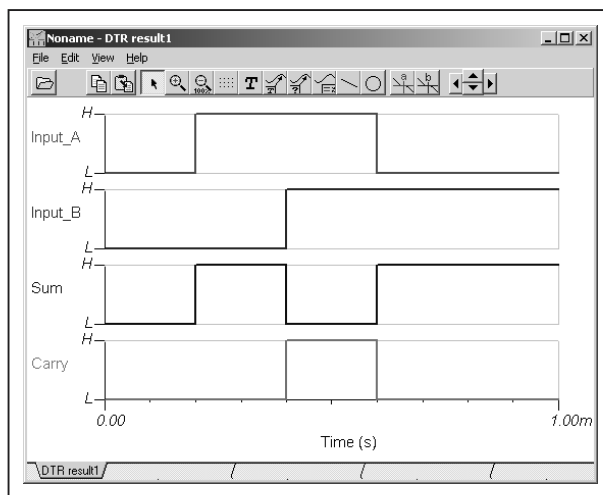
Edison4 heeft uiteraard een meerkanals logische analyser, waarmee u het

8.9 Software voor de ontwerper

onderlinge signaalverloop in uw digitale schakelingen kunt analyseren.



Figuur 3/8.9.28-12: Met de digitale step-by-step analyse kunt u het signaalverloop in digitale schakelingen volgen.



Figuur 3/8.9.28-13: Met de digitale timing analyse kunt u de waarheidstabel van een digitale schakeling onder de vorm van een grafiek weergeven.

U zet in de “Schematic Editor” op de gewenste punten een “Voltage Pin”, definieert of dit punt een in- of een uitgang is en wijst er een naam aan toe. Via het

menu “Analysis” en de optie “Digital Timing Analysis” krijgt u het plaatje van figuur 3/8.9.28-13 op uw scherm. Uniek is dat u kunt kiezen voor “ideale” of “niet-ideale” componenten. In het laatste geval wordt rekening gehouden met de vertragingen die u bij het configureren van de onderdelen heeft ingesteld. Op deze manier worden “spikes” zichtbaar.

Macro's opnemen en afspelen

Een voor het onderwijs zeer nuttige functie van Edison4 is dat u alle handelingen die u in het programma uitvoert kunt opnemen in een macro. Deze macro kunt u nadien weer afspelen en verschijnt als een soort videofilmje op het scherm. Een zeer interessante optie om saaie elektriciteitslessen wat dynamischer te maken!

Conclusie

Edison4 is een zeer innovatief programma dat zowel voor het technisch onderwijs en de hobbyist maar ook voor de gevorderde elektronicus heel wat experimenteerplezier in petto heeft!

Specificaties

- taal: Engels
- handleiding: 54 pagina's Engels
- medium: CD-ROM
- anti-kopieer beveiliging: USB-stick
- voorbeelden: 20 schema's, 15 breadboard opstellingen
- fabrikant: DesignSoft Kft., Csengery u. 53, H-1067 Budapest, Hungary

Installatie

Systeemeisen

- Edison4 stelt minimale eisen aan uw PC:
- Pentium III 500 MHz processor;

8.9 Software voor de ontwerper

- 64 MB RAM;
- 100 MB harde schijf ruimte;
- Windows 98 of hoger;
- 24 bit grafische kaart;
- SoundBlaster compatibele geluidskaart;
- een vrije USB-poort voor de meegeleverde hardware anti-kopieer stick.

Anti-kopieer beveiliging

Edison4 is voorzien van een kopieerbeveiliging onder de vorm van een “Sparkey Dongle”. Dit kleine apparaatje, zie figuur 3/8.9.28-14, moet u tijdens de installatie van het programma op een bepaald moment in een vrije USB-poort pluggen. De installatieroutine schrijft een unieke code in het geheugen van de dongle en neemt deze code ook op in het programma. Het resultaat zal duidelijk zijn. Als u de specifieke dongle niet in uw PC heeft geplugd kunt u het programma niet opstarten, zie figuur 3/8.9.28-15. Zorg er bovendien voor dat u de dongle steeds in dezelfde USB-connector plugt, anders gaat het ook mis.



Figuur 3/8.9.28-14: Met deze kleine USB-dongle wordt het programma beveiligd tegen kopiëren.

Installatie

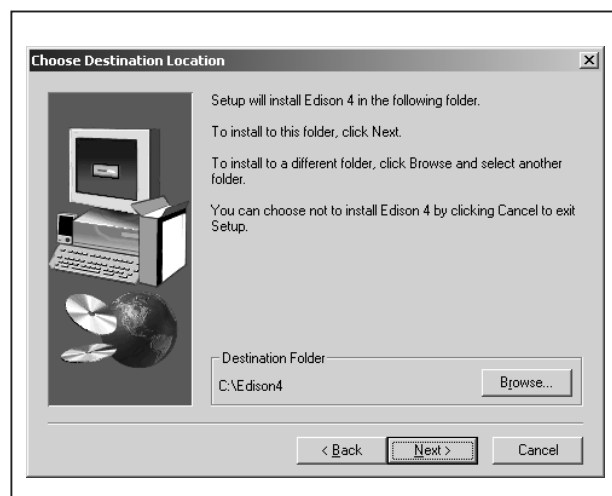
De CD-ROM is zelfstartend en na het gebruikelijke welkomstscherm komt u te

recht in het venster van figuur 3/8.9.28-16, waarin u de directory moet specificeren waarin u het programma wilt installeren.



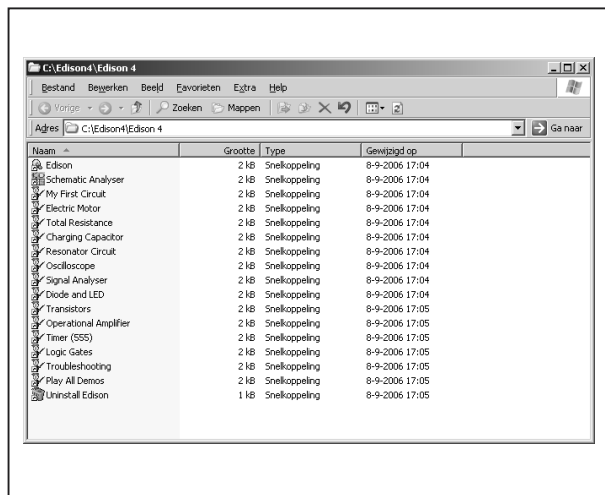
Figuur 3/8.9.28-15: Met dit venstertje maakt Edison4 haar ongenoegen duidelijk als de specifieke USB-dongle niet in uw PC wordt aangetroffen.

Na selectie van de programmapolder worden alle bestanden naar uw harde schijf gekopieerd. Vervolgens verschijnt automatisch het venster van figuur 3/8.9.28-17 op uw monitor, waarin alle met het programma meegeleverde macro's staan samengevat. Als u op een van deze macro's klikt, start Edison4 op, maar stelt vast dat er geen dongle aanwezig is en geeft het foutvenstertje van figuur 3/8.9.28-15 weer.



Figuur 3/8.9.28-16: Het selecteren van de programma directory.

8.9 Software voor de ontwerper



Figuur 3/8.9.28-17: Via dit venster kunt u een van de vele demonstratie-demo's opstarten, macro's van eenvoudige experimentjes.



Figuur 3/8.9.28-19: Via dit venster wordt de installatie van de USB-driver voor de dongle ingeleid.

De beveiliging installeren

Plug eerst nu de USB-dongle in een vrije USB-poort. U krijgt nu de bekende melding "Nieuwe hardware gevonden, zie figuur 3/8.9.28-18. In het venster van figuur 3/8.9.28-19 klikt u de optie "Nee, nu niet" aan. Tot slot kiest u in het volgende venster "De software automatisch installeren". Na "Volgende" wordt de USB-driver van de CD-ROM geladen en geïnstalleerd. In de USB-dongle gaat nu een LED'je branden, hét teken dat alles naar wens is verlopen. Klik nu in het venstertje van figuur 3/8.9.28-15 op "OK", het programma wordt afgesloten. Bij het heropstarten is Edison4 klaar voor gebruik.



Figuur 3/8.9.28-18: Windows heeft de aanwezigheid van de USB-dongle opgemerkt.

De macro's afspelen

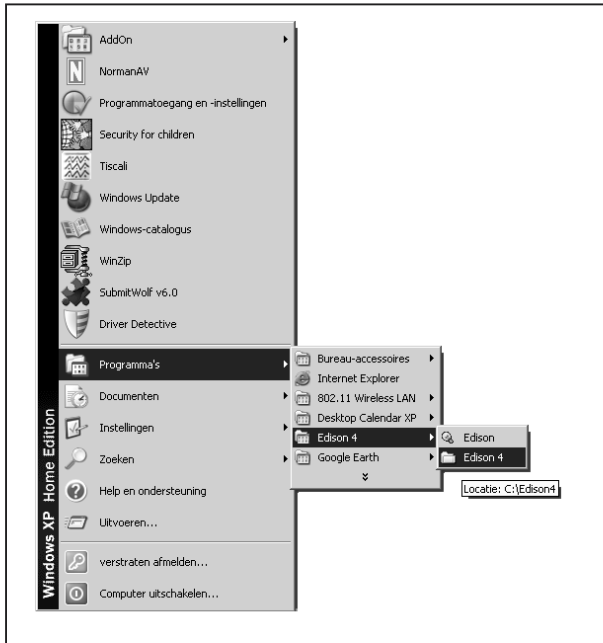
Opstarten

Ga naar "Menu" in de taakbalk, selecteer "Programma's" en dan "Edison4". Dubbelklik op "Edison4", zie figuur 3/8.9.28-20. U krijgt nu weer het venster van figuur 3/8.9.28-17 in beeld. Via dit venster krijgt u toegang tot de twee programma's van het pakket, namelijk "Edison" en "Schematic Analyser". Verder kunt u via de optie "Uninstall Edison" het programma van uw harde schijf verwijderen. De overige selecties zijn allemaal macro's, die u nu kunt opstarten om aan de hand van de filmpjes enig inzicht te krijgen in de werking van het programma.

Snelkoppelingen maken

Natuurlijk kunt u vanuit het venster van figuur 3/8.9.28-17 snelkoppelingen naar uw bureaublad maken voor "Edison" en "Schematic Analyser" zodat u de programma's sneller kunt opstarten.

8.9 Software voor de ontwerper



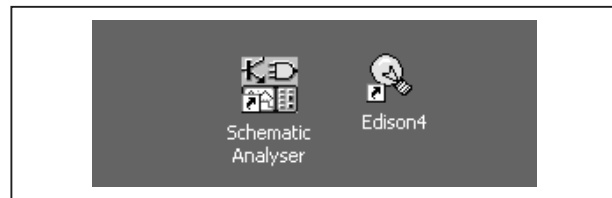
Figuur 3/8.9.28-20: Op deze manier start u de twee programma's of de macro's op.

Klik met de rechter muisknop op het pictogram van “Edison” en selecteer de optie “Snelkoppeling maken”. In het venster verschijnt een kopie van het pictogram met de naam “Edison (2)”. Sleep dit met ingedrukte linker muisknop naar uw bureaublad. Op deze manier kunt u, zie figuur 3/8.9.28-21, de twee programma's vanaf uw bureaublad snel opstarten.

De macro's afspelen

Het afspelen van de macro's is de beste methode om snel met het programma vertrouwd te raken. Als u een van de macro's uit het venster van figuur 3/8.9.28-17 selecteert ziet u het werkvenster (zie figuur 3/8.9.28-22) van Edison4 op uw monitor verschijnen. In dit voorbeeld hebben wij de macro “Transistors” geopend. Dit filmpje geeft een uitstekende demonstratie van de basiseigenschappen van zowel bipolaire transistoren als

FET's. U leert hoe deze onderdelen als versterker werken en ziet de invloed van de stroomversterkingsfactor. U ervaart meteen ook het verschil in werking tussen een bipolaire transistor en een FET. U leert bovendien hoe u meetinstrumenten aan uw schakeling kunt toevoegen en hoe u deze instrumenten instelt en aan het werk zet.



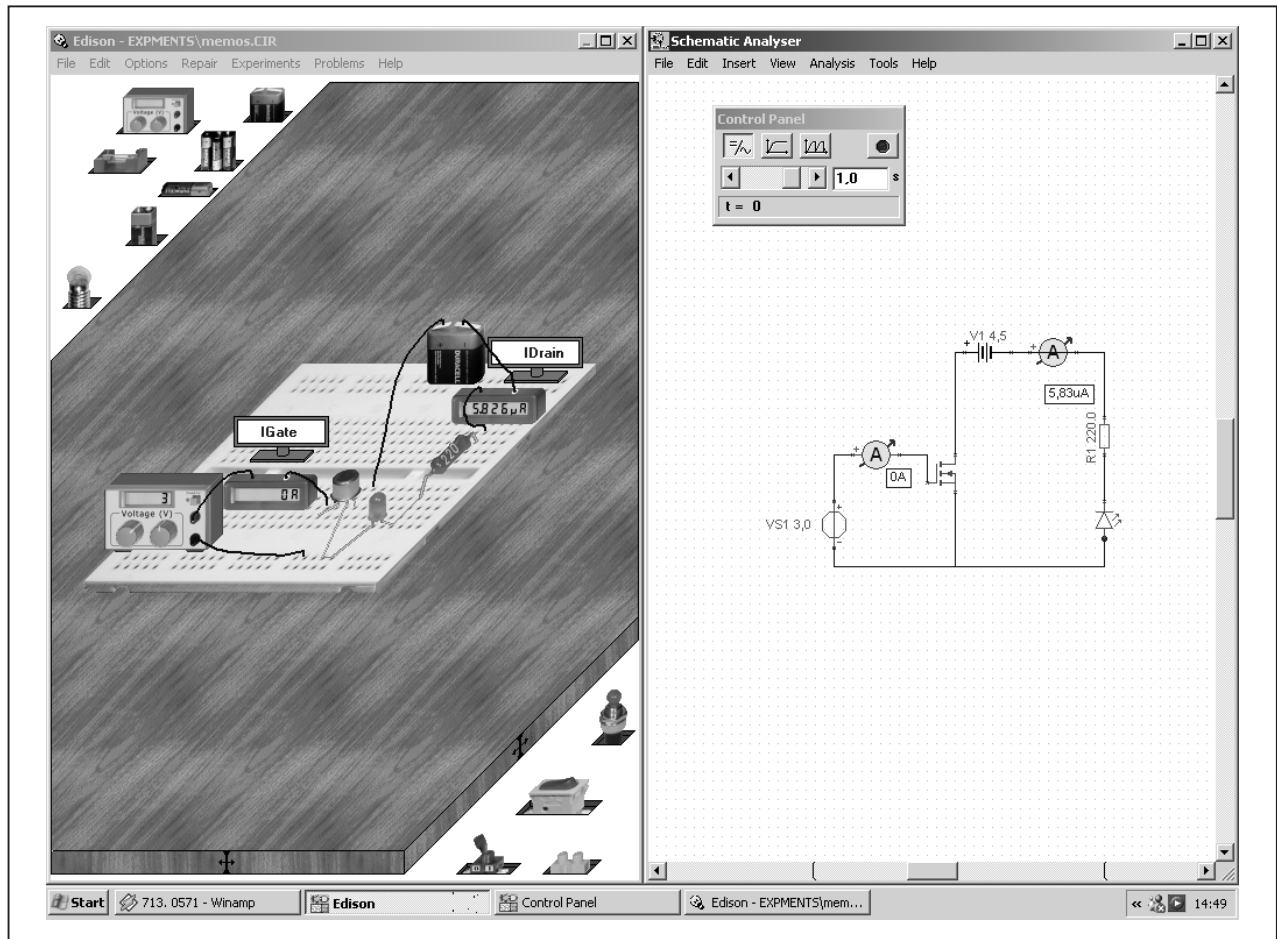
Figuur 3/8.9.28-21: Handig, twee snelkoppelingen op uw bureaublad naar de twee programma's van Edison4.

Snel aan de slag

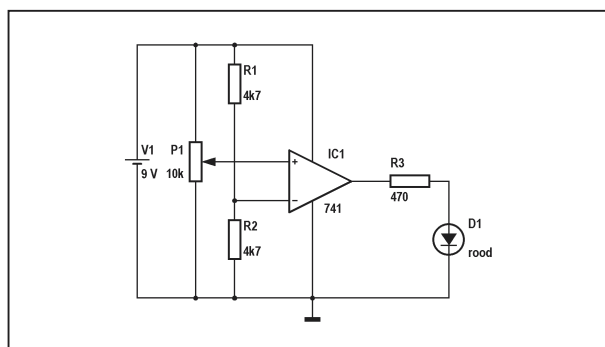
Een eenvoudig voorbeeldje

Na het bekijken van de macro's heeft u ongetwijfeld al enig inzicht gekregen in de manier waarop Edison4 werkt. We gaan nu echter zélf aan de slag met een heel eenvoudig voorbeeldje. In figuur 3/8.9.28-23 is een operationele versterker getekend, geschakeld als comparator. De inverterende ingang wordt ingesteld op de helft van de voedingsspanning door middel van de spanningsdelers R1-R2, de niet-inverterende ingang is verbonden met de loper van een potentiometer P1. Met dit onderdeel kunt u de spanning op de “+” variëren tussen 0 V en 9 V, de voedingsspanning. Om de spanning op de uitgang van de op-amp te registreren gebruiken wij een LED D1, die natuurlijk via een serieweerstand R3 met de uitgang van de op-amp wordt verbonden.

8.9 Software voor de ontwerper



Figuur 3/8.9.28-22: Aan de hand van de macro's leert u hoe het programma werkt en hoe u met de meetapparatuur moet omgaan.



Figuur 3/8.9.28-23: Wij gaan dit eenvoudig schemaatje van een comparator opbouwen in Edison4.

Door de potentiometer heen en weer te schuiven kunt u de werking van de com-

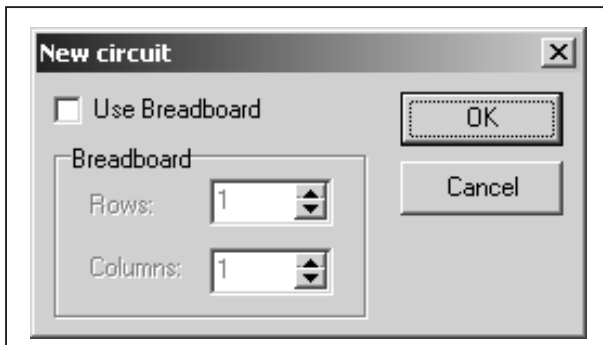
parator observeren. Vergeet niet, in Edison4 gaat een LED echt “branden” als het onderdeel onder spanning komt te staan.

Een nieuw project starten

Start Edison4 op, ga naar het menu “File” en klik op “New”. In het vensterje van figuur 3/8.9.28-24 kunt u beslissen of u uw schakeling op uw werktafel of op een breadboard wilt opbouwen. Vink “Use Breadboard” aan als u een breadboard wilt gebruiken. U kunt dan het aantal rijen en kolommen waaruit het breadboard moet bestaan invullen. “1 x 1” komt neer op het breadboard dat in fi-

8.9 Software voor de ontwerper

guur 3/8.9.28-2 is voorgesteld. Voor dit eenvoudig schakelingetje gaan we echter geen gebruik maken van een breadboard, dus u zet geen vinkje.



Figuur 3/8.9.28-24: In dit venstertje kunt u kiezen voor ontwerpen op uw werkblad of op een breadboard.

Na “OK” verschijnt het reeds bekende venster (zie figuur 3/8.9.28-22) op uw monitor, maar nu natuurlijk leeg.

Weerstanden naar uw werkblad

Klik met de linker muisknop op een leeg deel van het bovenste “onderdelenmagazijn”. U ziet na iedere klik een set andere onderdelen verschijnen. Klik tot u op de pagina belandt waar de weerstanden en potentiometers staan. Klik met de linker muisknop op de vaste weerstand met kleurcodering en sleep dit onderdeel naar uw werkblad.

Onderdelen roteren

Sommige onderdelen kunt u draaien. Dat doet u door, tijdens het verslepen van het onderdeel, op de “Ctrl”-toets te drukken. Op deze manier kunt u de weerstanden R1 en R2 roteren.

Overige onderdelen plaatsen

Nadat u de weerstanden op uw werkblad heeft gezet kunt u de overige onderdelen op dezelfde manier plaatsen:

- de schuifpotentiometer;
- de LED;
- de batterij van 9 V;
- de operationele versterker 741;
- een massa-connectieblokje.

Eerste stap klaar

In figuur 3/8.9.28-25 ziet u het resultaat van uw inspanningen: alle onderdelen staan op uw werkblad en wel zodanig geplaatst dat u de bedrading netjes en overzichtelijk kunt uitvoeren. Om een onderdeel te verplaatsen klikt u er met de rechter muisknop op en kiest “Move”. U kunt nu het onderdeel met ingedrukte linker muisknop verplaatsen.

De “Schematic Analyser” fatsoeneren

Inmiddels heeft Edison4 alle onderdelen ook in het venster van de “Schematic Analyser” geplaatst. Een en ander is echter niet zo netjes en u kunt de onderdelen op een overzichtelijkere manier positioneren door er met de linker muisknop op te klikken en ze naar de gewenste plaats te verslepen. Het verplaatsen van onderdelen in de “Schematic Analyser” heeft overigens geen invloed op de plaats van de onderdelen op uw werkblad.

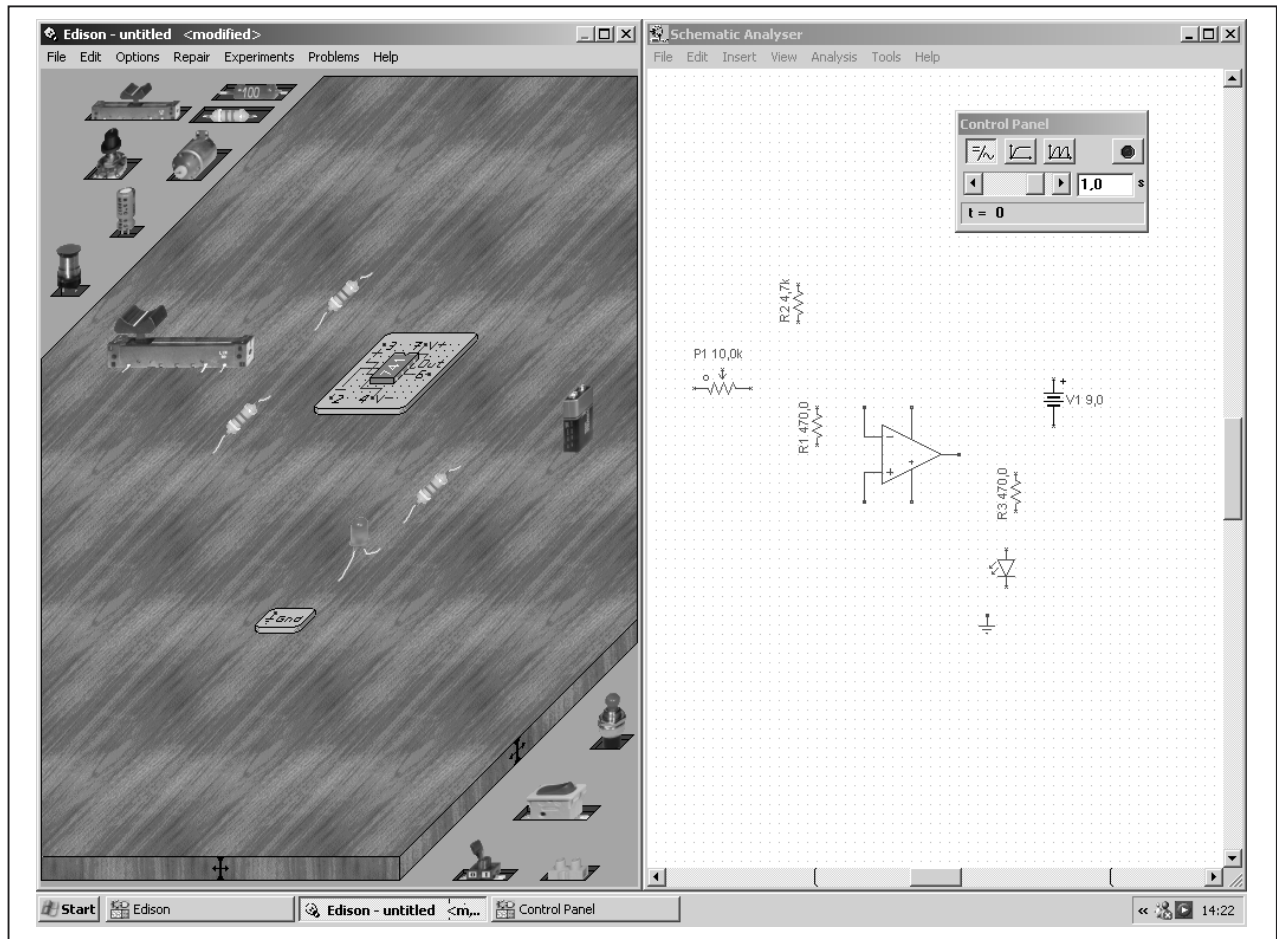
De “Shift”-toets

Sommige onderdelen hebben diverse uitvoeringen. U kunt die selecteren door, tijdens het verplaatsen van het onderdeel, op de “Shift”-toets te drukken. Verplaats als voorbeeld maar eens de 9 V batterij en klik op “Shift”. U ziet de drie verschillende versies van de batterij een na een verschijnen.

Onderdelenwaarde instellen

Vervolgens moet u de onderdelen de gewenste waarde geven.

8.9 Software voor de ontwerper



Figuur 3/8.9.28-25: Alle benodigde onderdelen zijn op uw werkblad geplaatst, we kunnen gaan bedraden!

De weerstand heeft “by default” de volgende specificaties:

- tolerantie:
+/-20 %
- waarde:
100 Ω
- vermogen:
50 W

Dat zijn nogal vreemde parameters, die u nu moet veranderen. Dubbelklik op de weerstand R1. In het venster van figuur 3/8.9.28-26 kunt u nu die drie parameters op de door u gewenste waarde instellen:

- tolerantie:
+/-5 %
- waarde:

4,7 k Ω

- vermogen:
0,2 W

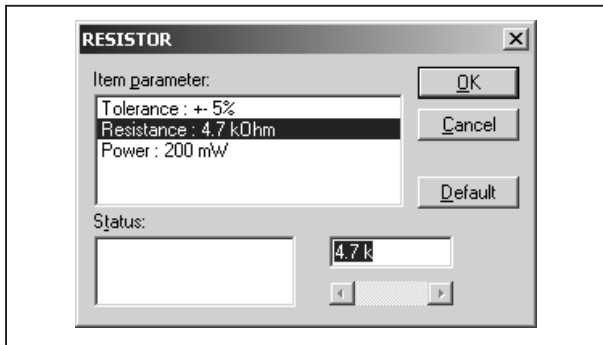
Herhaal deze procedure met de drie overige weerstanden. De parameters van de op-amp en de LED kunt u in Edison niet wijzigen, wél in de “Schematic Editor”. Van de batterij kunt u de inwendige weerstand instellen, maar die laten wij op nul staan.

Bedraden

Het bedraden van uw schema gaat al even eenvoudig. Ga met de muis naar het onderste draadje van weerstand R2. Op een bepaald moment ziet u de cursor veranderen in een penneetje in een witte

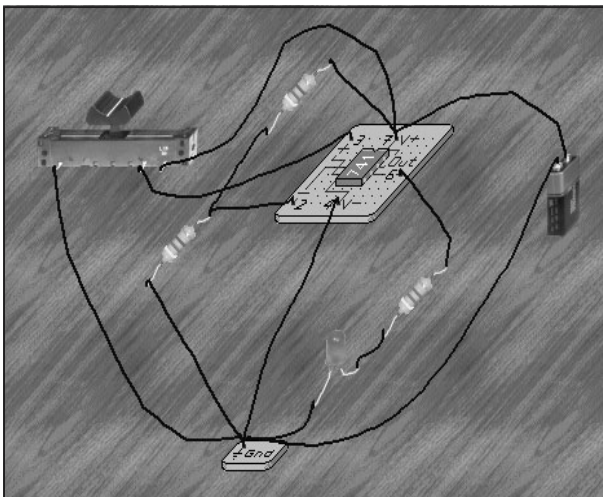
8.9 Software voor de ontwerper

cirkel. Klik nu op de linker muisknop en ga naar de bovenste draad van weerstand R1.



Figuur 3/8.9.28-26: Het instellen van de parameters van de onderdelen.

Op het moment dat u het uiteinde van de draad bereikt laat u de muisknop los. U heeft de verbinding tussen de weerstanden R2 en R1 volbracht! Op deze manier kunt u uw schema snel bedraden. Het eindresultaat is geschetst in figuur 3/8.9.28-27.



Figuur 3/8.9.28-27: Het bedraden van uw schema.

Bedrading manipuleren

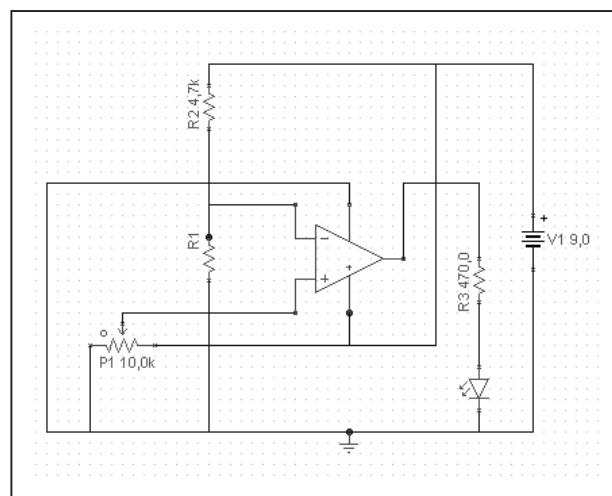
Ga met de muis naar een draad, de cursor verandert in een handje. U kunt nu, met ingedrukte linker muisknop, de

draad verplaatsen. Klik één keer met de rechter muisknop op de draad. Er verschijnt een venstertje "Delete". Klik met de linker muisknop om de draad te verwijderen.

Klik dubbel met de linker muisknop op de draad. In het venstertje "Wire" kunt u vervolgens de kleur van de draad selecteren.

Het schema optimaliseren

Alle draadjes die u "soldeert" verschijnen ook in het venster van de "Schematic Analyser". Maar ook nu moet u beslist een en ander gaan fatsoeneren. U klikt op een verbinding en ziet "handvaten", kleine zwarte vierkantjes, verschijnen. Door met de muis op deze vierkantjes te gaan staan en dan links te klikken kunt u uw bedrading verplaatsen, korter maken of langer maken. Uiteindelijk krijgt u een schema zoals voorgesteld in figuur 3/8.9.28-28, een schema dat weliswaar niet optimaal is, maar wél het beste is dat Edison4 te bieden heeft. Vergelijk maar eens met het schema van figuur 3/8.9.28-23!

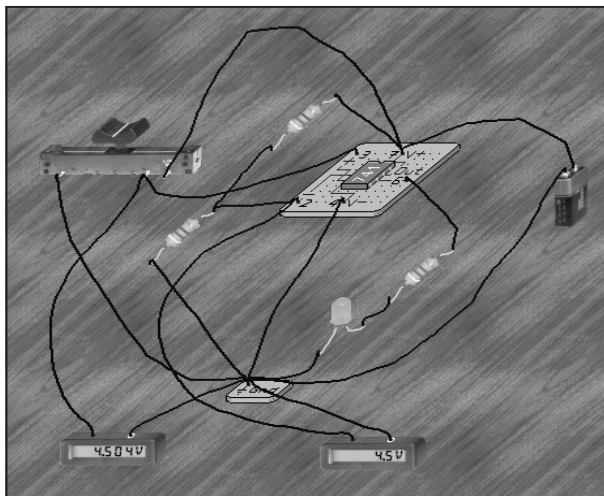


Figuur 3/8.9.28-28: Het geoptimaliseerde schema van uw comparatorschakeling.

8.9 Software voor de ontwerper

De werking van de schakeling onderzoeken

Ga met de muis op de knop van de schuifpotentiometer staan. Druk de linker muisknop in en verschuif de knop naar rechts. Op een bepaald moment, als de knop ongeveer in het midden staat, ziet u dat de LED gaat branden. Op dat moment wordt de spanning op de niet-inverterende ingang groter dan de spanning op de inverterende ingang. De uitgang van de op-amp versterkt dit spanningsverschil tienduizenden malen, met als gevolg dat de uitgang vastloopt tegen de positieve voedingsspanning. Door de serieschakeling van de weerstand R3 en de LED vloeit een stroom, de LED gaat branden.



Figuur 3/8.9.28-29: Het toevoegen van twee digitale voltmeters die bewijzen dat de uitgang inderdaad omkapt als de spanningen op de twee ingangen van de op-amp aan elkaar gelijk zijn.

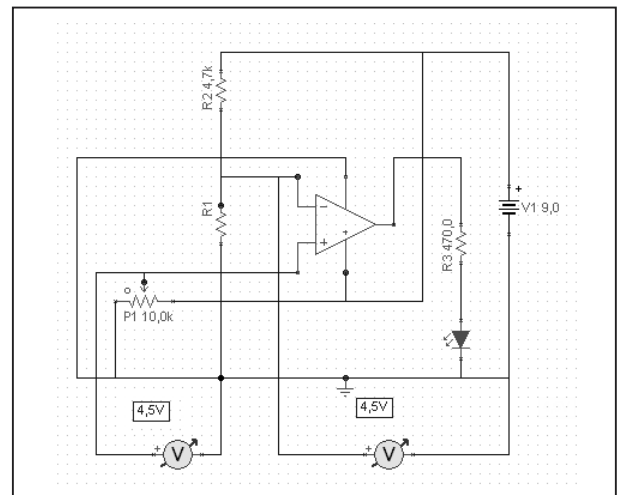
Meetapparatuur toevoegen

U kunt nu uiteraard gaan meten of wat wij stellen wel klopt. Klik met de linker muisknop in het onderste “onderdelenmagazijn” tot u op de pagina met de

meetapparatuur komt. Sleep nu twee digitale voltmeters naar uw werkblad en sluit deze aan op de twee ingangen van de op-amp, zie figuur 3/8.9.28-29. De “-” van beide meters gaat uiteraard naar de massa.

Het schema

Uiteraard kunt u de twee meters ook in het schema van de “Schematic Analyser” een mooi plekje geven, zie figuur 3/8.9.28-30. Ook in het schema worden de door de meetapparatuur gemeten waarden in real-time aangegeven.



Figuur 3/8.9.28-30: De twee digitale voltmeters hebben ook in het schema een mooi plekje gevonden.

Ontwerpen op breadboard

Inleiding

In principe kunt u op dezelfde manier als reeds beschreven een schakeling op een breadboard opbouwen. Toch zijn er wat kleine verschillen, die overigens heel handig zijn.

8.9 Software voor de ontwerper

Plaatsen van componenten

Als u een weerstand van het “onderdelenmagazijn” naar het breadboard sleept ziet u opeens dat de weerstand langere aansluitdraadjes krijgt. Als u het onderdeel over het breadboard verplaatst wippen de draadjes van gat naar gat. Laat de linker muisknop los op het moment dat het onderdeel op de gewenste plaats staat. U kunt nu echter de aansluitdraadjes van de onderdelen individueel verplaatsen. Ga met de cursor naar de plaats waar de aansluitdraad in het gaatje van het breadboard verdwijnt. U ziet de cursor veranderen in vier kleine pijltjes. Klik nu op de linker muisknop. U kunt nu de aansluitdraad verplaatsen naar een ander gaatje in het breadboard.

IC's

Als u een IC van het “onderdelenmagazijn” naar het breadboard sleept verandert de vormgeving dramatisch. In plaats van een enkelvoudige poort wordt het onderdeel opeens als écht IC weergegeven met 8 of 14 aansluitpennetjes, onder de vorm van een platte surface mount behuizing. U plaatst het IC door de linker muisknop los te laten. Als u de cursor verplaatst naar de rechter bovenhoek van een IC ziet u een geel vierkantje verschijnen. Klik met de linker muisknop, het IC krijgt de vorm van een DIL-IC.

Verborgen verbindingen weergeven

Ge naar het menu “Options” en klik op de twee opties:

- Hidden circuit connections;
- Hidden breadboard connections.

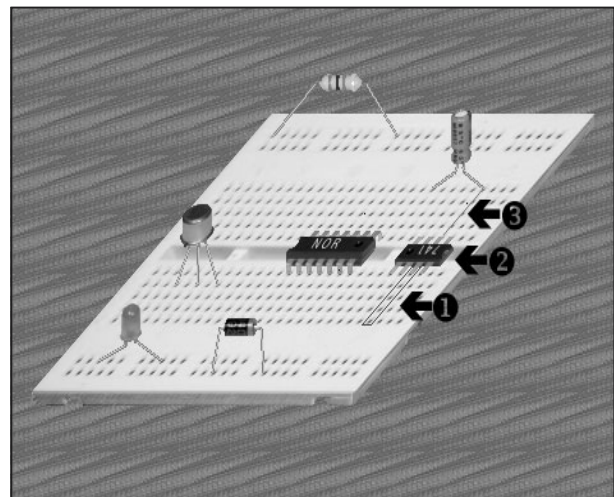
U ziet nu op het breadboard de verbindingen tussen de onderdelen, die via het breadboard automatisch tot stand zijn gekomen, lichtgrijs weergegeven. Als u met de cursor over het breadboard gaat

ziet u de “verborgen” verbindingen op het breadboard rood omkaderd.

Samenvatting

In figuur 3/8.9.28-31 hebben wij een samenvatting gegeven van de speciale opties die het programma in petto heeft als u ontwerpt op een breadboard:

- 1: een van de “Hidden breadboard connections”;
- 2: een NOR-poort als DIL en een 741 als surface mount;
- 3: een van de “Hidden circuit connections”.



Figuur 3/8.9.28-31: Het plaatsen van onderdelen op uw breadboard.

Bedraden van het breadboard

Dat gaat op dezelfde manier als bedraden op uw virtuele werktafel. U zet de cursor boven een gaatje, klikt met de linker muisknop, legt de draad naar een tweede gaatje en klikt weer links.

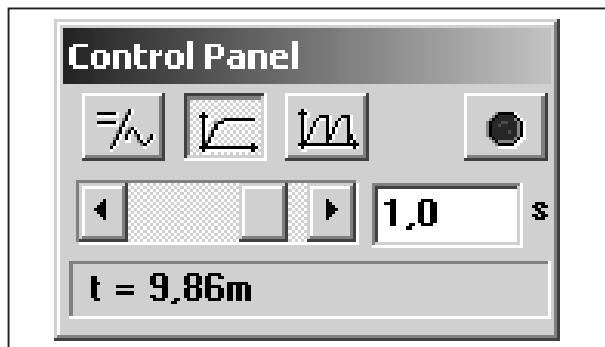
Het “Control Panel”

Inleiding

Als u met Edison4 werkt zal het kleine venstertje van figuur 3/8.9.28-32 u on-

8.9 Software voor de ontwerper

middellijk opvallen. Dit is het “Control Panel” en dit speelt een zeer belangrijke rol bij het simuleren. De instellingen op dit paneeltje bepalen hoe Edison4 met uw schakeling omgaat.



Figuur 3/8.9.28-32: Het belangrijke “Control Panel”.

U ziet vier knoppen die de volgende betekenis hebben:

- DC/AC modus;
- Single transient modus;
- Continuous transient modus;
- Start/Stop knop.

DC/AC modus

In deze modus gaat het programma er van uit dat alle spanningen en stromen ofwel constant zijn, ofwel sinusvormig verlopen. De meetapparaten meten ofwel de gelijkspanning en -stroom, ofwel de effectieve en topwaarden van de sinusvormige spanningen en stromen. In wezen moet u deze modus gebruiken voor schakelingen waar in functie van de tijd geen spanning- of stroomvariaties optreden. Kortom, schakelingen waarin geen condensatoren worden opgeladen of spoelen zich verzetten tegen stroomveranderingen. Edison4 berekent nu alle stabiele spanningen en stromen in de schakeling en u kunt deze grootheden meten met de beschikbare meetapparatuur.

Single transient modus

Als u in deze modus op de Start/Stop knop klikt of op gelijk welke schakelaar in het schema voert Edison4 één simulatie uit die start op tijdstip t_0 en stopt op de tijd die u in het “Control Panel” heeft ingevoerd. Als u dus een tijd van 10 ms invoert, dan berekent Edison 4 het verloop van alle spanningen en stromen in een tijdsverloop van 10 ms. Let wel dat de simulatie op het scherm steeds wordt vertraagd tot ongeveer één seconde. Wat zich in de realiteit binnen (om bij dit voorbeeld te blijven) een/honderdste van een seconde afspeelt wordt “vertraagd afgespeeld”, zodat u het proces goed kunt volgen. Als u in deze modus een oscilloscoop of frequentie-analyser heeft ingevoerd, zullen deze apparaten het berekende spanningsverloop binnen de simulatietijd op hun scherm zetten en niets meer.

Continuous transient modus

In deze modus voert Edison4 een continue simulatie uit, de ingestelde tijd is dus niet de stoptijd van de simulatie. Deze tijd bepaalt nu de snelheid van de simulatie, hoe hoger de ingevoerde waarde, hoe sneller de simulatie wordt berekend. U stopt de continue modus door op de “Start/Stop” knop te klikken of door te klikken op de knop “AC/DC”.

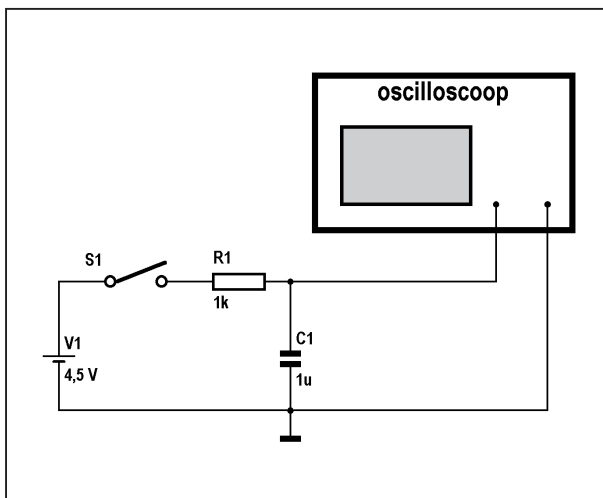
Werken met de transiënt modus

Opladen van een condensator

Een mooi voorbeeld van het toepassen van de transiënt modus is een demonstratie van de manier waarop een con-

8.9 Software voor de ontwerper

densator oplaadt. Bouw het schema van figuur 3/8.9.28-33 op uw virtuele werktafel, gebruik voor S1 de tuimelschakelaar. Stel de waarde van R1 op 1 k Ω en de waarde van C1 op 1 μ F, u weet inmiddels hoe dat gaat.

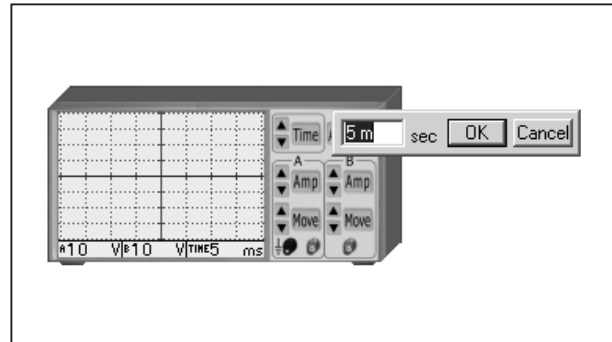


Figuur 3/8.9.28-33: Aan de hand van dit eenvoudig voorbeeld gaan we de werking van de transiënt modus bespreken.

De oscilloscoop

Sleep de oscilloscoop naar uw werktafel. Aan de hand van figuur 3/8.9.28-34 bespreken we dit nuttige instrument. De scope van Edison4 is een volwaardig tweekanaals apparaat met de bekende knoppen:

- Time:
Stelt de tijdbasis snelheid in.
- Amp A en B:
Stelt de gevoeligheid van beide kanalen in.
- Move A en B:
Verplaatst de nul-referentie van beide kanalen over het scherm.
- Auto:
Stelt alle knoppen op de beste waarde voor het observeren van het aangeboden signaal.

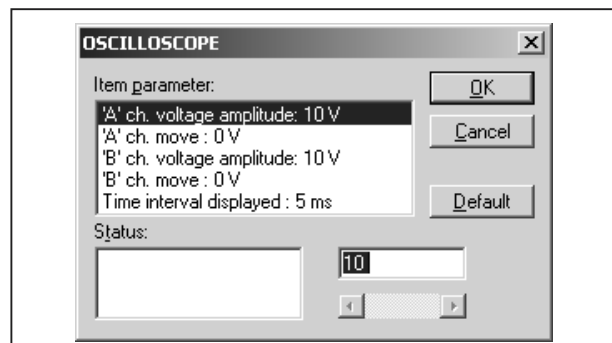


Figuur 3/8.9.28-34: De tweekanaals oscilloscoop van Edison4.

Instellen van de meetapparatuur

U kunt de scope en de overige meetapparatuur van Edison4 op drie manieren instellen:

- Stapsgewijs:
Klik op de knoppen “▲” en “▼” om de waarde van de parameters te verhogen of te verlagen.
- Via het toetsenbord:
Klik bijvoorbeeld op de knop “Time”. Er verschijnt een venstertje, zie figuur 3/8.9.28-34, waarin u de tijdbasis snelheid kunt invoeren.
- Alles in een keer:
Verplaats de cursor over de scope. Als de cursor in een vraagteken verandert dubbelklikt u met de linker muis-knop. In het venstertje van figuur 3/8.9.28-35 kunt u alle parameters van de scope in een keer instellen.



Figuur 3/8.9.28-35: Het instellingenvenster voor de oscilloscoop.

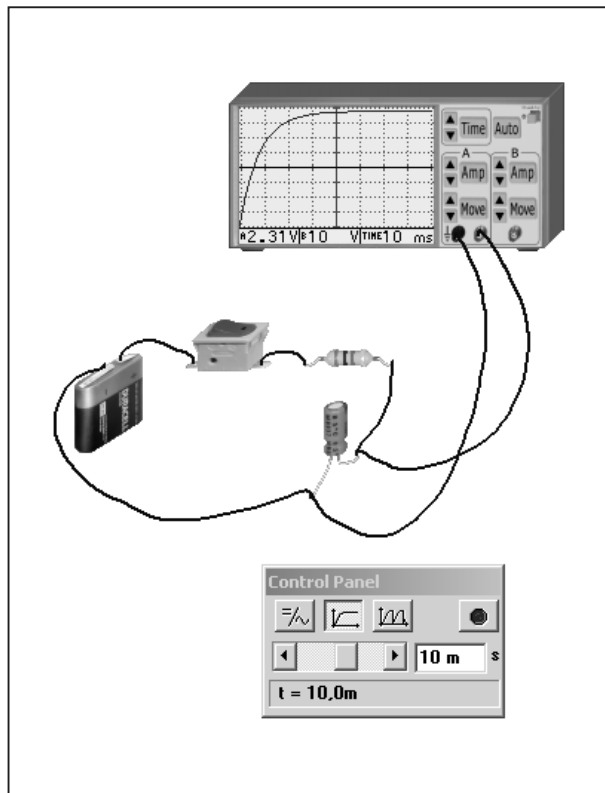
8.9 Software voor de ontwerper

Terug naar de ladende condensator

Stel de oscilloscoop als volgt in:

- Tijdbasis: 10 ms;
- A Amp: 5 V;
- A Move: 0 V.

Stel vervolgens, zie figuur 3/8.9.28-36, het “Control Panel” in op “Single transient mode” met een simulatietijd van 10 ms. Klik nu op de tuimelschakelaar in het schema. De condensator wordt nu via de weerstand R1 opgeladen uit de 4,5 V batterijspanning. Hoe dit laden verloopt ziet u op het scherm van de scope. De condensatorspanning stijgt in het begin snel, maar de stijging per tijdseenheid wordt steeds kleiner. Na ongeveer 5 ms is de condensator zo goed als volledig opgeladen: de spanning over het onderdeel benadert de batterijspanning.



Figuur 3/8.9.28-36: Met dit eenvoudige experiment kunt u ontdekken hoe een condensator oplaad.

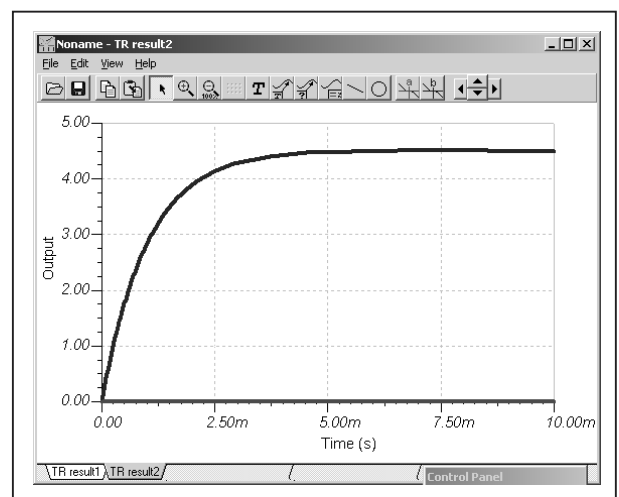
Meetresultaten tonen

Grafieken in detail

Op het scherm van de scope ziet u het verloop van de condensatorspanning in functie van de tijd. Dat grafiekje is uiteraard klein en niet gedetailleerd. Dat kan anders! Beweeg de cursor over de oscilloscoop tot de cursor een vraagteken wordt. Klik nu op de rechter muisknop. Er verschijnt een pop-up venstertje met de opties:

- Diagram;
- Formulas;
- Delete;
- Move.

De eerste optie is het interessantst. Klik met de linker muisknop op “Diagram”. Er verschijnt een nieuw venster in beeld, zie figuur 3/8.9.28-37, waarin de meetresultaten op het scherm van de scope nu duidelijk en gedetailleerd worden weergegeven.

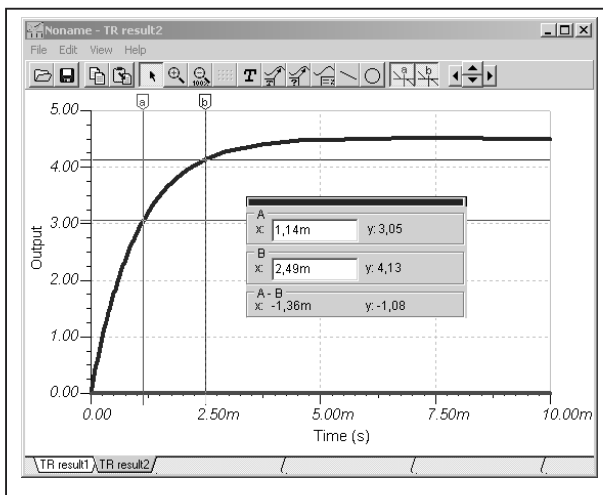


Figuur 3/8.9.28-37: De meetresultaten van het scopescherm worden weergegeven in een eigen venster.

Dit venster biedt weer een heleboel interessante mogelijkheden. Als u met de

8.9 Software voor de ontwerper

muiscursor over de knoppenbalk glijdt, ziet u de diverse opties. Heel interessant is de mogelijkheid om twee cursoren a en b in beeld te zetten, zie figuur 3/8.9.28-38. Het programma geeft de absolute waarden van x- en y-grootheden op de twee cursorpunten en berekent bovendien de verschillen tussen de waarden van de twee cursorpunten. Op deze manier kunt u Δ -metingen verrichten.



Figuur 3/8.9.28-38: Met de twee cursoren kunt u absolute en verschilmetingen uitvoeren in uw grafieken.

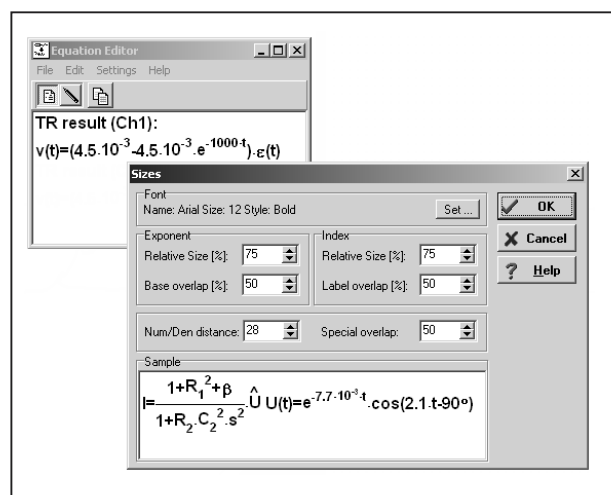
Uiteraard kunt u, via het menu “Edit” uw grafiek printen of exporteren naar de grafische formaten BMP en WMF.

Equation Editor

Edison4 werkt uiteraard intern op een wiskundige manier. Het programma evalueert het door u getekende schema en stelt aan de hand van deze analyse een wiskundige formule op, die bijvoorbeeld het verloop van een spanning geeft in functie van de tijd. Dank zij de “Equation Editor” kunt u deze formules bekijken, aanpassen en exporteren. U kunt de formule ook kopiëren naar het klembord

van Windows en via “Paste” in uw favoriete tekstverwerker inplakken. Zoals u weet is het schrijven van wiskundige formules in een tekstverwerker een moeilijke klus. Edison4 maakt het u dus wel erg gemakkelijk!

U krijgt toegang tot deze functie door in het reeds genoemde pop-up venstertje de optie “Formulas” aan te klikken. In het venster “Equation Editor”, zie figuur 3/8.9.28-39, verschijnt de wiskundige uitdrukking $v(t) = f(t)$, oftewel het verband tussen de momentele waarde van de gemeten spanning en het tijdsverloop. Via de optie “Settings” kunt u de formule tot in de details editen. U kunt de lettersoort instellen, de relatieve lettergrootte van exponenten en indexen en de baseshift voor exponenten en indexen. In het venster “Sample” ziet u onmiddellijk hoe uw instellingen de presentatie van de formule beïnvloeden. Via het menu “File” kunt u de formule exporteren als BMP-, WMF- of MathCad-bestand.



Figuur 3/8.9.28-39: Met deze “Equation Editor” kunt u de wiskundige formules opsporen, editen en exporteren naar andere programma's.

8.9 Software voor de ontwerper

Werken met de frequentie-analyser

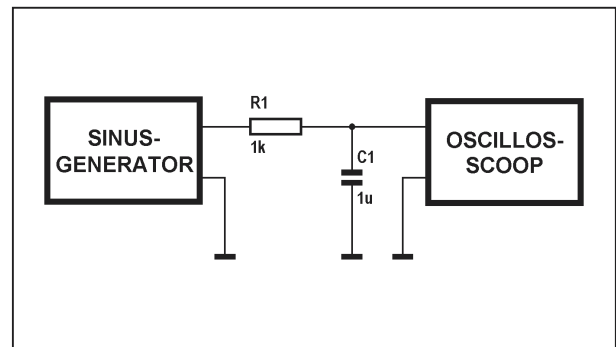
Inleiding

Een frequentie-analyser zult u niet in uw laboratorium hebben, daar zijn dergelijke apparaten te duur voor. Een frequentie-analyser bevat een sinusgenerator en een soort van oscilloscoop. De sinusgenerator levert geen constante frequentie, maar scant een bepaald frequentiebereik, bijvoorbeeld van 10 Hz tot 20 kHz. Dit signaal verschijnt op de uitgang van de analyser. De ingang van het apparaat sluit u aan over een onderdeel. In de analyser zit een gelijkrichter en een logaritmische omvormer die het gemeten signaal omzet in een dB-waarde. Op het scherm verschijnt de grootte van deze gemeten dB-spanning in functie van de frequentie van het signaal dat de frequentie-analyser levert. Kortom: met een dergelijk apparaat kunt u razendsnel de amplitude/frequentie-karakteristiek van een schakeling opmeten! In de échte wereld zijn dergelijke apparaten peperduur, maar de frequentie-analyser van Edison4 staat gratis ter uwer beschikking.

Een laagdoorlaat filter

Een RC-kring, zoals voorgesteld in figuur 3/8.9.28-40, vormt een laagdoorlaat filter. Dat komt omdat de condensator natuurlijk geen constante impedantie heeft, maar een impedantie die kleiner wordt naarmate de frequentie van het signaal stijgt. De weerstand en de condensator vormen een spanningsdeler. Over de condensator komt steeds minder spanning te staan naarmate de frequentie stijgt. Een dergelijk filter is

een ideale basis voor het demonstreren van de werking van de frequentie-analyser.



Figuur 3/8.9.28-40: Een RC-kring vormt een laagdoorlaat filter.

De schakeling in de Edison4 praktijk

Bouw het schema op volgens figuur 3/8.9.28-41. Zet de waarden van de componenten op 1 k Ω en 1 μ F. Op de reeds bekende manier krijgt u het venster “Signal Analyzer” in beeld, waarin u de parameters van het meetinstrument kunt instellen:

- Display mode: Logarithmic, dB
- Signal Amplitude: 1 V
- Number of samples: 50
- Delay between samples: 50
- Display minimum: 10 m
- Display maximum: 1.12
- Start frequency: 10 Hz
- Stop frequency: 10 kHz

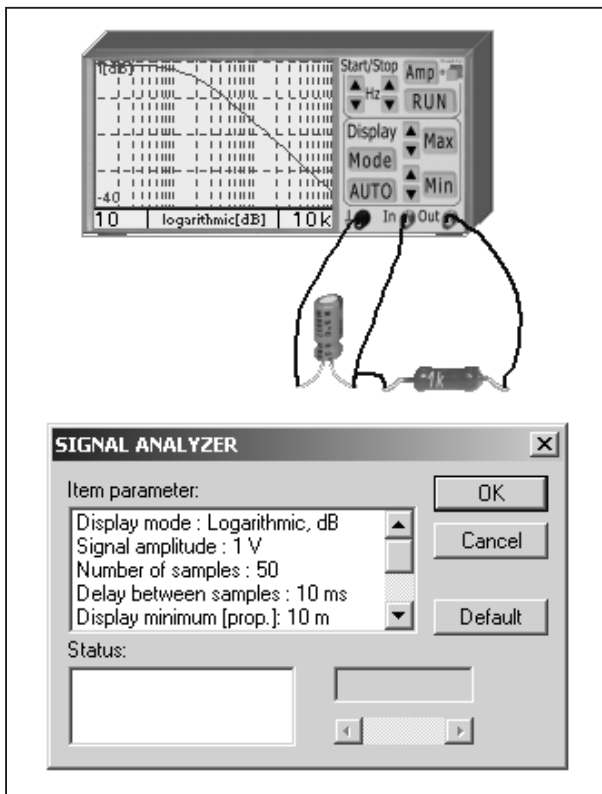
Als u vervolgens op de knop “RUN” klikt, verschijnt de amplitude/frequentie-karakteristiek van de schakeling onmiddellijk op het scherm van het meetapparaat.

Grafieken en formules

Natuurlijk kunt u, net zoals bij de scope, ook nu de grafiek in een eigen venster aanschouwen en de transferformule van de schakeling bewonderen. In figuur 3/8.9.28-42 hebben wij de amplitu-

8.9 Software voor de ontwerper

de/frequentie-karakteristiek van het RC-filtetje van figuur 3/8.9.28-41 in een venster gezet. U ziet dat de frequentie-analyser de verticale as keurig ijk in dB en de horizontale as een logaritmische schaalindeling geeft.



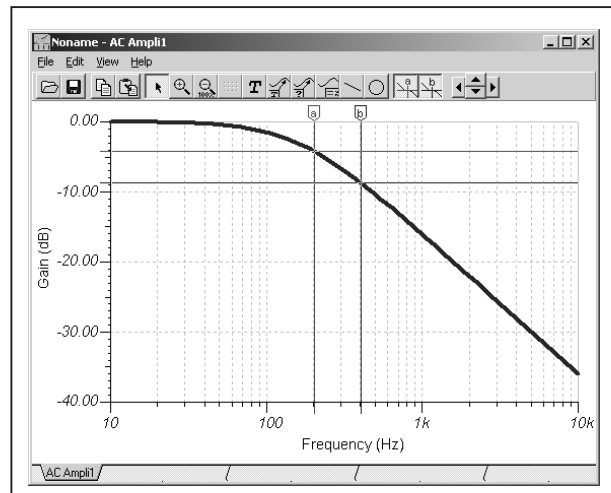
Figuur 3/8.9.28-41: Het gebruik van de frequentie-analyser bij het opmeten van de weergavekarakteristiek van een RC-filtetje.

Schoolborden

Inleiding

Het zal duidelijk zijn dat de bedenkers van Edison4 de educatieve waarde van hun programma hoog inschatten. Als u de macro's heeft doorlopen, dan zult u bij diverse experimenten reeds de "schoolborden" met Engelse teksten hebben opgemerkt, die nog eens extra

bijdragen aan dat educatieve karakter. U kunt u eigen schakelingen op een heel eenvoudige manier voorzien van dit soort geschreven "hints".



Figuur 3/8.9.28-42: De amplitude/frequentie-grafiek van de schakeling van figuur 3/8.9.28-41.

Een schoolbord toevoegen

Ga naar het menu "Edit" en selecteer "Select shelf". De standaard onderdelen, links boven in beeld, worden nu vervangen door vier "schoolborden" met diverse afmetingen. Deze kunt u, net zoals alle componenten, naar uw werktafel slepen. Dubbelklik met de linker muisknop op het bord en in een extra venster, zie figuur 3/8.9.28-43, kunt u nu de tekst invoegen die u op het "schoolbord" wilt zetten. Op dezelfde manier kunt u de tekst die al aanwezig is op een bord editen.

Een macro maken

Inleiding

Edison4 is een educatief programma en een van de krachtigste hulpmiddelen daarbij is het maken van macro's. Een

8.9 Software voor de ontwerper

macro registreert alles dat u in het programma doet en maakt er een soort tekenfilmpje van dat u nadien kunt afspelen. U kunt bovendien aan zo'n macro zogenaamde "hints" toevoegen, tekstballonnen die de aandacht vestigen op een bepaalde actie die u uitvoert.



Figuur 3/8.9.28-43: Het toevoegen van tekstborden aan uw schakeling.

Een nieuwe macro maken

Ga naar het menu "Edit" en kies "New". U start nu met een lege werktafel. Ga weer naar het menu "Edit", selecteer "Macro" en dan "Record".

Ontwerp nu uw demonstratie, dus sleep onderdelen naar uw werktafel, maak verbindingen en voeg meetapparatuur toe. Demonstreer nadien de werking van de schakeling door op knoppen te klikken of aan de knoppen van de meetapparatuur te draaien.

De macro save

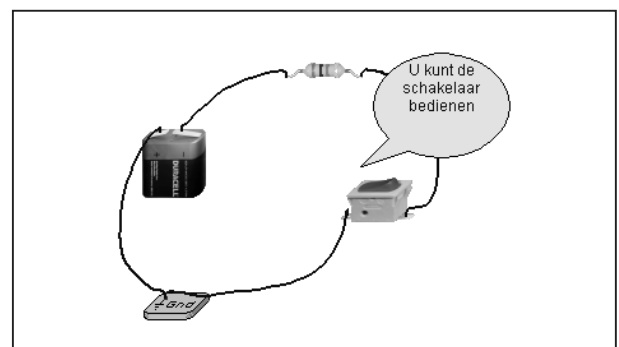
Klaar? Ga dan naar het "Edit" menu, optie "Macro" en selecteer "Save as". Uw macro wordt nu opgeslagen met de extensie .MAC.

Tekstballonnen toevoegen

Open een zuivere ASCII tekstverwerker, zoals "Kladblok" en schrijf hierin de teksten die u in de tekstballonnen wilt plaatsen. Iedere tekst start op een nieuwe regel, witregels zijn niet toegestaan. Klaar? Bewaar dan deze tekstfile in dezelfde directory waarin u uw macro heeft opgeslagen en geef er dezelfde naam aan, maar met de extensie .MTX.

Hints invoegen

Ga weer via "Edit" naar "Macro" en selecteer "Modify hints". Uw macro wordt nu afgespeeld. Op het moment dat u de eerste hint wilt invoegen verplaatst u de cursor naar de plaats waar u de hint wilt hebben en drukt op de linker muisknop, zie figuur 3/8.9.28-44. Op het moment dat de tekstballon moet verdwijnen van het scherm klikt u op de rechter muisknop. Ga zo verder tot alle tekstballonnen op de juiste plaats en op het juiste moment zijn ingevoegd. Als de macro is afgespeeld bewaart u hem weer via "Edit", "Macro" en "Save".

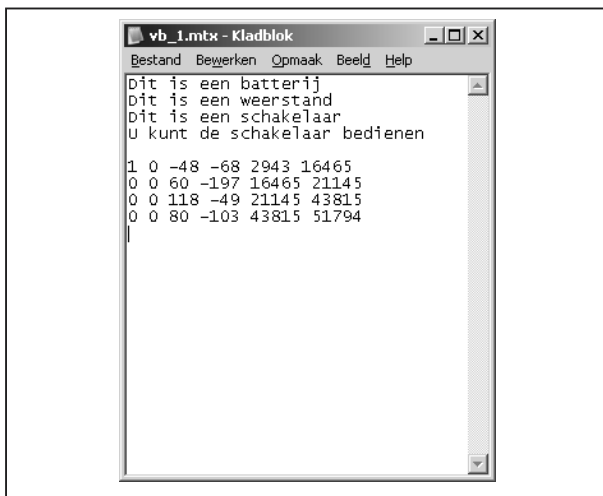


Figuur 3/8.9.28-44: Het invoegen van "hints" aan uw macro.

8.9 Software voor de ontwerper

Het .MTX bestand

Als u uw macro tekstbestand weer opent ziet u (figuur 3/8.9.28-45) dat Edison4 uw zuiver tekstbestand heeft aangevuld met een aantal regels, waarin de plaats en het moment van verschijnen en verdwijnen van iedere hint wordt gedefinieerd.



Figuur 3/8.9.28-45: Het door Edison4 automatisch aangepast tekstbestand van uw hints.

Problemen oplossen

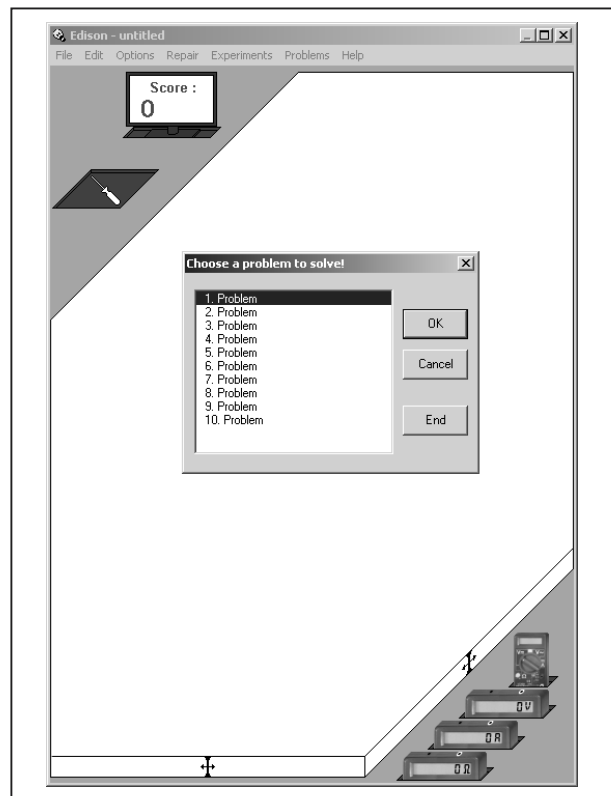
Leuke kennistests

Edison4 wordt geleverd met een aantal voorbeelden van “Problems”. Dat zijn schakelingen waar bewust een fout in is aangebracht of schakelingen waarover vragen worden gesteld. Via een scorelijst wordt bijgehouden hoeveel vragen goed of fout worden beantwoord.

Een “Problem” openen.

Open het menu “Problems”. U kunt kiezen uit 14 voorbeelden, open als voorbeeld “VOLTGEN.PRB”. U ziet een leeg werkblad met links boven een scorebord en een grote schroevendraaier. Met deze

schroevendraaier kunt u defecte onderdelen repareren. Open nu weer het menu “Problems”. U krijgt een lijstje met tien problemen, zie figuur 3/8.9.28-46, die u moet oplossen.



Figuur 3/8.9.28-46: Bij het probleem “VOLTGEN.PRB” moet u tien vragen beantwoorden.

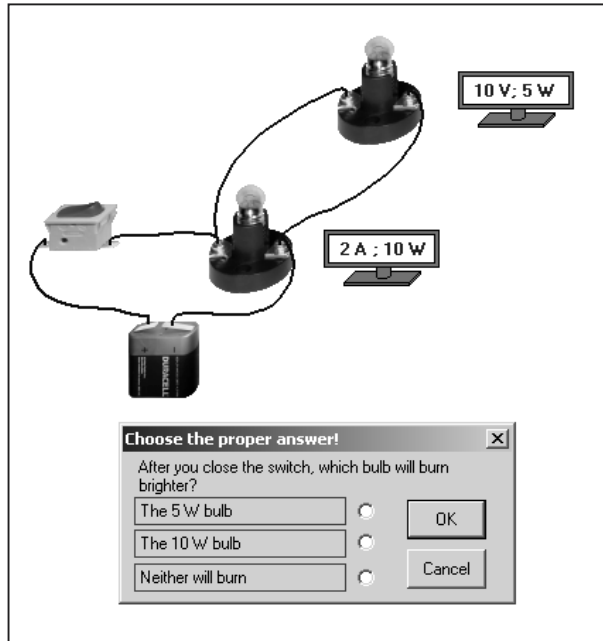
De vragen beantwoorden

Deze “Problems” zijn, zie figuur 3/8.9.28-47, vrij simpel. Bij dit “Problem” moet u kiezen welke lamp het felst zal branden, de lamp van 5 W of de lamp van 10 W.

Conclusie

De “Problems” zijn handige hulpmiddelen voor het testen van de basiskennis van iemand die nét de basisprincipes van de elektriciteit en de elektronica begint te ontdekken.

8.9 Software voor de ontwerper



Figuur 3/8.9.28-47: Een van de vragen die in het “Problem” “VOLTGEN.PRB” worden gesteld.

Zélf “Problems” ontwerpen

Het unieke van Edison4 is dat u zélf dergelijke “Problems” kunt ontwerpen. Het gaat te ver om de procedure hier tot in de details te beschrijven, in de “Help” van het programma staat een duidelijke Engelse stap-na-stap beschrijving. In het kort komt het op het volgende neer:

- maak voor ieder probleem uit de set een schakeling (.CIR file);
- schrijf een source file voor de set (.SRP file);
- compileer dit bestand met het programma “PROBLEMS.EXE” tot een .PRB file.

U schrijft de source file met een zuivere ASCII tekstverwerker, zoals “Kladblok”. Het samenstellen van een venstertje zoals voorgesteld in figuur 3/8.9.28-47 is een fluitje van een cent. In figuur 3/8.9.28-48 hebben wij een voorbeeld gegevens van de code die u moet invoeren om een venstertje als dat van figuur 3/8.9.28-47 te ontwerpen.

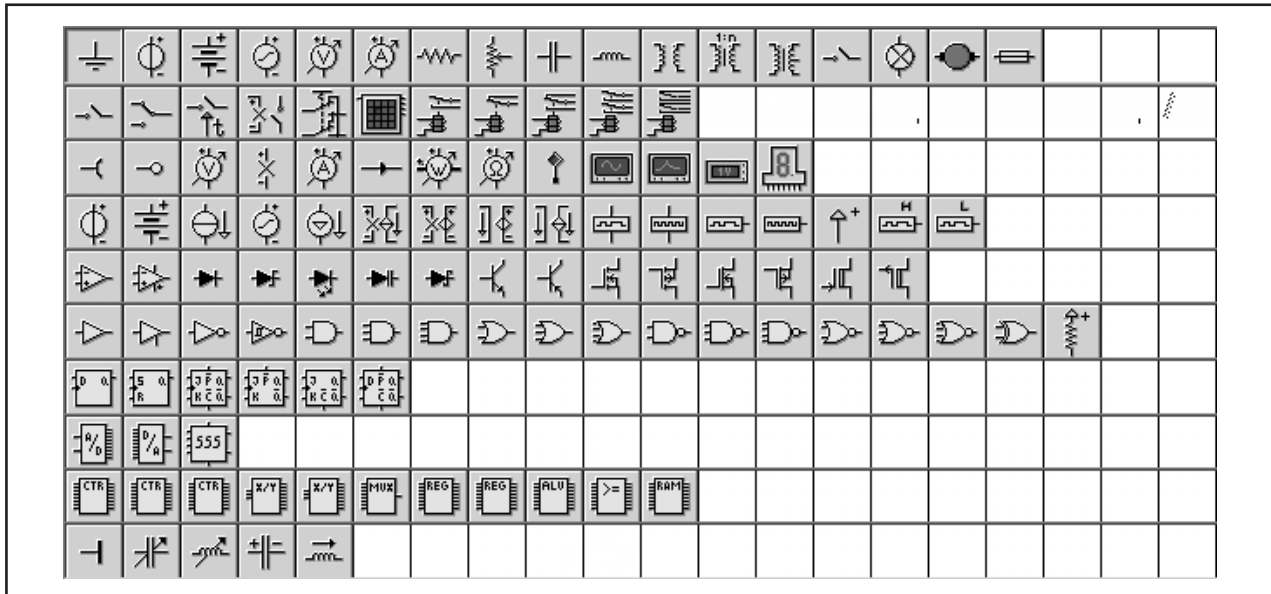
De commando’s heeft u zó onder de knie:

- .D (Definition):
De naam van het probleem.
- .L (Load):
De naam van en het pad naar het .CIR bestand van de schakeling.
- .Q (Question):
De vraag die in het venstertje verschijnt.
- .G (Good):
Het goede antwoord uit de lijst .A.
- .A (Answer):

```
.D Voltgen^2
.L problems\p200.cir
.Q Welke^lamp^gaat^feller^branden^als^u^de^schakelaar^sluit?
.G 2
.A de^5^W^lamp
.A de^10^W^lamp
.A geen^van^beide^gaat^branden
.C 25
..
```

Figuur 3/8.9.28-48: Een voorbeeld van de code die u moet schrijven voor het ontwerpen van de vensters van de “Problems”.

8.9 Software voor de ontwerper



Figuur 3/8.9.28-49: De in de “Schematic Editor” beschikbare componenten.

Drie mogelijke antwoorden waaruit de student moet kiezen.

– .C (Score):

Het aantal punten dat de student verdient met een goed antwoord.

– ..

Einde van de vensterdefinitie.

Let er op dat in het .SRP bestand géén spaties mogen voorkomen, spaties moet u invoeren door het teken “^” tussen de woorden te zetten.

De Schematic Editor

Inleiding

De reeds in figuur 3/8.9.28-9 voorgestelde “Schematic Editor” is het professionele tekenpakket in de Edison4 bundel. U kunt er niet alleen uitgebreide schakelingen mee tekenen, maar u kunt nadien een uitgebreid aantal analyses op uw schema loslaten. In de directory “EXAMPLES” vindt u 19 voorbeeldschema’s die u via het “File” menu en de optie “Open” kunt bekijken.

De verschillen tussen het tekenen in de “Schematic Analyser” en in de “Schematic Editor” zijn groot.

Meer componenten

De componenten in de “Schematic Editor” zitten in tien tab’s:

- Basic;
- Switches;
- Meters;
- Sources;
- Semiconductors;
- Gates;
- Flip-flops;
- Mixed mode;
- Logic IC’s;
- Specials.

In figuur 3/8.9.28-49 hebben wij de inhoud van deze tien tab’s samengevat.

Meer parameters instellen

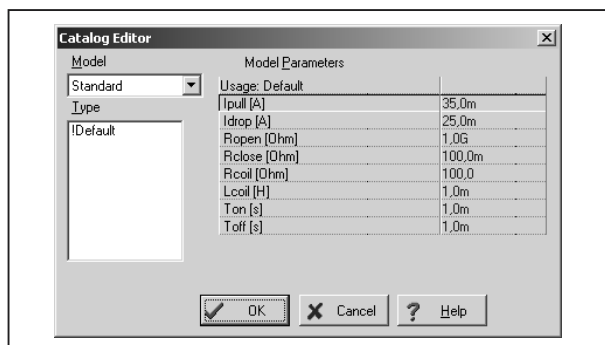
In figuur 3/8.9.28-6 hebben wij al een voorbeeld gegeven van de overvloed aan parameters die u bij de onderdelen kunt definiëren. Dat plaatje geeft het parametervenster weer voor een transistor. Maar

8.9 Software voor de ontwerper

in feite geldt dit voor alle onderdelen en meetapparaten die u in de “Schematic Editor” ter beschikking heeft.

Als voorbeeld geven wij u in figuur 3/8.9.28-50 het “Catalog Editor” venstertje voor een relais met enkelvoudige omschakelaar. U kunt instellen:

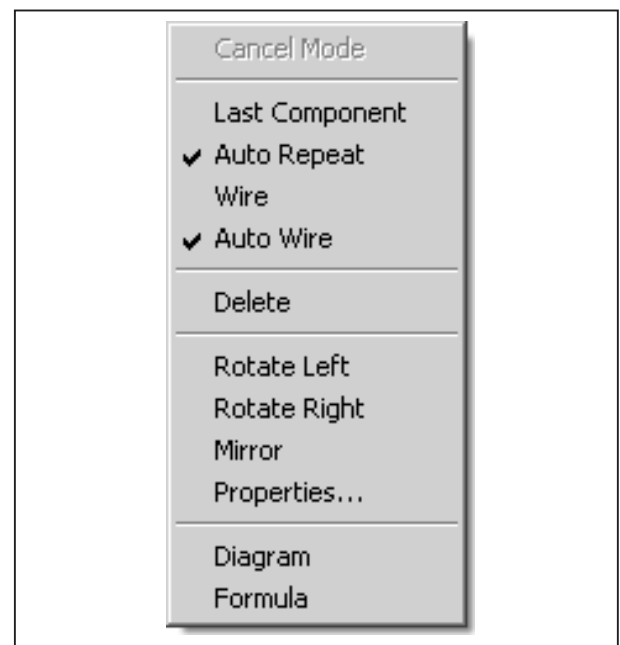
- I_{pull} :
De stroom waarbij het relais inschakelt.
- I_{drop} :
De stroom waarbij het relais uitschakelt.
- R_{open} :
De contactweerstand in open toestand.
- R_{close} :
De contactweerstand in gesloten toestand.
- R_{coil} :
De ohmse weerstand van de relaispoel.
- L_{coil} :
De inductantie van de relaisspoel.
- T_{on} :
De inschakelvertraging van de schakelaar.
- T_{off} :
De uitschakelvertraging van de schakelaar.



Figuur 3/8.9.28-50: In de “Schematic Editor” kunt u vrijwel alle denkbare parameters van de onderdelen zelf definiëren.

Onderdelen manipuleren

U plaatst de onderdelen op uw tekenvel door er met de linker muisknop op te klikken, het onderdeel naar het tekenvel te slepen en dan weer links te klikken. Klikt u met de rechter muisknop op een onderdeel, dan verschijnt het pop-up venstertje van figuur 3/8.9.28-51.



Figuur 3/8.9.28-51: Het pop-up venstertje dat verschijnt na klikken met de rechter muisknop op een onderdeel.

- Last Component:
Het onderdeel wordt geselecteerd en u kunt het verplaatsen.
- Auto Repeat:
Als u via “Copy” en “Paste” een kopie maakt van het onderdeel, worden de parameters overgenomen.
- Wire:
U schakelt over naar de bedradingsmodus.
- Auto Wire:
Als u deze optie aanklikt, worden alle verbindingen die u legt “rubber ban-

8.9 Software voor de ontwerper

ding”: als u een onderdeel verplaatst worden de verbindingen naar en van dit onderdeel automatisch mee verplaatst.

- Delete:
Het onderdeel wordt verwijderd.
- Rotate en Mirror:
Het onderdeel wordt gedraaid of gespiegeld, dit laatste is uiteraard belangrijk voor bijvoorbeeld transistoren.
- Properties:
Opent het “Catalog Editor” venster van figuur 3/8.9.28-50, waarin u alle parameters kunt definiëren.
- Diagram:
Alleen beschikbaar bij meetinstrumenten die een beeldscherm hebben, opent een extra venster waarin de meetgegevens vergroot worden weergegeven.
- Formula:
Geeft de transferfunctie van de schakeling onder de vorm van een wiskundige uitdrukking.

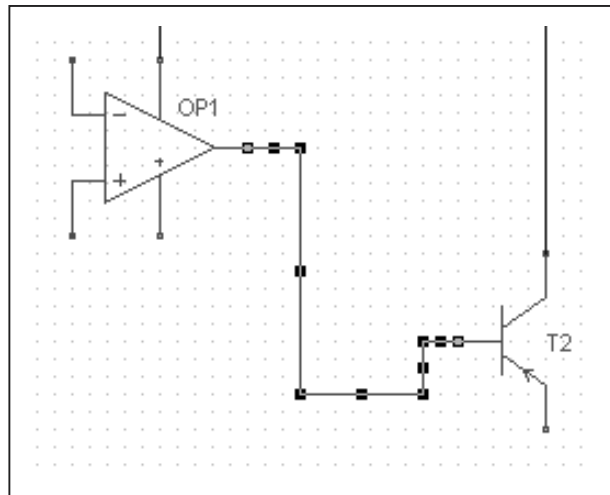
Eenheden invoeren

In het venstertje van figuur 3/8.9.28-50 moet u vaak numerieke waarden invoeren. U kunt hierbij de standaard afkortingen toepassen die in de elektronica gebruikelijk zijn. Met andere woorden, u hoeft niet “1000” in te voeren, het programma begrijpt de invoer “1k” net zo goed. Een overzicht van de afkortingen die Edison4 herkent:

- p = pico = 10^{-12}
- n = nano = 10^{-9}
- u = micro = 10^{-6}
- m = milli = 10^{-3}
- k = kilo = 10^3
- M = mega = 10^6
- G = giga = 10^9
- T = tera = 10^{12}

Uw schema bedraden

Ga via het venster van figuur 3/8.9.28-51 naar “Wire”, de cursor verandert in een pen. Ga naar het punt waar de verbinding start (*altijd een klein bolletje bij de aansluiting van een onderdeel*) en druk op de linker muisknop. Trek de verbinding met ingedrukte muisknop tot het eindpunt en laat dan de muisknop los. Edison4 kan alleen verticale en horizontale verbindingen maken, het gevolg is dat uw verbindingen soms overbodige hoeken maken. Geen probleem, klik één maal op de verbinding. De verbinding wordt rood en wordt voorzien van een aantal “handles”, kleine vierkantjes zoals voorgesteld in figuur 3/8.9.28-52. U kunt deze met ingedrukte linker muisknop verplaatsen en op deze manier overbodige hoeken uit uw verbindingen verwijderen.



Figuur 3/8.9.28-52: Als u met de linker muisknop op een verbinding klikt, kunt u deze verplaatsen en inkorten.

In- en uitgangen

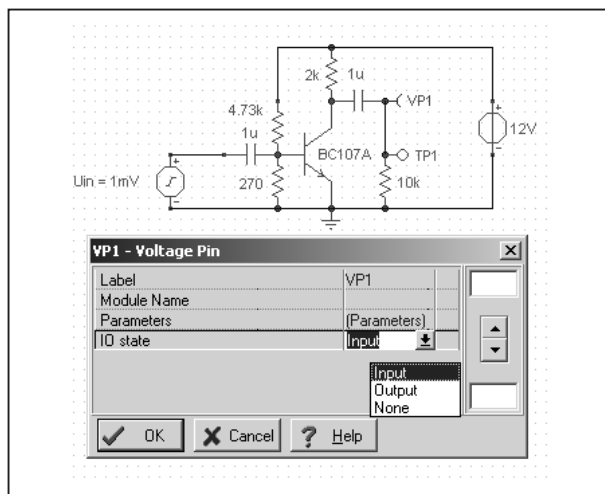
Sommige analyses eisen dat u uw schema van in- en uitgangen voorziet. Alle signaalbronnen zijn standaard ingesteld als

8.9 Software voor de ontwerper

“INPUT”. Dat ziet u als “Properties” selecteert in het venster van figuur 3/8.9.28-51 en naar de parameter “IO state” scrolt.

Om de uitgang vast te leggen gaat u naar de onderdelengroep “Meters” en selecteert “Voltage Pin”. Sleep deze pen naar de plaats in uw schema waar u de uitgang wilt hebben. Via rechts klikken selecteert u “Properties” (zie figuur 3/8.9.28-51). Zet de “IO state” (zie figuur 3/8.9.28-53) op “Output”.

In de meeste schema's kunt u meerdere uitgangen vastleggen.



Figuur 3/8.9.28-53: Het invoegen van een “Voltage Pin” als uitgang van uw schakeling.

Een analoog voorbeeld

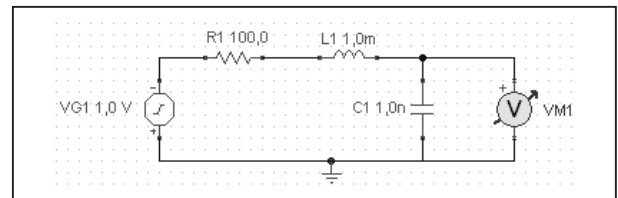
Inleiding

Als voorbeeld van het analoog werken met de “Schematic Editor” zullen wij het schema van een RLC-filter samenstellen en nadien analyseren. Het volledige schema dat u moet tekenen is voorgesteld in figuur 3/8.9.28-54.

Het schema bestaat uit de volgende onderdelen:

- Sources - Voltage Generator;
- Basic - Resistor;
- Basic - Capacitor;
- Basic - Inductor;
- Meters - Volt meter;
- Basic - Ground.

Zet deze onderdelen op een logische plaats en maak nadien de onderlinge verbindingen op de beschreven manier. Let op de polariteit van de generator! De “+” moet boven, u moet het onderdeel dus twee keer draaien.



Figuur 3/8.9.28-54: Om u analoog te leren werken met de “Schematic Editor” ontwerpen wij dit eenvoudig RLC-filter.

De “Voltage Generator” instellen

Klik met de rechter muisknop op de generator en selecteer “Properties”. In het venster van figuur 3/8.9.28-55 kunt u vervolgens alle parameters van de generator instellen:

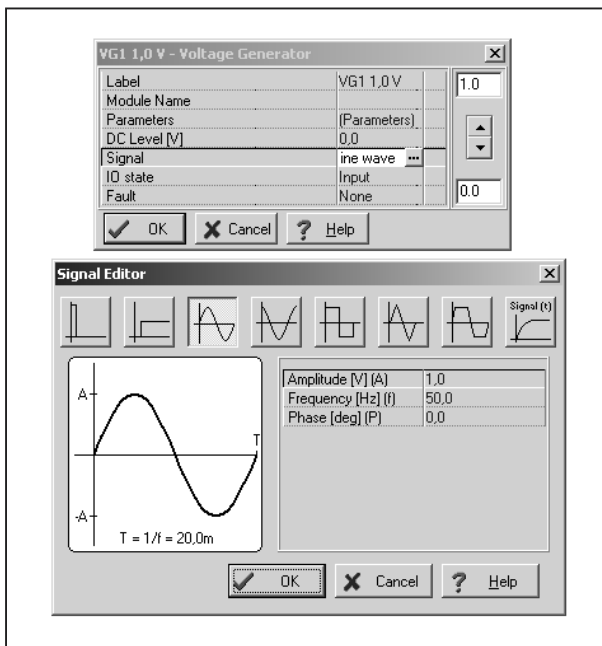
- Label:
Hier kunt u aan de generator een unieke naam toekennen.
- DC level:
Definieert de gelijkspanning op de uitgang van de generator, die stelt u op 0 V.
- Signal:
Klikken op deze optie levert het onderste venster van figuur 3/8.9.28-55 op, waarin u de signaalgang, de amplitude, de frequentie en de fase kunt instellen. In dit geval kiezen we voor sinus, 1,0 V, 50 Hz en 0,0 °.
- IO state:

8.9 Software voor de ontwerper

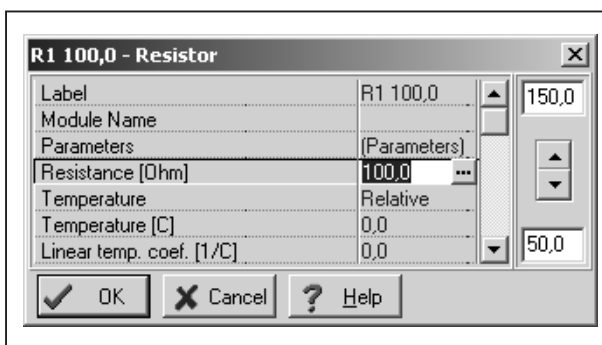
De generator is uiteraard een “Input” onderdeel.

– Fault:

U wilt natuurlijk geen defecte generator, dus klikt u “None” aan.



Figuur 3/8.9.28-55: Het instellen van de parameters van de “Voltage Generator”.



Figuur 3/8.9.28-56: Het vastleggen van de waarde van de drie onderdelen.

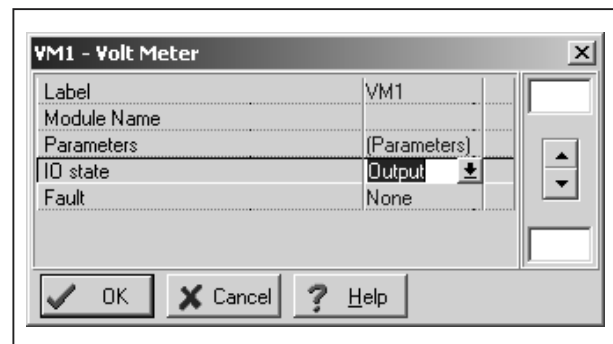
R1, L1 en C1 definiëren

Op dezelfde manier kunt u de waarden van de drie passieve componenten vastleggen, zie figuur 3/8.9.28-56. De overige parameters zijn interessant om mee te

experimenteren, maar die laten wij op dit moment ongewijzigd.

De meter definiëren

Tot slot stelt u de parameters van de meter in, zie figuur 3/8.9.28-57. U moet de “IO state” instellen op “Output”.



Figuur 3/8.9.28-57: Het instellen van de parameters van de meter.

Analyse

U kunt nu de diverse analyse-algoritmen die in Edison4 zitten op uw schakeling toepassen. In de inleiding hebben wij al een overzicht gegevens van alle analyses die ter beschikking staan. DC-analyses hebben in dit geval niet erg veel zin, zodat u via het menu “Analysis” bij de optie “AC Analysis” terecht komt.

Calculate nodal voltages

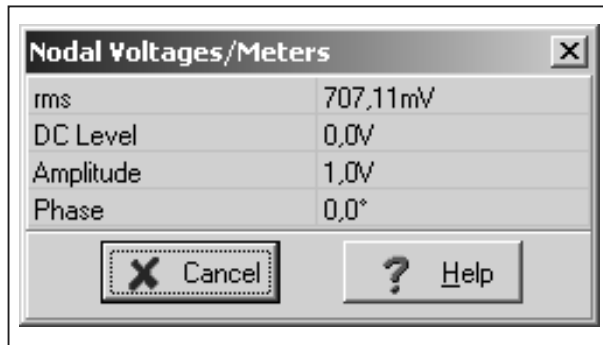
Met deze analyse kunt u de signaalspanning op de diverse punten van uw schakeling meten. Zoals uit het venster van figuur 3/8.9.28-58 blijkt, meet de meter niet alleen de amplitude van het signaal, maar ook de effectieve waarde (rms), het gelijkspanningsniveau en de fase.

AC Transfer Characteristic

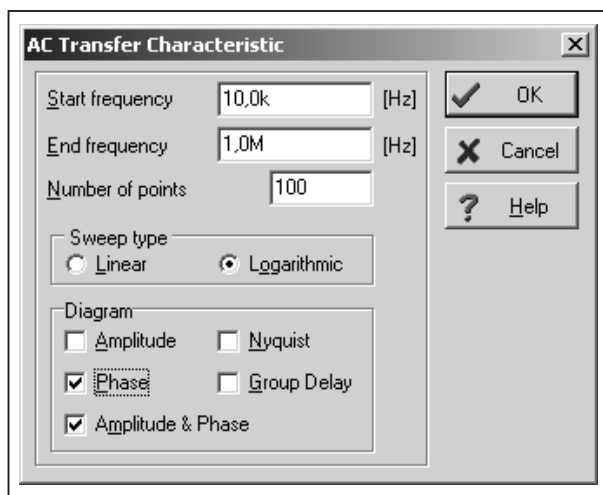
Een veel nuttigere analyse is de “AC Transfer Characteristic”. Deze geeft de frequentie/amplitude-karakteristiek van uw schakeling. In het venster van figuur

8.9 Software voor de ontwerper

3/8.9.28-59 kunt u de parameters van deze analyse instellen.



Figuur 3/8.9.28-58: Het venstertje van de “Calculate Nodal Voltages”.



Figuur 3/8.9.28-59: Het instellen van de parameters van de “AC Transfer Characteristics”.

- Start frequency:
De laagste frequentie van de analyse, stel deze waarde in dit voorbeeld in op 10 kHz.
- End frequency:
De hoogste waarde van de analyse, stel deze in op 1 MHz.
- Number of points:
Het aantal discrete frequenties die in de gekozen frequentieband wordt onderzocht, hoe hoger deze waarde hoe gedetailleerder de analyse.

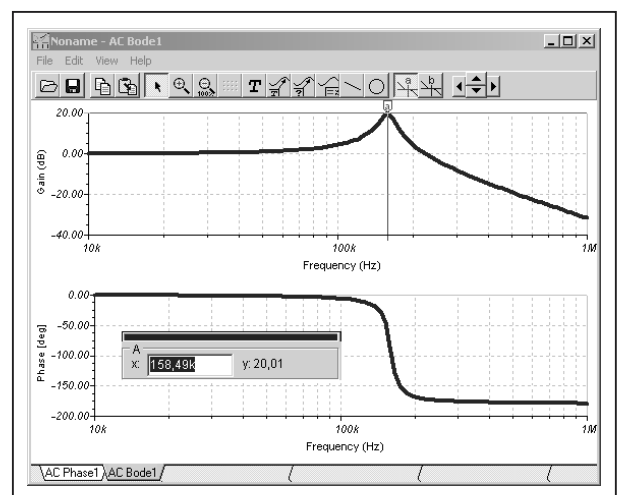
- Sweep type:

In de meeste gevallen kiest u voor “Logarithmic”, wij zijn nu eenmaal gewend frequentie-assen logaritmisch in te delen.

- Diagram:

U kunt hier vier verschillende grafieken instellen, in dit geval in een Bode-diagram, de combinatie van amplitude en fase, het interessantste.

Het resultaat van de analyse is weergegeven in figuur 3/8.9.28-60. U kunt “Cursor a” instellen op de resonantiepiek en stelt dan vast dat deze piek 20 dB groot is en ligt bij 158,49 kHz.



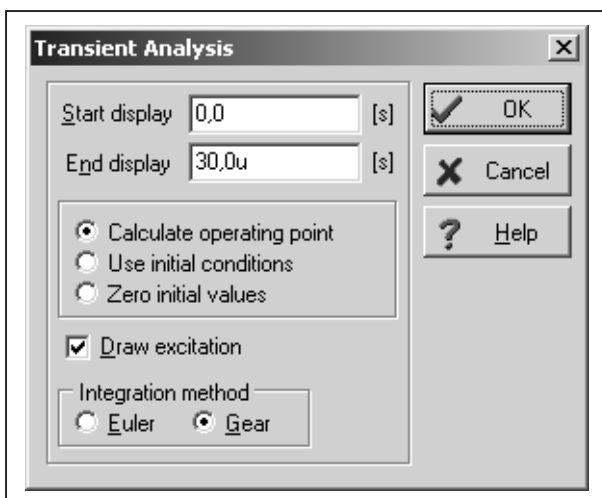
Figuur 3/8.9.28-60: Het Bode-diagram geeft het amplitude- en faseverloop in functie van de frequentie van het ingangssignaal.

Transient Analysis

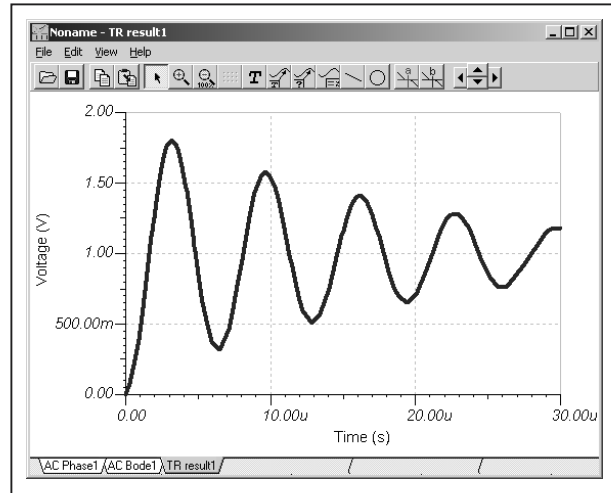
De transiënt analyse geeft het verloop van de uitgangsspanning als u op de ingang een eenmalige spanningsprong aanlegt. Om een dergelijke analyse te kunnen uitvoeren moet u de generator op de ingang instellen op “Unit Step” in plaats van “Sine Wave”. Dat doet u natuurlijk in het venster van figuur 3/8.9.28-55. Ga nadien via het menu

8.9 Software voor de ontwerper

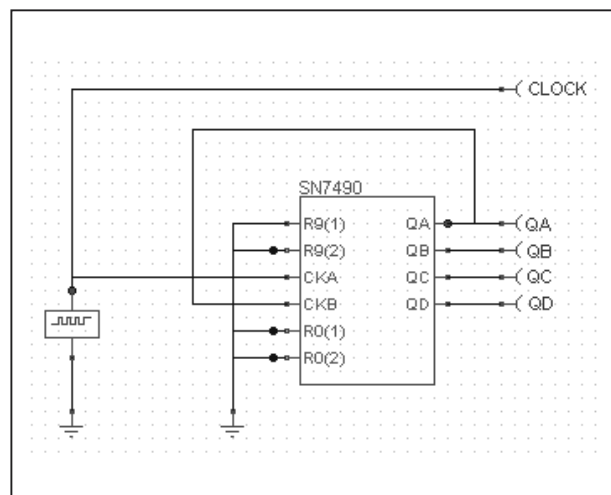
“Analysis” naar de optie “Transient”. In het venster van figuur 3/8.9.28-61 kunt u de tijdsas instellen (“Start display” en “End display”). Stel deze parameters in op 0 s en 30 μ s. Klik op “OK”, Edison4 berekent nu de transiënt response van uw schakeling en zet deze in het venster van figuur 3/8.9.28-62.



Figuur 3/8.9.28-61: Het instellen van de parameters van een transiënt analyse.



Figuur 3/8.9.28-62: De resultaten van de transiënt analyse.



Figuur 3/8.9.28-63: Aan de hand van dit eenvoudige voorbeeld leggen wij u uit hoe u digitale schakelingen kunt analyseren.

Een digitaal voorbeeld

De 7490 tienteller

Als voorbeeld van het digitaal werken met de “Schematic Editor” behandelen wij de eenvoudige schakeling van figuur 3/8.9.28-63: een ordinaire tienteller van het type 7490 die wordt aangestuurd door een clock-generator. U heeft de volgende onderdelen nodig:

- Sources - Clock;
- Logic IC's - 7490;
- Meters - Voltage Pin (5x);
- Basic - Ground (2x).

Stel de frequentie van de Clock in op 1 kHz en geef de vijf Voltage Pins logische namen.

Digital Analysis, Step-by-Step

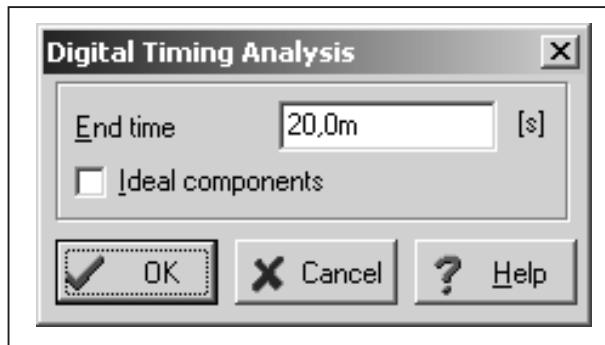
Deze handige analyse, waarmee u het verloop van de logische niveaus in uw schakeling kunt volgen, hebben wij al toegelicht aan de hand van figuur 3/8.9.28-12.

Digital Timing Analysis

Met deze analyse krijgt u inzicht in de onderlinge tijdsrelatie tussen de signa-

8.9 Software voor de ontwerper

len die op al uw Voltage Pins verschijnen. In het venstertje van figuur 3/8.9.28-64 stelt u de “End time” in op 20 ms.



Figuur 3/8.9.28-64: Het instellen van de tijdsas van de “Digital Timing Analysis”.

Het resultaat van deze analyse ziet u in figuur 3/8.9.28-65: twintig perioden van de clock en het resultaat op de vier uitgangen van de tienteller.

Interactieve modus

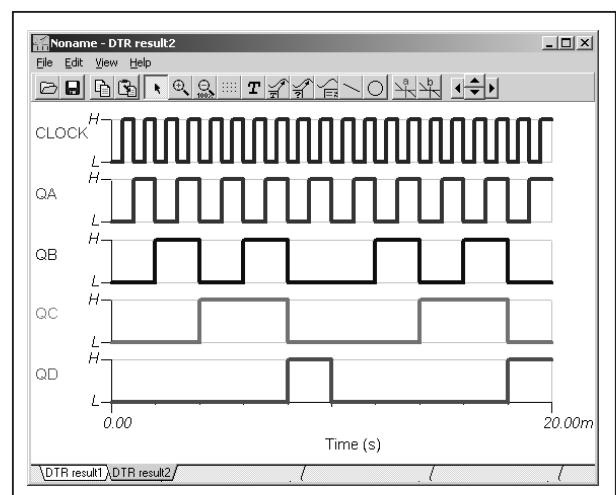
Inleiding

Een prachtige eigenschap van de “Schematic Editor” mag niet onvermeld blijven: de interactieve modus. In deze modus ziet u de werking van de schakeling in real time. U kunt schakelaars bedienen en LED's en zeven-segment indicatoren reageren op de digitale pulsen in de schakeling. U kunt de waarde van componenten veranderen en ziet onmiddellijk hoe de schakeling daarop reageert.

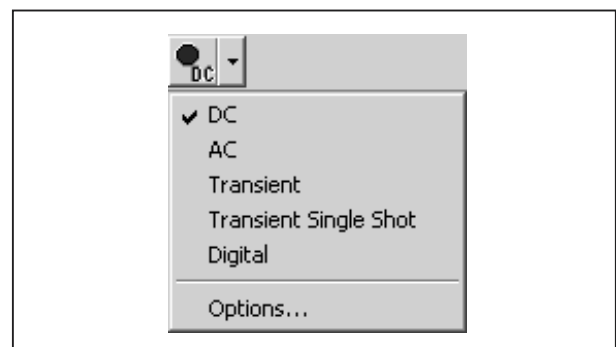
Een voorbeeld

Als mooie demonstratie van deze interactieve modus openen wij het voorbeeld “DISPKEY.SCH” dat in de directory “EXAMPLES” te vinden is. Klik nu op

het pijltje naast de knop “Interactieve mode On/Off”, zie figuur 3/8.9.28-66. Selecteer “Digital” en klik op de knop met de gedoofde LED. Het LED'je gaat nu branden en uw schema zit in de interactieve modus. U ziet de reeds bekende rode en blauwe vierkantjes die de logische niveaus op de diverse lijnen en in- en uitgangen weergeven, zie figuur 3/8.9.28-67. Ga nu met de muiscursor naar het toetsenbordje en klik op een van de toetsen. U ziet onmiddellijk hoe de logische niveaus in de schakeling hierdoor veranderen en hoe de zeven-segment indicator reageert.

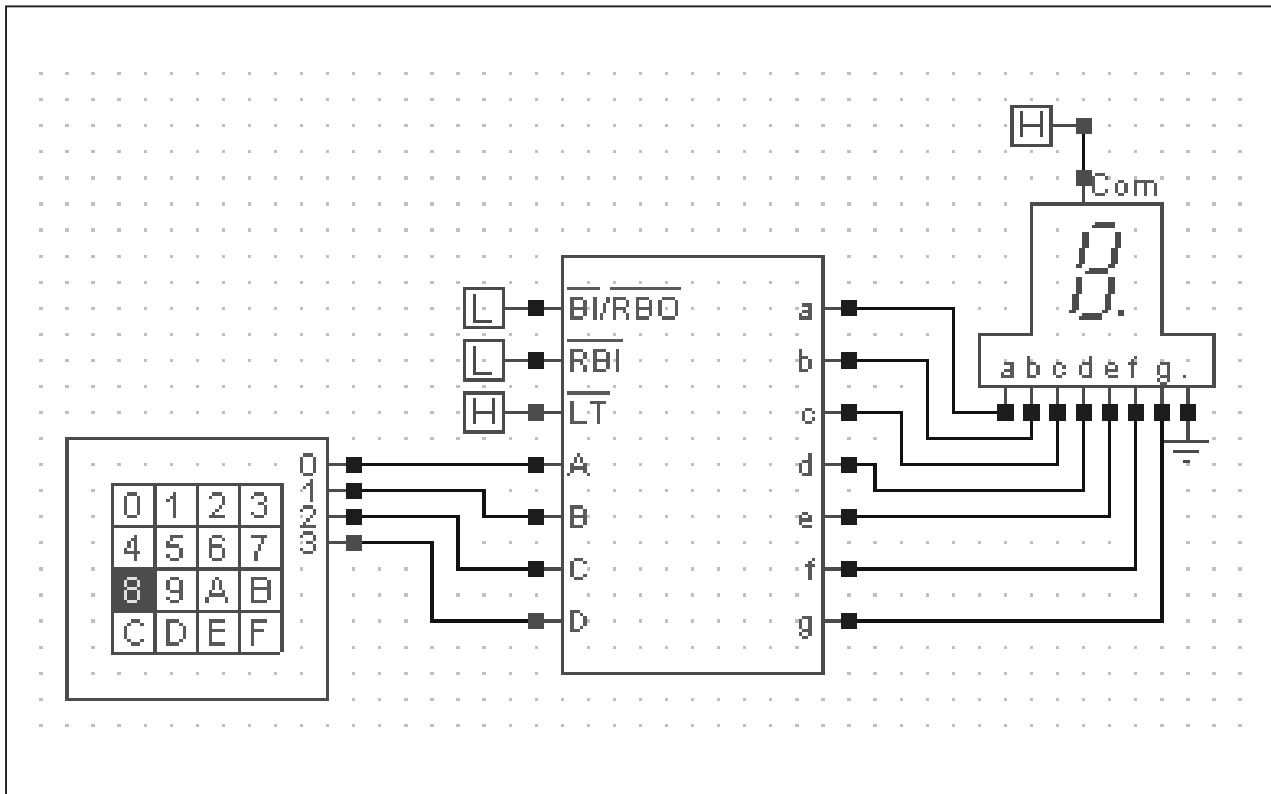


Figuur 3/8.9.28-65: De digitale tijd analyse.



Figuur 3/8.9.28-66: De correcte interactieve modus hangt af van het soort schakeling dat u heeft ontworpen.

8.9 Software voor de ontwerper



Figuur 3/8.9.28-67: De interactieve modus in actie: u ziet de signaalniveaus in real time weergegeven door rode en blauwe vierkantjes, kunt het toetsenbordje bedienen en de reactie van de indicator bewonderen.

Nadere gegevens

Edison4 van DesignSoft wordt in Nederland en Vlaanderen exclusief per postorder verkocht door

Vego VOF

Postbus 32014

7370 JA Landgraaf (NL)

Telefoon: 045-533.22.00

Fax: 045-533.22-02

E-mail: vego_vof@compuserve.com

Internet: www.elektronicasoftware.nl

Het pakket kost € 129,00 exclusief 19 % BTW.

5/9

Audio-Hifi: surround sound systemen

Inhoud

- 5/9.1 Het principe van Dolby Surround Sound Pro Logic**
(verschenen in de 63e aanvulling)
- 5/9.2 Alternatieven voor Dolby Pro Logic**
(verschenen in de 64e aanvulling)
- 5/9.3 Surround sound systemen en hun specificaties**
(verschenen in de 114e en 115e aanvulling)
- 5/9.4 De positie van de luidsprekers bij surround sound systemen**
(verschenen in de 129e aanvulling)

Vego's bestelservice voor oude hoofdstukken

Alle hoofdstukken uit dit naslagwerk kunt u afzonderlijk bestellen.
Ga hiervoor naar onze internetsite www.hobbyelektronica.nu en klik de menu-optie "Bestellen hoofdstukken" aan.

5/9.4

De positie van de luidsprekers bij surround sound systemen

Inleiding

Goedkoop, goedkoper, goedkoopst

Met de introductie van de DVD heeft de meerkanaalsweergave van geluid in de huiskamer een nieuwe impuls gekregen. Waren alle voorgaande systemen al bij de introductie tot mislukken gedoemd, met de surround sound die op vrijwel iedere moderne video-DVD staat is dat absoluut niet het geval. Een grote impuls is natuurlijk het feit dat surround sound versterkers tegenwoordig voor onbegrijpelijk lage prijzen worden aangeboden. Een DVD-speler, zes versterkers en zes luidsprekers zijn tegenwoordig te koop voor nog geen € 200,00. Als voorbeeld ziet u in figuur 5/9.4-1 de Philips HTS3100, die door Conrad wordt verkocht voor € 169,00. Waarlijk een bodemprijs voor een apparaat met de volgende specificaties:

- 40 voorkeurzenders;
- Dolby Digital;
- DTS;
- Dolby ProLogic II;
- digitale klasse “D”-versterkers;
- equaliser;
- vermogen: 4 x 25 W + 2 x 50 W;
- weergave: DVD, DVD+R, DVD+RW, DVD-R, DVD-RW, SVCD, VCD, DivX, CD-R, CD-RW, MP3, WMA, JPEG;
- 1 x SCART-aansluiting;

- 1 x S-video-aansluiting;
- RGB-sigitaal via SCART.



Figuur 5/9.4-1: De Philips HTS3100, een zeskanaals surround sound systeem dat het uwe wordt voor slechts € 169,00!

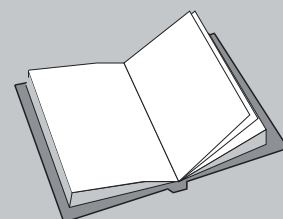
Waar naartoe met al die luidsprekers?

Het is dus tegenwoordig voor iedereen mogelijk te genieten van surround sound. Maar... waar laat u al die luidsprekers?

LEES OOK:

Hoofdstuk 5/9.1

Hoofdstuk 5/9.3



9.4 De positie van de luidsprekers bij surround sound systemen

kers? Een bioscoopzaal is nu eenmaal niet te vergelijken met uw woonkamer en de kans dat u uw luidsprekers optimaal kunt neerzetten rond uw favoriete kijk- en luisterstoel is minimaal. In dit hoofdstuk zullen wij u wat richtlijnen geven over hoe u de optimale situatie zo goed mogelijk kunt benaderen.

Surround sound systemen

Notatie

De diverse surround sound systemen worden steeds weergegeven met twee door een punt gescheiden cijfers, bijvoorbeeld "5.1". Het eerste cijfer geeft het aantal kanalen weer die een volledige audio-bandbreedte heeft, het tweede het aantal kanalen dat een beperkte bandbreedte heeft. "5.1" wil dus zeggen dat u de beschikking heeft over zes afzonderlijke audiokanalen en over zes luidsprekers. Eén van deze kanalen heeft een beperkte bandbreedte. In de praktijk komt dit neer op het zogenaamde "subwoofer"-kanaal, dat alleen bedoeld is voor het weergeven van de allerlaagste frequenties. Men noemt dat ook wel eens ten onrechte "subsonische frequenties": frequenties die men eerder voelt dan hoort.

Op dit moment zijn er drie surround sound formaten in omloop:

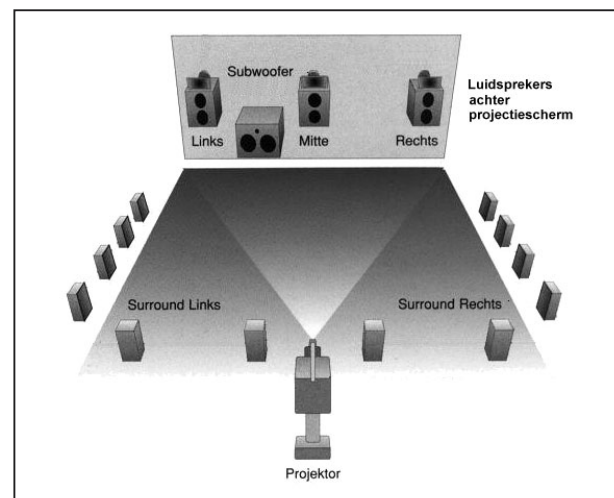
- 5.1;
- 6.1;
- 7.1.

De situatie in de bioscoop

U heeft, afhankelijk van het bedrag dat u heeft besteed aan de aanschaf van een surround sound systeem, zes, zeven of zelfs acht speakers in even zoveel mooie doosjes. Hoe nu de situatie in een bio-

scoop zo goed mogelijk nabootsen zonder in zwaar conflict te komen met uw huisgenoten? Het is belangrijk dat we eerst even de situatie in de moderne bioscoop schetsen. In figuur 5/9.4-2 is deze voorgesteld. Achter het projectiescherm staan vier luidsprekers, die de drie frontkanalen en het subwooferkanaal voor hun rekening nemen. Achter in de zaal hangt een aantal luidsprekers links en rechts, die het van achteren komend geluid voor hun rekening nemen. Links en rechts hangen twee batterijen luidsprekers, die verantwoordelijk zijn voor de weergave van het linker en rechter geluid.

Het zal wel zonder meer duidelijk zijn dat u deze situatie nooit ofte nummer in de huiskamer kunt benaderen.



Figuur 5/9.4-2:

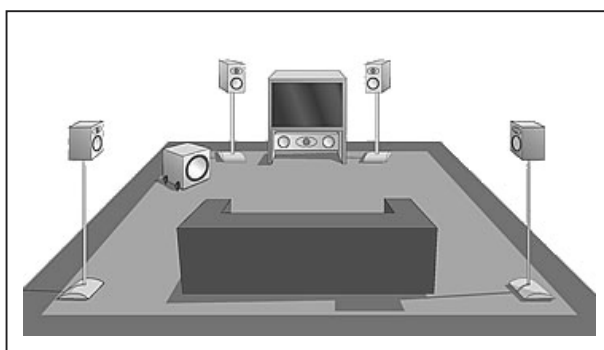
De luidsprekeropstelling van een 7.1 systeem in een moderne bioscoop.

Het 5.1 formaat in de huiskamer

Het 5.1 formaat komt het meeste voor op video-DVD's. De goedkopere surround sound versterkers ondersteunen alleen dit formaat. Het audiomateriaal is op de DVD opgenomen als Dolby Digital 5.1 en/of Digital Theatre Sound (DTS) 5.1.

9.4 De positie van de luidsprekers bij surround sound systemen

Beide systemen zijn bedoeld voor weergave over vijf hoofdkanalen en één subwooferkanaal. Deze digitale geluidssystemen staan garant voor een schitterend dynamisch bereik en volledig gescheiden kanalen. Een 5.1-opstelling bestaat uit vijf breedband luidsprekers: twee voor de voorkanalen, twee voor de achterkanalen en één voor het middenkanaal. Daarbij komt dan nog een subwoofer. Een typische opstelling voor een 5.1 configuratie is weergegeven in figuur 5/9.4-3.



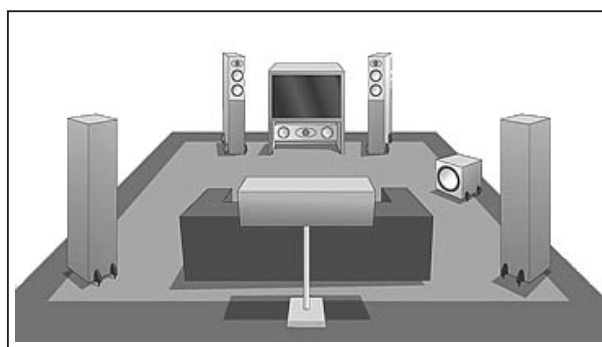
Figuur 5/9.4-3: De opstelling van de zes luidsprekers in een 5.1-systeem.

De centerspeaker die het middenkanaal voor zijn rekening neemt, moet u in feite onder uw TV of beeldscherm plaatsen. Als dat niet kan, dan kunt u de twee in uw beeldscherm ingebouwde luidsprekers via de “audio-in” connectoren van uw TV met de centeruitgang van uw surround sound versterker verbinden. De plaats van de subwoofer is gelukkig niet kritisch. Het menselijke gehoor heeft namelijk voor deze zeer lage frequenties met hun zeer lange golflengte absoluut geen richtingsgevoeligheid meer.

Het 6.1 formaat in de huiskamer

Dit systeem is een verdere ontwikkeling van de 5.1-opstelling. U krijgt nu ook achter de beschikking over een mid-

denkanaal, zodat er een systeem met zes breedband kanalen ontstaat: twee voor, twee achter, één middenvoor en één middenachter, plus uiteraard de subwoofer. Het geluid voor middenachter zit verpakt in het signaal voor links- en rechtsachter. Dit geeft een beter geluid rondom, zodat er geen gaten vallen bij geluiden die van de ene naar de andere kant overlopen. Het geluid springt dus niet ineens van de ene naar de andere luidspreker. Het 6.1 formaat bestaat in twee “smaken”, namelijk Dolby Digital EX 6.1 en DTS ES 6.1. De optimale opstelling van de luidsprekers is weergegeven in figuur 5/9.4-4.



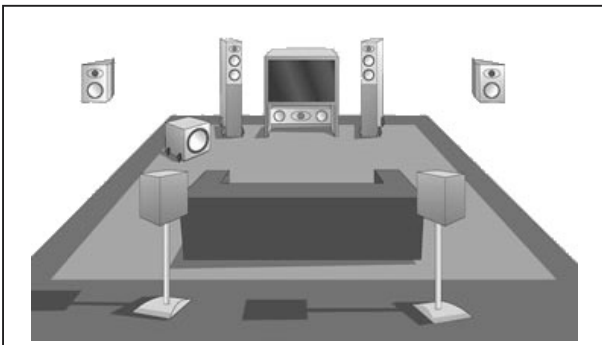
Figuur 5/9.4-4: De optimale luidsprekeropstelling bij het 6.1 formaat.

Het 7.1 formaat in de huiskamer

Bij het 7.1 formaat wordt uw woonkamer verrijkt met niet minder dan acht luidsprekers! Er komt dus weer een extra kanaal bij, zodat u dichterbij de buurt komt van de fysieke opstelling van een bioscoop. Bij 7.1 zijn er aparte kanalen voor links-, midden- en rechtsvoor, kanalen voor surroundlinks en surroundrechts (aan de zijkant) en kanalen voor links- en rechtsachter (vaak aangegeven met “rear” op het onoverzichtelijk connectorblokje op de achterzijde van uw versterker). Daarbij komt dan uiteraard nog de onontbeerlijke subwoofer. Dit extra

9.4 De positie van de luidsprekers bij surround sound systemen

kanaal maakt het nog gemakkelijker om een breder en dichter geluidsveld te creëren dat u helemaal omringt. In figuur 5/9.4-5 is de ideale huiskameropstelling van de acht speakers voorgesteld.



Figuur 5/9.4-5: De luidsprekeropstelling bij het 7.1 formaat.

Tunen van uw luidsprekers

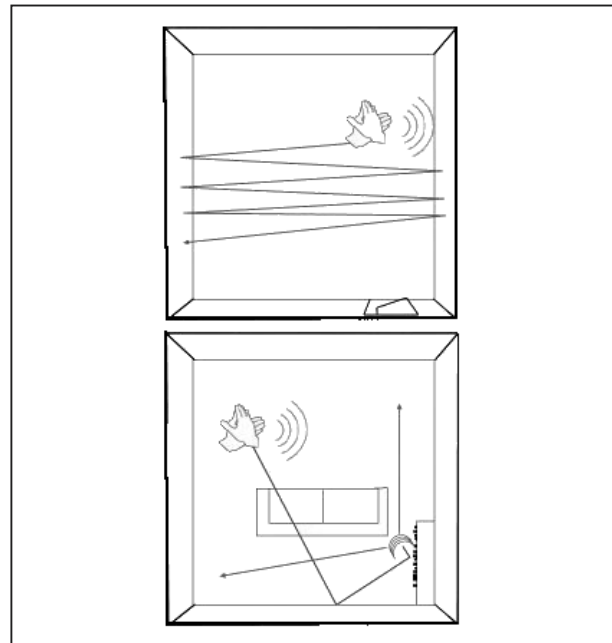
Inleiding

In de drie voorafgaande figuren hebben wij de meest ideale plaats van uw luidsprekers geschetst. Maar over de plaatsing van uw speakers valt toch heel wat meer te melden, laten we dit met een modewoord maar “het tunen van uw systeem” noemen.

Akoestiek

Uw huiskamer heeft vást niet dezelfde akoestische eigenschappen als een bioscoopzaal. Die afwijkende akoestische eigenschappen zorgen op zich al voor een geluid dat niet klinkt zoals in de bioscoop. Een belangrijk punt is reflectie. In de bioscoop doet men er alles aan om geluidsreflectie zo klein mogelijk te maken. De wanden worden bekleed met

een geluidsabsorberend materiaal en de grote hoeveelheid stoelen met stoffering zorgt ook voor een goede absorbtie van het geluid. Wat we bedoelen wordt duidelijk aan de hand van figuur 5/9.4-6. Als u in een volledig kale kamer in uw handen klappt (bovenste figuur) dan hoort u zeer duidelijk een nagalm. Dit wordt veroorzaakt door de reflectie van de geluidsgolven tegen de harde, kale muren.



Figuur 5/9.4-6: Vermijd zoveel mogelijk dat de door uw boxen uitgestraalde geluidsgolven “hard” kunnen terugkaatsen tegen muren of andere harde, gladde objecten.

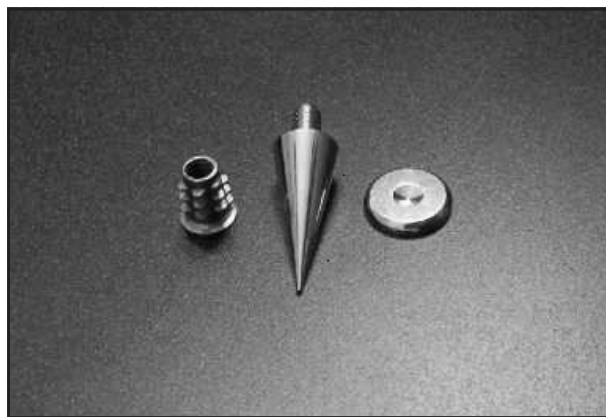
De geluidsgolven kaatsen heen en weer voordat zij uitsterven. Dit veroorzaakt niet alleen nagalm, maar kan ook staande golven en uitdovende golven veroorzaken. In het eerste geval versterken de golven elkaar, in het tweede geval verzwakken de golven elkaar. Het resultaat van beide verschijnselen is dat een zeer

9.4 De positie van de luidsprekers bij surround sound systemen

onnatuurlijk geluidsbeeld ontstaat. Het komt er dus op aan uw kamer zoveel mogelijk aan te kleden, zodat de geluidsgolven niet hard terugkaatsen, maar diffuus verspreid worden in de ruimte (onderste figuur). Het dicht schuiven van gordijnen, iets anders plaatsen van een bank of een paar potplanten neerzetten op strategische plaatsen kan de akoestiek van uw woonkamer aanzienlijk verbeteren.

Spikes

Onder de meeste speakerboxen en standaarden voor de front- en rearspeakers kunt u spikes plaatsen. Dit zijn, zie figuur 5/9.4-7, scherpe metalen pootjes die u via een inslagmoer in de onderkant van uw boxen kunt bevestigen.



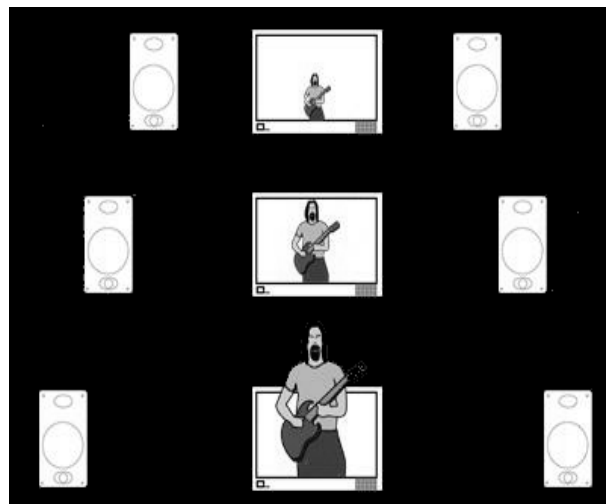
Figuur 5/9.4-7: Met dergelijke “spikes” zorgt u ervoor dat uw boxen de trillingen van de bassen niet overdragen op de vloer.

Deze spikes zorgen ervoor dat de bassen niet via de grond in contact komen met het meubilair in de kamer. Dit kan voor resonantie zorgen, een verschijnsel dat zich uit onder de vorm van trillende glazen en kasten. Deze spikes zorgen er ook voor dat de speaker vast op de grond staat. Spikes worden gebruikt bij een ondergrond van tapijt. De scherpe kant

moet wel door het tapijt prikken. Bij een houten vloer mag u de spikes natuurlijk niet in de vloer “prikken”, want dan zullen de spikes volledig hun effect missen. Als u een stenen ondergrond heeft, kunnen speciale rubberen pootjes bevestigd worden die hetzelfde effect hebben.

Afstand tussen uw frontspeakers en uw scherm

U plaatst de linker en rechter frontspeaker natuurlijk links en rechts van uw beeldscherm. Het beste is een afstand tussen 0,5 meter en 1 meter. Let er op dat wanneer de speakers niet magnetisch afgeschermd zijn er verkleuringen op het scherm van een beeldbuis kunnen ontstaan als u de speakers dichterbij dan een halve meter bij uw TV zet. Moderne LCD- en plasmaschermen hebben geen last van dit verschijnsel.



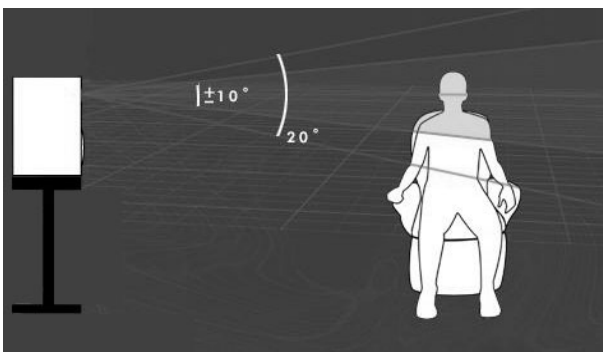
Figuur 5/9.4-8: Zet uw linker en rechter boxen niet te dicht of te ver van uw scherm: als u de afstand te klein of te groot maakt, dan is er geen zintuiglijk verband meer tussen de grootte van uw luister-ruimte en de grootte van het waargenomen beeld.

9.4 De positie van de luidsprekers bij surround sound systemen

De afstand tussen uw frontspeakers en uw beeldscherm is bepalend voor de “beeldgrootte van het geluid”. Dit wordt verduidelijkt aan de hand van figuur 5/9.4-8. Als uw luidsprekers te dicht of te ver van het scherm staan zal het geluidsbeeld niet meer overeenkomen met het optische beeld.

Statieven voor uw front- en rearspeakers

De tweeters in uw boxen zijn de kleine luidsprekertjes die verantwoordelijk zijn voor het reproduceren van de hoge tonen uit het geluid. Deze tweeters hebben een zeer kleine uitstralingshoek van maximaal 20 graden. U moet dus uw boxen zó opstellen, dat de tweeters op oorhoogte staan als u zit, zie figuur 5/9.4-9. Alleen dán ervaart u het hoog in het geluid op de juiste sterkte. Als de tweeters veel te laag of veel te hoog staan, zullen de hoge tonen te zwak klinken.



Figuur 5/9.4-9: De tweeters in uw luidsprekerboxen moeten op oorhoogte staan.

In de meeste gevallen zal dit betekenen dat u luidsprekerstatieven moet aanschaffen. Er zijn maar weinig combisets waar deze vrijwel onmisbare attributen standaard worden bijgeleverd. Logisch, want die dingen kosten in de meeste gevallen meer dan de luidsprekers! Er is

helaas niet veel keuze, de kans is groot dat u terecht komt bij de in figuur 5/9.4-10 voorgestelde VLS120S van Vogels. Deze stevige statieven kosten € 80,00 per paar, wegen zélf 7,6 kg en kunnen boxen tot 3 kg dragen. De luidsprekerkabel kunt u via de centrale buis doorvoeren. Handig is dat u de hoogte van het statief kunt instellen tussen 77 cm en 132 cm. Er zijn goedkopere statieven op de markt die deze voorziening niet hebben, maar het zal duidelijk zijn dat u daar erg weinig aan heeft. Het zou al toevallig zijn als de vaste hoogte voldoet aan figuur 5/9.4-9.



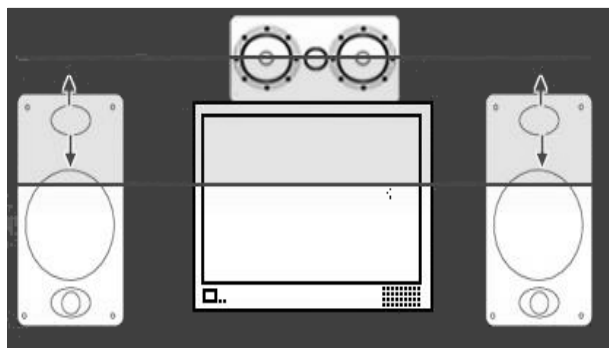
Figuur 5/9.4-10: Het luidsprekerstatief VLS-120S van Vogels.

Ook nu is het ideale niet haalbaar...

In de vorige paragraaf hebben wij u uitgelegd waarom u de tweeters op oorhoogte moet opstellen. Prachtig, maar er is een ander verschijnsel dat deze optimale instelling in de weg kan staan. Dat heeft te maken met de plaats waar u uw centerspeaker kunt opstellen. Vaak

9.4 De positie van de luidsprekers bij surround sound systemen

wordt deze onder het beeldscherm gezet, maar dat is alles behalve ideaal vanwege het feit dat de tweeter(s) dan veel te laag staat om de hoge tonen optimaal te beluisteren. Een betere plaats is boven uw beeldscherm, zie figuur 5/9.4-11. Toegegeven, het ziet er niet écht uit, maar u moet wat over hebben voor optimaal geluid.



Figuur 5/9.4-11: De beste plaats van uw centerspeaker is op de kast van uw TV.

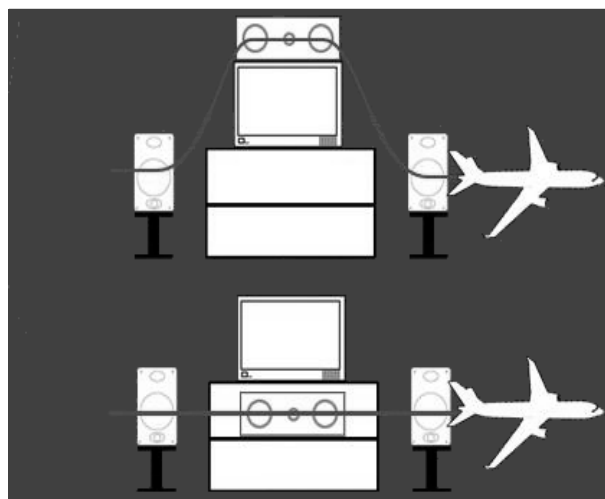
Bij de getekende opstelling is het van groot belang dat de tweeters in uw linker-, rechter- en frontspeakers ongeveer op dezelfde hoogte staan. Als er veel hoogteverschil is, dan ontstaat een verschijnsel dat in figuur 5/9.4-12 overdreven is voorgesteld. Als een vliegtuig van links naar rechts door uw kamer vliegt zal, als er een groot hoogteverschil tussen de speakers is, een vreemd ruimtelijk effect ontstaan.

U zult dus een compromis moeten zoeken tussen de eis dat alle tweeters op oorhoogte moeten staan en de eis dat alle tweeters ongeveer op dezelfde hoogte moeten staan.

Beïnvloeden van de basweergave van uw frontspeakers

In de duurdere surround sound versterkers heeft u de mogelijkheid de frequen-

tieweergave van uw speakers individueel in te stellen. Goedkope systemen hebben deze optie niet.



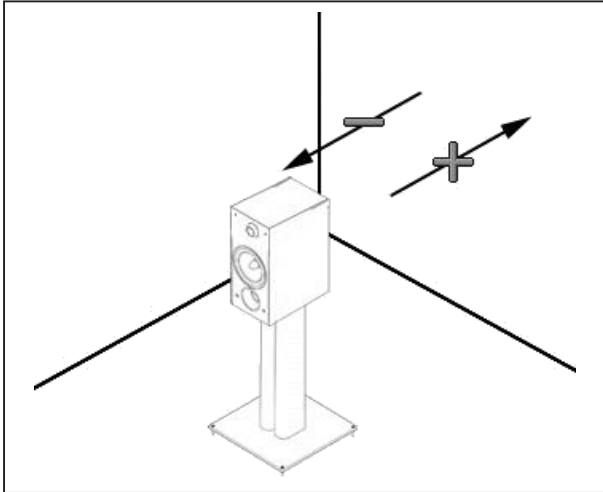
Figuur 5/9.4-12: Een tweede eis is dat de tweeters in alle frontspeakers op ongeveer dezelfde hoogte staan.

De meeste speakerboxen werken met een basreflexpoort, die u aantreft op de achterzijde van de luidsprekerbehuizing. U kunt de weergave van de lage tonen bij dergelijke boxen wat beïnvloeden door de boxen dicht of verder van de muur te zetten, zie figuur 5/9.4-13. Als u de boxen dicht tegen de muur zet, dan zullen de lage tonen merkbaar versterkt worden. Hoe verder u de boxen van de muur zet, hoe minder de basreflexpoort de lage tonen zal versterken.

Plaatsen van de rearspeakers

Eerst maar eens een groot misverstand uit de wereld helpen. De luidsprekers **ACHTER** uw stoel heten niet voor niets **REARspeakers**! Dat betekent dus dat ze niet **NAAST** uw bank moeten staan, maar écht **ACHTER** uw zitplaats! Toegegeven, in heel wat huiskamers zal deze ideale positie niet te realiseren zijn.

9.4 De positie van de luidsprekers bij surround sound systemen



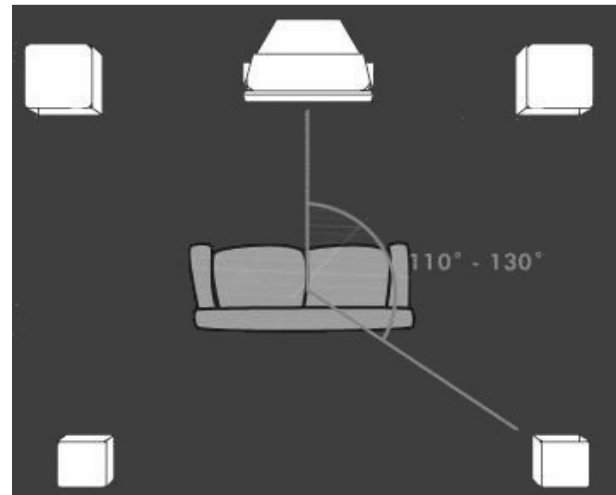
Figuur 5/9.4-13: Door de afstand tussen de muur en een basreflex box te variëren kunt u de weergave van de lage tonen beïnvloeden.

Vanwege de kleine huiskamers in de moderne Nederlandse woningen staat de bank, waarop de familie naar de TV kijkt, immers vaak tegen de muur van de kamer. Er is dan simpelweg geen plaats om de rearspeakers ook écht achter de kijkpositie te plaatsen en dus plaatst u deze luidsprekers, noodgedwongen, naast de bank. Als het surround sound effect in uw woonkamer niet klinkt zoals in de bioscoop, dan is de niet ideale positie van de rearspeakers daar meestal schuld aan.

Als uw luisterruimte groot genoeg is om de rearspeakers ook echt achter de luisterpositie te zetten geldt de opstelling van figuur 5/9.4-14 als richtlijn. Er bestaat geen universele regel voor de hoek die de luidsprekers achter u moeten hebben ten opzichte van uw scherm en uw luisterpositie. Maar bij de meeste opnames gebruikt men een hoek tussen de 110° en 130° .

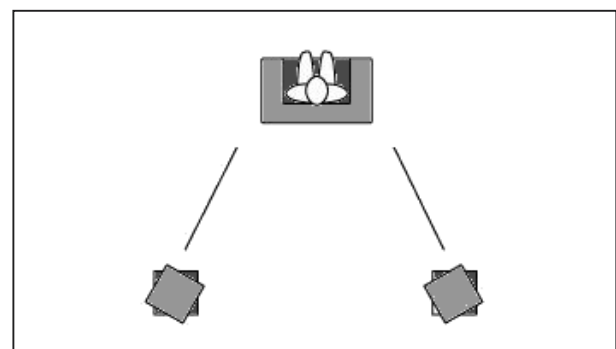
Als u luistert naar 6.1 (Dolby EX of DTS ES), plaats dan uw rearspeakers wél

naast u, in plaats van achter u. De zogenaamde back-rear speaker moet dan recht achter u staan.



Figuur 5/9.4-14: De opstelling van de rearspeakers als u plaats genoeg heeft.

Als u gebruikt maakt van een 5.1 opstelling is het aan te raden de speakers achter u naar het midden van de luisterpositie te keren, zie figuur 5/9.4-15.



Figuur 5/9.4-15: Bij het 5.1 formaat moet u de rearspeakers verdraaien in de richting van de luisterpositie.

Uiteraard geldt voor de hoogte van de rearspeakers hetzelfde als voor de frontspeakers, dus opstelling op oorhoogte, maar dit is niet altijd mogelijk. Probeer

9.4 De positie van de luidsprekers bij surround sound systemen

in ieder geval uw speaker niet hoger dan 60 cm boven oorhoogte te plaatsen.

De subwoofer

Inleiding

Veel luisteraars naar surround sound films zetten het volume van de subwoofer veel te hoog. Toegegeven, het is een sensationele gewaarwording, maar het gebulder heeft weinig te maken met een zo natuurgetrouwe reproductie van het opgenomen geluid. Het laag van een subwoofer kan heel wat subtieler zijn, door het produceren van krachtige subsonische frequenties met weinig bijeffecten. Subwoofers zijn enorm veelzijdig en in staat enorme stoten laagfrequent energie af te geven, maar dat vereist wel kwalitatief hoogwaardige luidsprekers en behuizingen en een goede instelling van de karakteristieken van het subwoofer kanaal van uw surround sound versterker.

De subwoofer bij goedkope systemen

In de inleiding hebben wij u kennis laten maken met een zeer goedkoop surround sound systeem van Philips. Daar wordt een “subwoofer” bijgeleverd, maar u kunt er zonder meer van uitgaan dat de kwaliteit daarvan niet voldoet. Een goede subwoofer met behuizing kost immers meer dan die € 169,00 die dát systeem compleet kost. Aan subwoofers en hun behuizing worden immers nogal wat eisen gesteld!

Speciale subwoofer luidsprekers

Om echt subsonisch laag te reproduceren is een totaal ander soort luidspreker nodig, normale luidsprekers kunnen dat gewoonweg niet. Subwoofer luidspre-

kers zorgen voor een geweldig hoge druk in de kast en zowel de luidspreker als de kast dienen daarom als een soort van tank gebouwd te zijn om tegen een dergelijke belasting bestand te zijn. Elk zwak punt tast de geluidskwaliteit aan en het realisme gaat er door verloren.

Een goede subwoofer luidspreker wordt gekenmerkt door de onderstaande specificaties:

- Overgedimensioneerde magneten
Net als een grote motor in een kleine auto, maakt een grote magneet de luidsprekerweergave levendiger en efficiënter. Door extra magnetische kracht toe te voegen verkrijgt u meer controle over het geluid, krijgt u een snellere reactie op geluidspieken en heeft de speaker een betere transiënt response.
- Conusconstructie
De grote interne drukopbouw bij een subwoofer brengt voortdurend het risico met zich mee dat de conus van de woofer wordt vervormd. In dat geval wordt het laag vaag en traag. Goede subwoofers maken gebruik van verschillende soorten materialen en verstevigende harsen om de conus zo stijf mogelijk te maken. Goede subwoofers maken gebruik van een paddestoelconstructie, die werkt als een ringvormige gordel, waarmee de algehele stijfheid van de conus wordt vergroot en het dynamisch gedrag wordt verbeterd.
- Conusophanging
De ophanging van de conus aan het luidsprekerchassis bestaat uit een ronde rand aan de voorzijde, stijf genoeg om omslaan onder de druk binnen in de kast te weerstaan. Deze speciaal gevormde rand zorgt ervoor dat de spoel en de magneet zich over de gehele

9.4 De positie van de luidsprekers bij surround sound systemen

slag concentrisch kunnen bewegen. De weerstand die ze vormen is zo gekozen dat deze aan de uiteinde van de toegelaten slag progressief toeneemt. Op deze manier is de geluidskwaliteit aanzienlijk beter dan wanneer de conus aan het einde van de slag plotse-ling tot stilstand wordt gebracht. De eenheden in de topmodellen hebben een dubbele ophanging aan de achterzijde die het gedrag bij zeer hoog volume drastisch verbetert.

– Ventilatie

In goede systemen worden honderden watt's in de subwoofer gepompt. Goede subwoofers hebben een zeer open constructie voor betere koeling en er is tevens uitgebreide ventilatie mogelijk tussen de verschillende interne ruimten achter de conus en in de magneet. De daardoor vrije luchtstroom aan de achterzijde van de luidspreekereenheid biedt twee voordelen. In de eerste plaats wordt de beweging van de conus minder belemmerd. Ten tweede treden er minder bijgeluiden op van lucht die zich door kleine openingen perst.

– Kast

Subwoofer kasten bezitten uitgebreide verstevigingen en zeer dikke wanden om een inert geheel te krijgen. Zo worden bijgeluiden voorkomen en bent u ervan verzekerd dat alleen de beweging van de conus geluid produceert. Bij de meeste modellen zorgt een afzonderlijke, verzegelde versterkerruimte dat de luchtdruk in de kast geen invloed kan hebben op de delicate versterker elektronica. In figuur 5/9.4-16 ziet u bijvoorbeeld een subwoofer in een zogenaamde bandpass behuizing. Let op de dikte van het toegepaste plaatmateriaal!



Figuur 5/9.4-16: Een foto van een subwoofer-behuizing, samengesteld uit zeer dikke houten multiplex platen.

Behuizingen van subwoofers

Subwoofers kunt u in drie soorten behuizingen inbouwen:

- gesloten behuizing;
- basreflex behuizing;
- bandpass behuizing.

De gesloten behuizing

De meest eenvoudige vorm van kastmontage is de volledig gesloten box, zie figuur 5/9.4-17. Ondanks deze eenvoud is de laagweergave vaak heel erg goed en strak.

De voordelen van de gesloten behuizing:

- compacte kast;
- geleidelijke afval in het laag (12 dB per octaaf);
- zwaar belastbaar;
- uitstekende transiëntweergave;
- eenvoudige kastconstructie;

9.4 De positie van de luidsprekers bij surround sound systemen

- minder kritisch voor ontwerp- en constructiefouten.

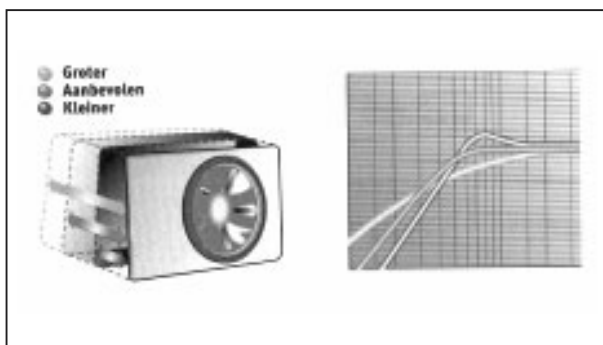
De nadelen zijn:

- niet erg efficiënt;
- lagere belastbaarheid en hogere vervorming in het hogere basbereik.

In figuur 5/9.4-18 hebben wij de invloed van de kastafmetingen op de weergavekarakteristiek samengevat.



Figuur 5/9.4-17: Een voorbeeld van een gesloten behuizing voor uw subwoofer.



Figuur 5/9.4-18: Invloed van de kastafmetingen op de weergave bij een volledig gesloten kast..

De basreflex behuizing

Een populaire manier van inbouwen van subwoofers is de basreflex of gepoorte behuizing, zie figuur 5/9.4-19. Deze be-

huizingen hebben een “tuned pipe” die ervoor zorgt dat de geluidsgolven, die de achterzijde van de conus in de behuizing opwekt, in fase aan de voorzijde van de kast worden uitgestraald. De pijp zorgt dus als het ware voor een langere weg die de geluidsgolven moeten afleggen. Daardoor verschijnen zij in fase aan de voorzijde en versterken de geluidsgolven die de luidspreker aan de voorzijde uitstraalt. Dat geldt natuurlijk alleen voor een bepaalde golflengte. Geluiden die deze golflengte hebben, worden flink versterkt. Vooral voor de liefhebbers van zeer diepe en harde bas is dit dus de beste oplossing.

De voordelen van een basreflex behuizing zijn:

- 3 dB tot 4 dB efficiënter dan een gesloten box;
- minder vervorming en hogere belastbaarheid in het hogere basbereik;
- mits goed ontworpen en gebouwd, diepere bassweergave.

De bassreflex behuizing heeft ook nadelen:

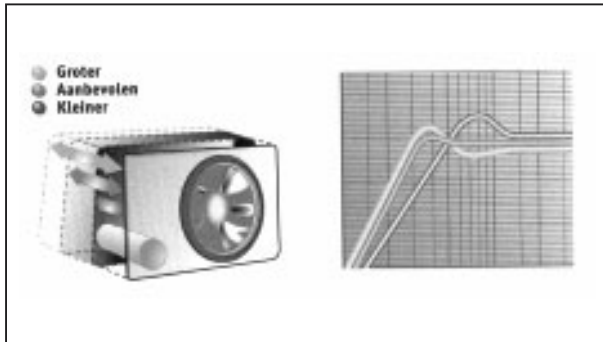
- grotere kast;
- zeer kritisch wat betreft ontwerp- en constructiefouten.

In figuur 5/9.4-20 zijn de karakteristieken van een dergelijke behuizing samengevat.



Figuur 5/9.4-19: De typische uitvoering van een basreflex behuizing.

9.4 De positie van de luidsprekers bij surround sound systemen



Figuur 5/9.4-20: Het verband tussen afmetingen van de kast en de frequentieweergave.

De bandpass behuizing

Dit is een behuizing waarbij de speaker in de kast is ingebouwd, zie figuur 5/9.4-16, en het geluid via een of twee zogenaamde poorten naar de buitenwereld ontsnapt. Afhankelijk van het type heeft u een gesloten of gepoorte ruimte achter de speaker en altijd een gepoorte ruimte vóór de speaker. De versie met twee poorten heet dual-reflex-bandpass (of 6de orde bandpass), de uitvoering met een enkele poort wordt single-reflex-bandpass (of 4de orde bandpass) genoemd.

De voordelen van dergelijke behuizingen:

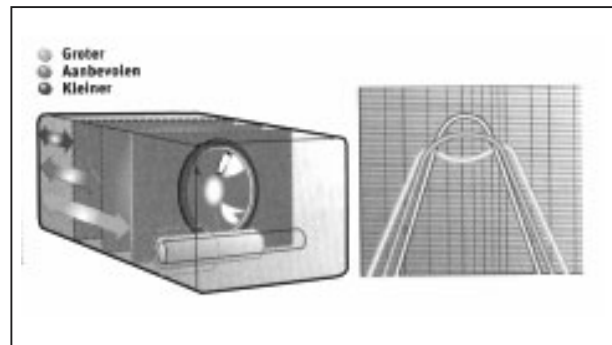
- hoge efficiëntie en diep doorlopende bas;
- goede demping van de speaker, hoge belastbaarheid;
- speaker afgeschermd, zodat de kwetsbare conus is beschermd tegen rondslingerende voorwerpen.

De nadelen:

- moeilijk ontwerp en ingewikkelde constructie;
- woofer is “onhoorbaar” overbelastbaar;
- transiëntweergave sterk afhankelijk van de gekozen afstemming, klinkt meestal “traag”;

– grote kast.

In figuur 5/9.4-21 is de invloed van de kastafmetingen op de weergave geschetst.



Figuur 5/9.4-21: De invloed van de afmetingen van de behuizing op de weergave bij een bandpass behuizing.

De integratie van een goede subwoofer in uw systeem

Voordat u overweegt een subwoofer aan te schaffen is het belangrijk de grootte van uw kamer te bekijken en kwaliteit, merk en type van het systeem waarmee deze gebruikt zal gaan worden. Het ligt voor de hand dat investeren in een zware subwoofer weinig zin heeft wanneer deze wordt gecombineerd met een laag belastbaar, doorsnee luidsprekersysteem. Evenmin heeft het zin een kleine subwoofer te combineren met kolossale luidsprekers voorzien van zwaargewicht versterkers. En ook is het onverstandig een subwoofer met lijningang te kopen als uw versterker de benodigde uitgang niet heeft.

De opstelling van een subwoofer volgt min of meer hetzelfde patroon als die van gewone luidsprekers. Geplaatst tegen een vlakke wand wordt bij een basreflex kast het laag benadrukt, in de hoek is dat effect nog sterker, maar kan een boemerig effect ontstaan. Meent u dat

9.4 De positie van de luidsprekers bij surround sound systemen

uw systeem best een extraatje kan gebruiken, kies dan voor de hoek, maar als uw opstelling plus kamer nu al een dreunend effect hebben, vermijdt deze dan. Om optimaal resultaat te bereiken met de populaire hoekopstelling plaatst u een basreflex subwoofer zo ver mogelijk in de hoek. Trek hem dan stap voor stap weer terug (een paar centimeter) en luister welk effect dat heeft. Zoek dan de positie die een gelijkmatig en gecontroleerd resultaat geeft, naast de diepste bas. Heeft u de optimale positie van de subwoofer gevonden, laat deze dan staan en houdt deze plaats aan voor de beste laagweergave van uw systeem in de home cinema kamer.

Opstelling in de kamer

Lage tonen hebben minder richting dan midden en hoge frequenties, waardoor subwoofers op vele manieren opgesteld kunnen worden, zelfs terzijde in de kamer zal goed werken. Een vuistregel is dat opstelling in een hoek meer laag geeft. Experimenteren is belangrijk om een optimaal effect te bereiken.

Test DVD's

Inleiding

Diverse uitgevers brengen test DVD's op de markt, waarmee u uw surround sound installatie zo uitgebreid mogelijk kunt testen. De meeste DVD's bevatten, naast trailers van films met uitstekend surround sound geluid, een grote hoeveelheid testsignalen, waarmee u de plaats van uw luidsprekers kunt optimaliseren en de frequentieweergave kunt tunen. Dit laatste natuurlijk in de veronderstelling dat uw surround sound versterker daar mogelijkheden voor heeft.

Cara Test DVD Surround

Deze Duitstalige bundel, zie figuur 5/9.4-22, bevat twee DVD's met diverse tests voor het instellen van uw surround sound speakers en een uitleg over de ideale opstelling van uw systeemcomponenten.

Deze DVD kost € 41,00 en is geproduceerd in 2005.



Figuur 5/9.4-22: De Cara Test DVD Surround.

Digital Video Essentials

De nieuwe, verbeterde Digital Video Essentials systeem calibratie DVD, zie figuur 5/9.4-23, is eindelijk beschikbaar. Volgens Joe Kane, producent van deze DVD, laat deze remake een enorme verbetering zien ten opzichte van de oude. In vergelijking met de oude is niet alleen het scala aan mogelijkheden en vernieuwingen uitgebreid, maar ook de navigatie sterk vereenvoudigd. Ook de leek kan na het lezen van de instructie met deze schijf omgaan. Alle tekortkomingen van de vorige editie zijn geëlimineerd en de nieuwste ontwikkelingen op beeld en geluid zijn in deze versie verwerkt en niet te vergeten is het geheel natuurlijk gemasterd in High-Definition. De videosectie test de resolutielimieten van uw systeem

9.4 De positie van de luidsprekers bij surround sound systemen

en helpt u de meest nauwkeurige kleurbalans in te stellen, terwijl het audiodeel u verzekert van een optimale speakeropstelling en juiste balans tussen de luidsprekers onderling. Vanzelfsprekend is deze DVD gemastered in Dolby Digital en DTS, inclusief een 6.1 versie voor beide formaten. Deze DVD van het label “Joe Kane Productions” kost € 29,95.



Figuur 5/9.4-23:

De “Digital Video Essentials” is een test DVD die is samengesteld door Joe Kane, een absolute specialist op surround sound gebied.

5/14

Domotica

Inhoud

5/14.1 **Introductie tot domotica**

(verschenen in de 105e aanvulling)

5/14.2 **Domotica protocollen**

5/14.2.1 **Het X10 protocol**

(verschenen in de 106e en 107e aanvulling)

5/14.3 **Domotica systemen**

5/14.3.1 **Het Dobiss SX-systeem**

(verschenen in de 108e en 109e aanvulling)

5/14.3.2 **Het KlikAanKlikUit systeem van Pan-Trade**

(verschenen in de 110e aanvulling)

5/14.3.2a **De TPC-200 computer interface van het KlikAanKlikUit systeem**

(verschenen in de 122e aanvulling)

5/14.3.3 **Het Nikobus systeem van Niko**

(verschenen in de 112e en 113e aanvulling)

5/14.3.4 **Het TeleTask systeem van TeleTask/StagoBel Electro**

(verschenen in de 117e en 118e aanvulling)

5/14.3.5 **Het AlfaStar 128 systeem van Alfa Sprint Service**

(verschenen in de 119e aanvulling)

5/14.3.6 **Het FS20 systeem van Conrad Electronic en ELV**

(verschenen in de 121e aanvulling)

5/14.3.7 **Het Xanura systeem van Eaton-Holec**

(verschenen in de 124e en 125e aanvulling)

5/14.3.8 **Het Marmitek X-10 Home Automation System**

(verschenen in de 127e en 128e aanvulling)

Vego's bestelservice voor oude hoofdstukken

**Alle hoofdstukken uit dit naslagwerk kunt u afzonderlijk bestellen.
Ga hiervoor naar onze internetsite www.hobbyelektronica.nu en klik de menu-optie "Bestellen hoofdstukken" aan.**

5/14.4 Inbraakalarm systemen

5/14.4.1 SAFEGUARD™ draadloos inbraakalarm van Marmitek

(verschenen in de 123e aanvulling)

5/14.4.2 GIGACAM 4™ draadloze camerabewaking van Marmitek

(verschenen in de 124e aanvulling)

5/14.4.3 GSMGUARD300, draadloos inbraakalarm met GSM-communicatie

(verschenen in de 129e aanvulling)

5/14.4.3

GSMGUARD300, draadloos inbraakalarm met GSM-communicatie

Kennismaking

Geén PTT-lijn noodzakelijk

De meeste inbraakalarm systemen kunt u aansluiten op een vaste PTT-lijn. De centrale geeft dan, bij een alarmmelding, een ingesproken boodschap door aan een aantal ingeprogrammeerde telefoonnummers. Nu echter steeds meer mensen geen vaste PTT-aansluiting meer hebben en alleen gebruik maken van een draagbare GSM-telefoon, worden deze alarmsystemen een beetje ouderwets.

Bovendien zijn er tal van situaties te bedenken, waar geen vaste PTT-aansluiting ter beschikking staat, zoals:

- vakantiehuisje;
- stacaravan;
- garage;
- stallen;
- magazijnruimte.

Wilt u dergelijke objecten toch beveiligen met een inbraakalarm systeem, dan kunt u gebruik maken van de innovatieve GSMGUARD300 van Marmitek. De GSMGUARD300 is een draadloos inbraakalarm systeem dat géén vaste telefoonaansluiting nodig heeft. De centrale bevat een GSM-telefoon die contact zoekt met 06-nummers en alarmmeldingen geeft via SMS-berichten, bijvoorbeeld "Trouble!" of "Detect Switch ON"

als een van de sensoren een inbraak heeft gedetecteerd. Via SMS-berichten kunt u met uw draagbare telefoon commando's aan de centrale geven, bijvoorbeeld om een lamp in te schakelen ("RELAY-ON") of om de status van het systeem te checken ("CHECK").

De GSMGUARD300 is dus ideaal voor het beveiligen van uw vakantiehuis, stacaravan, garage, stal of magazijnruimte. Bovendien kan het systeem eventueel worden gevoed uit een 9 V accu, zodat zelfs geen 230 V aansluiting noodzakelijk is.

Voornaamste kenmerken

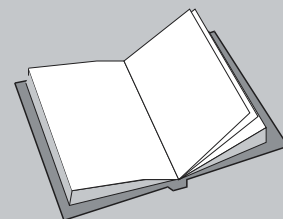
De voornaamste kenmerken van het GSMGUARD300 systeem zijn:

- draadloos alarmsysteem met SMS-melding via GSM;

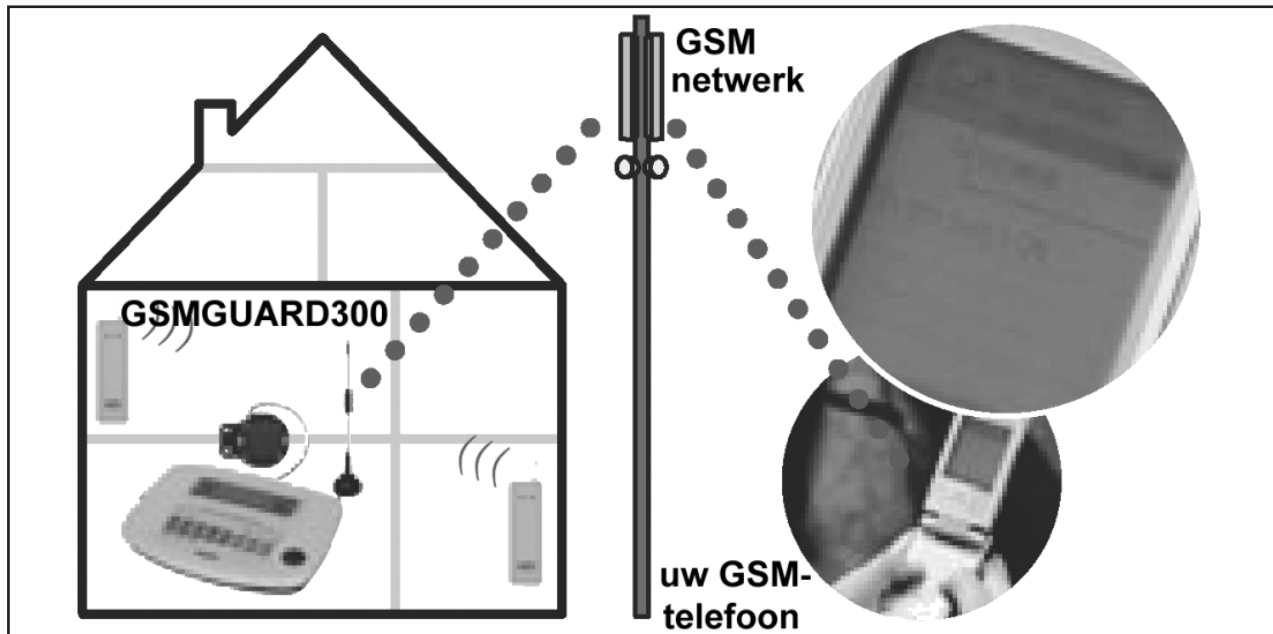
LEES OOK:

Hoofdstuk 3/8.10.13

Hoofdstuk 5/14.4.1



14.4 Inbraakalarm systemen



Figuur 5/14.4.3-1: Het werkingsprincipe van de GSMGUARD300.

- u heeft geen vaste telefoonaansluiting nodig;
- maakt gebruik van het GSM-netwerk via een SIM-kaart in de centrale;
- u ontvangt bij een alarmmelding een SMS-bericht op uw draagbare telefoon;
- u kunt overal waar GSM-bereik is het alarmsysteem controleren door een SMS-bericht naar uw centrale te sturen;
- ideaal voor het beveiligen van objecten die ver van de bewoonde wereld staan;
- eventueel kan het systeem gevoed worden uit een 9 V accu, dank zij het stroomverbruik van slechts 125 mA hoeft u deze accu slechts zelden op te laden of is opladen uit zonnepanelen mogelijk;
- u kunt het alarm via een SMS-bericht op afstand in- en uitschakelen;
- dank zij een ingebouwd relais kunt u op afstand verlichting of apparatuur schakelen;

- u kunt maximaal drie GSM telefoonnummers programmeren voor het ontvangen van de alarmmeldingen.

Hoe werkt het systeem?

De GSMGUARD300 is een draadloos alarmsysteem dat werkt met GSM-telefonie en met SMS-meldingen, zie figuur 5/14.4.3-1. Als de GSMGUARD300 een alarmmelding ontvangt van een van de sensoren, belt de centrale via het GSM-netwerk automatisch drie door u ingeprogrammeerde 06-nummers en geeft een SMS-melding onder de vorm van een duidelijke Engelse tekst. U weet dus onmiddellijk wat er aan de hand is! U kunt overal waar GSM-bereik is het GSMGUARD300 alarmsysteem controleren.

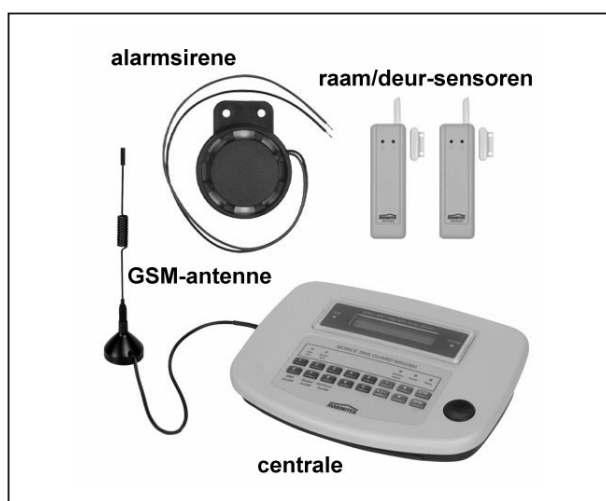
Het GSMGUARD300 basispakket

De GSMGUARD300 basisset, zie figuur 5/14.4.3-2, bestaat uit:

- 1 x Mobile SMS Guard 300 alarmcentrale;

14.4 Inbraakalarm systemen

- 2 x draadloze raam/deur-sensor WDS300;
- 1 x alarmsirene met geluidsniveau van 105 dB;
- 1 x GSM antenne op magneetvoet, 900/1.800 MHz dual band;
- 1 x 9 V netstekervoeding voor de centrale.



Figuur 5/14.4.3-2: De basisset van het GSM-GUARD300 inbraakalarm systeem.

Wat heeft u extra nodig?

Naast deze basisset heeft u de volgende onderdelen nodig:

- 1 x pre-paid SIM-kaart met eigen 06-nummer, PIN-code en PUK-code;
- een mobiele telefoon om uw Mobile SMS Guard 300 centrale met SIM-kaart te testen en PIN-code vrij te maken;
- schroef- en boormateriaal om de centrale en/of de sensoren te bevestigen aan wand of muur.

De centrale Mobile SMS Guard 300

De centrale Mobile SMS Guard 300, voorgesteld in figuur 5/14.4.3-3, vormt uiteraard het hart van het systeem. Het kleine kastje bevat 17 toetsen, waarmee u

het systeem gemakkelijk kunt bedienen en de alarmnummers programmeert. Via vijf LED's kunt u de status van het systeem aflezen. Bij het initialiseren en programmeren van het systeem heeft u veel hulp van het tweeregelige alfanumeriek LCD-scherm, waarin duidelijk wordt aangegeven waar u mee bezig bent en wat de eerstvolgende logische stap is.



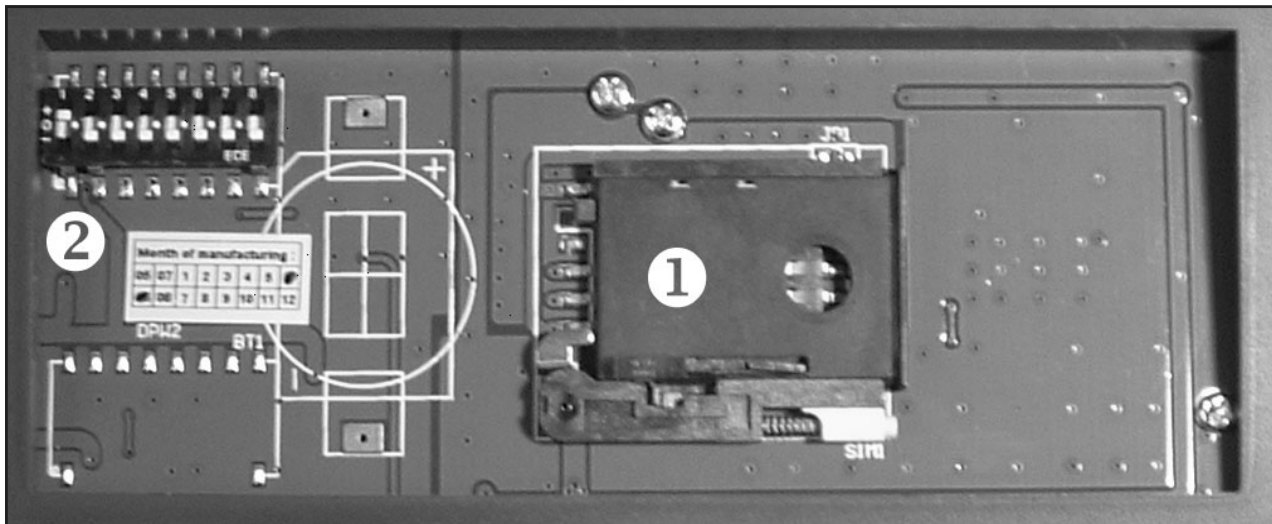
Figuur 5/14.4.3-3: De centrale Mobile SMS-Guard 300 van het GSM-GUARD300 systeem.

Installatie

Inleiding

De Marmitek GSMGUARD300 bestaat standaard uit een Mobile SMS Guard 300 centrale en twee deur/raam-sensoren. U bevestigt de deur/raam-sensoren (met tape of een schroefje) aan het kozijn. De permanente magneet bevestigt u aan het raam of de deur precies ter hoogte van de sensor op het kozijn (let op, dit moet zeer nauwkeurig!). U maakt de SIM-kaart met een mobiele telefoon PIN-code vrij en plaatst de SIM-kaart vervolgens in de Mobile SMS Guard 300 centrale. Volg de installatie-

14.4 Inbraakalarm systemen



Figuur 5/14.4.3-4: Het installeren van de nieuwe SIM-kaart in de Mobile SMS Guard 300 centrale.

aanwijzingen op het display en uw huis is volledig beveiligd!

De SIM-kaart testen en PIN-code vrij maken

Maak de SIM-kaart van de GSM-provider van uw keuze PIN-code vrij door deze in een mobiele telefoon te installeren. Gebruik de handleiding van uw mobiele telefoon om de SIM-kaart te activeren. Controleer vervolgens met uw mobiele telefoon of u met de SIM-kaart SMS-berichten kunt versturen en ontvangen. Controleer met uw mobiele telefoon of het bereik van de SIM-kaart groot genoeg is op de locatie waar u de Mobile SMS Guard 300 centrale wilt plaatsen, bijvoorbeeld in een kast.

Installeren van de SIM-kaart

Open het klepje aan de achterzijde van de Mobile SMS Guard 300 centrale door de twee schroefjes los te draaien en de klep naar beneden te schuiven, zie figuur 5/14.4.3-4. Open de SIM-kaart houder door het gele lipje naar links te bewegen. Het zwarte klepje (1), de SIM-kaart houder, kan geheel uit de Mo-

bile SMS Guard 300 centrale worden verwijderd. Plaats de SIM-kaart met de chipzijde naar boven, deze zijde maakt straks contact met de Mobile SMS Guard 300 centrale. Er is in de SIM-kaart houder een identiek hoekje uitgespaard, zodat de SIM-kaart precies past.

Instellen van een beveiligingscode

Vervolgens moet u de Mobile SMS Guard 300 centrale voorzien van een beveiligingscode, waardoor de centrale kan communiceren met de alarmsensoren. Links boven de SIM-kaart houder ziet u een zwart blokje met acht schakelaartjes (2). Deze vormen samen de beveiligingscode voor uw alarmsysteem. Zet deze acht schakelaartjes in een willekeurige stand en noteer de beveiligingscode. Deze code heeft u later nodig om de deur/raam-sensoren op dezelfde code in te stellen! Schuif het dekseltje weer op zijn plek en schroef het vast. Met deze acht schakelaars kunt u dus binair een cijfercode tussen "000" en "255" instellen. Deze code, die u ook op de alarmsensoren moet instellen, zorgt ervoor dat uw SMSGUARD300 systeem

14.4 Inbraakalarm systemen

niet gestoord kan worden door een identiek systeem in de buurt.

Installeren van de Mobile SMS Guard 300 centrale

Schroef de meegeleverde antenne op de antenneconnector aan de linkerzijde van de centrale. Zorg dat de antenne rechtop staat, dus altijd naar boven wijst. Kies een geschikte plaats voor de centrale, rekening houdend met de aanwezigheid van een 230 V wandcontactdoos als u niet voor accuvoeding kiest.

Monteer of plaats de centrale op een plaats die voor inbrekers niet gemakkelijk is te ontdekken, dit in verband met het voorkomen van sabotage.

Sluit de netadapter aan op de linker kant van de Mobile SMS Guard 300 centrale en steek de adapter in het stopcontact. Voor optimaal bereik is het aan te bevelen de centrale zoveel mogelijk in het midden van het te beveiligen object te plaatsen. Op deze wijze is immers de afstand tussen de centrale en de sensoren zo kort mogelijk en maakt u optimaal gebruik van het bereik. U moet rekening houden met de volgende punten:

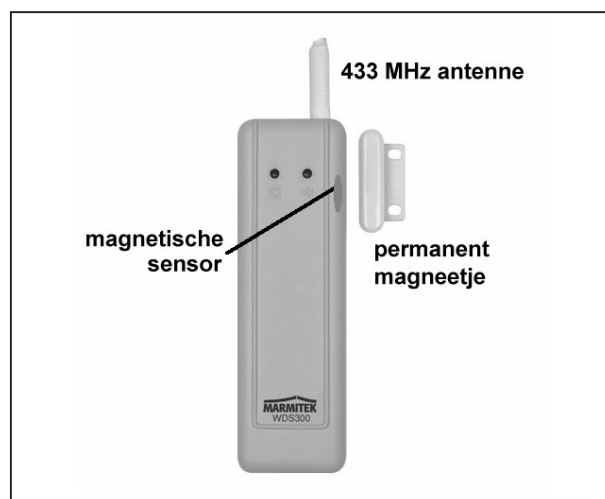
- monteer de centrale niet te dicht bij grote metalen objecten, zoals radiatoren, fornuis, etc;
- zet de centrale niet te dicht bij andere elektronische apparatuur, zoals een telefooncentrale, computer of TV.

De centrale kan door middel van twee schroeven worden opgehangen. Aan de achterzijde van de centrale zijn hiervoor twee slotgaten aanwezig.

De centrale in gebruik nemen

Schakel de Mobile SMS Guard 300 centrale aan met de AAN/UIT-knop aan de linkerzijde. Op het display verschijnt de melding: "GSM SECURITY". De centrale

gaat nu terugtellen van 90 seconden tot 0. Daarna verschijnt de tekst "Normal Detect SW: OFF" en gaat het LED'je "System" één keer per seconde knipperen. Het "GSM" LED'je knippert eerst iedere seconde en na ongeveer twintig seconden één keer per drie seconden.



Figuur 5/14.4.3-5: De samenstelling van de raam- en deursensor WDS300.

Indien het "GSM" LED'je iedere seconde blijft knipperen, dan werkt het modem niet goed: er is geen contact met het GSM-netwerk. Zet de Mobile SMS Guard 300 centrale uit, wacht tien seconden en zet deze daarna weer aan. Indien het "GSM" LED'je na een minuut nog steeds iedere seconde knippert dan kunt u het nog eens proberen met een SIM-kaart van een andere provider. Blijft de "GSM" LED uit, dan heeft u de SIM-kaart niet goed geplaatst.

Monteren van de deur/raam-sensoren

Deze sensoren WDS300 bestaan uit, zie figuur 5/14.4.3-5, een permanent magneetje en een magnetische sensor. De sensor wordt op het kozijn gemonteerd, de magneet op de deur of het raam.

14.4 Inbraakalarm systemen



Figuur 5/14.4.3-6: Het plaatsen van de batterij en het instellen van de beveiligingscode in de sensoren.

Als het raam of de deur gesloten zijn, zit het magneetje dicht bij de sensor. Wordt deur of raam geopend, dan wordt de afstand tussen magneetje en sensor groter. De sensor detecteert dit en stuurt een alarmsignaal naar uw centrale.

Schuif de boven- en onderkant van elkaar, zie figuur 5/14.4.3-6. U ziet nu de ruimte (1) om een 9 V batterij te plaatsen. Schuif de bovenkant nog verder. U ziet nu een zwart blokje met acht schakelaartjes (2). Gebruik dezelfde beveiligingscode als u heeft ingesteld in de Mobile SMS Guard 300 centrale. Op deze manier wordt een uniek communicatiekanaal tussen uw sensoren en uw centrale ingesteld.

Plaats een 9 V batterij (niet meegeleverd) in het batterijvak van de sensor en schuif de bovenkant weer dicht.

Plaats de sensor bij voorkeur zo hoog mogelijk, dit geeft het beste bereik. Markeer vervolgens de plaats voor de zender en de magneet. Plaats de magneetschakelaar niet direct op een metalen ondergrond. In geval van metalen kozijnen, of

bij met metaal verstevigde kunststof kozijnen, is het verstandig een stukje hout of plastic van minimaal 5 mm dikte tussen de magneetschakelaar en het kozijn te plaatsen. Op metalen kozijnen mag de ruimte tussen de sensor en de magneet niet meer dan 3 mm bedragen als de deur of het raam gesloten is.

Zet de deur/raam-sensor aan met de schakelaar aan de linkerzijde. Het rode LED'je gaat branden. Plaats de permanente magneet aan de rechter zijde tegen de sensor. Zodra het rode LED'je uit gaat, hebben ze goed contact. Monteer het magneetje zodanig dat het rode LED'je op de sensor uit blijft als raam of deur gesloten is. Hou bij gesloten raam of deur de afstand tussen het zenderdeel en de magneet zo klein mogelijk. Wanneer u de plaats van de sensor definitief heeft bepaald raden wij u aan om ook de magneet met schroeven vast te zetten. Bij schuiframen mogen de sensor en de magneet niet horizontaal langs elkaar schuiven, maar moet u de sensor en de magneet zo plaatsen dat, wanneer het raam wordt dichtgeschoven, de magneet en de sensor elkaar verticaal benaderen.

De sirene aansluiten

U kunt de sirene direct aansluiten op de Mobile SMS Guard 300 centrale. Op de achterzijde van de centrale vindt u het aansluitschema. Bevestig de rode draad van de sirene in de "+" connector en de zwarte draad in de "-" connector. Als u de sirene niet aansluit, kies dan in de Setup mode voor "Buzzer off".

Lamp aansluiten

De Mobile SMS Guard 300 heeft een ingebouwd relais. Dit biedt u de mogelijkheid om bijvoorbeeld een lamp aan te sluiten, die via de SMS-commando's

14.4 Inbraakalarm systemen

“RELAY-ON”, “RELAY-OFF” en “CONTROL” te schakelen is. Op de achterzijde van de Mobile SMS Guard 300 centrale vindt u het aansluitschema. Bevestig de twee draden in de betreffende connectoren op de achterzijde van de centrale.

Gebruikersinstellingen

Telefoonnummer instellen

Druk, na het inschakelen van de centrale, op de “Setup” toets en kies 1 (1: TEL). Toets het telefoonnummer in waarop u de SMS-alarmmeldingen wilt ontvangen. Begin steeds met een + en de landcode van het nummer waarop u de meldingen wilt ontvangen. Druk op “Enter” zodra u klaar bent met invoeren. Druk op “▲” als u nog een tweede of derde nummer wilt toevoegen. Om de ingevoerde telefoonnummers te bewaren, drukt u nogmaals op de “Setup” en drukt daarna op 4: (4: SAVE). U krijgt de melding “Save OK!, SETUP → Exit”. Druk op “Setup” om weer in het Setup-menu te komen.

Meldingstijden kiezen

Druk op “Setup” en kies 2 (2: TIME). “SMS Delay” geef in seconden aan na hoeveel tijd u een SMS-bericht van een alarmmelding wilt ontvangen. Voer een getal naar keuze in tussen de 0 en 99 seconden. Druk op “Enter”. Druk “▲”, “SMS Period”, hiermee stelt u in om hoeveel tijd er SMS-jes worden verzonden. Voer een getal naar keuze in tussen de 1 en 20 minuten. Druk “▲”, “Buzzer Delay”, hiermee stelt u in na hoeveel seconden ná een alarmmelding de sirene af moet gaan. Voer een getal naar keuze in tussen de 0 en 99 seconden.

Druk weer op “▲”, “Buzzer Rep”, hiermee stelt u in hoe lang de sirene afgaat. Voer een getal naar keuze in tussen de 0 en 99 minuten.

Druk om alle instellingen te bewaren op de “Setup” knop en kies voor 4 (4: SAVE). U krijgt de melding “Save OK!, SETUP → Exit”. Druk “Setup” om weer in het Setup-menu te komen.

Relais schakelen

Als u een lamp heeft aangesloten op het relais kunt u in het Setup-menu het relais en dus de lamp in- of uitschakelen. Druk op “Setup” en kies 3 (3: RELAY). In het scherm verschijnt “Relay OFF, (1) ON, (2) OFF”. Druk op de numerieke toetsen “1” of “2” voor het aan of uitzetten van het relais. Druk “Enter”. Druk weer “Setup” om in het Setup-menu te komen. Het LED’je “Relay” knippert om aan te geven dat het relais aan staat.

Gebruik van het systeem

De beveiligde ruimte verlaten

Kies wat voor melding u wilt ontvangen bij een alarm. De Mobile SMS Guard 300 centrale heeft sneltoetsen om de modi “SMS-berichten aan” en/of “Sirene aan” aan te zetten. Druk één keer op de numerieke toetsen “6”, “7” of “8” om de betreffende functie aan te zetten. Nog één keer drukken en de functie wordt uitgezet:

- toets “6”:
SMS on/off (alleen SMS-berichten aan/uit);
- toets “7”:
Buzzer on/off (sirene aan/uit);
- toets “8”:
SMS and Buzzer on/off (SMS-berichten én sirene aan/uit).

14.4 Inbraakalarm systemen

Bij uitschakeling van de SMS- en/of de sirene-alarmen zullen ter waarschuwing de rode LED's "SMS OFF" en "Buzzer OFF" knipperen. Dit kan verder geen kwaad.

Na het instellen van wel of geen SMS-berichten en/of sirene-alarm drukt u op de "Reset" knop. U heeft nu 90 seconden de tijd (uitlooptijd) om de beveiligde ruimte te verlaten.

Als het relais nog aan stond, wordt dit nu uitgeschakeld. Als u het relais ingeschakeld wilt houden, kunt u in plaats van op de "Reset" knop op de toets "0" drukken. Nu worden de sensoren ook 90 seconden uitgeschakeld, maar blijft het relais aan staan.

Voordat u op de "Reset" knop drukt, moet het display "Normal" aangeven als teken dat alle contacten van de sensoren gesloten zijn. Als een van de contacten open staat geeft het display "Trouble" aan en het LED'je "Wireless Switch" knippert. U moet dan onderzoeken welk raam of welke deur dit alarm veroorzaakt en dit raam of deze deur sluiten alvorens op de "Reset" te drukken.

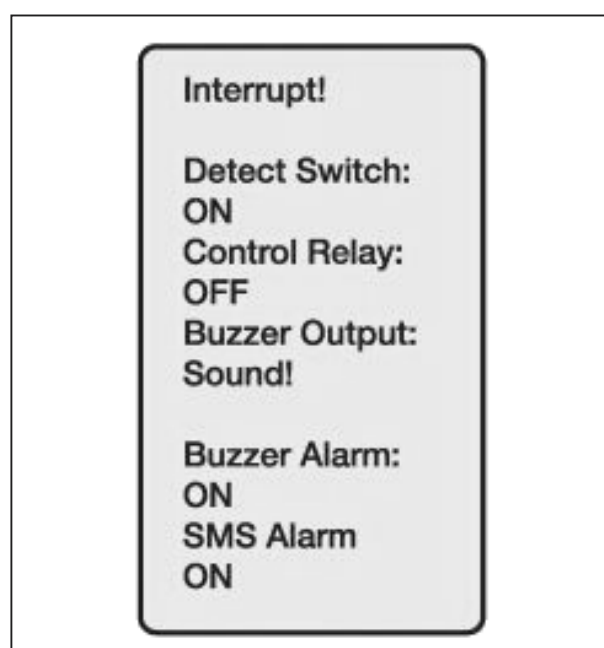
De beveiligde ruimte betreden

Als u binnenkomt opent u een beveiligde deur en de sensor op deze deur zal uiteraard een alarm naar de centrale sturen. U moet dus onmiddellijk het SMS-alarm en de sirene uitzetten. U kunt dit snel en gemakkelijk uitzetten door de sneltoets "8" te gebruiken. Bij uitschakeling van een van de twee beveiligingen zullen ter waarschuwing de rode LED'jes "SMS OFF" en "Buzzer OFF" branden.

Dit kan verder geen kwaad.

Als u een raam of deur opent waaraan een sensor is gekoppeld, zal ook bij de uitschakeling van de SMS- en sirene-functie, de Mobile SMS Guard 300 cen-

trale tóch een melding geven. Dit kan verder geen kwaad en heeft als voordeel dat een inbreker, die de centrale per toeval heeft ontdekt en het alarm heeft uitgezet, tóch niet ongemerkt zijn gang kan gaan. U kunt eventueel de centrale resetten door het indrukken van de grote ronde "Reset" knop.



Figuur 5/14.4.3-7: De samenstelling van het SMS-bericht dat de centrale naar uw draagbare telefoon verstuurt.

Resetten bij een alarmmelding

Als de Mobile SMS Guard 300 centrale een melding van een van de sensoren ontvangt, dan stuurt de centrale een SMS-bericht naar de door u opgegeven telefoonnummers. Dat SMS-bericht ziet er ongeveer uit als voorgesteld in figuur 5/14.4.3-7, afhankelijk van of u de sirene en/of het relais heeft aangesloten. Afhankelijk van uw instellingen (relais aan/uit, sirene aan/uit, sirene- en SMS-alarm aan/uit) krijgt u deze meldingen in uw telefoonscherm.

14.4 Inbraakalarm systemen

Tekstbericht	Betekenis
ALARM-ON	Commando om de SMS functie en Sirenefunctie aan te zetten
ALARM-OFF	Commando om de SMS functie en Sirenefunctie uit te zetten
RELAY-ON	Commando om het relais aan te zetten
RELAY-OFF	Commando om het relais uit te zetten
RELAY-TIME X.X	Commando om de ON tijd in te stellen van het relais. Deze kan ingesteld worden van 0,1 minuut tot 99,9 minuten. Bijvoorbeeld: RELAY-TIME 20.3 Relais blijft 20,3 minuten aan na het CONTROL commando
CONTROL	Commando om het relais aan te laten gaan voor de duur die in RELAY-TIME ingesteld is.
CHECK	Commando om de status van het systeem te checken
RESET	Commando om het alarmsysteem te resetten. Let op: als u dit commando stuurt, krijgt u geen SMS terug. Het systeem voert een Reset uit en schakelt het relais in de uit stand. Na 90 seconden is het alarm systeem weer actief.

Figuur 5/14.4.3-8: De commando's die u via SMS naar de centrale kunt versturen.

Afhankelijk van de tijd die u heeft ingesteld op de centrale krijgt u een SMS-bericht totdat u de Mobile SMS Guard 300 centrale heeft gereset. Bij een alarmmelding kunt u nu actie ondernemen door bijvoorbeeld terug naar huis te gaan of de burens/beheerder te waarschuwen.

Bij thuiskomst moet u (of de burens/beheerder) de Mobile SMS Guard 300 centrale resetten met de "Reset" knop. Daarmee wordt het alarm uitgezet.

Als u zeker bent dat er loos alarm is of de alarmsituatie is opgelost, kunt u ook op afstand de Mobile SMS Guard 300 centrale resetten.

Stuur daarvoor een SMS-bericht naar de centrale met de tekst (in hoofdletters) "RESET". De centrale zal nu op dezelfde manier worden gereset als met de "Reset" knop.

Uw systeem op afstand bedienen

U kunt met de Mobile SMS Guard 300 centrale communiceren door het sturen van SMS-berichten. Deze zijn samengevat in figuur 5/14.4.3-8. Type het tekstbericht in de SMS-functie van uw mobiele telefoon en verzend dit naar het nummer van de SIM-kaart in de centrale. Let op de juiste schrijfwijze en de aanwezigheid van afbreekstreepjes!

Als u een typefout maakt, krijgt u de melding terug "WRONG INSTRUCTION!". Check dan of u het woord goed heeft gespeld, hoofdletters heeft gebruikt en (indien nodig) een verbindingstreepje heeft gebruikt.

Uw systeem op afstand uitlezen

De Mobile SMS Guard 300 centrale kan, na een alarmmelding of als antwoord op uw SMS-bericht, een SMS sturen met de

14.4 Inbraakalarm systemen

Bericht	Betekenis
Trouble!	Alarmmelding
Normal	Systeem werkt normaal
Detect Switch ON / OFF	ON: melding dat een sensor alarm meldt OFF: melding dat de sensoren geen alarm melden
Control Relay ON / OFF	ON: Relais schakelt aan (lamp brandt) OFF: Relais staat uit
R-Time,Set: xx.x Min	Tijd in minuten dat relais aan blijft na CONTROL commando.
Buzzer Output Silent / Sound	Silent: Sirene is stil Sound: Sirene geeft alarm/ sirene loeit
Buzzer Alarm ON / OFF	ON: Sirene zal afgaan bij alarm OFF: Sirene blijft stil bij alarm
SMS Alarm ON / OFF	ON: Er wordt een SMS verzonden bij alarm OFF: Er wordt géén SMS verzonden bij alarm

Figuur 5/14.4.3-9: De SMS-meldingen die de centrale naar uw telefoon stuurt.

tekstregels die in figuur 5/14.4.3-9 zijn samengevat.

Opmerkingen

Controleer minimaal twee keer per jaar of het alarmsysteem nog werkt. Forceer zelf een alarm terwijl u in huis bent. Daarmee controleert u meteen de werking van de SIM-kaart. Controleer ook twee keer per jaar of het beltegoed op de SIM-kaart nog toereikend is. Dit kan door de SIM-kaart in een mobiele telefoon te zetten en volgens de aanwijzingen van de GSM-provider te controleren of er nog beltegoed aanwezig is. Waardeer op tijd het pre-paid tegoed op!

Technische gegevens

Mobile SMS Guard 300 centrale

- display:
dot matrix LCD met schermverlichting en 2 x 16 karakters

- GSM Modem:
900 MHz/1.800 MHz dual band
- LED indicatoren:
GSM Indicator, Systeem Indicator, SMS Alarm Indicator, Buzzer Alarm Off Indicator, Detect Switch Indicator, Buzzer Indicator, Control Relay Indicator
- frequentie deur/raamsensoren:
433,92 MHz
- relais output:
24 V_{DC}, 1 A
250 V_{AC}, 1 A
- voeding:
9 V_{DC}
- stroomverbruik:
210 mA actief
125 mA stand-by
- afmetingen:
230 mm x 149 mm x 46 mm

Raam/deur-sensoren

- principe:
permanente magneet met magnetische sensor
- voeding:

14.4 Inbraakalarm systemen

- $9 V_{DC}$
- stroomverbruik:
5,8 mA
- afstand tot centrale:
maximaal 10 tot 30 m, afhankelijk van
plaatselijke omstandigheden
- afmetingen:
110 mm x 34 mm x 26 mm

Commerciële gegevens

Het GSMGUARD300 inbraakalarm systeem is een product van:
Marmitek BV
Postbus 4257, 5604 EG Eindhoven
Email: info@marmitek.com
Internet: www.marmitek.com

Het GSMGUARD300 systeem wordt onder andere geleverd door:

Vego VOF

Postbus 32.014, 6370 JA Landgraaf

Tel: +31-(0)45-533.22.00

Fax: +31-(0)45-533.22.02

Email: vego_vof@compuserve.com

Internet: www.inbraakalarm.nu

De basisset kost € 374,37, extra raam/deur-sensoren WDS300 € 53,12. Genoemde prijzen zijn exclusief 19 % BTW.

14.4 Inbraakalarm systemen

6/6.18

Sensor-IC's

Inhoud

- 6/6.18.1 Temperatuur-sensoren**
(verschenen in de 24e aanvulling)
- 6/6.18.2 Magnetische sensoren**
(verschenen in de 24e aanvulling)
- 6/6.18.3 Druksensoren**
(verschenen in de 32e aanvulling)
- 6/6.18.4 Vochtsensoren**
(verschenen in de 56e aanvulling)
- 6/6.18.5 Gas- en rooksensoren**
(verschenen in de 61e aanvulling)
- 6/6.18.6 Thermokoppel sensoren**
(verschenen in de 62e aanvulling)
- 6/6.18.7 Kantelsensoren**
(verschenen in de 85e aanvulling)
- 6/6.18.8 Sensoren voor afstandsmetingen**
(verschenen in de 86e aanvulling)

Vego's bestelservice voor oude hoofdstukken

Alle hoofdstukken uit dit naslagwerk kunt u afzonderlijk bestellen.
Ga hiervoor naar onze internetsite www.hobbyelektronica.nu en klik de menu-optie "Bestellen hoofdstukken" aan.

- 6/6.18.9 Magneto-resistieve sensoren**
(verschenen in de 87e aanvulling)

- 6/6.18.10 Silicium temperatuur sensoren van de KTY-serie**
(verschenen in de 98e aanvulling)

- 6/6.18.11 Rekstrookjes in theorie en praktijk**
(verschenen in de 100e aanvulling)

- 6/6.18.12 Meten van kleine verplaatsingen**
(verschenen in de 100e aanvulling)

- 6/6.18.13 Contactloze positiebepaling met PSD's: Position Sensing Detectors**
(verschenen in de 129e aanvulling)

6/6.18.13

Contactloze positiebepaling met PSD's: Position Sensing Detectors

Inleding

Met licht positie bepalen

Fotodetectoren die de helderheid van lichtbronnen bepalen worden op grote schaal toegepast, denk maar eens aan camera's, streepjescodelezers en laserprinters. Ze vormen een belangrijk onderdeel van de meeste wetenschappelijke instrumenten die de lichtintensiteit of de kleur meten.

Er is echter nog een andere categorie detectoren waarbij het niet in de eerste plaats gaat om het meten van de intensiteit van lichtbronnen. Alhoewel deze componenten voor allerlei doeleinden worden gebruikt, zult u waarschijnlijk niet van het bestaan ervan op de hoogte zijn. Zo worden deze detectoren toegepast in medisch onderzoek om de snelle bewegingspatronen van het menselijk oog te volgen. Tevens worden ze gebruikt om 3D modellen van lichaamsbewegingen op te stellen: met name in de sportwereld van belang om de belasting van spieren en gewrichten onder extreme omstandigheden te kunnen bepalen. Wetenschappers vertrouwen op dergelijke componenten om lasers, lichtbronnen en spiegels af te regelen binnen fracties van millimeters.

Deze technologie maakt verder deel uit van ultrasnelle, nauwkeurige automati-

sche focusseringsmethoden voor optische systemen waaronder microscopen. Op industrieel gebied worden deze detectoren toegepast voor het instellen van het gereedschap van werktuigmachines en voor trillingsanalyse.

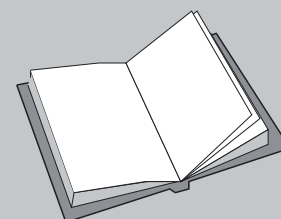
PSD, Position Sensing Detector

In plaats van het kwantificeren van de helderheid van een lichtbron is dit type metingen bedoeld voor het vinden van de positie in de ruimte. Daarom wordt deze categorie sensoren in het algemeen aangeduid met "position sensing detectors" afgekort tot "PSD". In het Nederlands gaan deze detectoren door het leven onder de benaming "componenten voor optische positiebepaling".

PSD's worden toegepast voor het meten van de hoek, rechtheid, locatie, hoogte,

LEES OOK:

Hoofdstuk 6/6.18.8



6.18 Sensor-IC's

centrering, uniformiteit van de oppervlakte, afstand, verplaatsing en trilling. Deze technologie heeft bij diverse fabrikanten, zoals UDT Sensors en OSI Optoelectronics, geleid tot het op de markt brengen van een aantal uiterst nauwkeurige detectoren en specifieke optische instrumenten die in tal van gebieden in wetenschap en industrie worden toegepast.

Optische sensoren

Het is belangrijk om u te realiseren dat optische positiebepalende instrumenten geen beeldverwerkende systemen als camera's en array's (CCD's) zijn. De laatste vereisen bemonstering en beeldverwerkende elektronica. Om de locatie van een optische gebeurtenis op hun oppervlak met een hoge resolutie te kunnen berekenen, zijn een computer en beeldanalyse software nodig. Hierdoor is het gebruik van beeldverwerkende systemen voor ruimtelijke metingen relatief traag. In plaats daarvan "kennen" positiesensoren de plaats van een lichtstip op hun oppervlakte, dat wil zeggen dat de fotostroom die ze produceren recht evenredig is met de positie. Het zijn analoge en snel werkende componenten. Daarom worden optische positiebepalende instrumenten toegepast wanneer snelheid, resolutie en eenvoud noodzakelijk zijn, dat in tegenstelling tot camera's en array's waarbij analyse wordt vereist.

De sensoren

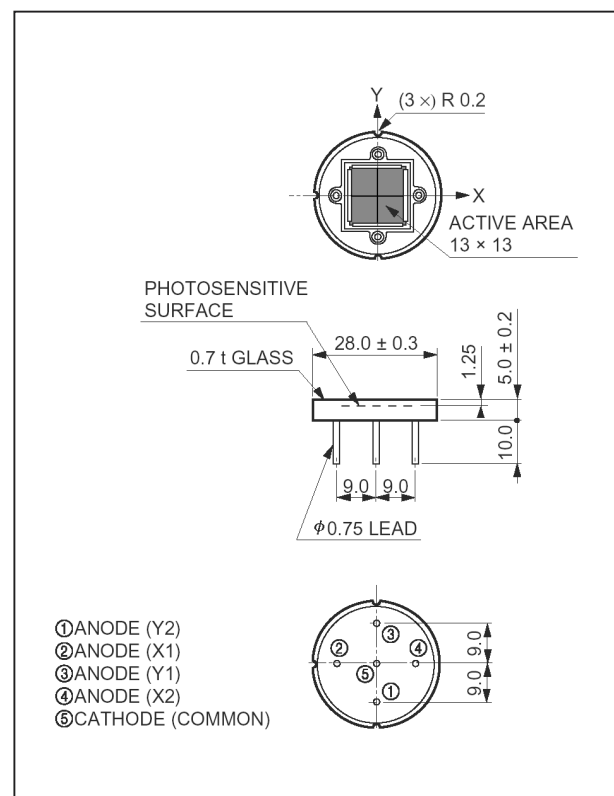
Om optische positiebepalende instrumenten te kunnen begrijpen, is het belangrijk dat u iets meer te weten komt over de sensoren die hierbij worden toegepast. Deze vormen het hart van het systeem en kunnen in twee groepen worden opgesplitst:

- gesegmenteerde (onderverdeelde) sensoren;
- continue sensoren.

Gesegmenteerde sensoren

Opbouw

Dit type optische sensor wordt ook wel aangeduid met quadrant of tweecels detector. De componenten hebben twee of vier afzonderlijke fotogevoelige elementen die zijn gescheiden door een minuscule spleet, zie figuur 6/6.18.13-1. In figuur 6/6.18.13-2 is een voorbeeld gegeven van hoe zo'n detector er in de praktijk uitziet.



Figuur 6/6.18.13-1: Opbouw van een gesegmenteerde detector.

6.18 Sensor-IC's



Figuur 6/6.18.13-2: De vertaling van figuur 6/6.18.13-1 naar de realiteit.

Werking

Een lichtstip die slechts één element raakt, produceert een fotostroom in dat betreffende element. Wordt de lichtstip over het oppervlak van de detector verplaatst, dan wordt de energie gedistribueerd tussen aanliggende elementen. De verhouding tussen de fotostromen op de uitgangen van deze elementen bepaalt de positie van de lichtstip op het oppervlak.

Het is belangrijk om te weten dat de detector alleen positie-informatie geeft over een lineaire afstand van de lichtstip-diameter. Anders zal wel bekend zijn dat er een bepaald segment wordt belicht, maar niet exact op welke plaats. Bij het werken met lasers kan daarom defocuseren noodzakelijk zijn om het maximale bereik te kunnen halen.

Bij een gesegmenteerde sensor is nog een ruimtelijke overweging erg belangrijk. De reactie op een verplaatsing van een cirkelvormige lichtstip is niet echt lineair.

Dit komt omdat de verhouding van de verplaatsing van de lichtstip ten opzichte van het percentage van het bereik dat verschuift tussen aanliggende segmenten niet lineair is. Een logisch gevolg van de "dode zône" tussen de afzonderlijke sensoren op de chip.

Toepassingen

Om deze reden kunnen gesegmenteerde sensoren het best worden toegepast als nulpunt- en middelpuntbepalende componenten. Voor dergelijke applicaties zijn hun prestaties ongeëvenaard. Testen in praktijksituaties hebben aangetoond dat de herhaalbaarheid $0,1 \mu\text{m}$ bedraagt. Deze hoge resolutie is te danken aan de bijna perfecte reactie uniformiteit tussen de elementen. Ook werken gesegmenteerde componenten met lichtniveau gevoeligheden die 1 pW benaderen met veel donkerder bronnen dan bij de continue positiebepalende detectoren het geval is.

De SPOT-serie

De SPOT-serie van OSI Optoelectronics bestaat uit dubbele detectoren en quadrantdetectoren, samengesteld uit PIN fotodioden. De componenten bevatten twee of vier discrete elementen op een substraat. Wordt er een lichtstraal precies op het midden van een quadrantdetector gericht, dan zullen de uitgangsströmen van elk van de elementen gelijk zijn waarmee het centrum of nulpunt wordt aangegeven. Als de lichtstraal zich verplaatst, zal er een onbalans in de stromen ontstaan waarmee wordt aangegeven dat de lichtstraal zich uit het midden bevindt.

De maximale vermogensintensiteit bedraagt 10 mW/cm^2 .

De SPOT-2D, zie figuur 6/6.18.13-3, is de meest eenvoudige uitvoering. De sensor is een enkele as detector met twee discrete elementen. De SPOT-4D en SPOT-9D zijn quadrantdetectoren die lichtverplaatsingen langs twee assen detecteren.

De componenten zijn uiterst stabiel over langere termijn en binnen het gespecifi-

6.18 Sensor-IC's

Model No.	Active Area per Element		Element Gap mm	Resp. A/W		Cap. pF	Dark Curr. nA		NEP W/Hz ^{1/2}	Rev. Volt. V	Rise time ns	Temp. Range C		Pack. Style		
	Area mm ²	Dim mm		970 nm		-10 V	-10 V	-10 V 970nm	-10 V 780nm 50 Ohm		Operating	Storage				
				min	typ	typ	typ	max	typ		max	typ				
Two-Element Series, Metal Package																
SPOT-2D	3.3	1.3*2.5	.127	0.60	0.65	11	0.15	2.0	1.1E-14	30	5	-40	-55	38/TO-5		
SPOT-2DMI	0.7	0.6*1.2	0.13			3	0.05	1.0	6.2E-15		7	~	~	37/TO-18		
SPOT-3D	2.8	0.6*4.6	.025			7	0.13	2.0	9.9E-15		4	+100	+125	38/TO-5		
Four-Element Series, Metal Package																
SPOT-4D	1.61	1.3 sq	.127	0.60	0.65	5	0.10	1.0	8.7E-15	30	3	-40	-55	38/TO-5		
SPOT-4DMI	0.25	0.5 sq	0.13			1	0.01	0.5	2.8E-15			~	~	40/LoProf		
SPOT-9D	19.6	10 Ø	.102			60	0.50	10.0	1.9E-14			+100	+125			
SPOT-9DMI			0.01													
Plastic Package																
FIL-S2DG	3.3	1.3*2.5	.127	0.60	0.65	11	0.15	2.0	1.1E-14	30	5	-10	-20	14/Plastic		
FIL-S4DG	1.6	1.3 sq	.127			5	0.10	1.0	8.7E-15		3	~	~	15/Plastic		
FIL-S9DG	19.6	10 Ø	.102			60	0.50	10	1.9E-14		+60	+70				

Figuur 6/6.18.13-4: Overzicht van de specificaties van de SPOT-familie.

ceerde temperatuurbereik en bieden een snelle reactietijd bij een positie resolutie van 0,0005 inch. De specificaties van deze typen zijn weergegeven in de tabel van figuur 6/6.18.13-4.

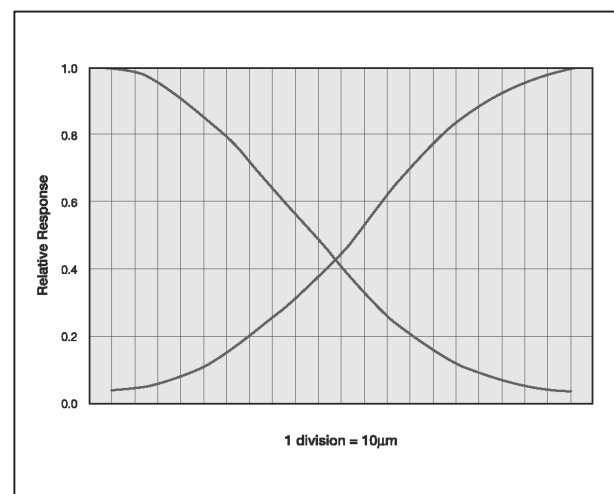


Figuur 6/6.18.13-3: De SPOT-2D, de eenvoudigste sensor uit de SPOT-serie.

Specificaties

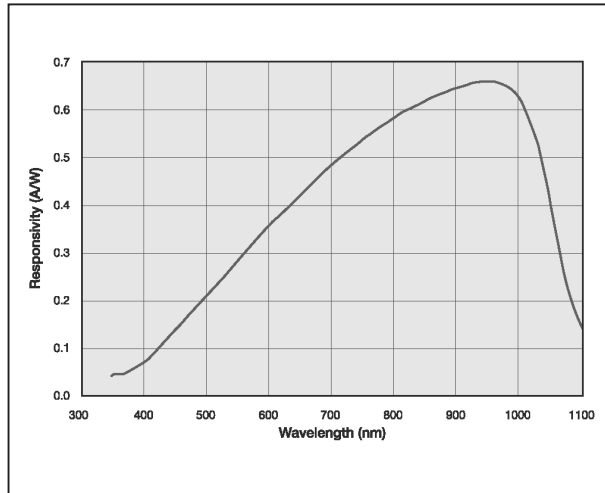
In figuur 6/6.18.13-5 is de cross-over karakteristiek van een dubbele sensor

weergegeven. Voor deze grafiek werd de sensor belicht met een lichtstraal met een diameter van 20 µm en een golflengte van 970 nm. In figuur 6/6.18.13-6 is de typische spectrale gevoeligheid van de SPOT-serie getekend, terwijl uit figuur 6/6.18.13-7 de genormaliseerde donkerstroom volgt in functie van de reverse biasspanning over de PIN-diode.

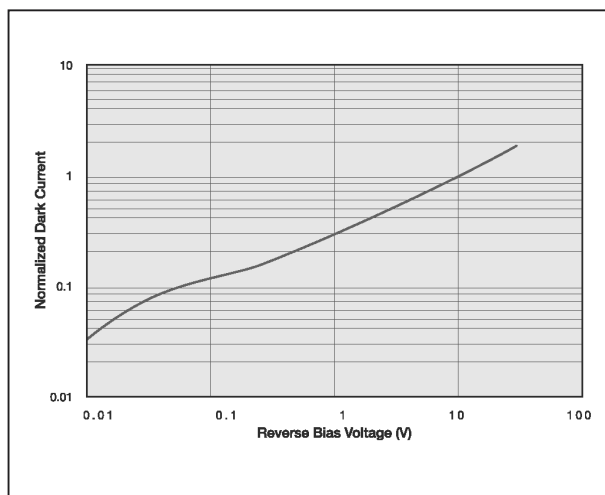


Figuur 6/6.18.13-5: De cross-over karakteristiek van een typische dubbele sensor uit de SPOT-serie.

6.18 Sensor-IC's



Figuur 6/6.18.13-6: De spectrale gevoeligheid van de SPOT-serie.



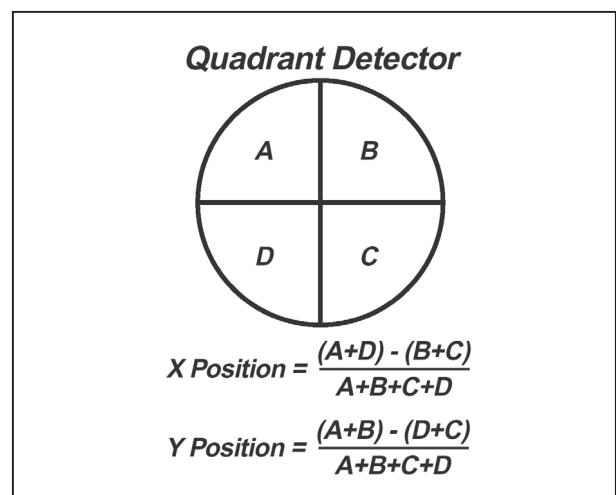
Figuur 6/6.18.13-7: De genormaliseerde donkerstroom in functie van de reverse biasspanning over de dioden.

Voorbeeldschakeling

In figuur 6/6.18.13-8 is het standaard-schema getekend, waarmee u de uitgangsströmen van gesegmenteerde PSD's kunt omzetten in twee spanningen X en Y, die de positie van een lichtspot op het oppervlak van de sensor in een tweedimensioneel assenstelsel vastleggen. De vier donkerstromen A, B, C en D worden door middel van de opera-

tionele versterkers A1 omgezet in spanningen. Deze vier spanningen worden aangeboden aan drie verschilversterkers, die er bepaalde wiskundige bewerkingen op loslaten. Nadien worden de uitgangsspanningen van deze differentiele versterkers aangeboden aan twee analoge delers.

Waarom deze wiskundige bewerkingen noodzakelijk zijn volgt uit figuur 6/6.18.13-9. Deze figuur geeft de twee wiskundige uitdrukkingen, die het verband tussen de vier diodestromen en de X- en Y-spanningen vastleggen.



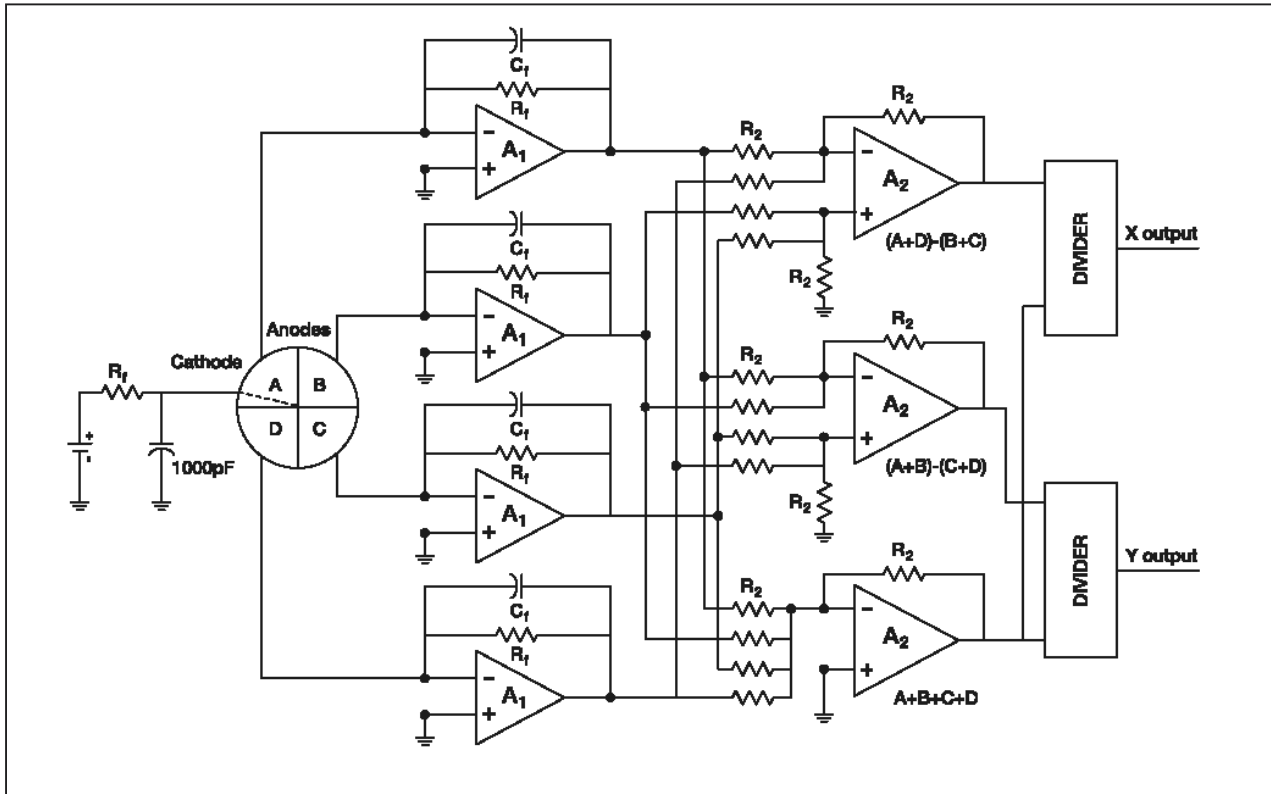
Figuur 6/6.18.13-9: De twee wiskundige uitdrukkingen, die de vier donkerstromen A, B, C en D omzetten in de X- en Y-waarden van een tweedimensioneel ruimtelijk assenstelsel.

Continue sensoren

Inleiding

Moet er bij positiebepalende toepassingen over een groot ruimtelijk bereik worden gemeten dan zijn continue sensoren de juiste keus.

6.18 Sensor-IC's



Figuur 6/6.18.13-8: Het standaardschema, waarmee u de vier diodestromen kunt omzetten in twee spanningen die de positie van de lichtstip op het gevoelig oppervlak van de sensor definiëren in een (x,y)-assenstelsel.

Het belangrijkste verschil tussen gesegmenteerde sensoren en continue typen is dat de laatste bestaan uit een enkele fotodiode. Er is geen spleet of dood gebied tussen de cellen aanwezig.

Bij continue positiebepalende sensoren wordt de positie bepaald door verdringing van de foto-gegenereerde elektronen binnen het substraat en niet door het profileren van de intensiteitsverplaatsing op het oppervlak zoals dat bij gesegmenteerde sensoren het geval is. Daarom werkt een twee-assige continue sensor als een paar lichtgevoelige variabele weerstanden die de x- en y-positie van een invallende lichtstip meten en omzetten in een stroom.

In vergelijking tot gesegmenteerde sensoren is het grote dynamische bereik het

belangrijkste voordeel van continue PSD's. De positie van een lichtstip wordt tot aan de uiteinden van het actieve oppervlak bepaald. Het is eveneens belangrijk om te weten dat deze sensoren het centrum van een lichtstip kunnen bepalen. Hierdoor is de vorm van de lichtstip of de intensiteitsverplaatsing minder van belang.

Uitvoeringen

Continue positiesensoren zijn verkrijgbaar in een- en tweedimensionele configuraties en in een viertal varianten, namelijk:

- duo-lateraal;
- tetra-lateraal;
- pin-cushion;
- transparant duo-lateraal.

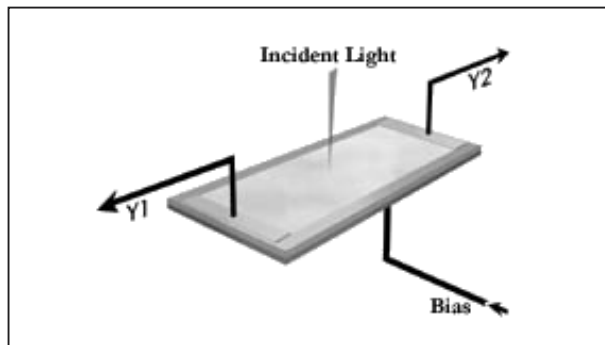
6.18 Sensor-IC's

Eendimensionele PSD's

In figuur 6/6.18.13-10 is de samenstelling van een dergelijke sensor weergegeven. De sensor bestaat uit één fotogevoelig PIN-oppervlak. De sensor kan dus de positie van een lichtspot in één dimensie meten. De lichtspot die op de sensor invalt heeft twee donkerstromen tot gevolg, die afvloeien via Y1 of Y2. Uit de grootte van deze twee stromen kan de positie van de lichtspot worden afgeleid en wel volgens de wiskundige uitdrukking:

$$\text{positie} = L/2 * [(Y1 - Y2) / (Y1 + Y2)]$$

waarin L een constante is die een maat is voor de afmeting in de meetrichting van het fotogevoelig oppervlak.



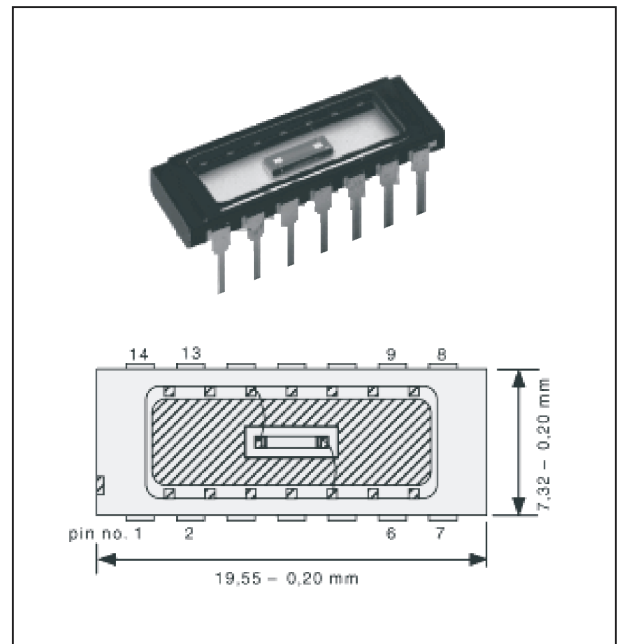
Figuur 6/6.18.13-10: De samenstelling van een eendimensionele sensor.

Voorbeeld: de 1L2.5

Een typisch voorbeeld van een eendimensionele PSD is de 1L2.5 van SiTek. Deze sensor is voorgesteld in figuur 6/6.18.13-11. De specificaties in het kort samengevat:

- gevoelig oppervlak
2,5 mm bij 0,6 mm
- donkerstroom
10 nA max.
- capaciteit
2 pF max.
- stijgtijd
50 ns max.

- inverse bias
20 V max.
- thermische drift
100 ppm/°C max.



Figuur 6/6.18.13-11: De 1L2.5 van Sitek is een typische vertegenwoordiger van de eendimensionele PSD's.

Tweedimensionele PSD's

Deze sensoren hebben, zie figuur 6/6.18.13-12, een vierkant oppervlak waar vier elektroden op zijn aangebracht. De invallende lichtstip genereert de vier donkerstromen Y1, Y2, X1 en X2.

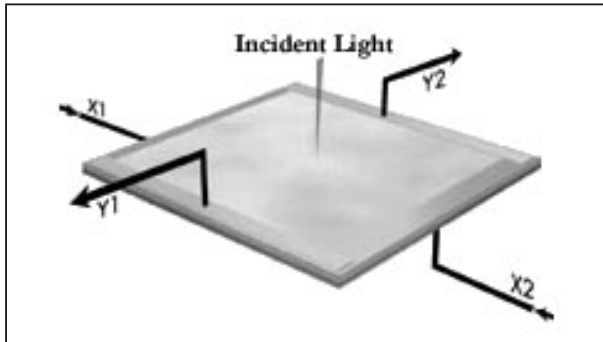
Aan de hand van onderstaande formules kunnen deze vier stromen worden omgezet in twee spanningen die de positie van de lichtstip in een (x,y)-assenstelsel definiëren:

$$\text{positie } y = Ly/2 * [(Y1 - Y2) / (Y1 + Y2)]$$

$$\text{positie } x = Lx/2 * [(X1 - X2) / (X1 + X2)]$$

waarin Ly en Lx natuurlijk weer twee constanten zijn die een maat zijn voor de x- en y-afmetingen van de sensor.

6.18 Sensor-IC's



Figuur 6/6.18.13-12: De samenstelling van een tweedimensionele sensor.

Duo-laterale sensoren

Het duo-laterale type heeft elektroden op zowel de voor- als achterzijde. Uit de equivalente schakeling kan worden afgeleid dat elk positie-signaal is onderverdeeld in twee delen, maar elk met twee gescheiden weerstandslagen. Deze benadering levert een minimale positioneringsfout op en een zeer hoge resolutie.

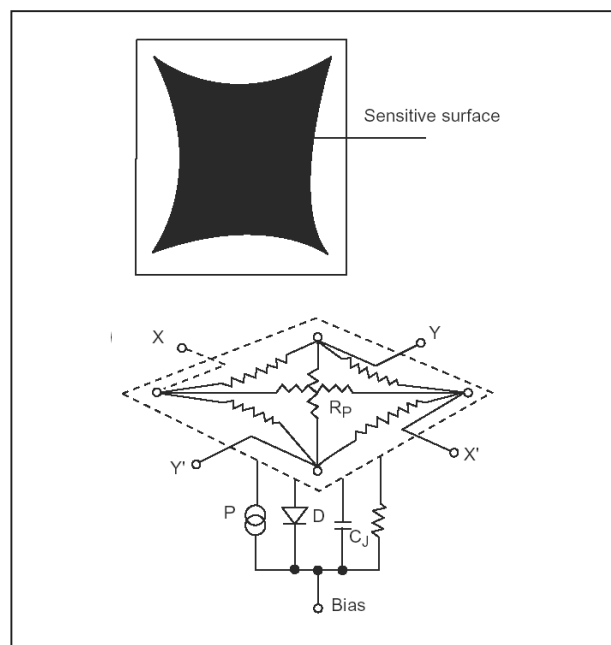
Tetra-laterale sensoren

Tetra-laterale typen hebben vier elektroden op de voorzijde van de fotodiode. Hierdoor wordt de totale geïnduceerde fotostroom door dezelfde weerstandslaag verdeeld in vier delen. Vergelijken met duo-laterale typen vertonen tetra-laterale componenten een groter niet-lineair gedrag voor posities die verder van het mechanische centrum zijn gelegen. Aan de andere kant produceren tetra-laterale componenten een kleinere donkerstroom en hebben ze een kortere reactietijd. Ook zijn ze wat gemakkelijker te gebruiken omdat ze werken met een minimale, of zelfs zonder, instelspanning.

Pin-cushion sensoren

Pin-cushion uitvoeringen zijn in principe verbeterde tetra-laterale componenten. Deze vertonen minder niet-lineair

signaalgedrag aan de uiteinden. Dit wordt bereikt door de oppervlaktegevoeligheid van de fotodiode groter te maken en door de vorm de elektroden aan te passen, zie figuur 6/6.18.13-13. De pin-cushion component biedt alle voordelen van het tetra-laterale type, namelijk een lage donkerstroom, korte reactietijd en een minimale instelspanning.



Figuur 6/6.18.13-13: De geometrie en het equivalent schema van een pin-cushion sensor.

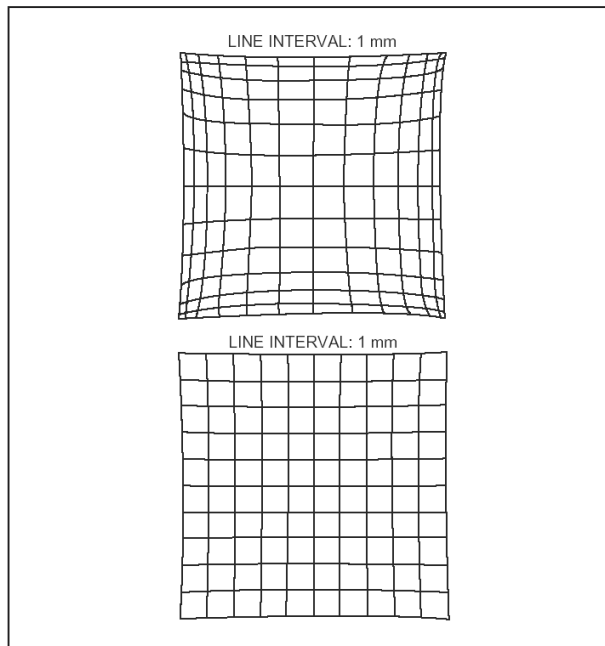
In figuur 6/6.18.13-14 wordt de oppervlakte lineariteit van een tetra-laterale sensor (boven) vergeleken met deze van een pin-cushion uitvoering (onder). Commentaar overbodig!

Transparante duo-laterale sensoren

Transparante duo-laterale uitvoeringen werken in principe net zo als de standaard duo-laterale typen. Het enige verschil zit in de constructie, want hier wordt amorf silicium opgedampt op een

6.18 Sensor-IC's

transparant substraat. Dat betekent dat een invallende straal dwars door de detector heen gaat en er alleen enigszins verzwakt en diffuus uitkomt.



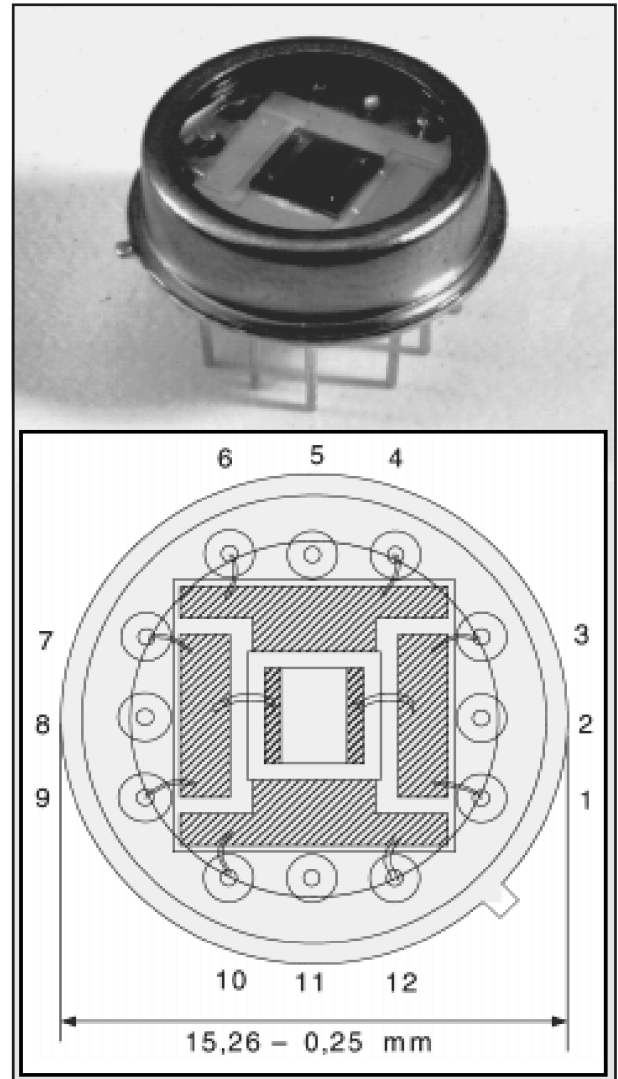
Figuur 6/6.18.13-14: Vergelijking van de lineariteit van een tetra-laterale sensor (boven) en een pin-cushion uitvoering (onder).

Een voorbeeld: de 2L2

De 2L2 van SiTek, zie figuur 6/6.18.13-15, is een typische vertegenwoordiger van de klasse van tri-laterale tweedimensionele sensoren. De specificaties van deze sensor in het kort samengevat:

- gevoelig oppervlak
2,0 mm bij 2,0 mm
- donkerstroom
200 nA max.
- capaciteit
8 pF max.
- stijgtijd
60 ns max.
- inverse bias
20 V max.

- thermische drift
200 ppm/°C max.



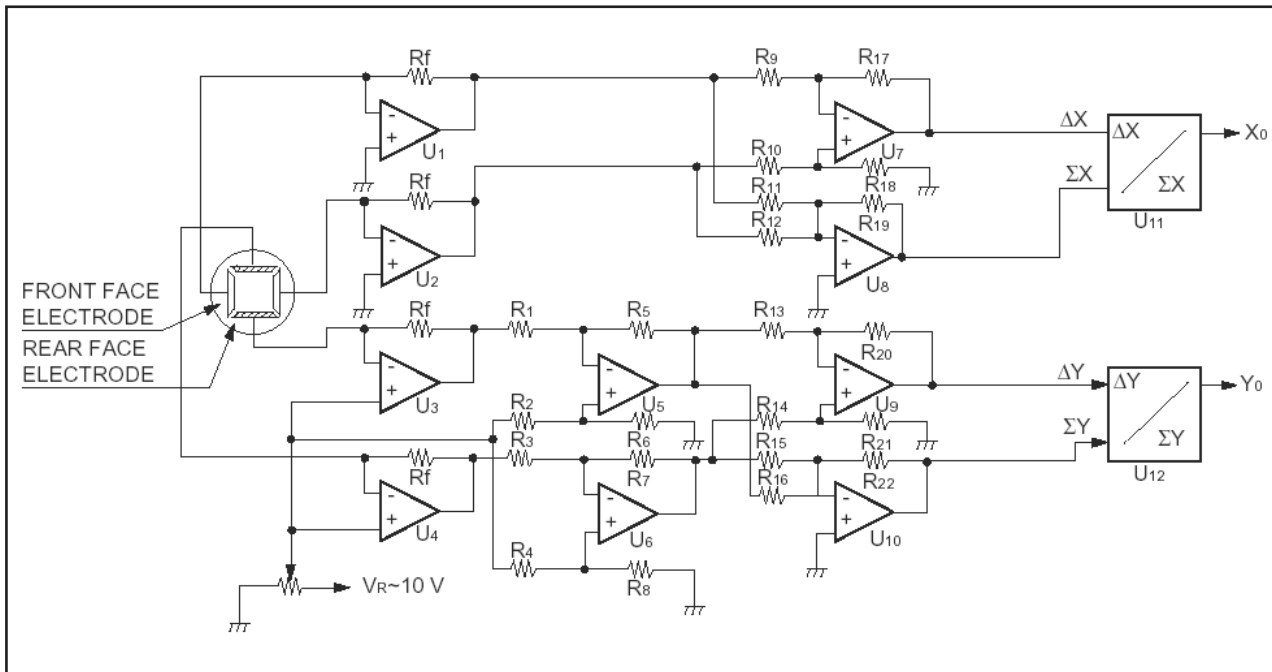
Figuur 6/6.18.13-15: De 2L2, een typische vertegenwoordiger van de tri-laterale tweedimensionele sensoren.

Praktische schakelingen

Duo-laterale sensoren

In figuur 6/6.18.13-16 is het standaard-schema getekend, waarmee u de vier donkerstromen van een duo-laterale

6.18 Sensor-IC's



Figuur 6/6.18.13-16: Een voorbeeldschakeling voor het uitlezen van een duo-laterale sensor.

sensor omzet in de positie spanningen X en Y. De weerstanden R1 tot en met R22 hebben dezelfde waarde en zijn 1 % typen. De waarde van de weerstand Rf hangt af van de waarde van de maximaal te verwachten donkerstroom. Deze is uiteraard weer afhankelijk van het lichtniveau dat op de sensor invalt. Als analoge delers wordt geadviseerd gebruik te maken van de AD538 van Analog Devices.

Tetra-laterale sensoren

Omdat het contact bij tetra-laterale sensoren anders is dan bij duo-laterale sensoren, is de noodzakelijke schakeling ook iets anders. Het standaardschema is voorgesteld in figuur 6/6.18.13-17. Ook nu moeten de weerstanden R1 tot en met 16 dezelfde precisiewaarde hebben. Met de twee instelpotentiometers BG ADJUST wordt de donkerstroom die een gevolg is van de van de onderzijde van de sensor gereflecteerde straling gecompenseerd.

Pin-cushion sensoren

In figuur 6/6.18.13-18 wordt het standaardschema voorgesteld waarmee u de donkerstromen van een pin-cushion sensor kunt uitlezen. Ook nu geldt dat de waarde van de weerstanden R1 tot en met R15 identiek is.

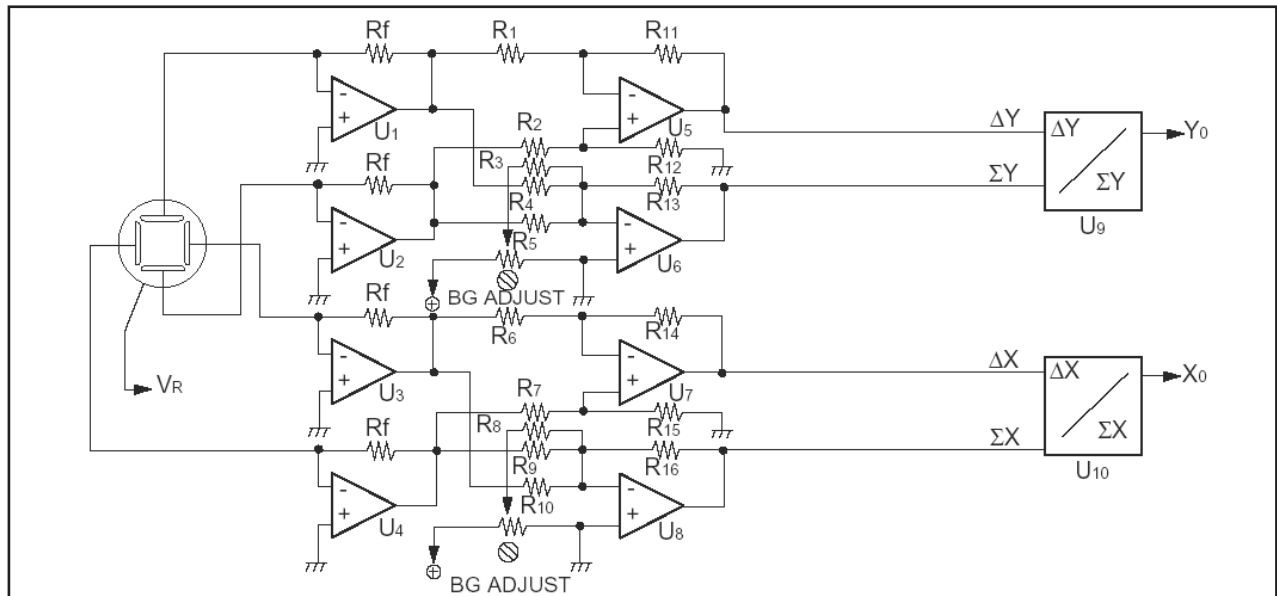
Auto-collimatoren

Inleiding

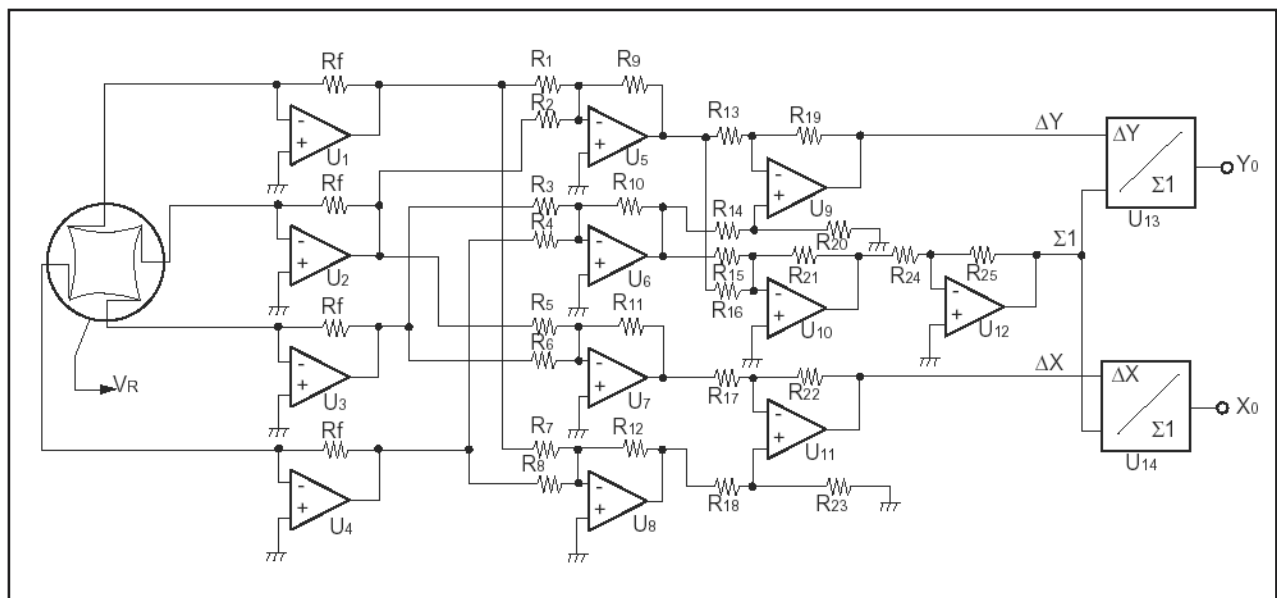
Bij het meten met PSD's moet u altijd beschikken over een lichtbron die een zeer smalle bundel licht uitstraalt en een optisch systeem, bestaande uit spiegels en lenzen. Het zou handig zijn als een dergelijke vrij uitgebreide meetopstelling als één apparaat beschikbaar was.

Auto-collimatoren zijn dergelijke volledig zelfstandig werkende optische instrumenten die bestemd zijn voor het bepalen van de hoekpositie van referentie oppervlakken. Ze worden gebruikt wan-

6.18 Sensor-IC's



Figuur 6/6.18.13-17: Een voorbeeldschakeling voor het uitlezen van een tetra-laterale sensor.



Figuur 6/6.18.13-18: Een voorbeeldschakeling voor het uitlezen van een pin-cushion sensor.

neer de vlakheid, de hoek, of de parallelstand zeer nauwkeurig moet worden gemeten. Tot de applicaties behoren het automatisch uitrichten van spiegels, servobesturing, kwaliteitscontrole en het testen van oppervlakteplaten, machine oppervlakken en optische componenten, vibratie en stabiliteitsmetingen en

het meten van de buiging van bepaalde structuren.

Samenstelling

Een auto-collimator, waarvan figuur 6/6.18.13-19 een typisch voorbeeld geeft, is een optisch stelsel dat bestaat uit een positieve lens waarbij in het voor-

6.18 Sensor-IC's

werpsbrandpunt een scherm met een gaatje is aangebracht en een stel kruisdraden of een schaalverdeling. Een krachtige infrarood LED met een golflengte van 856 nm binnenin het instrument produceert een krachtige lichtstraal, zie figuur 6/6.18.13-20.

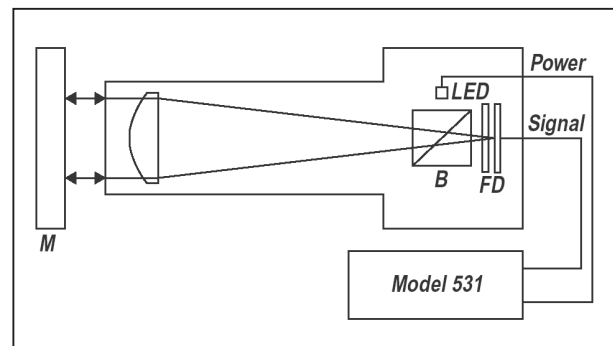


Figuur 6/6.18.13-19: Een auto-collimator is een onderdeel dat een zeer gebundelde lichtbron bevat, de noodzakelijke optiek en een PSD.

Deze straal wordt teruggekaatst met behulp van een bundelsplitser en daarna via de lens gecollimeerd. Wordt deze straal teruggekaatst via een referentiespiegel die zich op het te testen object bevindt, dan keert deze straal terug via de lens en bundelsplitser naar de positiebepalende detectoren in het apparaat. Veranderingen in de positie van de invallende straal op de fotodioden zijn rechtstreeks evenredig met de veranderingen in de hoek van de referentiespiegel. De brandpuntsafstand van de lens bepaalt de invanghoek. Een ingebouwd spelfilter voor zichtbaar licht met een golflengte beneden 780 nm voorkomt dat omgevingslicht kan interfereren met het meetsignaal. Omdat auto-collimatoren als positiebepalende detectoren in het

ontwerp worden opgenomen, zijn de geschikt om over een breed gebied hoeken te detecteren met een resolutie van 0,2 arcseconde.

Een ander voordeel van dit ontwerp is dat er ook vacuüm collimatoren kunnen worden geproduceerd voor het in een gesimuleerde ruimte-omgeving testen van optische systemen voor satellieten.



Figuur 6/6.18.13-20: Samenstelling van een auto-collimator.

DG417 verbeterde SPST analoge schakelaar DG418 verbeterde SPST analoge schakelaar DG419 verbeterde SPST analoge schakelaar DG421 verbeterde analoge schakelaar met lage AAN-weerstand DG423 verbeterde analoge schakelaar met lage AAN-weerstand DG425 verbeterde analoge schakelaar met lage AAN-weerstand DG441 verbeterde viervoudige SPST analoge schakelaar DG442 verbeterde viervoudige SPST analoge schakelaar DG444 verbeterde viervoudige SPST analoge schakelaar DG445 verbeterde viervoudige SPST analoge schakelaar DG458 8-voudige analoge multiplexer DG485 8-voudige analoge multiplexer DG506 16-voudige analoge multiplexer DG507 16 kanaals, 8 kanaals, differentiële 8 kanaals of differentiële CMOS analoge multiplexer DG508 16 kanaals, 8 kanaals, differentiële 8 kanaals of differentiële CMOS analoge multiplexer DG509A 16 kanaals, 8 kanaals, differentiële 8 kanaals of differentiële CMOS analoge multiplexer DG515 4 bit DAC-schakelaar DG516 DAC, resolutie 10 bit DG526 16-voudige analoge multiplexer DG527 8-voudige analoge multiplexer DG528 acht-kanaals multiplexer met geheugen DG529 acht-kanaals multiplexer met geheugen DG568 8-voudige analoge multiplexer DIV100 analoge deler DL330M zeven-segment display	DL3400 zeven-segment display DL3401 zeven-segment display DL3403 zeven-segment display DL3405 zeven-segment display DL3406 zeven-segment display DL340M zeven-segment display DL430M zeven-segment display DL440M zeven-segment display DL4770 zeven-segment display DLO3900 zeven-segment display DLO3901 zeven-segment display DLO3903 zeven-segment display DLO3905 zeven-segment display DLO3906 zeven-segment display DLO4770 zeven-segment display DM8856 driver voor 7-segment display's DM8857 driver voor 7-segment display's DM8858 driver voor 7-segment display's DM8861 driver voor 7-segment display's DM8885 driver voor 7-segment display's DM8887 driver voor 7-segment display's DM8889 driver voor 7-segment display's DMA2381 MAC decoder DMA2386 MAC descrambling processor DMI3110 MAC-processor met analoge interface DP8310 achtvoudige gelatchte Peripheral driver DP8311 achtvoudige gelatchte Peripheral driver DP83223 'TWISTER' Networking transceiver device DP83257 Player & Device Enhanced FDDI Physical Layer Controller DP83266 MACSI Device (FDDI Media Access Controller en systeem interface)	DP83840A 10/100 Mb/s Ethernet Physical Layer DP83843 'PHYTER' DP83850C 100 Mb/s TX/T4 repeater interface controller (100RIC8) DP83858 100 Mb/s TX/T4 repeater interface controller (100RIC8) DP83901A SONIC seriële netwerk interface controller DP83902A ST-NIC seriële netwerk interface controller voor twisted pair DP83905 AT/LANTIC AT Local Area Network twisted pair interface DP83907 AT/LANTIC II DP8390D NIC network interface controller DP8390A CMOS SNI seriële netwerk interface DP83916 SONIC-16 systeem georiënteerd netwerk interface controller DP8391A seriële netwerk interface DP83924B viervoudige 10 Mb/s Ethernet Physical Layer - 4TPHY DP8392C coaxiale transceiver interface DP83932 20 MHz SONIC systeem georiënteerde netwerk interface controller DP83932C 25 MHz SONIC systeem georiënteerde netwerk interface controller DP83934 SONIC-T systeem georiënteerd netwerk interface controller met twisted pair interface DP83936AVUL20 full duplex SONIC-T systeem georiënteerde netwerk interface controller met twisted pair interface DP83936AVUL25 full duplex SONIC-T systeem georiënteerde netwerk interface controller met twisted pair interface DP83950B RIC Repeater interface controller DP83953 RIC2A repeater interface controller met Security Features, interne drivers en filters DP83959 8-Port Lite Ethernet repeater interface controller	DP8406 32 bit parallel foutdetectie en -correctie circuit DP8421A microCMOS programmeerbare 1M DRAM controller/driver DP8421V-33 microCMOS programmeerbare 256K/1M/4M DRAM controller/driver DP8422A microCMOS programmeerbare 4M DRAM controller/driver DP8422V-33 microCMOS programmeerbare 256K/1M/4M DRAM controller/driver DP8431V-33 microCMOS programmeerbare 256K/1M/4M DRAM controller/driver DP8432V-33 microCMOS programmeerbare 256K/1M/4M DRAM controller/driver DP8440 programmeerbare 16 bit DRAM controller DP8441 programmeerbare 64 bit DRAM controller DP8570A timer control peripheral (TCP) DP8571A timer clock peripheral (TCP) DP8572A real time clock (RTC) DP8573A real time clock (RTC) DPL3518A Dolby Pro Logic processor DPL3519A Dolby Pro Logic processor met extra opties DPL3520A Dolby Pro Logic processor DRP3510A digitale radio processor voor ADR/DMX DRV101 spoeldriver met pulsbreedte modulatie DRV1100 hoogvermogen differentiële driver/versterker DS1000 silicium digitale vertragslijn met 5 aftakkingen DS1000IND silicium digitale vertragslijn met 5 aftakkingen DS1003 4-tap silicium digitale vertragslijn met 4 aftakkingen DS1004 silicium digitale vertragslijn met 5 aftakkingen, hoge-snelheid
--	--	---	--

DS1005 silicium digitale verdragslijn met 5 aftakkingen	DS1216B smart watch RAM	DS1243Y niet vluchtig SRAM met fantoom klok	DS1284 watchdog timekeeper
DS1007 silicium digitale verdragslijn, 7-in-1	DS1216C smart watch RAM	DS1244 niet vluchtig SRAM met fantoom klok, 256 k	DS1285 real time clock
DS1010 silicium digitale verdragslijn met 10 aftakkingen	DS1216D smart watch RAM	DS1244Y niet vluchtig SRAM met fantoom klok, 256 k	DS1285Q real time clock
DS1012 silicium digitale verdragslijn, 2-in-1, met interne logica	DS1216E smart watch RAM	DS1245AB niet vluchtig SRAM, 1.024 k	DS1286 watchdog timekeeper
DS1013 silicium digitale verdragslijn, 3-in-1	DS1216F smart watch RAM	DS1245W niet vluchtig SRAM, 3,3 V, 1.024 k	DS1287 real time clock
DS1020 programmeerbare 8 bit silicium digitale verdragslijn	DS1216H smart watch RAM	DS1245Y niet vluchtig SRAM, 1.024 k	DS1287A real time clock
DS1021 programmeerbare 8 bit silicium digitale verdragslijn	DS1217A niet vluchtige read/write cartridge	DS1248 niet vluchtig SRAM 1.024 k	DS12885 real time clock
DS1023 8 bit programmeerbare timer	DS1217M niet vluchtige read/write cartridge	DS1248P niet vluchtig SRAM met fantoom klok, 1.024 k	DS12885Q real time clock
DS1033 silicium digitale verdragslijn, 3-in-1, lage spanning	DS1218 niet vluchtige controller	DS1248Y niet vluchtig SRAM met fantoom klok, 1.024 k	DS12887 real time clock
DS1035 silicium digitale verdragslijn, 3-in-1, hoge snelheid	DS1220AB niet vluchtig SRAM, 16 k	DS1249AB niet vluchtig SRAM met fantoom klok, 2.048 k	DS12887A real time clock
DS1040 programmeerbare one-shot pulsge-nerator	DS1220AD niet vluchtig SRAM, 16 k	DS1249Y niet vluchtig SRAM met fantoom klok, 2.048 k	DS12887B real time clock
DS1044 silicium digitale verdragslijn, 4-in-1, hoge snelheid	DS1220Y niet vluchtig SRAM, 16 k	DS1250AB niet vluchtig SRAM, 4.096 k	DS12887C real time clock
DS1045 tweevoudige programmeerbare digitale verdragslijn, 4 bit	DS1221 niet vluchtige controller	DS1250W niet vluchtig SRAM, 3,3 V, 4.096 k	DS1302 trickle charge timekeeping
DS1065 oscillator en deler	DS1222 bank switch chip	DS1250Y niet vluchtig SRAM, 4.096 k	DS1305 real time clock met serieel alarm
DS1073 oscillator en deler, 3 V	DS1225AB niet vluchtig SRAM, 64 k	DS1251 niet vluchtig SRAM met fantoom klok, 4.096 k	DS1306 real time clock met serieel alarm
DS1075 oscillator en deler	DS1225AD niet vluchtig SRAM, 64 k	DS1251P niet vluchtig SRAM met fantoom klok, 4.096 k	DS1307 seriële real time clock, 64 x 8
DS1075IND oscillator en deler	DS1225Y niet vluchtig SRAM, 64 k	DS1251Y niet vluchtig SRAM met fantoom klok, 4.096 k	DS1308 seriële real time clock, 64 x 8
DS1200 seriële RAM chip	DS1227 kick starter chip	DS1258AB niet vluchtig SRAM, 128 k x 16	DS1312 niet vluchtige controller met lithium-ion batterij monitor
DS1201 electronische tag	DS1230AB niet vluchtig SRAM, 256 k	DS1258W niet vluchtig SRAM, 3,3 V, 128 k x 16	DS1314 3V niet vluchtige controller met lithium-ion batterij monitor
DS1204V electronische sleutel	DS1230W niet vluchtig SRAM, 3,3 V, 256 k	DS1258Y niet vluchtig SRAM, 128 k x 16	DS1315 timer chip
DS1205S multikey chip	DS1230Y niet vluchtig SRAM, 256 k	DS1259 batterij manager	DS1321 niet vluchtige controller met lithium-ion batterij monitor
DS1205V multikey chip	DS1231/S power monitor	DS1260 batterij manager	DS1330AB niet vluchtig SRAM met batterij monitor, 256 k
DS1210 niet vluchtige controller	DS1232 micro monitor	DS1265AB niet vluchtig SRAM, 8 M	DS1330W niet vluchtig SRAM, 3,3 V, 256 k
DS1211 niet vluchtige controller	DS1232LP micro monitor, laag vermogen	DS1265Y niet vluchtig SRAM, 8 M	DS1330Y niet vluchtig SRAM met batterij monitor, 256 k
DS1212 niet vluchtige controller	DS1232LPS micro monitor, laag vermogen	DS1267 tweevoudige digitale potentiometer	DS1336 afterburner chip
DS1213B smart socket	DS1233 5 V reset controller	DS1270AB niet vluchtig SRAM, 16 M	DS1345AB niet vluchtig SRAM met batterij monitor, 1.024 k
DS1213C smart socket	DS1233A 3,3 V reset controller	DS1270Y niet vluchtig SRAM, 16 M	DS1345W niet vluchtig SRAM, 3,3 V, 1.024 k
DS1213D smart socket	DS1233D 5 V reset controller	DS1280 3-wire naar byte-wide converter	DS1345Y niet vluchtig SRAM met batterij monitor, 1.024 k
	DS1233M reset controller		DS1350AB niet vluchtig SRAM met batterij monitor, 4.096 k
	DS1236 micro manager		DS1350W niet vluchtig SRAM, 3,3 V, 4.096 k
	DS1236A micro manager		
	DS1238 micro manager		
	DS1238A micro manager		
	DS1239 micro manager		

DS1350Y niet vluchtig SRAM met batterij monitor, 4.096 k DS1380 RAM-port DS1381 niet vluchtige RAM-port DS1384 watchdog timekeeping controller DS1385 real time clock, 4 k x 8 DS1386 watchdog timekeeper DS1386P watchdog timekeeper DS1387 real time clock, 4 k x 8 DS1395 real time clock DS1397 real time clock DS1410E parallele poort adapter DS1412 seriële poort adapter DS14185 EIA/TIA-232 3 driver x 5 ontvanger DS14196 EIA/TIA-232 5 driver x 3 ontvanger DS14285 real time clock met niet vluchtig RAM-controller DS14287 real time clock met niet vluchtig RAM-controller DS1481 1-draads bus master met overdrive DS1485 real time clock 8 k x 8 DS1486 watchdog timekeeper DS1487 laag vermogen RS-485 1/4 Unit Load Multipoint transceiver DS1488 real time clock 8 k x 8 DS1489 viervoudige lijn ontvanger DS1489A viervoudige lijn ontvanger DS1495 real time clock DS1497 real time clock DS14C232 laagvermogen +5 V TIA/EIA-232 tweevoudige driver/ontvanger DS14C238 TIA/EIA-232 4x4 driver/ontvanger, enkelvoudige voeding DS14C241 TIA/EIA-232 4x5 driver/ontvanger, enkelvoudige voeding DS14C335 TIA/EIA - 232 3x5 driver/ontvanger, 3,3 V voeding	DS14C535 EIA/TIA-232 3x5 driver/ontvanger, 5 V voeding DS14C88 viervoudige CMOS lijn driver DS14C89A viervoudige CMOS ontvanger DS1501 watchdog real time clock DS1511 watchdog real time clock DS1543 niet vluchtig timekeeping RAM, 64 k DS1543P niet vluchtig timekeeping RAM, 64 k DS1553 niet vluchtig timekeeping RAM, 64 k DS1553P niet vluchtig timekeeping RAM, 64 k DS1554 niet vluchtig timekeeping RAM, 256 k DS1556 niet vluchtig timekeeping RAM, 1 M DS1556P niet vluchtig timekeeping RAM, 1 M DS1557 niet vluchtig timekeeping RAM, 4 M DS1585 real time clock DS1587 real time clock DS1602 elapsed time counter DS1603 elapsed time counter DS1609 tweevoudige port-RAM DS1610 niet vluchtige controller DS1615 'intelligente' temperatuur-sensor DS1616 temperatuur data recorder met drie ingangen, 8 bit DS1620 digitale thermometer en thermostaat DS1620R temperatuur sensor met ingebouwde thermostatisch geregelde oven DS1621 digitale thermometer en thermostaat DS1624 thermometer met geheugen DS1625 digitale thermometer en thermostaat DS1629 2-draads digitale thermometer en real time clock DS1632 PC power fail en reset controller	DS1642 niet vluchtig timekeeping RAM DS1642-100 niet vluchtig timekeeping RAM DS1642-70 niet vluchtig timekeeping RAM DS1643 niet vluchtig timekeeping RAM DS1643P-100 niet vluchtig timekeeping RAM DS1643P-70 niet vluchtig timekeeping RAM DS1644 niet vluchtig timekeeping RAM DS1644P niet vluchtig timekeeping RAM DS1646 niet vluchtig timekeeping RAM DS1647 niet vluchtig timekeeping RAM DS1647P niet vluchtig timekeeping RAM DS1666 digitale weerstand voor audio-toepassingen DS1666S digitale weerstand voor audio-toepassingen DS1667 digitale weerstand met op-amp DS1668 digitale weerstand DS1669/S digitale weerstand DS1670 systeem controller DS1673 systeem controller DS1677 systeem controller DS1685 real time clock, 3 V DS1687 real time clock, 5 V DS1688 real time clock met niet vluchtig RAM-controle, 3 V DS1689 real time clock met niet vluchtig RAM-controle, 3 V DS1691 real time clock met niet vluchtig RAM-controle, 5 V DS1691A RS-422/RS-423 lijn drivers met tri-state uitgangen DS1692 tri-state differentiële lijn drivers DS1693 real time clock met niet vluchtig RAM-controle, 5 V DS16F95 EIA-485/EIA-422A differentiële bus transceivers DS1705 micro monitor, 3,3 V DS1706 micro monitor, 5 V	DS1707 micro monitor, 3,3 V DS1708 micro monitor, 5 V DS1710 niet vluchtige controller DS1720 digitale thermometer en thermostaat DS1721 2-draads digitale thermometer en thermostaat DS1724 programmeerbare analoge/digitale thermometer DS17285 real time clock, 3 V DS17287 real time clock, 5 V DS1742 niet vluchtig timekeeping RAM DS1743 niet vluchtig timekeeping RAM DS1743P niet vluchtig timekeeping RAM DS1744 niet vluchtig timekeeping RAM DS1744P niet vluchtig timekeeping RAM DS1746 niet vluchtig timekeeping RAM DS1746P niet vluchtig timekeeping RAM DS1747 niet vluchtig timekeeping RAM DS1747P niet vluchtig timekeeping RAM DS17485 real time clock, 3 V DS17487 real time clock, 5 V DS1775 digitale thermometer en thermostaat DS1776 Pi-bus transceiver DS1780 perifere monitor voor CPU DS17885 real time clock, 3 V DS17887 real time clock, 5 V DS1800 tweevoudige inverterende logaritmische verzwakker DS1801 digitale dubbele potentiometer DS1802 digitale dubbele potentiometer DS1803 tweevoudige digitale potentiometer, adresseerbaar DS1804 niet vluchtige trimmer potentiometer DS1806 6-voudige digitale potentiometer
---	---	--	---

DS1807 tweevoudige digitale potentiometer, adresseerbaar	DS2004 darlington-array	DS2175 T1/CEPT elastic store	DS2282 T1 FDL controller/monitor
DS1810 reset controller met push-pull uitgang, 5 V	DS2016 statisch RAM, 2 k x 8, 3 V/5 V	DS2176 T1 receive buffer	DS2299 drievoudige RS-232 transmitter/receiver
DS1811 reset controller met open drain uitgang, 5 V	DS2058 lithium-ion batterij monitor	DS2180A T1 transceiver	DS2291 T1 long loop stik
DS1812 reset controller met actief hoge push-pull uitgang, 5 V	DS2064 statisch RAM, 8 k x 8	DS2181A CEPT primary rate transceiver	DS232A tweevoudige RS-232 transmitter/receiver
DS1813 reset controller, 5 V	DS2105 SCSI terminator	DS2182A T1 line monitor	DS2404 'EconoRAM' time chip
DS1815 3,3 V econo-reset met push-pull uitgang	DS2106 SCSI terminator	DS2186 transmit line interface	DS2404S-C01 tweevoudig poort-geheugen met timer
DS1816 reset controller met open drain uitgang, 3,3 V	DS2107A SCSI terminator	DS2187 receive line interface	DS2405 adresseerbare schakelaar
DS1817 reset controller met actief hoge uitgang, 3,3 V	DS2108 differentiële SCSI terminator, schakelbaar	DS2188 T1/CEPT jitter verzwakker	DS2406 tweevoudige adresseerbare schakelaar met 1 k geheugen
DS1818 reset controller, 3,3 V	DS2109 SCSI terminator, Plug and Play	DS21FF42 4 x 4 16-kanaals T1/E1 framer	DS2407 tweevoudige adresseerbare schakelaar met 1 k geheugen
DS1819 econo-monitor, 3,3 V	DS2114 SCSI terminator	DS21FF44 4 x 4 16-kanaals T1/E1 framer	DS2409 MicroLAN koppelaar
DS1820 1-draads digitale thermometer	DS2117M Ultra2 LVD/SE SCSI terminator	DS21FT42 4 x 4 16-kanaals T1/E1 framer	DS2415 1-draads timer chip
DS1821 programmeerbare digitale thermostaat	DS2118M Ultra2 LVD/SE SCSI terminator	DS21FT44 4 x 4 16-kanaals T1/E1 framer	DS2422 1-draads RAM met teller en 1 k geheugen
DS1822 1-draads digitale thermometer	DS2119M Ultra2 LVD/SE SCSI terminator	DS21Q352 viervoudige T1/E1 transceiver, 3,3 V	DS2423 1-draads RAM met teller en 4 k geheugen
DS1832 micro monitor chip, 3,3 V	DS21352 T1 single chip transceiver (SCT), 3,3 V	DS21Q354 viervoudige T1/E1 transceiver, 3,3 V	DS2430A 1-draads EEPROM, 256 bit
DS1833 reset controller, 5 V	DS21354 E1 single chip transceiver (SCT), 3,3 V	DS21Q41B viervoudige T1 framer	DS2433 1-draads EEPROM, 4 k
DS1834 tweevoudige reset controller	DS2141A T1 controller	DS21Q42 viervoudige T1 framer, enhanced	DS2434 batterij identificatie chip
DS1836 micro-manager, 3,3 V/5 V	DS2143 E1 controller	DS21Q43A viervoudige E1 framer	DS2435 batterij identificatie chip met temperatuur histogram
DS1844 viervoudige digitale potentiometer	DS2143Q E1 controller	DS21Q44 viervoudige E1 framer, enhanced	DS2436 batterij identificatie/monitor chip
DS1866 logaritmische trimmer potentiometer	DS2151Q T1 single chip transceiver	DS21Q552 viervoudige T1/E1 transceiver (5 V)	DS2437 batterij monitor
DS1867 tweevoudige digitale potentiometer met EEPROM	DS2152 T1 single chip transceiver, enhanced	DS21Q554 viervoudige T1/E1 transceiver (5 V)	DS2438 batterij monitor
DS1868 tweevoudige digitale potentiometer	DS2153Q E1 single chip transceiver	DS21S07A SCSI terminator	DS2450 1-draads viervoudige ADC
DS1869 'Dallastat' digitale rheostaat, 3 V	DS2154 E1 single chip transceiver, enhanced	DS21T05 SCSI terminator	DS2480 seriële 1-draads lijn driver
DS1920 temperatuur controller	DS21552 T1 single chip transceiver (SCT), 5 V	DS21T06 SCSI terminator	DS2480B seriële 1-draads lijn driver met belastingssensor
DS1921 temperatuur recorder	DS21554 E1 single chip transceiver (SCT), 5 V	DS21T07 SCSI terminator	DS2490 USB naar 1-draads brug
DS1971 EEPROM, 256 bit	DS2164Q ADPCM processor, G.726	DS21T09 SCSI terminator, Plug and Play	DS2502 add only geheugen, 1 k
DS1973 EEPROM, 4 k	DS2165 ADPCM processor, 16/24/32 kbps	DS21T11 SCSI terminator	DS2502 'UniqueWare' add only geheugen
DS2001 darlington-array	DS2165Q ADPCM processor, 16/24/32 kbps	DS21T16 SCSI terminator	DS2502-E64 IEEE EUI-64 node adres chip
DS2002 darlington-array	DS2167 ADPCM processor	DS21T26 SCSI terminator, 27 line, SE	DS2505 add only geheugen, 16 k
DS2003 darlington-array	DS2168 ADPCM processor	DS21T27 SCSI terminator, 27 line	DS2505 'UniqueWare' add only geheugen
	DS2172 bit error rate tester (BERT)	DS2229 SRAM, word wide, 8 M	
		DS2250(T) microcontroller module	
		DS2251T microcontroller module, 128 k	
		DS2252T microcontroller module	

DS2506 add only geheugen, 64 k DS2506UNW 'UniqueWare' add only geheugen DS26C31M CMOS viervoudige tri-state differentiële lijn driver DS26C31T CMOS viervoudige tri-state differentiële lijn driver DS26C32AM CMOS viervoudige differentiële lijn ontvanger DS26C32AT CMOS viervoudige differentiële lijn ontvanger DS26F31M viervoudige snelle differentiële lijn driver DS26F32M viervoudige differentiële lijn ontvanger DS26LS31C viervoudige snelle differentiële lijn driver DS26LS31M viervoudige snelle differentiële lijn driver DS26LS32AC viervoudige differentiële lijn ontvanger DS26LS32C viervoudige differentiële lijn ontvanger DS26LS32M viervoudige differentiële lijn ontvanger DS26LS33M viervoudige differentiële lijn ontvanger DS26LV31T 3 V enhanced CMOS viervoudige differentiële lijn driver DS26LV32AT 3 V enhanced CMOS viervoudige differentiële lijn ontvanger DS275 RS-232 transceiver DS276 transceiver chip, laag vermogen DS3131 bit synchronous HDLC controller DS3134 universele T1 en E1 HDLC controller DS3486 viervoudige RS-422/RS-423 lijn ontvanger DS3487 viervoudige tri-state lijn driver DS34C86T RS-422A/423 lijn-driver en/of -receiver DS34C86T viervoudige CMOS differentiële lijn ontvanger	DS34C87T RS-422A/423 lijn-driver en/of -receiver DS34LV86T 3 V CMOS viervoudige differentiële lijn ontvanger DS34LV87T CMOS viervoudige differentiële lijn driver DS3603 differentiële lijn-driver en/of -receiver DS36276 FailSafe Multipoint transceiver DS36277 Dominant Mode Multipoint transceiver DS3650 differentiële lijn-driver en/of -receiver DS3652 differentiële lijn-driver en/of -receiver DS3658 viervoudige hoge stroom peripheral driver DS3662 viervoudige snelle trapezoidale bus transceiver DS3668 viervoudige 'Fault Protected Peripheral'-driver DS3680 viervoudige relais driver DS3691 RS-422/RS-423 lijn driver met tri-state uitgangen DS3692 tri-state differentiële lijn driver DS3695 Multipoint RS-485/RS-422 transceiver DS36950 viervoudige differentiële bus transceiver DS36954 viervoudige differentiële bus transceiver DS3695A Multipoint RS-485/RS-422 transceiver DS3695AT Multipoint RS485/RS422 transceivers DS3695T Multipoint RS-485/RS-422 transceivers DS3696 Multipoint RS-485/RS-422 transceiver DS3696A Multipoint RS485/RS422 transceiver DS3697 Multipoint RS-485/RS-422 repeater DS36C200 tweevoudige snelle bi-directionele differentiële transceiver	DS36C278 laag vermogen Multipoint TIA/EIA-485 transceiver DS36C279 laag vermogen TIA/EIA-485 transceiver met slaap modus DS36C280 CMOS TIA/EIA-485 transceiver met gecontroleerde slew-rate DS36F95 EIA-485/EIA-422A differentiële bus transceiver DS3803 niet vluchtig SRAM SIMM, 1.024 k DS3862 achtvoudige snelle trapezoidale bus transceiver DS3883A BTL 9 bit data transceiver DS3884A BTL Handshake transceiver DS3886A BTL 9 bit latching data transceiver DS3893A BTL turbo-transceiver DS3896 BTL trapezoidale transceiver DS3897 BTL trapezoidale transceiver DS38C86A CMOS BTL 9 bit latching data transceiver DS4201 audio DAC, USB DS481 laag vermogen RS-485/RS-422 Multipoint transceiver met Sleep Mode DS485 laag-vermogen RS-485/RS-422 Multipoint transceiver DS5000 microcontroller module DS5000FP microprocessor chip DS5001FP microprocessor chip, 128 k DS5002FP microprocessor chip DS55451 tweevoudige peripheral driver DS55452 tweevoudige peripheral driver DS55453 tweevoudige peripheral driver DS55454 tweevoudige peripheral driver DS56 tweevoudige temperatuur comparator DS60 temperatuur sensor, graden Celsius DS75 2-draads thermische controller DS75107 tweevoudige lijn ontvanger	DS75110A tweevoudige lijn driver DS75150 tweevoudige lijn driver DS75154 viervoudige lijn ontvanger DS75160A IEEE-488 GPIB transceiver DS75161A IEEE-488 GPIB transceiver DS75176B Multipoint RS-485/RS-422 transceiver DS75176BT Multipoint RS-485/RS-422 transceiver DS75450 tweevoudige peripheral driver DS75451 tweevoudige peripheral driver DS75452 tweevoudige peripheral driver DS75453 tweevoudige peripheral driver DS75454 peripheral driver DS7820 tweevoudige lijn ontvanger DS7820A tweevoudige lijn ontvanger DS7831 tweevoudige tri-state lijn driver DS78C120 tweevoudige CMOS compatibele differentiële lijn ontvanger DS78C20 tweevoudige CMOS compatibele differentiële lijn ontvanger DS78LS120 tweevoudige differentiële lijn ontvanger met ruis-filtering en Fail-Safe DS80CH10 energie manager DS80CH11 energie manager DS8641 viervoudige Unified Bus transceiver DS8654 driver voor 7-segment display's DS8669 driver voor 7-segment display's DS87C530 real time clock met EPROM DS8820A differentiële lijn-driver en/of -receiver DS8820A tweevoudige lijn ontvanger DS8830 differentiële lijn-driver en/of -receiver DS8831 single-ended lijn-driver en/of -receiver DS8832 single-ended lijn-driver en/of -receiver
---	--	---	--

DS8838
viervoudige Unified Bus transceiver

DS8863
driver voor 7-segment display's

DS8870
driver voor 7-segment display's

DS8874
driver voor 7-segment display's

DS8880
driver voor 7-segment display's

DS8884A
driver voor 7-segment display's

DS88C120
RS-422A/423 lijn-driver en/of -re-
ceiver

DS88C20
RS-422A/423 lijn-driver en/of -re-
ceiver

DS88LS120
RS-422A/423 lijn-driver en/of -re-
ceiver

DS8921
differentiële lijn driver/ontvanger

DS8921A
differentiële lijn driver/ontvanger

DS8921AT
differentiële lijn drivers/ontvanger

DS8922
tri-state RS-422 tweevoudige diffe-
rentiële lijn drivers en ontvangers

DS8922A
tri-state RS-422 tweevoudige diffe-
rentiële lijn drivers en ontvangers

DS8923
RS-422A/423 lijn-driver en/of -re-
ceiver

DS8923A
tri-state RS-422 tweevoudige diffe-
rentiële lijn drivers en ontvangers

DS8925
Local Talk tweevoudige driver/drie-
voudige ontvanger

DS8935
LocalTalk tweevoudige driver/drie-
voudige ontvanger

DS8963
driver voor 7-segment display's

DS8973
driver voor 7-segment display's

DS89C21
RS-422A/423 lijn-driver en/of -re-
ceiver

DS89C386
twaalf kanaals CMOS differentiële
lijn ontvanger

DS89C387
twaalf kanaals CMOS differentiële
lijn driver

DS9097
COM-poort adapter

DS9097E
COM-poort adapter

DS9097U-09
1-draads COM poort adapter

DS90C031
LVDS viervoudige CMOS differenti-
ële lijn driver

DS90C032
LVDS viervoudige CMOS differenti-
ële lijn ontvanger

DS90C363
3,3 V programmeerbare LVDS zen-
der en 18 bit Flat Panel Display
(FPD) link - 65 MHz

DS90C363A
3,3 V programmeerbare LVDS zen-
der en 18 bit Flat Panel Display
(FPD) link - 65 MHz

DS90C365
3,3 V programmeerbare LVDS zen-
der en 18 bit Flat Panel Display
(FPD) link - 85 MHz

DS90C383
3,3 V programmeerbare LVDS zen-
der en 24 bit Flat Panel Display
(FPD) link - 65 MHz

DS90C383A
3,3 V programmeerbare LVDS zen-
der en 24 bit Flat Panel Display
(FPD) link - 65 MHz

DS90C385
3,3 V programmeerbare LVDS zen-
der en 24 bit Flat Panel Display
(FPD) link - 85 MHz

DS90C387
3,3 V LVDS 24 bit tweevoudige
Pixel Flat Panel Display (FPD) link,
SVGA naar UXGA

DS90C401
tweevoudige laagspanning differen-
tiële (LVDS) driver

DS90C402
tweevoudige laagspanning differen-
tiële (LVDS) ontvanger

DS90CF363
3,3 V LVDS zender en 18 bit Flat
Panel Display (FPD) link - 65 MHz

DS90CF363A
3,3 V LVDS zender en 18 bit Flat
Panel Display (FPD) link - 65 MHz

DS90CF364
3,3 V LVDS ontvanger en 18 bit
Flat Panel Display (FPD) link - 65
MHz

DS90CF364A
3,3 V LVDS ontvanger en 18 bit
Flat Panel Display (FPD) link - 65
MHz

DS90CF383
3,3 V LVDS 24 bit Flat Panel Dis-
play (FPD) link - 65 MHz

DS90CF383A
3,3 V LVDS zender en 24 bit Flat
Panel Display (FPD) link - 65 MHz

DS90CF384
3,3 V LVDS ontvanger en 24 bit
Flat Panel Display (FPD) link - 65
MHz

DS90CF384A
3,3 V LVDS ontvanger 24 bit Flat
Panel Display (FPD) link - 65 MHz

DS90CF561
LVDS 18 bit Color Flat Panel Dis-
play (FPD) link

DS90CF562
LVDS 18 bit Color Flat Panel Dis-
play (FPD) link

DS90CF563
LVDS 18 bit Color Flat Panel Dis-
play (FPD) link - 65 MHz

DS90CF564
LVDS 18 bit Color Flat Panel Dis-
play (FPD) link - 65 MHz

DS90CF581
LVDS zender en 24 bit Color Flat
Panel Display (FPD) link

DS90CF583
LVDS 24 bit Color Flat Panel Dis-
play (FPD) link - 65 MHz

DS90CF584
LVDS 24 bit Color Flat Panel Dis-
play (FPD) link - 65 MHz

DS90CR211
21 bit Channel link

DS90CR212
21 bit Channel link

DS90CR213
21 bit Channel link - 66 MHz

DS90CR214
21 bit Channel link - 66 MHz

DS90CR215
3,3 V Rising Edge Data Strobe
LVDS 21 bit Channel en link - 66
MHz

DS90CR216
3,3 V Rising Edge Data Strobe
LVDS 21 bit Channel en link - 66
MHz

DS90CR216A
3,3 V Rising Edge Data Strobe
LVDS ontvanger 21 bit Channel link
- 66 MHz

DS90CR281
28 bit Channel link

DS90CR282
28 bit Channel link

DS90CR283
28 bit Channel link - 66 MHz

DS90CR284
28 bit Channel link - 66 MHz

DS90CR285
3,3 V Rising Edge Data Strobe
LVDS 28 bit Channel - 66 MHz

DS90CR286
3,3 V Rising Edge Data Strobe
LVDS 28 bit Channel - 66 MHz

DS90CR286A
3,3 V Rising Edge Data Strobe
LVDS ontvanger 28 bit Channel link
- 66 MHz

DS90CR561
LVDS 18 bit Color Flat Panel Dis-
play (FPD) link

DS90CR564
LVDS 18 bit Color Flat Panel Dis-
play (FPD) link - 65 MHz

DS90CR581
LVDS zender en 24 bit Color Flat
Panel Display (FPD) link

DS90CR583
LVDS 24 bit Color Flat Panel Dis-
play (FPD) link - 65 MHz

DS90CR584
LVDS 24 bit Color Flat Panel Dis-
play (FPD) link - 65 MHz

DS90LV017
enkelvoudige snelle differentiële
driver

DS90LV018A
3 V LVDS enkelvoudige CMOS dif-
ferentiële lijn ontvanger

DS90LV019
3,3 V of 5 V LVDS driver/ontvanger

DS90LV027
LVDS tweevoudige snelle differenti-
ële driver

DS90LV028A
3 V LVDS tweevoudige CMOS dif-
ferentiële lijn ontvanger

DS90LV031A
3 V LVDS viervoudige CMOS diffe-
rentiële lijn driver

DS90LV032A
3 V LVDS viervoudige CMOS diffe-
rentiële lijn ontvanger

DS90LV047A
3 V LVDS viervoudige CMOS diffe-
rentiële lijn driver

DS90LV048A
3 V LVDS viervoudige CMOS diffe-
rentiële lijn ontvanger

DS9104
digitale ring decoder

DS92LV010A
LVDS enkelvoudige transceiver,
3,3 V en 5 V

DS92LV090A
negen kanaals bus LVDS transcei-
ver

DS92LV1021
16 MHz - 40 MHz 10 bit serializer

DS92LV1210
16 MHz - 40 MHz 10 bit deseriali-
zer

DS92LV222A
twee kanaals bus LVDS multi-
plexed repeater

DS96172
RS-485/RS-422 viervoudige diffe-
rentiële lijn driver

DS96173
RS-485/RS-422 viervoudige diffe-
rentiële lijn ontvanger

DS96174
RS-485/RS-422 viervoudige diffe-
rentiële lijn driver

DS96175
RS-485/RS-422 viervoudige diffe-
rentiële lijn ontvanger

DS96176
RS-485/RS-422 differentiële bus
transceiver

DS96177
RS-485/RS-422 differentiële bus
repeater

DS9622
tweevoudige lijn ontvanger

DS9627
tweevoudige lijn ontvanger

DS9636A
RS-423 tweevoudige lijn driver met programmeerbare slew-rate

DS9637A
tweevoudige differentiële lijn ontvanger

DS9638
RS-422 tweevoudige snelle differentiële lijn driver

DS96F172M
EIA-485/EIA-422 viervoudige differentiële driver

DS96F173M
RS-485/RS-422 viervoudige differentiële ontvanger

DS96F174C
EIA-485/EIA-422 viervoudige differentiële driver

DS96F174M
EIA-485/EIA-422 viervoudige differentiële driver

DS96F175C
RS-485/RS-422 viervoudige differentiële ontvanger

DS96F175M
RS-485/RS-422 viervoudige differentiële ontvanger

DSP101
DSP-compatibele sampling ADC

DSP102
DSP-compatibele sampling dubbele ADC

DSV14196
EIA/TIA-232 5 driver x 3 ontvanger, 3,3 V voeding

Letter E

EF6805U3
8 bit microcomputer

EF9345
HMOS2 'semi-graphic display'-processor

EEG71891PD
DTMF-generator voor binaire en hexadecimale codes

EEG7189PD
DTMF-generator voor binaire en hexadecimale codes

EL1056AC
zeer snelle PIN driver

EL1056C
zeer snelle PIN driver

EL1502C
hoogvermogen differentiële ADSL transceiver

EL1503C
hoogvermogen differentiële ADSL lijn driver

EL1504C
differentiële ADSL lijn driver

EL1505C
differentiële ADSL lijn driver

EL1881C
video sync separator

EL2001C
laagvermogen buffer versterker, 70 MHz

EL2002C
laagvermogen buffer versterker, 180 MHz

EL2003C
video lijn driver, 100 MHz

EL2008C
buffer versterker, 55 MHz, 1 A

EL2009C
buffer versterker, 90 MHz, 1 A

EL2020C
stroomtegengekoppelde versterker, 50 MHz

EL2021C
PIN driver

EL2030C
stroomtegengekoppelde versterker, 120 MHz

EL2033C
video lijn driver, 100 MHz

EL2044C
operationele versterker, 60 MHz, A = 1

EL2045C
operationele versterker, 100 MHz, A = 2

EL2070C
stroomtegengekoppelde versterker, 200 MHz

EL2071C
stroomtegengekoppelde versterker, 150 MHz

EL2072C
buffer met gesloten lus, 730 MHz

EL2073C
operationele versterker, 200 MHz, A = 1

EL2074C
operationele versterker, 400 MHz

EL2075C
operationele versterker, 2 Ghz, A = 10

EL2082C
analoge vermenigvuldiger, current-mode

EL2090C
100 MHz video versterker met drempel-restauratie

EL2099C
video distributie versterker

EL2110C
video operationele versterker

EL2111C
video operationele versterker

EL2120C
stroomtegengekoppelde versterker, 100 MHz

EL2130C
stroomtegengekoppelde versterker, 85 MHz

EL2140C
differentiële twisted-pair kabel driver, 150 MHz

EL2141C
differentiële twisted-pair kabel driver, 150 MHz

EL2142C
differentiële lijn ontvanger, 150 MHz

EL2150C
operationele versterker, enkelvoudige voeding, 125 MHz

EL2157C
operationele versterker, enkelvoudige voeding, 125 MHz

EL2160C
stroomtegengekoppelde versterker, 130 MHz

EL2166C
stroomtegengekoppelde versterker met disable, 110 MHz

EL2170C
stroomtegengekoppelde versterker, 70 MHz, 1 mA

EL2171C
stroomtegengekoppelde versterker, 150 MHz

EL2176C
stroomtegengekoppelde versterker met disable, 70 MHz, 1 mA

EL2180C
stroomtegengekoppelde versterker, 250 MHz, 3 mA

EL2186C
stroomtegengekoppelde versterker met disable, 250 MHz, 3 mA

EL2210C
tweevoudige video operationele versterker

EL2211C
tweevoudige video operationele versterker

EL2220C
tweevoudige video operationele versterker

EL2221C
tweevoudige video operationele versterker

EL2244C
tweevoudige operationele versterker, 60 MHz, A = 1

EL2245C
tweevoudige laagvermogen operationele versterker, 100 MHz, A = 2

EL2250C
tweevoudige operationele versterker, enkelvoudige voeding, 125 MHz

EL2252C
tweevoudige comparator/PIN ontvanger, 50 MHz

EL2270C
tweevoudige stroomtegengekoppelde versterker, 70 MHz, 1 mA

EL2276C
tweevoudige stroomtegengekoppelde versterker met disable, 70 MHz, 1 mA

EL2280C
tweevoudige stroomtegengekoppelde versterker, 250 MHz, 3 mA

EL2286C
tweevoudige stroomtegengekoppelde versterker, 250 MHz, 3 mA

EL2310C
drievoudige video operationele versterker

EL2311C
drievoudige video operationele versterker

EL2320C
drievoudige video operationele versterker

EL2321C
drievoudige video operationele versterker

EL2344C
drievoudige operationele versterker, 60 MHz, A = 1

EL2357C
drievoudige operationele versterker, enkelvoudige voeding, 125 MHz

EL2360C
drievoudige stroomtegengekoppelde versterker, 130 MHz

EL2386C
drievoudige stroomtegengekoppelde versterker, 250 MHz

EL2410C
viervoudige video operationele versterker

EL2411C
viervoudige video operationele versterker

EL2420C
viervoudige video operationele versterker

EL2421C
viervoudige video operationele versterker

EL2444C
viervoudige operationele versterker, 60 MHz, A = 1

EL2445C
viervoudige operationele versterker, 100 MHz, A = 2

EL2450C
viervoudige operationele versterker, enkelvoudige voeding, 125 MHz

EL2460C
viervoudige stroomtegengekoppelde versterker, 130 MHz

EL2470C
viervoudige stroomtegengekoppelde versterker, 70 MHz, 1 mA

EL2480C
viervoudige stroomtegengekoppelde versterker, 250 MHz, 3 mA

EL400C
200 MHz stroomtegengekoppelde versterker

EL4083C
vier-quadrant vermenigvuldiger, stroom-mode

EL4089C
video versterker met DC-restauratie

EL4093C
video versterker met DC-restauratie, 300 MHz

EL4094C video fader	EL5192C stroomtegengekoppelde versterker, 600 MHz	EL5482C viervoudige comparator, 8 ns	EL7212 zeer snelle tweevoudige MOSFET driver
EL4095C video fader met multiplexer	EL5193C stroomtegengekoppelde versterker, 300 MHz	EL5485C viervoudige comparator, 4 ns	EL7222C zeer snelle tweevoudige MOSFET driver
EL4331C drievoudige 2:1 video multiplexer, A = 1	EL5196C versterker met vaste versterkingsfactor, 600 MHz	EL5486C viervoudige comparator, 4 ns	EL7232C zeer snelle tweevoudige MOSFET lijn driver met 3-state uitgang
EL4332C drievoudige 2:1 video multiplexer, A = 2, 300 MHz	EL5197C versterker met vaste versterkingsfactor, 300 MHz	EL6201C laagvermogen laser-diode driver en oscillator met disable, 450 MHz	EL7242C zeer snelle tweevoudige MOSFET driver
EL4390C drievoudige video versterker met DC-restauratie, 80 MHz	EL5210C tweevoudige operationele versterker, rail to rail	EL6252C tweekanaals laser-diode driver en oscillator	EL7243C zeer snelle tweevoudige CCD MOSFET driver
EL4393C drievoudige video versterker met disable	EL5220C tweevoudige operationele versterker, rail to rail	EL6253C driekanaals laser-diode driver en oscillator	EL7252C zeer snelle tweevoudige MOSFET driver
EL4421C video versterker met multiplexer-ingang	EL5244C versterker, enkelvoudige voeding, rail to rail, 100 MHz	EL6255C viervoudige laser-diode driver en oscillator	EL7412C zeer snelle viervoudige MOSFET driver
EL4422C video versterker met multiplexer-ingang	EL5246C versterker, enkelvoudige voeding, rail to rail, 100 MHz	EL6257C vierkanaals laser-diode driver en oscillator	EL7457C viervoudige CMOS driver, niet inverterend, 40 MHz
EL4430C video instrumentatie versterker	EL5281C tweevoudige zeer snelle comparator, 8 ns	EL6258C driekanaals laser-diode driver en oscillator en APC versterker	EL7556AC programmeerbare DC/DC omvormer voor CPU-voeding
EL4431C video instrumentatie versterker	EL5283C tweevoudige zeer snelle comparator, 8 ns	EL6259C driekanaals laser-diode driver en oscillator en APC versterker	EL7558AC instelbare DC/DC omvormer voor CPU-voeding, 8 A
EL4441C video versterker met multiplexer-ingang	EL5285C tweevoudige zeer snelle comparator, 4 ns	EL6261C viervoudige voorversterker, 60 MHz	EL7562C DC/DC omvormer, step-down, 2 A
EL4442C video versterker met multiplexer-ingang	EL5287C tweevoudige zeer snelle comparator, 4 ns	EL6270C laser-diode driver met oscillator en APC-versterker	EL7564C DC/DC omvormer, step-down, 4 A
EL4443C video versterker met multiplexer-ingang	EL5292C tweevoudige stroomtegengekoppelde versterker, 600 MHz	EL6272C laser-diode driver en oscillator	EL7571C programmeerbare DC/DC omvormer
EL4444C video versterker met multiplexer-ingang	EL5293C tweevoudige stroomtegengekoppelde versterker, 300 MHz	EL6273C driekanaals laser-diode driver met oscillator en APC-versterker	ESDA25B1 TRANSIL-array voor data-lijn protectie
EL4450C breedbandige vier-quadrant analoge vermenigvuldiger	EL5392C drievoudige stroomtegengekoppelde versterker, 600 MHz	EL6275C vierkanaals laser-diode driver met oscillator	ESDA25DB3 TRANSIL-array voor data-lijn protectie
EL4451C versterker, A = 10 en A = regelbaar	EL5393C drievoudige stroomtegengekoppelde versterker, 300 MHz	EL6276C vierkanaals laser-diode driver met oscillator	ESDA6V1S3 TRANSIL-array voor data-lijn protectie
EL4452C versterker, A = 10 en A = regelbaar	EL5396C drievoudige versterker, vaste versterkingsfactor, 600 MHz	EL6277C driekanaals laser-diode driver met oscillator	ESDA6V1U1 TRANSIL-array voor data-lijn protectie
EL4453C video fader	EL5397C drievoudige versterker, vaste versterkingsfactor, 300 MHz	EL6279C vierkanaals laser-diode driver met oscillator	ESDA6V2S6 TRANSIL-array voor data-lijn protectie
EL4581C video sync-scheider	EL5410C viervoudige operationele versterker, rail to rail, 25 MHz	EL6290C laser-diode driver met waveform-generator	ESM1600B viervoudige comparator
EL4583C video sync-scheider	EL5420C viervoudige operationele versterker, rail to rail	EL7104C zeer snelle MOSFET driver	ESM1600BFP viervoudige comparator
EL4584C horizontale genlock, 4FSC	EL5421C viervoudige buffer, rail to rail, 12 MHz	EL7154C zeer snelle PIN MOSFET driver	ESM1602B viervoudige comparator
EL4585C horizontale genlock, 8FSC	EL5444C viervoudige versterker, enkelvoudige voeding, rail to rail, 100 MHz	EL7155C PIN MOSFET driver	ESM1602BFP viervoudige comparator
EL5144C versterker, enkelvoudige voeding, rail to rail, 100 MHz	EL5481C viervoudige comparator, 8 ns	EL7156C PIN MOSFET driver, 40 MHz	ESM2012DV NPN darlington vermogen module
EL5146C versterker, enkelvoudige voeding, rail to rail, 100 MHz		EL7182C zeer snelle CCD MOSFET driver, twee fasen	ESM2030DV NPN darlington vermogen module
EL5181C zeer snelle comparator, 8 ns		EL7202C zeer snelle tweevoudige MOSFET driver	ESM3030DV NPN darlington vermogen module
EL5185C zeer snelle comparator, 4 ns			ESM3045DV NPN darlington vermogen module
EL5191C stroomtegengekoppelde versterker, 1 GHz			

ESM4045DV
NPN darlington vermogen module

ESM6045AV
NPN darlington vermogen module

ESM6045DV
NPN darlington vermogen module

ETC5054D
serieel CODEC-filter

ETC5054D-X
serieel CODEC-filter

ETC5054FN
serieel CODEC-filter

ETC5054FN-X
serieel CODEC-filter

ETC5054N
serieel CODEC-filter

ETC5054N-X
serieel CODEC-filter

ETC5057D
serieel CODEC-filter

ETC5057D-X
serieel CODEC-filter

ETC5057FN
serieel CODEC-filter

ETC5057FN-X
serieel CODEC-filter

ETC5057N
serieel CODEC-filter

ETC5057N-X
serieel CODEC-filter

ETC5064D
serieel CODEC-filter met vermogen versterker

ETC5064D-X
serieel CODEC-filter met vermogen versterker

ETC5064FN
serieel CODEC-filter met vermogen versterker

ETC5064FN-X
serieel CODEC-filter met vermogen versterker

ETC5064N
serieel CODEC-filter met vermogen versterker

ETC5064N-X
serieel CODEC-filter met vermogen versterker

ETC5067D
serieel CODEC-filter met vermogen versterker

ETC5067D-X
serieel CODEC-filter met vermogen versterker

ETC5067FN
serieel CODEC-filter met vermogen versterker

ETC5067FN-X
serieel CODEC-filter met vermogen versterker

ETC5067N
serieel CODEC-filter met vermogen versterker

ETC5067N-X
serieel CODEC-filter met vermogen versterker

ETL9444
4 bit NMOS microcontroller

Letter F

FCD830
opto-koppelaar

FCD830A
opto-koppelaar

FCD830B
opto-koppelaar

FCD830C
opto-koppelaar

FCD830D
opto-koppelaar

FCD860
opto-koppelaar

FCD860C
opto-koppelaar

FCD860D
opto-koppelaar

FCD865
opto-koppelaar

FCD865C
opto-koppelaar

FCD865D
opto-koppelaar

FCH101
DTL poortschakeling

FCH111
DTL poortschakeling

FCH121
DTL poortschakeling

FCH131
DTL poortschakeling

FCH141
DTL poortschakeling

FCH151
DTL poortschakeling

FCH161
DTL poortschakeling

FCH171
DTL poortschakeling

FCH181
DTL poortschakeling

FCH191
DTL poortschakeling

FCH201
DTL poortschakeling

FCH211
DTL poortschakeling

FCH221
DTL poortschakeling

FCH231
DTL poortschakeling

FCH281
DTL digitale rekenkundige schakeling

FCH291
DTL digitale rekenkundige schakeling

FCH301
4 bit DTL decoder

FCH311
DTL poortschakeling

FCH321
DTL poortschakeling

FCJ101
DTL flip-flop(s)

FCJ111
DTL flip-flop(s)

FCJ121
DTL flip-flop(s)

FCJ131
DTL flip-flop(s)

FCJ141
DTL tienteller

FCJ191
DTL flip-flop(s)

FCJ201
DTL flip-flop(s)

FCJ211
DTL flip-flop(s)

FCJ221
DTL flip-flop(s)

FCL101
DTL poortschakeling

FCY101
DTL poortschakeling

FIC5401
IC voor gas-sensor

FIC5603
IC voor gas-sensor

FMS2701QSC
monitor voor voeding en temperatuur

FND317
zeven-segment display

FND350
zeven-segment display

FND357
zeven-segment display

FND360
zeven-segment display

FND367
zeven-segment display

Letter G

G8860(X)
DTMF decoder

G8865
DTMF filter

GS100T300-15
70 W / 100 W DC/DC omvormer

GS100T300-24
70 W / 100 W DC/DC omvormer

GS100T300-48
70 W / 100 W DC/DC omvormer

GS100T300-5
70 W - 100 W DC-DC omvormer

GS120T48-3.3
120 W / 175 W DC/DC omvormer

GS15T48-5
15 W DC/DC omvormer

GS15T5-5.2
15 W DC/DC omvormer voor ECL

GS175T48-12
120 W - 175 W DC/DC omvormer

GS175T48-15
120 W - 175 W DC/DC omvormer

GS175T48-5
120 W / 175 W DC/DC omvormer

GS1T5-5
1 W DC/DC omvormer

GS1T5-5D15
1 W drievoudige DC/DC omvormer

GS1T70-D540/1
ISDN DC/DC omvormer

GS1T70-D540/2
ISDN DC/DC omvormer

GS1T70-D540/3
ISDN DC/DC omvormer

GS1T70-D540F
ISDN DC/DC omvormer

GS20AC-12
20 W AC/DC adapter

GS24T48-12
24 W DC/DC omvormer

GS25T24-5
25 W - 30 W DC/DC omvormer

GS25T48-5
25 W - 30 W DC/DC omvormer

GS2T12-9
2 W DC-DC omvormer

GS2T12-9A
2 W DC-DC omvormer

GS2T12-9S
2 W DC/DC omvormer

GS2T48-D12
2 W tweevoudige DC/DC omvormer

GS2T5-12
DC/DC omvormer

GS2T5-5
2 W DC/DC omvormer

GS2T5-5D15
2 W drievoudige DC/DC omvormer

GS2T5-9
2 W DC/DC omvormer

GS2T5-D12
tweevoudige DC/DC omvormer

GS2T5-D5
2 W tweevoudige DC/DC omvormer

GS2TX-9
2 W DC/DC-omvormer

GS300T48-5
300 W DC/DC omvormer

GS30T24-12
25 W - 30 W DC/DC omvormer

GS30T24-15
25 W - 30 W DC/DC omvormer

GS30T48-12
25 W - 30 W DC/DC omvormer

GS30T48-15
25 W - 30 W DC/DC omvormer

GS30T48-5
30 W DC/DC omvormer

GS3T5-3.3
3 W DC/DC omvormer

GS3T5-5.2
3 W DC/DC omvormer voor ECL-sturing

GS4T48-5
4 W DC-DC omvormer

GS5AC-40
ISDN AC/DC omvormer

GS5T24-5D15
5 W drievoudige DC/DC omvormer

GS5T48-12
5 W DC/DC omvormer

GS5T48-15
5 W DC/DC omvormer

GS5T48-5
5 W DC/DC omvormer

GS70T300-3.5
70 W - 100 W DC/DC omvormer

GSAC-8.507BC
batterijlader

GS-C200
besturing voor stappenmotor

GS-C200S
besturing voor stappenmotor

GSCC-7.007BS
batterij spaarder

GSCC-8.507BC
batterijlader

GS-D200
2 A / 2,5 A bipolaire besturing voor stappenmotor

GS-D200M
2,5 A besturing voor stappenmotor

GS-D200S
2 A / 2,5 A bipolaire besturing voor stappenmotor

GS-D250M
2,5 A stappenmotor besturing

GS-D350M
5,6 A stappenmotor controller

GS-D500A
100 V / 5 A controller voor stappenmotoren

GS-DC200
besturing voor stappenmotor

GS-DC200S
besturing voor stappenmotor

GS-DC200SS
besturing voor stappenmotor

GS-F8MB-SIMM
8 MB SIMM flash-module

GS-P15-A
bidirectionele data-lijn bescherming

GS-P8-A
bidirectionele data-lijn bescherming

GS-P8-E
bidirectionele data-lijn bescherming

GS-R1005
50 W step-down geschakelde stabilisator

GS-R1012
120 W step-down geschakelde stabilisator

GS-R218
27 W schakelende voeding

GS-R280BE
batterij vervanger

GS-R400V
20 W - 140 W step-down geschakelde stabilisator

GS-R400V/2
step-down geschakelde stabilisator

GS-R400VB
20 W - 140 W step-down geschakelde stabilisator

GS-R405
20 W - 140 W step-down geschakelde stabilisator

GS-R405/2
step-down geschakelde stabilisator

GS-R405S
20 W - 140 W step-down geschakelde stabilisator

GS-R412
20 W - 140 W step-down geschakelde stabilisator

GS-R412/2
step-down geschakelde stabilisator

GS-R415
20 W - 140 W step-down geschakelde stabilisator

GS-R415/2
step-down geschakelde stabilisator

GS-R424
20 W - 140 W step-down geschakelde stabilisator

GS-R424/2
step-down geschakelde stabilisator

GS-R4840N
44 W negatieve geschakelde stabilisator

GS-R4840NV
36 W negatieve geschakelde stabilisator

GS-R51212
20 W drievoudige step-down geschakelde stabilisator

GS-R51212S
31 W drievoudige step-down geschakelde voeding

GS-R51515S
31 W drievoudige step-down geschakelde voeding

GT656
IC voor home-bus systemen

GTLP16612A
18 bit TTL/GTLP bus transceiver, CMOS

GTLP6C816
GTLP/TTL 1:6 clock driver

Letter H

H10
gas-sensor

H11A1
opto-koppelaar

H11A2
opto-koppelaar

H11A3
opto-koppelaar

H11A4
opto-koppelaar

H11A5
opto-koppelaar

H11AA1
opto-koppelaar

H11AV1
opto-koppelaar

H11AV2
opto-koppelaar

H11AV3
opto-koppelaar

H11B1
opto-koppelaar

H11B2
opto-koppelaar

H11B255
opto-koppelaar

H11B3
opto-koppelaar

H11C1
opto-koppelaar

H11C2
opto-koppelaar

H11C3
opto-koppelaar

H11C4
opto-koppelaar

H11C5
opto-koppelaar

H11C6
opto-koppelaar

H11D1
opto-koppelaar

H11D2
opto-koppelaar

H11D3
opto-koppelaar

H11D4
opto-koppelaar

H11F1
opto-koppelaar

H11F2
opto-koppelaar

H11F3
opto-koppelaar

H11J1
opto-koppelaar

H11J2
opto-koppelaar

H11J3
opto-koppelaar

H11J4
opto-koppelaar

H11J5
opto-koppelaar

H11L1
opto-koppelaar

H11L2
opto-koppelaar

H24A1
opto-koppelaar

H24A2
opto-koppelaar

HA12044
compander/ruisonderdrukker

HA1608
spannings-referentie

HA23080
OTA

HA-2400
40 MHz vierkanaals programmeerbare versterker

HA-2404
40 MHz vierkanaals programmeerbare versterker

HA-2405
40 MHz vierkanaals programmeerbare versterker

HA-2406
30 MHz vierkanaals digitaal programmeerbare versterker

HA2420
sample & hold

HA-2425
3,2 μ s S&H versterker

HA-2444
50 MHz vierkanaals selecteerbare video-versterker

HA-2444/883
vierkanaals selecteerbare video-versterker

HA-2500/883
nauwkeurige operationele versterker, hoge slew-rate

HA-2502/883
nauwkeurige operationele versterker, hoge slew-rate

HA-2505
12 MHz operationele versterker met hoge ingangsimpedantie

HA-2510/883
operationele versterker, hoge slew-rate

HA-2512/883
operationele versterker, hoge slew-rate

HA-2515
12 MHz operationele versterker, hoge ingangsimpedantie

HA-2520
20 MHz operationele versterker, hoge ingangsimpedantie, hoge slew-rate, ongecompenseerd

HA-2520/883
operationele versterker, hoge ingangsimpedantie, hoge slew-rate, ongecompenseerd

HA-2522
20 MHz operationele versterker, hoge ingangsimpedantie, hoge slew-rate, ongecompenseerd

HA-2522/883
operationele versterker, hoge ingangsimpedantie, hoge slew-rate, ongecompenseerd

HA-2525
20 MHz operationele versterker, hoge ingangsimpedantie, hoge slew-rate, ongecompenseerd

HA-2529/883
operationele versterker, hoge uitgangsstroom, hoge slew-rate, ongecompenseerd

HA-2539
600 MHz operationele versterker, zeer hoge slew-rate

HA-2540
400 MHz operationele versterker, snelle insteltijd

HA-2541
40 MHz operationele versterker, snelle insteltijd

HA-2541/883
breedband operationele versterker, zeer hoge slew-rate

HA2542
operationele versterker

HA-2542
70 MHz operationele versterker, zeer hoge slew-rate

(wordt vervolgd)

7/1

Inhoud Actueel IC-handboek aanvulling 121 t.e.m. 129

Accu schakelingen

7/243	ISL9204	subminiatur lader voor lithium-ion cellen	(aanv. 124)
7/260	MAX1555	acculader uit USB voor lithium-ion cellen	(aanv. 127)
7/273	MCP73826	controller voor het laden van lithium-ion cellen	(aanv. 128)
7/284	MAX1665S	beveiligingsschakeling voor lithium-ion accupack's	(aanv. 129)

Audio, diversen

7/218	AD5228	drukknop bestuurde potentiometer met 32 standen	(aanv. 122)
7/227	SP0102BE3	zeer gevoelige subminiatur microfoon	(aanv. 123)
7/244	NJM2761	analoge audiobegrenzer voor luidsprekerbescherming	(aanv. 125)
7/247	NJM2194	analoge "SRS Dialog Clarity" processor	(aanv. 125)
7/249	NJM2190	analoge "SRS HEADPHONE" processor	(aanv. 125)
7/253	NJM2133	stereo audio DAC voor 16 bit PWM-audiostreams	(aanv. 125)
7/263	MAX5456	stereo potentiometer met drukknop bediening	(aanv. 127)
7/269	PT2353H	filter voor subwoofer kanaal	(aanv. 128)
7/270	PT2387	sound processor voor kunstmatig 3D-effect	(aanv. 128)
7/271	PT2399	digitale echo en nagalm processor	(aanv. 128)
7/277	THAT2252	logaritmische omzetter voor lineaire dB-metingen	(aanv. 129)
7/278	THAT4315S	"Audio Engine" met VCA en RMS-detector	(aanv. 129)

Audio, eindversterkers

7/214	ZXCD1010	driver voor klasse-D audio BTL eindversterker	(aanv. 121)
7/233	LM4910	capaciteitsloze hoofdtelefoon versterker	(aanv. 123)
7/246	NJU8754	1,2 W klasse D versterker met analoge ingang	(aanv. 125)

Audio, voorversterkers

7/232	LMV1032-25	microminiatur versterker voor elektret microfoons	(aanv. 123)
7/252	NJM2110	versterker voor twee elektret microfoons	(aanv. 125)
7/255	NJM2153	ruisonderdrukker voor audiobronnen	(aanv. 126)
7/262	MAX4063	voorversterker voor differentiële microfoons	(aanv. 127)
7/275	THAT1512	audio voorversterker met extreem lage ruis	(aanv. 128)
7/276	THAT1250	verschilversterker voor audiotoeepassingen	(aanv. 129)

Vego's bestelservice voor oude hoofdstukken

Alle hoofdstukken uit dit naslagwerk kunt u afzonderlijk bestellen.
Ga hiervoor naar onze internetsite www.hobbyelektronica.nu en klik de menu-optie "Bestellen hoofdstukken" aan.

Beveiliging

7/248 NJM2146B stroom en spanning monitoring schakeling (aanv. 125)

Datacommunicatie

7/220 iC-DL zeskanaals linedriver met 200 mA bij 24 V uitgangen (aanv. 122)
 7/237 ISL24010 achttvoudige level-shifter tot +40 V en -20 V (aanv. 124)

Detectorschakelingen

7/266 XC6108CxxA/B spanningsdetector met separate sense pen (aanv. 128)

Diversen

7/215 ZXSC440 lader voor flitselco's (aanv. 121)
 7/240 X90100 elektronisch programmeerbare condensator (aanv. 124)
 7/259 LTC6943 dubbele omschakelaar voor geschakelde condensatoren (aanv. 127)
 7/279 DS3906 drievoudig digitaal instelbare weerstanden met geheugen (aanv. 129)

Digitale schakelingen

7/250 NJM2103 systeem reset schakeling (aanv. 125)
 7/280 TS803R microprocessor reset schakeling (aanv. 129)

Domotica

7/209 ELM341 low power thermostaat met 3 V voeding (aanv. 121)
 7/258 LT3469 driver voor piëzo-ceramische luidsprekers (aanv. 127)

Filters

7/264 MAX280 vijfde orde "All Pole" laagdoorlaat filter (aanv. 127)

Inbraakbeveiliging

7/210 M3710 sirenebesturing met knipperlicht (aanv. 121)

Hoogfrequent schakelingen

7/226 MAV-UHF-479 audio/video modulator/zender op UHF kanaal 22 (aanv. 123)
 7/257 MAX7044 kristalgestuurde 300 MHz zender voor digitale gegevens (aanv. 126)
 7/261 MAX3538 spanningsgestuurde versterker voor VHF en UHF (aanv. 127)

Motorbesturing

7/251 NJU7345 driver voor 5 V motoren met vastloop beveiliging (aanv. 125)

Optische schakelingen, indicatoren

7/225 LM2796 pulsbreedte gemoduleerde driver voor zeven witte LED's (aanv. 122)
 7/228 CL2 constante 20 mA stroombron voor LED's (aanv. 123)
 7/274 SC635 "flitslicht" driver met ladingspomp voor LED's (aanv. 128)
 7/282 CL6 100 mA stroombron voor de voeding van LED's (aanv. 129)
 7/285 HV809 spanningsgenerator voor EL panelen (aanv. 129)

Optische schakelingen, zenders/ontvangers

7/219 iC-LQ subminiatur ontvanger van gemoduleerd licht (aanv. 122)
 7/222 iC-WJB driver voor batterijgevoede miniatur laserdioden (aanv. 122)
 7/254 NJL5902R subminiatur fotoreflector (aanv. 126)

Oscillatoren

7/212 VC-800 subminiatur VCO, bereik van 8,192 MHz tot 51,840 MHz (aanv. 121)
 7/268 XC2311 afstembare kristaloscillator (aanv. 128)

Schakelaars

7/217	ADG849	subminiatur elektronische omschakelaar, 0,5 Ω , 400 mA	(aanv. 122)
7/272	MC14490	zesvoudige debouncer voor mechanische schakelaars	(aanv. 128)

Sensoren, fysische grootheden

7/207	1865	krachtsensoren van 0 psi tot 30 psi	(aanv. 121)
7/211	ZNI1000	subminiatur temperatuursensor van -55 °C tot +150 °C	(aanv. 121)
7/213	AD22151	magnetische veldsensor met lineaire uitgang	(aanv. 121)
7/230	MLX90601B	infrarode contactloze thermometer van -20 °C tot +120 °C	(aanv. 123)
7/238	EL7900	sensor voor het meten van het omgevingslicht	(aanv. 124)

Sensoren, spanning en stroom

7/216	HTS 10-P	geïsoleerde stroomsensor tot 10 A volgens Hall-principe	(aanv. 121)
-------	----------	---	-------------

Vermogenselektronica

7/221	iC-JE	energiezuinige en intelligente relaisdriver	(aanv. 122)
7/223	TA8028S	pulsbreedte modulator voor 24 V gelijkstroom belastingen	(aanv. 122)
7/224	MP6901	drievoudige complementaire darlington, 80 V bij 4 A	(aanv. 122)
7/256	LM5100	High en Low Side driver voor MOSFET's in brugschakeling	(aanv. 126)
7/281	HV9901	universele relaisdriver tot 450 V	(aanv. 129)

Versterkers, op-amp's en buffers

7/231	LM675	power op-amp tot 3 A bij 60 V	(aanv. 123)
7/234	AD834	500 MHz vier-quadrant analoge vermenigvuldiger	(aanv. 124)
7/235	AD526	zeer nauwkeurige software programmeerbare versterker	(aanv. 124)

Video schakelingen

7/208	AD8074	500 MHz drievoudige videobuffer met disable	(aanv. 121)
7/245	NJM2505	storingsonderdrukker voor lange videokabels	(aanv. 125)
7/265	NJM2595	video verdeelversterker, 5-IN naar 3-UIT	(aanv. 127)
7/283	LT6557	breedbandige video distributie versterker	(aanv. 129)

Voedingselektronica

7/229	PTN78060W	submin. 3 A regulator met instelbare uitgangsspanning	(aanv. 123)
7/236	X60008A-50	zeer nauwkeurige 5,000 V spanningsreferentie	(aanv. 124)
7/239	ISL88041	alarmmonitor voor vier voedingsspanningen	(aanv. 124)
7/241	ISL6141	stroombegrenzer voor 2,7 V, 3,3 V en 5,0 V voedingen	(aanv. 124)
7/242	ISL9007	miniatur spanningsstabilisator, 3,3 V @ 400 mA	(aanv. 124)
7/267	XC31P	temperatuursafhankelijke spanningsbron	(aanv. 128)

7/276

THAT1250, verschilversterker voor audiotoepassingen

Kennismaking

De THAT1250 van THAT Corporation is een zeer nauwkeurige verschilversterker, waarvan het ontwerp is geoptimaliseerd voor het ontvangen en verwerken van kwalitatief hoogwaardige symmetrische audiosignalen. De totale harmonische vervorming bedraagt slechts 0,0006%! De schakeling heeft een spanningsversterking van exact 0 dB, zodat u de THAT1250 moet zien als buffer, impedantie-aanpasser en omzetter van symmetrisch signaal naar asymmetrisch signaal voor verdere verwerking.

Technische gegevens

- fabrikant
THAT Corporation
- behuizing
DIL-8, SO-8
- aansluitgegevens
figuur 7/276-1
- intern blokschema
figuur 7/276-2
- voedingsspanning
 ± 3 V min. ± 18 V max.
- voedingsstroom
 $\pm 2,0$ mA typisch, $\pm 2,8$ mA max.
- ingangsspanning
21,5 dB typisch
- ingangsimpedantie
18 k Ω typisch
- CMRR

50 dB typisch

- totale harmonische vervorming
0,0006 % typisch (1 kHz, 10 V, 2 k Ω)

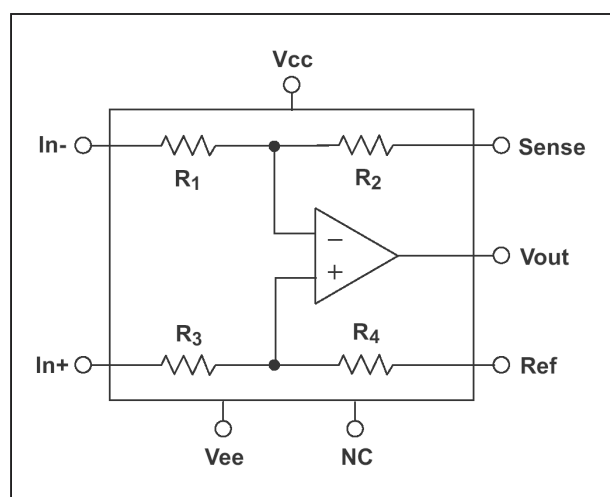
Pin Name	DIP Pin	SO Pin
Ref	1	1
In-	2	2
In+	3	3
Vee	4	4
Sense	5	5
Vout	6	6
Vcc	7	7
NC	8	8

Figuur 7/276-1: Aansluitgegevens van de THAT1250.

- klein signaal bandbreedte
8,6 MHz typisch (2 k Ω , 10 pF)
- uitgangsruijs
-103 dB typisch (22 Hz - 22 kHz)
- slew rate
12 V/ μ s typisch (2 k Ω , 300 pF)
- fout op de versterking
 $\pm 0,1$ dB typisch
- uitgangsspanning
voedingsspanning ± 2 V typisch
- uitgangsoffset
 ± 7 mV max.
- kortsluitstroom

THAT1250, verschilversterker voor audiotoeepassingen

- ± 25 mA typisch
- resistieve belasting
2 k Ω min.
- capacatieve belasting
300 pF max.

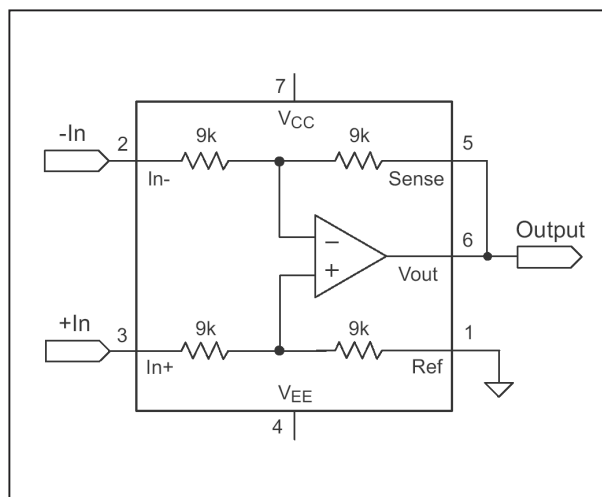


Figuur 7/276-2: Intern blokschema van de THAT1250.

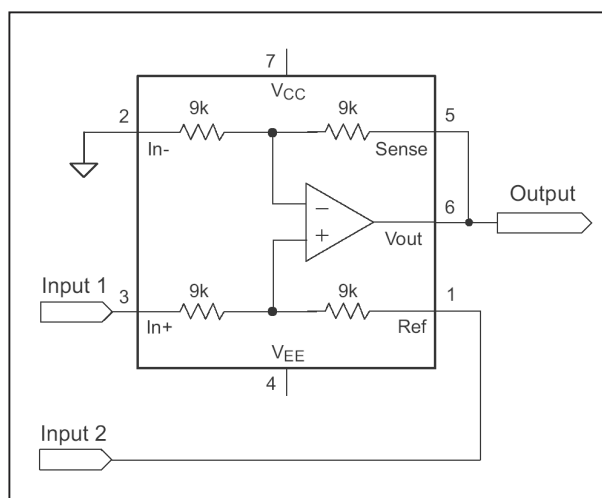
Voorbeeldschakelingen

In figuur 7/276-3 is de standaard toepassing van de THAT1250 getekend. Een symmetrisch audiosignaal wordt door het IC omgezet in een asymmetrische uitgangsspanning met de massa als referentie.

In figuur 7/276-4 wordt het IC gebruikt als zeer nauwkeurige menger, die de som berekent van twee ingangsspanningen Input1 en Input2.



Figuur 7/276-3: De THAT1250 wordt gebruikt voor het omzetten van een symmetrisch lijnsignaal in een asymmetrisch uitgangssignaal.



Figuur 7/276-4: De THAT1250 in gebruik als mengversterker.

7/277

THAT2252, logaritmische omzetter voor lineaire dB-metingen

Kennismaking

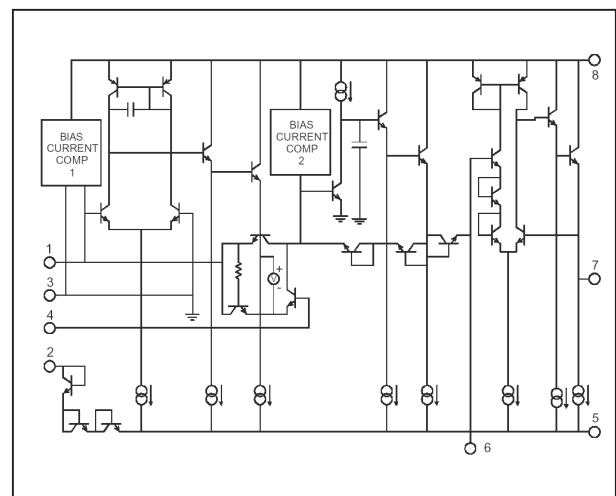
De THAT2252 is een schakeling die de grootte van de effectieve wisselstroom die wordt ingevoerd via pen 1 omzet in een gelijkspanning op de uitgang die recht evenredig is met het logaritme van de ingangsstroom. De schakeling is speciaal ontworpen voor het meten van de effectieve waarde van audiosignalen via een dB-meter met een lineaire schaal. Het dynamisch bereik van de schakeling is groter dan 80 dB bij een bandbreedte tot 20 kHz. De crest factor ongevoeligheid is groot: bij een factor 8 is de fout niet groter dan 1 dB, vergeleken met de uitgangswaarde bij een zuivere sinusstroom in de ingang. De schakeling is ondergebracht in een ruimtebesparende SIL-8 behuizing.

Technische gegevens

- fabrikant
THAT Corporation
- behuizing
SIL-8
- aansluitgegevens
figuur 7/277-1
- intern blokschema
figuur 7/277-2
- vereenvoudigd werkingsprincipe
figuur 7/277-3
- voedingsspanning
 ± 4 V min., ± 15 V max.

Pin Name	SIP Pin
Input	1
I BIAS	2
Gnd	3
Sym	4
V-	5
Cap	6
Output	7
V+	8

Figuur 7/277-1: Aansluitgegevens van de THAT2252.



Figuur 7/277-2: Intern blokschema van de THAT2252.

The circuit diagram illustrates a 3-stage CMOS differential amplifier. The input stage (Q1, Q2) is a differential pair with a 20kΩ resistor at the tail. Its output is connected to a second differential pair (Q3, Q4) which is loaded with current mirrors (IC1, IC2). The output of the second stage is connected to a third differential pair (Q5, Q6) which is also loaded with current mirrors (IC3, IC4). The output of the third stage is connected to a current source V3 and a load resistor V6. The output voltage Vout is taken from the node between V3 and V6. The circuit is powered by a 1.8V supply (VDD) and a 0V ground (VSS). The input signal Vin is applied to the gates of Q1 and Q2. The output signal Vout is taken from the node between V3 and V6. The circuit is simulated using a 100ns time scale.

- voedingsstroom
 $\pm 1,0$ mA typisch, $\pm 3,0$ mA max.
- biasstroom ingang
 5 nA typisch, 8 nA max.
- ingangsstroom
 1 mA max.
- offsetspanning ingang
 8 mV typisch, 16 mV max.
- schaalfactor
 $6,1$ mV/dB typisch
- lineariteit
 $1 \mu\text{A} < I_{\text{in}} < 100 \mu\text{A}$: $0,1$ dB
 $100 \text{ nA} < I_{\text{in}} < 361 \mu\text{A}$: $0,5$ dB
 $31,6 \text{ nA} < I_{\text{in}} < 1 \text{ mA}$: $1,0$ dB
- crest fout
 $3,5$: $0,2$ dB
 $5,0$: $0,5$ dB
 8 : $1,0$ dB
- maximale frequentie voor 1 dB fout
 $I_{\text{in}} > 100 \mu\text{A}$: 80 kHz
 $I_{\text{in}} > 10 \mu\text{A}$: 74 kHz
 $I_{\text{in}} > 1 \mu\text{A}$: 30 kHz
 $I_{\text{in}} > 100 \text{ nA}$: 4 kHz
- temperatuurscoëfficiënt
 $0,33$ $\%/^{\circ}\text{C}$

The circuit diagram shows a 2252 op-amp configured as a voltage follower. The input signal 'IN' is coupled to the inverting input (pin 2) through a capacitor 'Cin' (20uF). The non-inverting input (pin 4) is connected to 'V-' through a 20 ohm resistor. The output (pin 7) is connected to the inverting input (pin 2) through a feedback network consisting of a resistor 'Rb' (750k) and a capacitor '10uF' in parallel. The feedback network is also connected to 'V+' through a 1k resistor. The op-amp's internal compensation capacitor 'CAP' (10uF) is connected between pins 6 and 7. The op-amp is powered by 'V+' and 'V-' rails. The output 'OUT' is taken from pin 7. A 22M resistor 'Rf' is connected between the output (pin 7) and the non-inverting input (pin 4). The op-amp is labeled 'SYM 2252' with pins 1, 2, 3, 4, 5, 6, 7, 8. The input is labeled 'IN' and the output is labeled 'OUT'.

Figuur 7/277-4: De door de fabrikant voorgeschreven standaard schakeling rond de THAT2252.

In figuur 7/277-4 is de door de fabrikant voorgeschreven standaard schakeling

7/278

THAT4315S, “Audio Engine” met VCA en RMS-detector

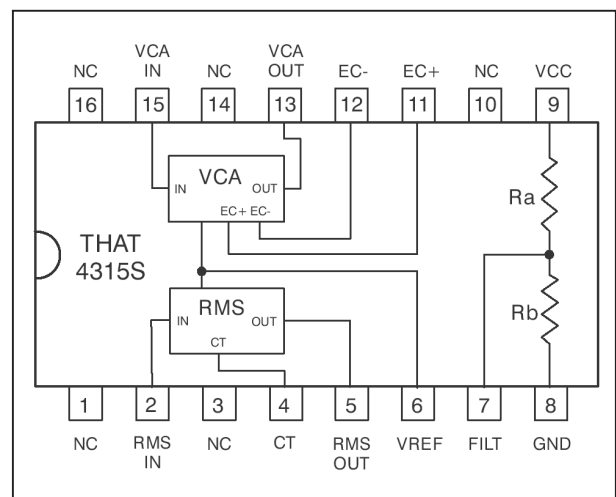
Kennismaking

De THAT4315S van THAT Corporation bevat een VCA, een spanningsgestuurde versterker, en een effectieve waarde gelijkrichter. Met deze beide blokken kan een groot aantal audioschakelingen worden ontworpen, zoals ruisonderdrukkers, compressors, limiters, AGC's, expanders en geluidsvervormende schakelingen. De technologie die bij het ontwerpen van de THAT4315S werd gebruikt, grijpt terug op de lange ervaring van de fabrikant met het ontwerpen van DBX-ruisonderdrukkers. Beide deelschakelingen zijn lasergetrimd voor minimale vervorming en vereisen een minimaal aantal externe componenten.

Technische gegevens

- fabrikant
THAT Corporation
- behuizing
QSOP-16
- aansluitgegevens
figuur 7/278-1
- intern blokschema
figuur 7/278-1
- voedingsspanning
+4 V min., +16 V max.
- voedingsstroom
+1,6 mA typisch, +3,5 mA max.
- referentiespanning
2,4 V min., 2,6 V max.

- interne weerstandsdeler R_a/R_b
20 k Ω typisch



Figuur 7/278-1: Aansluitgegevens en blokschema van de THAT4315S.

Specificaties VCA

- ingangsstroom
500 μ A max.
- versterkingsregeling
-50 dB tot +50 dB
- versterking bij 0 V stuurspanning
-1,0 dB min., +1,0 dB max.
- transferkarakteristiek
6,0 mV/dB
- temperatuurscoëfficiënt
+0,33 %/°C
- uitgangsoffset
0 dB versterking:
1 mV typisch, 15 mV max.

THAT4315S, “Audio Engine” met VCA en RMS-detector

- +15 dB versterking:
3 mV typisch, 30 mV max.
- +30 dB versterking:
10 mV typisch, 50 mV max.
- uitgangsruijs
-98 dB typisch
- totale harmonische vervorming
0,07 % typisch, 0,15 % max.

Specificaties RMS-detector

- uitgangsspanning bij $i_{in}=7,5 \mu A$ RMS
-9 mV min., +9 mV max.
- afwijking in de omzetting
1 dB typisch, 3 dB max.
- resistieve belasting
2 k Ω min.
- capacatieve belasting
150 pF max.

Werking VCA

De VCA is stroomgestuurd. Via een externe weerstand wordt deingangsspanning omgezet in een stroom. De IN pen staat op een gelijkspanning die ongeveer gelijk is aan V_{REF} . Het wordt aanbevolen deze pen via een scheidingscondensator met de ingangsspanning te verbinden. De uitgang van de VCA is ook een stroom, geïnverteerd ten opzichte van de ingangsstroom. Deze stroom moet via een op-amp worden omgezet in een uitgangsspanning. De versterking van de VCA wordt geregeld door de stuurspanning tussen de pennen EC+ en EC-. De versterking (in dB) is recht evenredig met het spanningsverschil tussen deze ingangen met een transferfunctie van 6,0 mV/dB. De beide spanningen mogen niet meer dan 0,5 V groter of kleiner zijn dan de referentiespanning.

Werking RMS detector

De RMS detector richt de ingangsstroom gelijk en zet de gelijkgerichte stroom om

in een logaritmische spanning. De uitgangsspanning is dus recht evenredig met de dB-waarde van de effectieve waarde van de ingangsstroom. Ook bij deze schakeling staat de ingangspen op een gelijkspanning die ongeveer gelijk is aan de interne referentiespanning. De aangeboden spanning wordt via een externe weerstand omgezet in de noodzakelijke stroom. De RMS detector is in staat ingangssignalen tot ongeveer 10 mV min. nauwkeurig om te zetten.

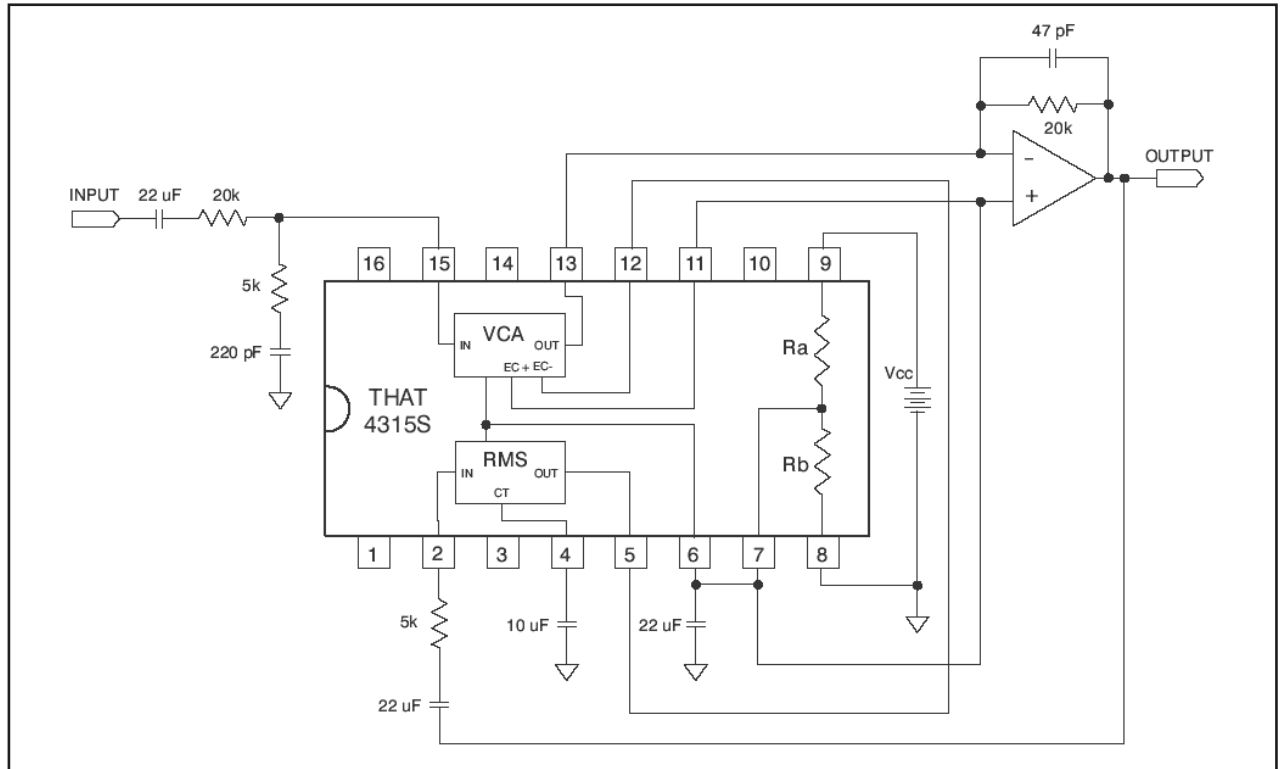
Voorbeeldschakelingen

In figuur 7/278-2 wordt de THAT4315S toegepast in een signaalcompressor met een compressieverhouding van 2:1. De statische versterking bedraagt 0 dB, de responstijd -125 dB/s.

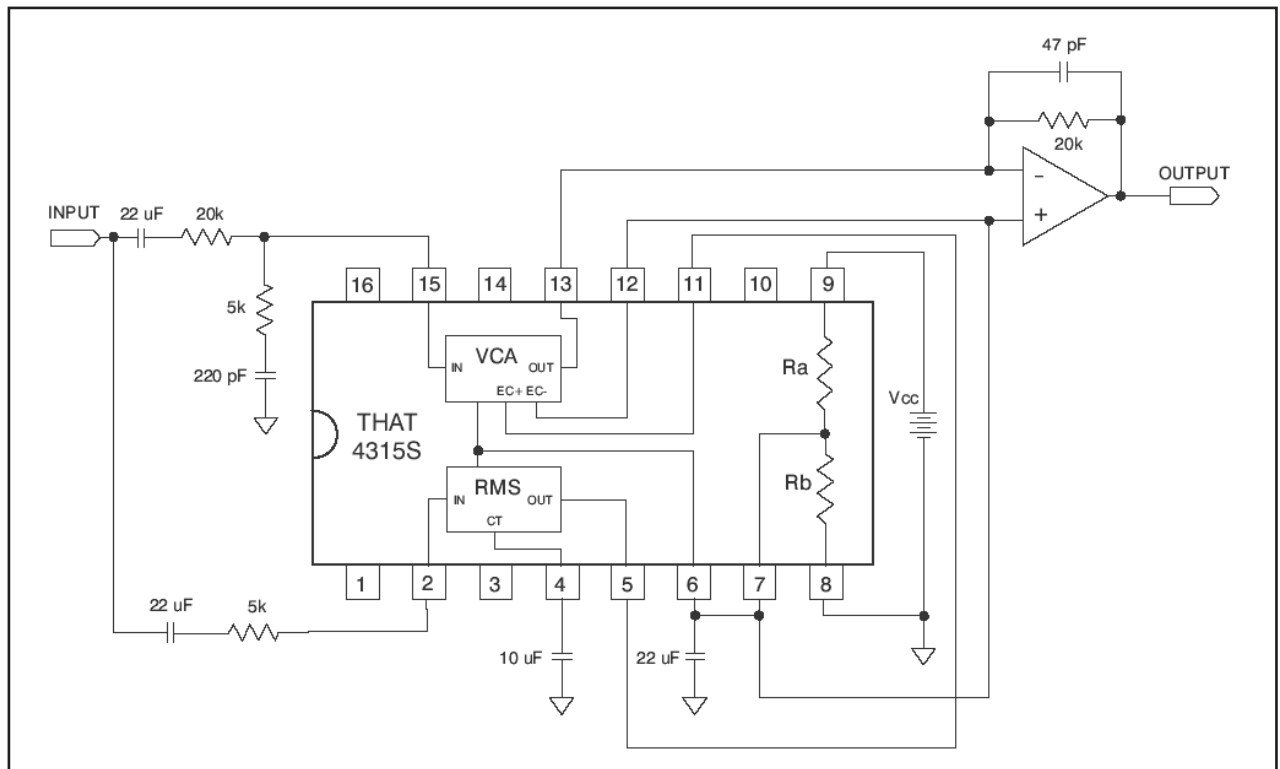
In figuur 7/278-3 wordt een expander voorgesteld met een expansieverhouding van 1:2. Deze schakeling is het complementaire circuit voor de compressor van de vorige figuur. In de tabel van figuur 7/278-4 worden de (gemeten) karakteristieken van de gecombineerde schakelingen gegeven.

In de figuren 7/278-5 en -6 is een compandersysteem voorgesteld dat is ontwikkeld voor het draadloos via een FM-gemoduleerde zender versturen van een microfoonsignaal. De compressor van figuur 7/278-5 comprimeert niet alleen met een factor 2, maar is voorzien van een pre-emphasis filter dat het hoogfrequent versterkt. Op deze manier helpt het systeem bij het onderdrukken van ruis. Bij 1 kHz heeft de schakeling een versterking van 6,3. Deze grootte loopt op tot 63,7 bij 20 kHz. Natuurlijk is de compressor van figuur 7/278-6 voorzien van een de-emphasis, die de bandbreedte van het compander-systeem weer recht trekt.

THAT4315S, "Audio Engine" met VCA en RMS-detector



Figuur 7/278-2: De THAT4315S toegepast als compressor.

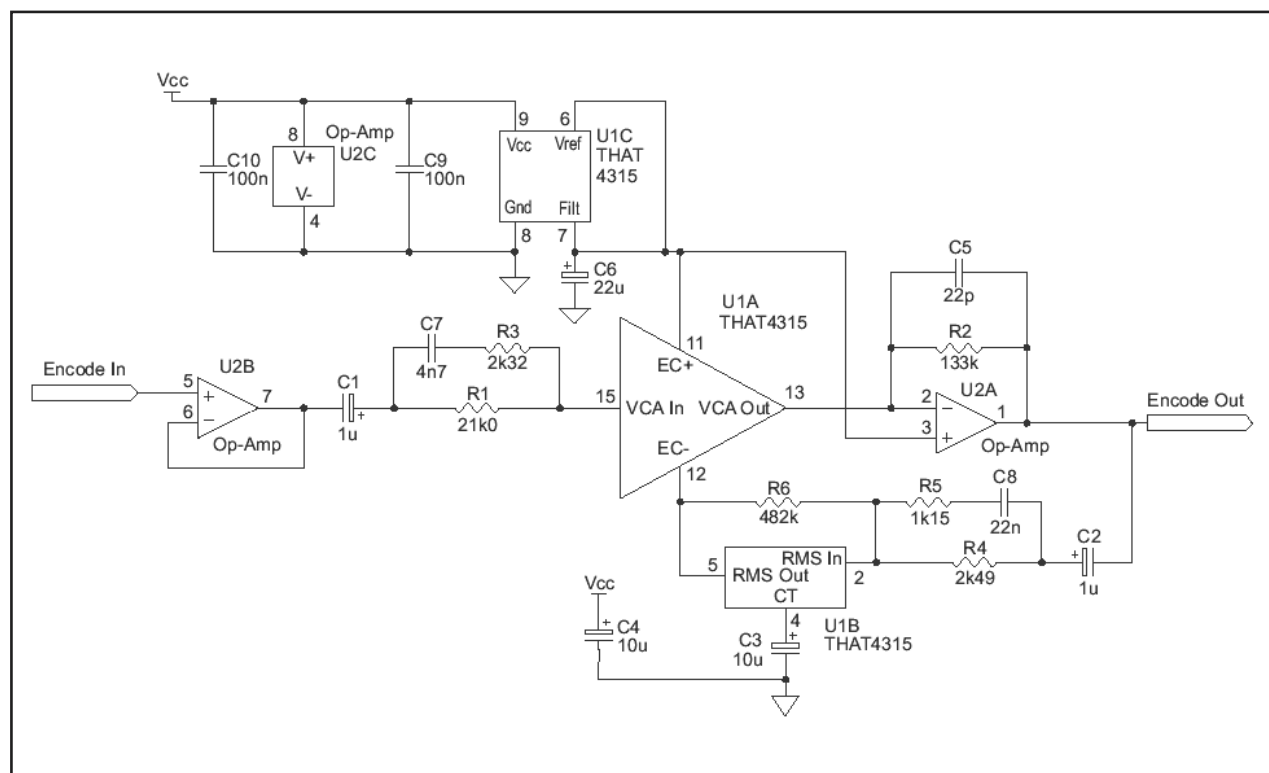


Figuur 7/278-3: De THAT4315S toegepast als expander.

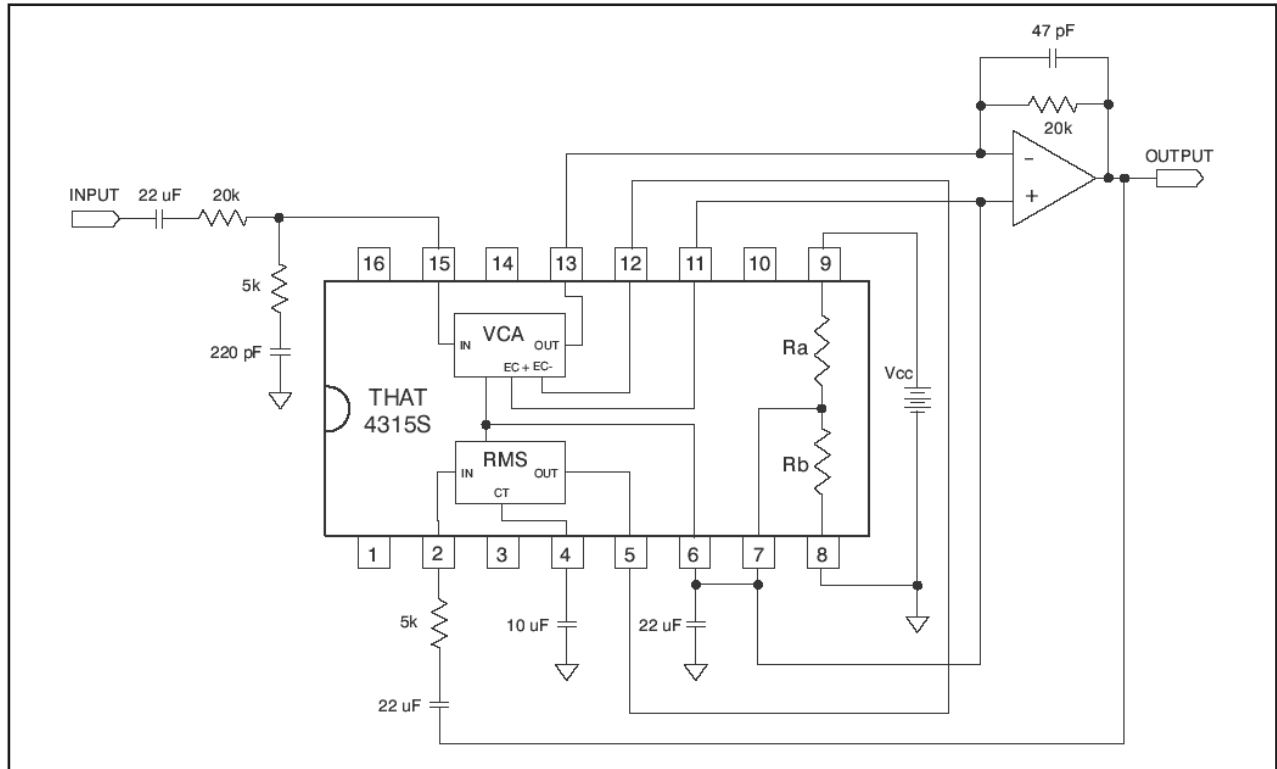
THAT4315S, "Audio Engine" met VCA en RMS-detector

Encoder In	Encode VCA Gain	Encoder Out/Decoder In	I _{RMS} In	Decoder VCA Gain	Decoder Out
(dBV)	(In dB)	(dBV)	(mA)	(In dB)	(dBV)
-0	-14	-14	0.0773	14	-0
-10	-9	-19	0.0435	9	-10
-20	-4	-24	0.0244	4	-20
-30	1	-29	0.0137	-1	-30
-40	6	-34	0.0077	-6	-40
-50	11	-39	0.0043	-11	-50
-60	16	-44	0.0024	-16	-60
-70	21	-49	0.0014	-21	-70
-80	26	-54	0.0008	-26	-80
-90	31	-59	0.0004	-31	-90
-100	36	-64	0.0002	-36	-100
-110	41	-69	0.0001	-41	-110

Figuur 7/278-4: De gemeten specificaties van de combinatie compressor/expander.



Figuur 7/278-5: Een compressor met ingebouwd pre-emphasis filter voor draadloze microfoons.

THAT4315S, “Audio Engine” met VCA en RMS-detector

Figuur 7/278-6: De expander met de-emphasis filter die bij het schema van figuur 7/278-5 hoort.

THAT4315S, “Audio Engine” met VCA en RMS-detector

7/279

DS3906, drievoudige digitaal instelbare weerstanden met geheugen

Kennismaking

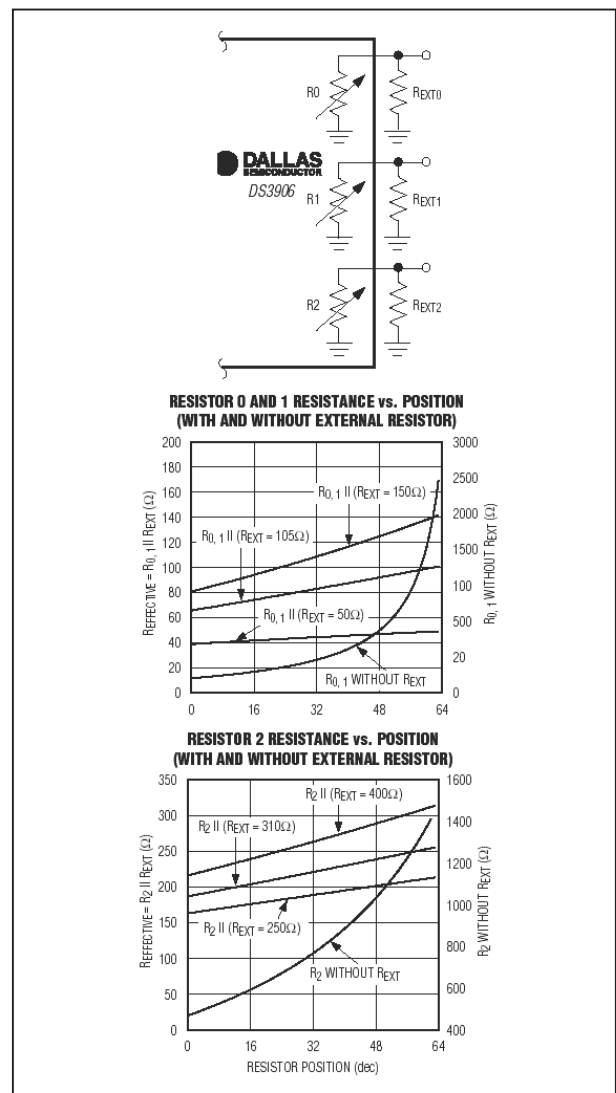
De DS3906 van Dallas Semiconductor bevat drie regelbare weerstanden met een maximale waarde van 2,5 k Ω (R0, R1) respectievelijk 1,4 k Ω (R2). De drie weerstanden kunnen via I²C-besturing ingesteld worden op 64 waarden plus een “high-Z”-stand. De ingestelde waarden worden opgeslagen in een non-volatile geheugen, zodat de instellingen niet verloren gaan bij het uitschakelen van de voedingsspanning.

De 64 instelbare waarden volgen een semi-logaritmisch verloop. Als de weerstanden worden overbrugd met een vaste weerstand van een bepaalde waarde, krijgen de drie instelbare weerstanden een vrijwel lineaire indeling, zie figuur 7/279-1.

De schakeling bevat bovendien 16 bytes EEPROM die door de gebruiker kunnen worden beschreven via I²C-commando's. Maximaal acht identieke IC's kunnen op één I²C-bus worden aangesloten.

De DS3906 is ideaal voor het volledig automatisch afregelen van schakelingen, het compenseren van offset's en het genereren van gelijkspanningen voor het besturen van andere IC's.

Dank zij het groot voedingsbereik van 2,7 V tot 5,5 V kan de schakeling ingezet worden in diverse technologieën en met alle mogelijke TTL-versies.



Figuur 7/279-1: Het weerstandsverloop van de drie elektronische instelweerstand.

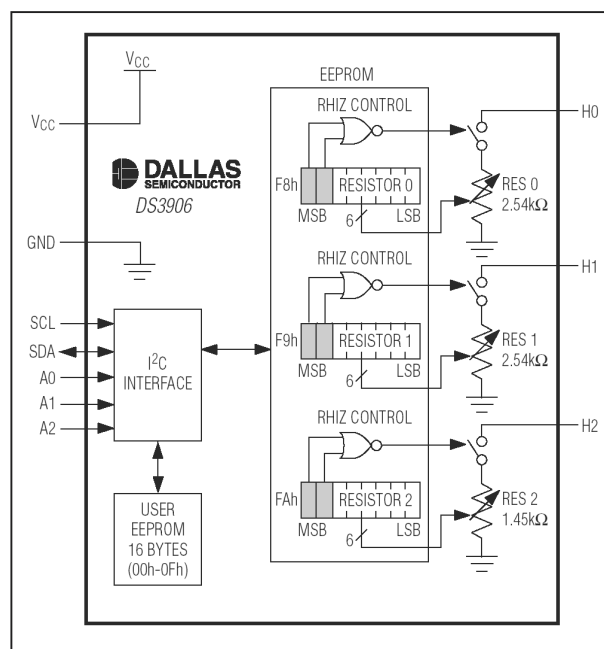
DS3906, drievoudige digitaal instelbare weerstanden met geheugen**Technische gegevens**

- fabrikant
Dallas Semiconductor
- behuizing
 μ SOP-10
- intern blokschema
figuur 7/279-2
- aansluitgegevens
figuur 7/279-3
- voedingsspanning
+2,7 V min., +5,5 V max.
- voedingsstroom
130 μ A typisch, 250 μ A max.
- spanning over weerstanden
+5,5 V max.
- stroom door weerstanden
5 mA max.
- tolerantie weerstanden
 $\pm 20\%$ max.
- temperatuurscoëfficiënt weerstanden
60 ppm/ $^{\circ}$ C typisch
- high-Z waarde
5,5 M Ω min.
- I/O-capaciteit weerstanden
10 pF max.
- SCL klokfrequentie
400 kHz max.
- EEPROM schrijftijd
20 ms max.
- EEPROM schrijfcycli
50.000 min.

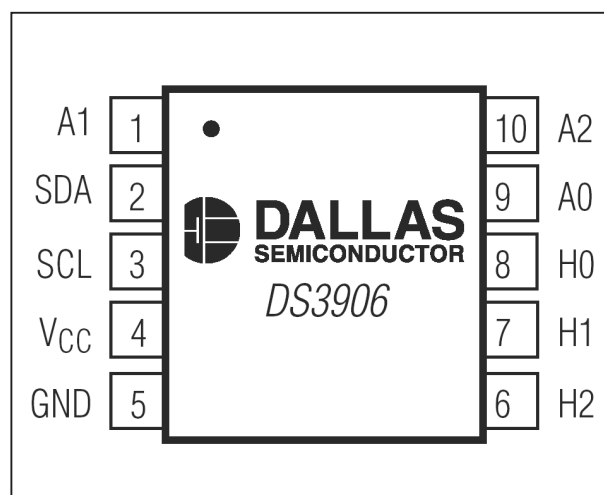
Programmering

In figuur 7/279-4 is de geheugenmap van de DS3906 voorgesteld plus de drie registers waarin de waarde van de weerstanden wordt opgeslagen. Uit figuur 7/279-5 volgt het verband tussen de weerstandswaarde en de code die in de registers wordt geschreven. In figuur 7/279-6 is een schrijfactie vanuit de I²C-bus naar een DS3906 voorgesteld. De actie bestaat uit het verzenden van drie bytes:

- slave adres van de DS3906;
- register of geheugen adres:
- inhoud van het register of geheugen-adres.



Figuur 7/279-2: Intern blokschema van de DS3906.



Figuur 7/279-3: Aansluitgegevens van de DS3906.

DS3906, drievoudige digitaal instelbare weerstanden met geheugen

ADDRESS	TYPE	NAME	FUNCTION	FACTORY DEFAULT
00h to 0Fh	EEPROM	User memory	16 bytes of general-purpose user EEPROM.	00h
F8h	EEPROM	Resistor 0	Resistor 0-2 settings. See Table 2 and the <i>Resistor Registers/Settings</i> section.	3Fh
F9h	EEPROM	Resistor 1		3Fh
FAh	EEPROM	Resistor 2		3Fh
FBh-FFh	Reserved			

ADDRESS	VARIABLE RESISTOR	POSITION 3FH RESISTANCE (kΩ)	NUMBER OF POSITIONS*
F8h	Resistor 0	2.54	64 (00h to 3Fh) + High-Z
F9h	Resistor 1	2.54	
FAh	Resistor 2	1.45	

* Writing a value greater than 3Fh to any of the resistor registers makes the corresponding resistor go High-Z. Position 3Fh is the maximum position.

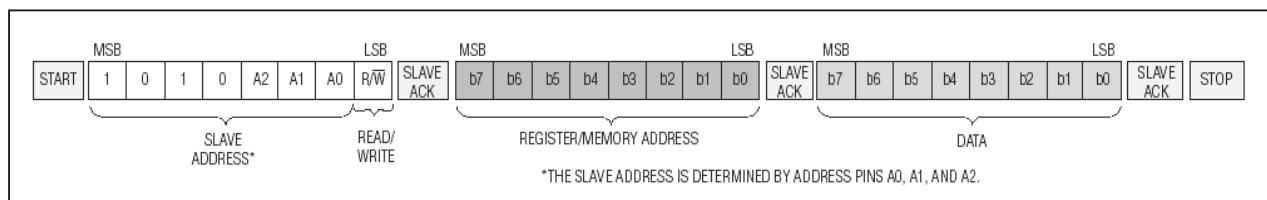
Figuur 7/279-4: De geheugenmap van de DS3906.

POSITION		NOMINAL RESISTOR VALUES WITHOUT EXT RESISTOR (25°C)	
Dec	Hex	Resistors 0, 1	Resistor 2
0	00	175.0	469.7
1	01	178.8	476.4
2	02	182.7	483.2
3	03	186.8	490.1
4	04	190.9	497.2
5	05	195.2	504.4
6	06	199.6	511.7
7	07	204.2	519.2
8	08	208.9	526.8
9	09	213.7	534.6
10	0A	218.8	542.5
11	0B	223.9	550.6
12	0C	229.3	558.8
13	0D	234.9	567.3
14	0E	240.6	575.9
15	0F	246.6	584.6
16	10	252.8	593.6
17	11	259.2	602.8
18	12	265.9	612.1
19	13	272.8	621.7
20	14	280.0	631.5
21	15	287.5	641.5
22	16	295.3	651.7
23	17	303.5	662.2
24	18	312.0	672.9
25	19	320.8	683.8
26	1A	330.1	695.0
27	1B	339.8	706.5
28	1C	350.0	718.3
29	1D	360.7	730.3
30	1E	371.9	742.7
31	1F	383.7	755.4

POSITION		NOMINAL RESISTOR VALUES WITHOUT EXT RESISTOR (25°C)	
Dec	Hex	Resistors 0, 1	Resistor 2
32	20	396.1	768.4
33	21	409.1	781.7
34	22	422.9	795.4
35	23	437.5	809.4
36	24	452.9	823.9
37	25	469.3	838.7
38	26	486.7	853.9
39	27	505.2	869.6
40	28	525.0	885.7
41	29	546.1	902.3
42	2A	568.8	919.4
43	2B	593.1	936.9
44	2C	619.2	955.1
45	2D	647.5	973.7
46	2E	678.1	993.0
47	2F	711.4	1012.8
48	30	747.7	1033.3
49	31	787.5	1054.5
50	32	831.3	1076.4
51	33	879.6	1099.0
52	34	933.3	1122.4
53	35	993.4	1146.6
54	36	1060.9	1171.7
55	37	1137.5	1197.7
56	38	1225.0	1224.7
57	39	1326.0	1252.7
58	3A	1443.8	1281.7
59	3B	1583.0	1311.9
60	3C	1750.0	1343.3
61	3D	1954.2	1376.0
62	3E	2209.4	1410.1
63	3F	2537.5	1445.6

Figuur 7/279-5: De data voor de weerstandswaarden.

DS3906, drievoudige digitaal instelbare weerstanden met geheugen



Figuur 7/279-6: Een volledige schrijfcyclus naar de DS3906.

7/280

TS803R, microprocessor reset schakeling

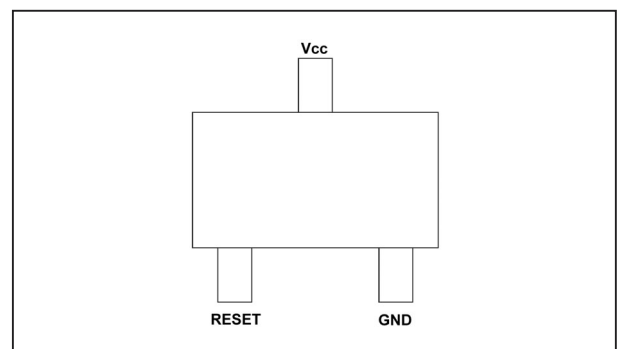
Kennismaking

De TS803R van TSC is een eenvoudig recht-toe-recht-aan reset-circuit voor microprocessoren en andere digitale schakelingen. De schakeling meet de grootte van de voedingsspanning en levert een "L" op de RESET-uitgang als de waarde van de voedingsspanning onder een bepaalde waarde daalt. De schakeling is beschikbaar voor systemen die werken op 5V, 3,3 V en 3 V. De schakeling is ongevoelig voor smalle glitches op de voedingsspanning en heeft een inschakelvertraging van 140 ms. Dank zij het lage eigen stroomverbruik is de schakeling geschikt voor batterijgevoede apparatuur. De RESET-uitgang is een open-drain die met een externe pull-up weerstand moet worden belast.

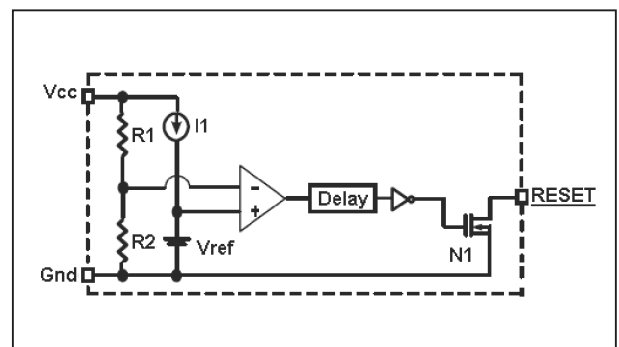
Technische gegevens

- fabrikant
TSC
- behuizing
SOT-23
- aansluitgegevens
figuur 7/280-1
- intern blokschema
figuur 7/280-2
- timing diagram
figuur 7/280-3
- voedingsspanning
1,0 V min., 5,5 V max.

- voedingsstroom
5 μ A max.



Figuur 7/280-1: Aansluitgegevens van de TS803R.

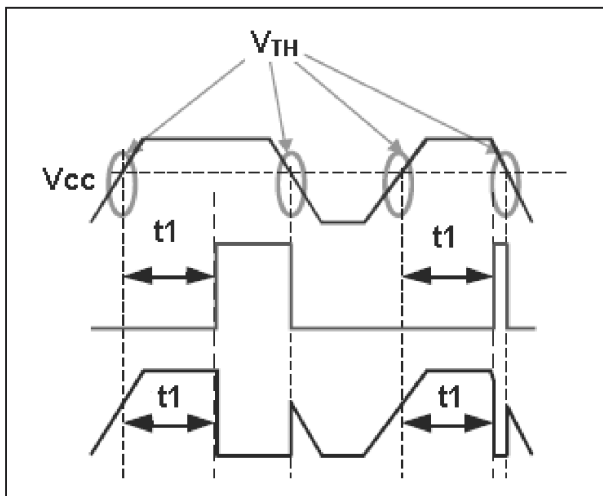


Figuur 7/280-2: Intern blokschema van de TS803R.

- resetspanning V_{TH}
TS803RCXB: 4,20 V
TS803RCXE: 2,93 V
TS803RCXF: 2,70 V
- tolerantie resetspanning
 $0,985 * [V_{TH}]$ min., $1,015 * [V_{TH}]$ max.,

TS803R, microprocessor reset schakeling

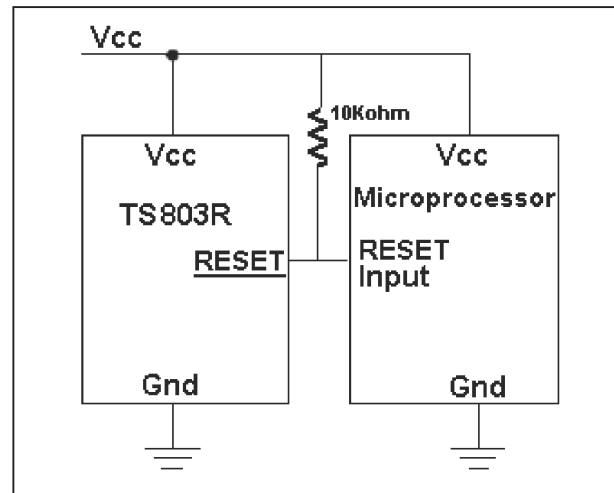
- temperatuurscoëfficiënt
30 ppm/°C typisch
- $\overline{\text{RESET}}$ spanning "L"
0,5 V max. (1,2 mA)
- $\overline{\text{RESET}}$ spanning "H"
 $0,8 * V_{cc}$ min.



Figuur 7/280-3: Werkingsprincipe van de TS803R.

Voorbeeldschakeling

In figuur 7/280-4 is de standaardschakeling rond dit IC voorgesteld. Commentaar overbodig!



Figuur 7/280-4: Standaardschakeling rond de TS803R.

7/281

HV9901, universele relaisdriver tot 450 V

Kennismaking

De HV9901 van Supertex Inc. is een BiCMOS/DMOS universele relaisdriver die werkt met pulsbreedte modulatie voor het aansturen van de spoel van een relais. De schakeling is zó ontworpen dat bijvoorbeeld een 5 V relais kan worden gevoed uit een gelijkspanning van 10 V tot 450 V of uit een wisselspanning tot 240 V, zonder dat ook maar één onderdeel moet worden aangepast. De schakeling heeft een interne hoogspanningsregulator die de interne PCM-schakeling voedt. Daarnaast is een instelbare laagspanningsregulator ingebouwd, die kan worden gebruikt voor het voeden van de stuurschakeling. De inschakelstroom, inschakeltijd en houdstroom worden geprogrammeerd met twee weerstanden en een condensator.

De frequentie van de pulsbreedte modulator kan:

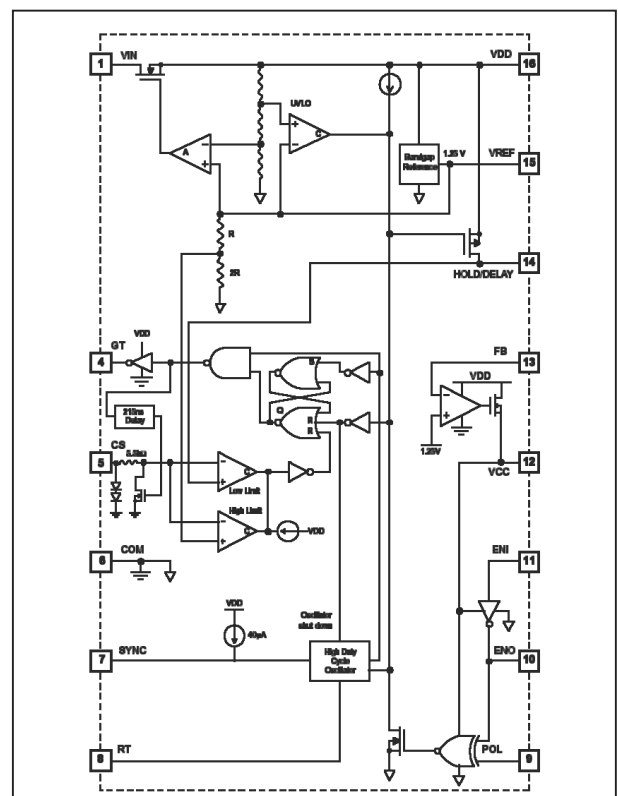
- worden gesynchroniseerd met een externe clock;
- worden gesynchroniseerd met andere HV9901's in het systeem, waarbij de synchronisatiefrequentie gelijk wordt aan de hoogste vrijlooppfrequentie van de individuele schakelingen.

Via de Enable Input ENI kan het relais worden in- en uitgeschakeld. De polariteit van deze ingang wordt bepaald door de spanning op de Enable Polarity POL

ingang. De stroom door de relaisspoel wordt in de gaten gehouden door een kleine stroomsensor weerstand die in serie met de relaisspoel wordt opgenomen.

Technische gegevens

- fabrikant
Supertex Inc.



Figuur 7/281-1: Intern blokschema van de HV9901.

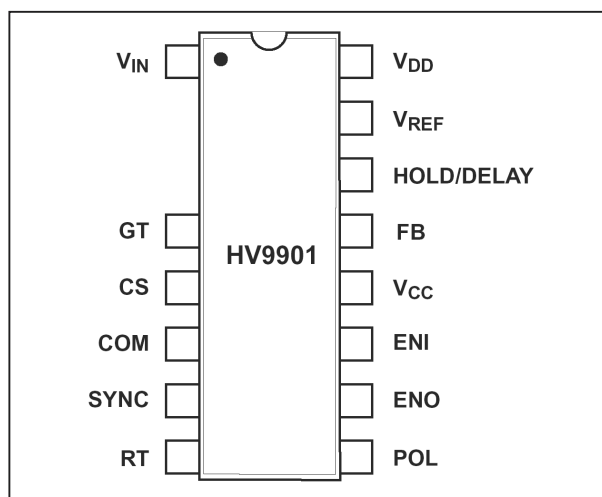
Figuur 7/281-3: Waarheidstabel van de besturing van de HV9901.

POL	ENI	ENO	Gate Drive Output
LOW	LOW	HIGH	V_{GT} = Oscillating Output, Duty Cycle depends on Inductive Load
LOW	HIGH	LOW	V_{GT} = LOW, SYNC = HIGH, Oscillator shut down.
HIGH	HIGH	LOW	V_{GT} = Oscillating Output, Duty Cycle depends on Inductive Load
HIGH	LOW	HIGH	V_{GT} = LOW, SYNC = HIGH, Oscillator shut down.

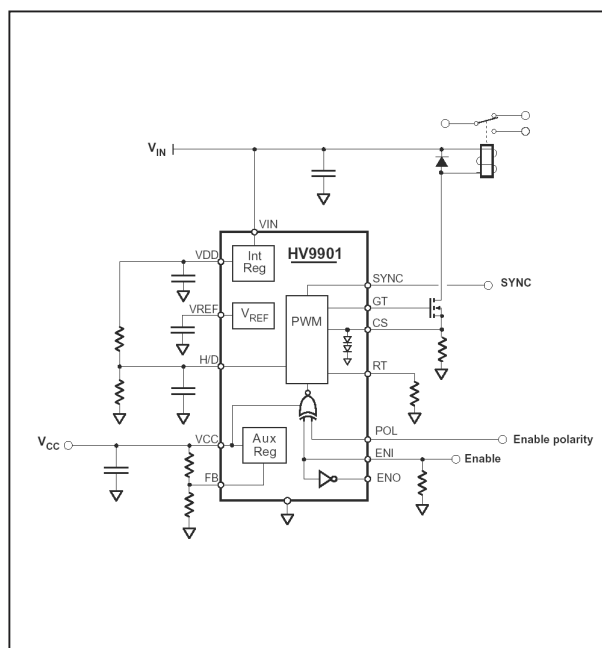
Figuur 7/281-3: Waarheidstabel van de besturing van de HV9901.

- behuizing
SO-16
- intern blokschema
figuur 7/281-1
- aansluitgegevens
figuur 7/281-2
- waarheidstabel besturing
figuur 7/281-3
- voedingsspanning
10 V min., 450 V max.
- voedingsstroom
2,0 mA max.
- uitgangsspanning regulator 1 (V_{DD})
8,5 V min., 9,5 V max.
- uitgangsspanning regulator 2 (V_{CC})
2,0 V min., 5,5 V max.
- uitgangsstroom regulator 2
1,0 mA max.
- ingebouwde bandgap referentie
1,20 V min., 1,30 V max.
- oscillatorfrequentie
20 kHz min., 140 kHz max.
- MOSFET-driver uitgang “L”
0,3 V max.
- MOSFET-driver uitgang “H”
 $V_{DD} - 0,3$ V min.

In figuur 7/281-4 is de standaardschakeling rond de HV9901 voorgesteld.



Figuur 7/281-2: Aansluitgegevens.



Figuur 7/281-4: Standaardschakeling rond de HV9901.

7/282

CL6, 100 mA stroombron voor de voeding van LED's

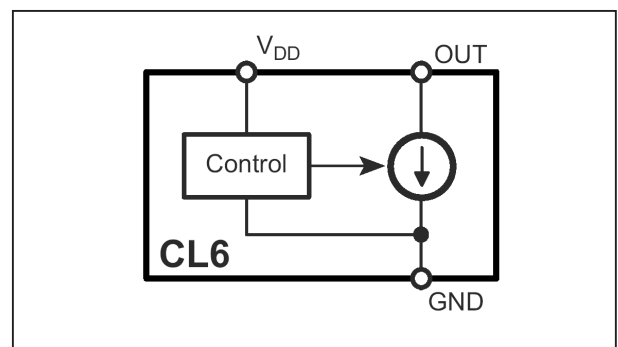
Kennismaking

De CL6 van Supertex Inc. is een constante stroombron die een gelijkstroom van 100 mA levert voor het voeden van LED's met hoge intensiteit. De schakeling is ontworpen voor de standaard industriële voedingsspanningen van 12 V, 24 V of 48 V. De schakeling is echter bestand tegen voedingsspanningstransienten tot 90 V en heeft een GND-tag die niet-geïsoleerde koeling mogelijk maakt. De CL6 is beveiligd tegen te hoge temperatuur. Als de chip-temperatuur groter wordt dan +135 °C schakelt de schakeling zichzelf uit. De stroom wordt weer ingeschakeld als de temperatuur van de chip is gedaald tot +105 °C.

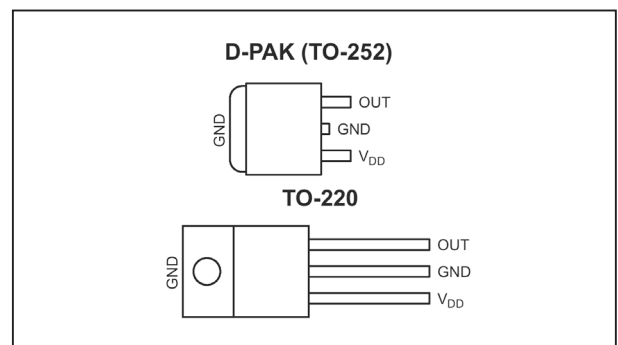
Technische gegevens

- fabrikant
Supertex Inc.
- behuizing
D-PAK, TO-220
- intern blokschema
figuur 7/282-1
- aansluitgegevens
figuur 7/282-2
- voedingsspanning
6,5 V min., 90 V max.
- stroom naar V_{DD} -pen
3,0 mA min., 10 mA max.
- stroom naar OUT-pen
90 mA min., 110 mA max.

- shut-off spanning op V_{DD} -pen
1,0 V max.
- overtemperatuur beveiliging
+120 °C min., +150 °C max.



Figuur 7/282-1: Intern blokschema van de CL6.



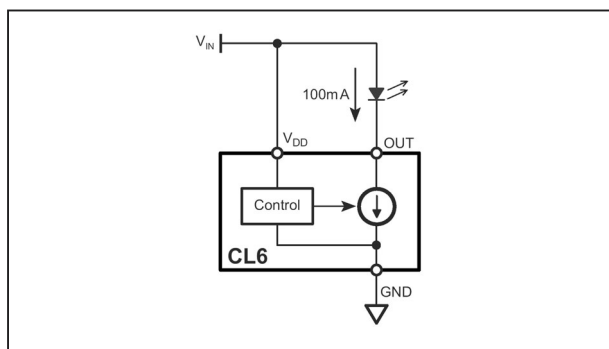
Figuur 7/282-2: Aansluitgegevens van de twee behuizingen van de CL6.

Toepassingsvoorbeeld

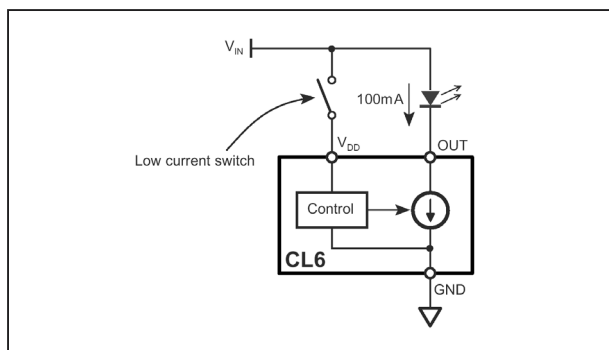
In figuur 7/282-3 is de standaard schakeling rond de CL6 voorgesteld. De

CL6, 100 mA stroombron voor de voeding van LED's

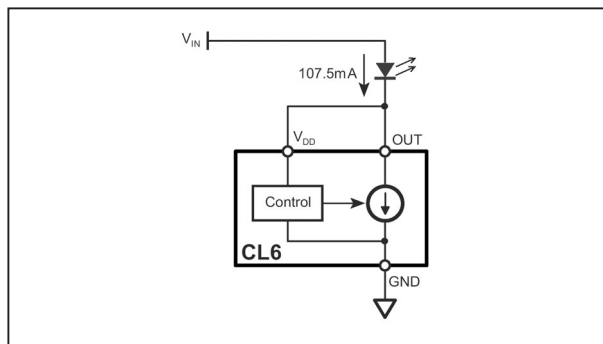
V_{DD} -pen wordt verbonden met de voedingsspanning. In figuur 7/282-4 wordt voorgesteld hoe de LED-stroom kan worden bestuurd via een elektronische schakelaar in de V_{DD} -lijn. In figuur 7/282-5 wordt de CL6 toegepast in een tweedraads-toepassing. De LED-stroom stijgt tot ongeveer 107 mA.



Figuur 7/282-3: De standaard schakeling rond de CL6.



Figuur 7/282-4: Het aan- en uitschakelen van de LED-stroom door middel van een elektronische schakelaar.



Figuur 7/282-5: De CL6 in een tweedraads-toepassing.

7/283

LT6557, breedbandige video distributie versterker

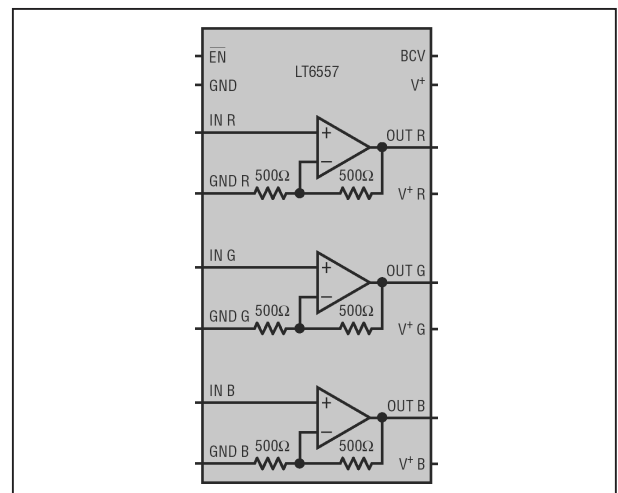
Kennismaking

De LT6557 van Linear Technology bevat drie zeer breedbandige videoversterkers. Bij een signaal van 2 V top-tot-top aan de ingang bedraagt de bandbreedte 400 MHz en de slew-rate 2.200 V/ μ s. De uitgangsspanning kan de voedingsspanning tot 0,8 V benaderen, zodat zelfs uit een enkelvoudige standaard +5 V voeding een genormeed videosaal kan worden geleverd. De drie versterkers hebben een spanningsversterking van 2 x en zijn bedoeld voor het versterken en distribueren van de R-, G- en B-componenten van een analoog videosaal. Met één externe weerstand kan men het gelijkspanningsniveau op de drie ingangen fixeren, waardoor uitgebreide externe clampschakelingen overbodig zijn. Iedere versterker heeft eigen voedings- en massapennen, zodat optimale voedingsontkoppeling mogelijk is en de kanaalscheiding maximaal is. De schakeling heeft een laag actieve Enable/Shutdown-pen.

Technische gegevens

- fabrikant
Linear Technology
- behuizing
SSOP-16, DFN
- intern blokschema
figuur 7/283-1

- aansluitgegevens
figuur 7/283-2
- voedingsspanning
3,0 V min., 7,5 V max.

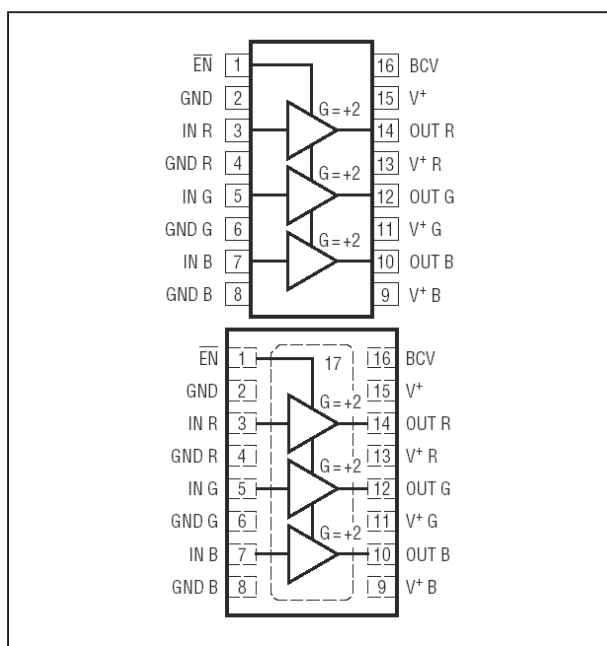


Figuur 7/283-1: Intern blokschema van de LT6557.

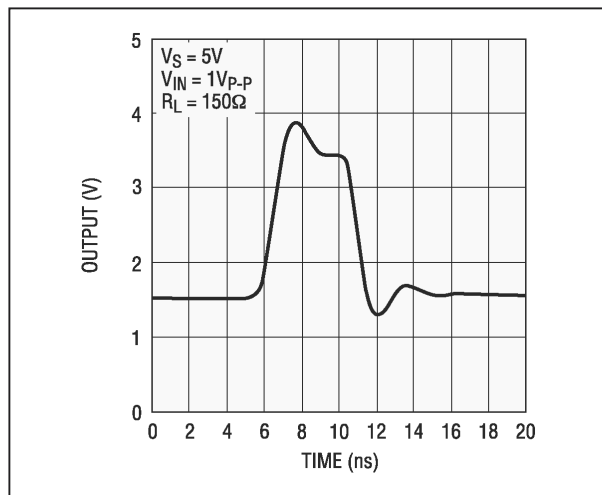
- voedingsstroom, actief
67,0 mA typisch, 75,0 mA max.
- voedingsstroom, shutdown
1 mA max.
- ingangsoffset
12 mV typisch, 40 mV max.
- biasspanning
1,25 V typisch
- ingangsstroom
35 μ A typisch, 100 μ A max.
- ingangsweerstand
90 k Ω min., 200 k Ω typisch

LT6557, breedbandige video distributie versterker

- ingangscapaciteit
1,5 pF typisch
- spanningsversterking
2 * typisch
- onderlinge afwijking versterking
 $\pm 0,5$ % typisch, $\pm 3,0$ % max.
- uitgangsspanning
0,9 V min. (5 V voeding)
4,1 V max. (5 V voeding)
- kortsluitstroom
 ± 70 mA min., ± 100 mA typisch
- slew rate
1.400 V/ μ s min., 2.200 V/ μ s typisch
- -3 dB bandbreedte
400 MHz typisch (2 V signaal)
- -0,1 dB bandbreedte
120 MHz typisch (2 V signaal)
- overspraak
-80 dB typisch
- transiënt response
figuur 7/283-3
- faseverschil
0,05 ° typisch



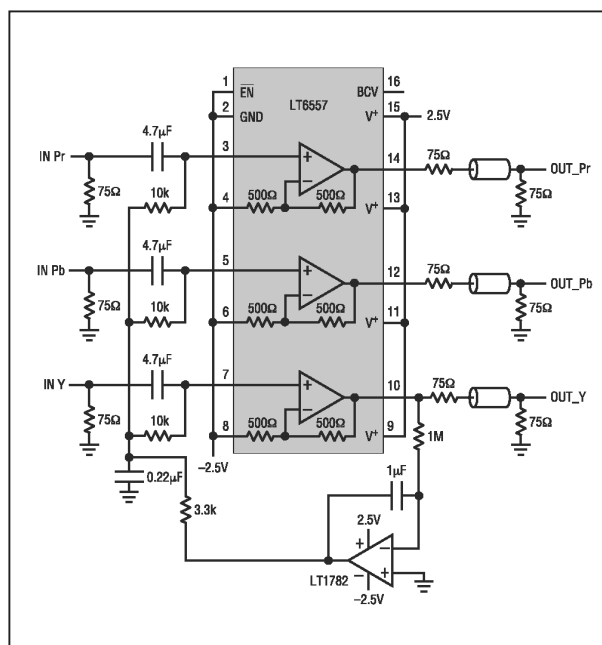
Figuur 7/283-2: Aansluitgegevens van de LT6557.



Figuur 7/283-3: De response van de uitgang op een smalle puls op de ingang.

Voorbeeldschakeling

In figuur 7/283-4 is de standaard schakeling rond de LT6557 weergegeven als versterker van de Pr-, Pb- en Y-signalen.



Figuur 7/283-4: De LT6557 als breedbandige video distributieversterker.

7/284

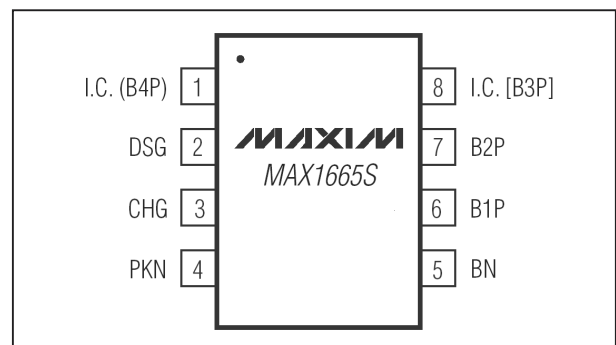
MAX1665S, beveiligingsschakeling voor lithium-ion accupack's

Kennismaking

De MAX1665S van Maxim beschermt de afzonderlijke cellen in lithium-ion accupack's tegen te hoge spanning, te lage spanning, te hoge stroom en overlading. De schakeling kan worden toegepast bij pack's die uit twee, drie of vier cellen bestaan. Het zeer lage eigen stroomverbruik van 2 μA zorgt ervoor dat de schakeling de pack's niet ontladent. De MAX1665S bestuurt twee externe N-kanaals MOSFET's die door aan of uit te schakelen de cellen beschermen tegen een te hoge of een te lage celspanning. De cellen worden opgeladen tot de celspanning gelijk wordt aan 4,3 V. Als één van de celspanningen deze drempel overschrijdt wordt de MOSFET die de lading regelt uitgeschakeld. De MOSFET die de ontlading regelt is aan tot een van de celspanningen de kritische drempel van 2,5 V benadert. Dan wordt deze MOSFET uitgeschakeld, zodat de cellen niet verder ontladen kunnen worden. De inwendige weerstanden van de MOSFET's worden gebruikt als stroomsensor weerstand. De cellen worden geladen of ontladen als de spanning over de MOSFET's kleiner is dan 250 mV. Een hogere spanning duidt op te hoge laad- of ontladestroom van het pack, de MOSFET's worden dan naar sper gestuurd.

Technische gegevens

- fabrikant
Maxim
- behuizing
SO-8



Figuur 7/284-1: Aansluitgegevens van de MAX1665S.

- aansluitgegevens
figuur 7/284-1
- voedingsspanning
24 V max.
- voedingsstroom, actief
30 μA max.
- voedingsstroom, standby
2 μA max.
- B2P spanning
4 V min., 10 V max.
- B3P spanning
4 V min., 15 V max.
- B4P spanning
4 V min., 20 V max.
- drempel te hoge spanning

MAX1665S, beveiligingsschakeling voor lithium-ion accupacks

CHARGE OVERCURRENT	DISCHARGE OVERCURRENT	OVERVOLTAGE	UNDERVOLTAGE	CHG	DSG	GATE CLOCKED	MAX SUPPLY CURRENT* (μ A)
0	0	0	0	High	High	No	25
0	0	0	1	Low	Low	No	1
0	0	1	0	Low	High	No	25
0	0	1	1	Low	Low	No	1
0	1	0	0	Gated	Gated	Yes	25
0	1	0	1	Low	Low	No	1
0	1	1	0	Low	Gated	Yes	25
0	1	1	1	Low	Low	No	1

Figuur 7/284-2: “Waarheidstabel” van de schakeling bij het ontladen van het pack.

CHARGE OVERCURRENT	DISCHARGE OVERCURRENT	OVERVOLTAGE	UNDERVOLTAGE	CHG	DSG	GATE CLOCKED	MAX SUPPLY CURRENT* (μ A)
0	0	0	0	High	High	No	25
0	0	0	1	High	High	No	25
0	0	1	0	Low	High	No	25
0	0	1	1	Low	High	No	25
1	0	0	0	Gated	Gated	Yes	25
1	0	0	1	Gated	Gated	Yes	25
1	0	1	0	Low	High	No	25
1	0	1	1	Low	High	No	25

Figuur 7/284-3: “Waarheidstabel” van de schakeling bij het laden van het pack.

- 4,20 V min., 4,24 V max.
- drempel te lage spanning
2,4 V min., 2,6 V max.
- drempel te hoge stroom
 ± 180 mV min., ± 320 mV max.
- CHG en DSG uitgangsstroom
10 mA min.

Werking van de schakeling

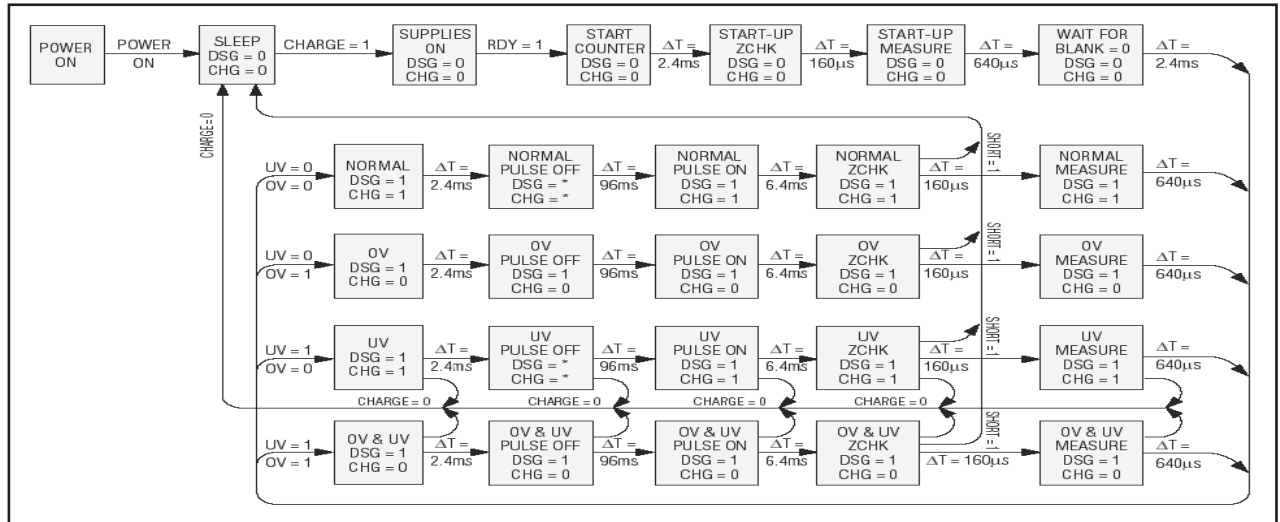
De werking van de MAX1665S wordt het best begrepen door bestudering van de “waarheidstabellen” in de figuren 7/284-2 en -3. In figuur 7/284-2 wordt de werking van de schakeling beschreven als het accupack wordt ontladen, in figuur 7/284-3 als het pack wordt geladen.

Een interne clockgenerator bestuurt het volledige proces. Zo worden, als een te hoge laad- of ontlaadstroom wordt ge-

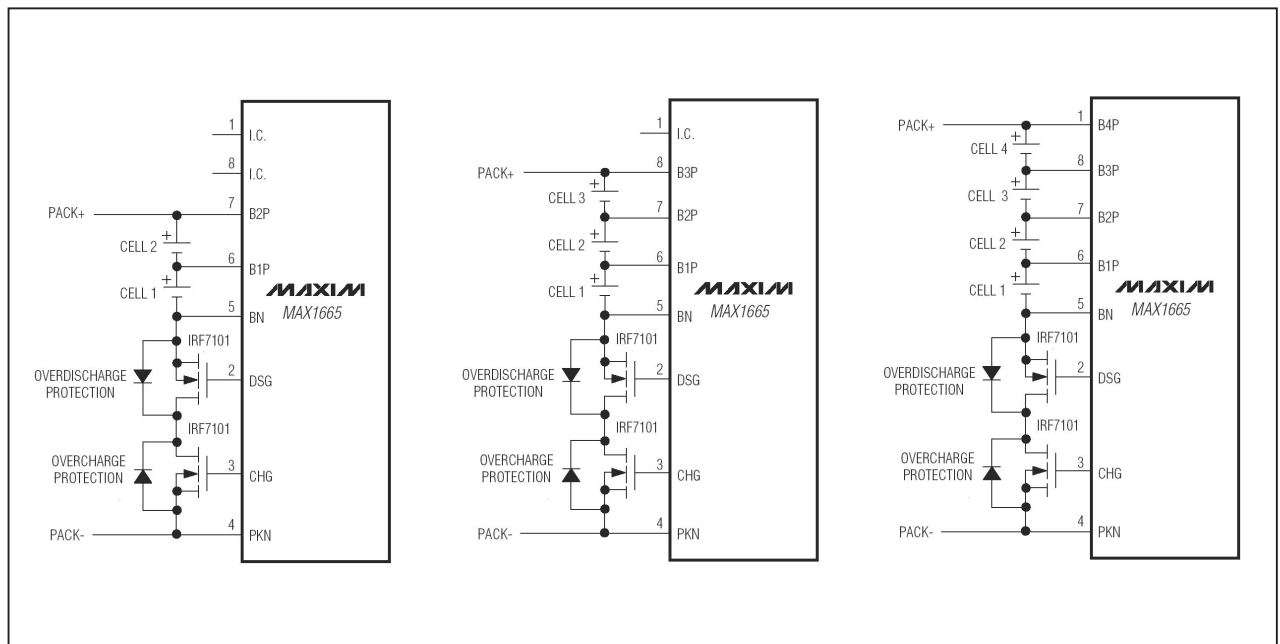
constateerd, de twee MOSFET's naar sper gestuurd. De schakeling zal echter om de 150 ms de MOSFET's heel even naar geleiding sturen om te controleren of de conditie “te hoge stroom” nog steeds aanwezig is. Is dat niet het geval, dan worden de MOSFET's weer in geleiding gestuurd. De interne timing van de meetcyclus kan afgeleid worden uit figuur 7/284-4, het “state diagram” van de schakeling.

Voorbeeldschakelingen

In figuur 7/284-5 wordt het schema tussen de lithium-ion cellen, de twee MOSFET's en de MAX1665S samengevat voor accupack's die bestaan uit twee, drie en vier cellen.

MAX1665S, beveiligingsschakeling voor lithium-ion accupacks

Figuur 7/284-4: State diagram, waaruit de timing van het gehele bewakingsproces kan worden afgeleid.



Figuur 7/284-5: De voorgeschreven schakeling rond de MAX1665S bij twee, drie en vier cellen.

MAX1665S, beveiligingsschakeling voor lithium-ion accupacks

7/285

HV809, spanningsgenerator voor EL panelen

Kennismaking

EL (elektroluminiscentie) panelen worden steeds vaker toegepast als achtergrondbelichting van LCD-schermen en dergelijke. Deze panelen worden aangestuurd met een wisselspanning van diverse honderden volt en dan niet zomaar een wisselspanning, maar een absoluut symmetrische blokspanning. De HV809 van Supertex Inc. is een schakeling die uit een gelijkspanning van maximaal 200 V de noodzakelijke blokspanning genereert voor het aansturen van het lichtgevende paneel.

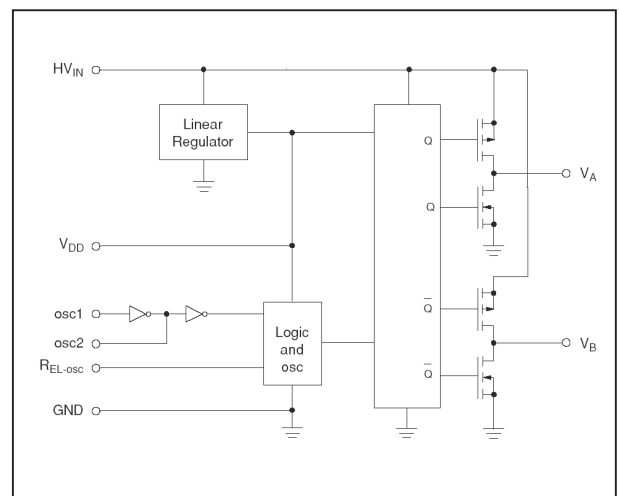
De amplitude van de uitgangsspanning is gelijk aan twee maal de waarde van de ingangsspanning. De schakeling bevat twee oscillatoren, een lineaire spanningsregulator en een hoogspannings type-H brug. De frequentie van het uitgangssignaal wordt bepaald door een externe weerstand tussen de pen R_{EL-OSC} en de massa. Het EL-paneel wordt gevoed tussen de pennen V_A en V_B .

Technische gegevens

- fabrikant
Supertex Inc.
- behuizing
SO-8, TO-220
- intern blokschema
figuur 7/285-1
- aansluitgegevens

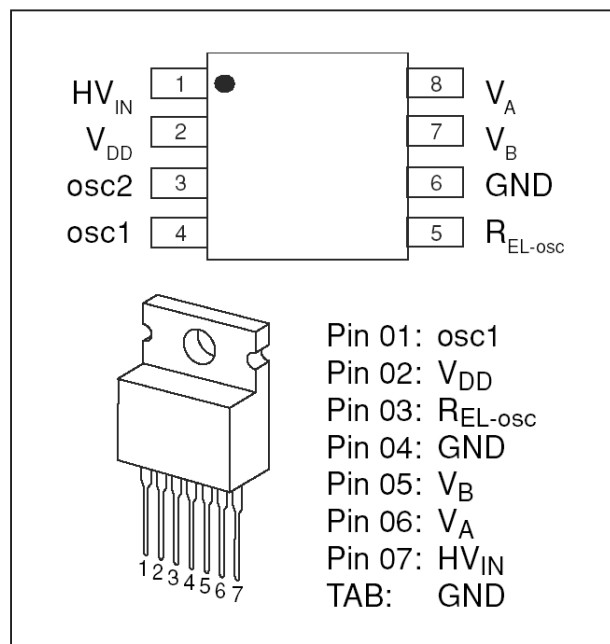
figuur 7/285-2

- ingangsspanning
50 V min., 200 V max.
- voedingsstroom
70 mA max.



Figuur 7/285-1: Intern blokschema van de HV809.

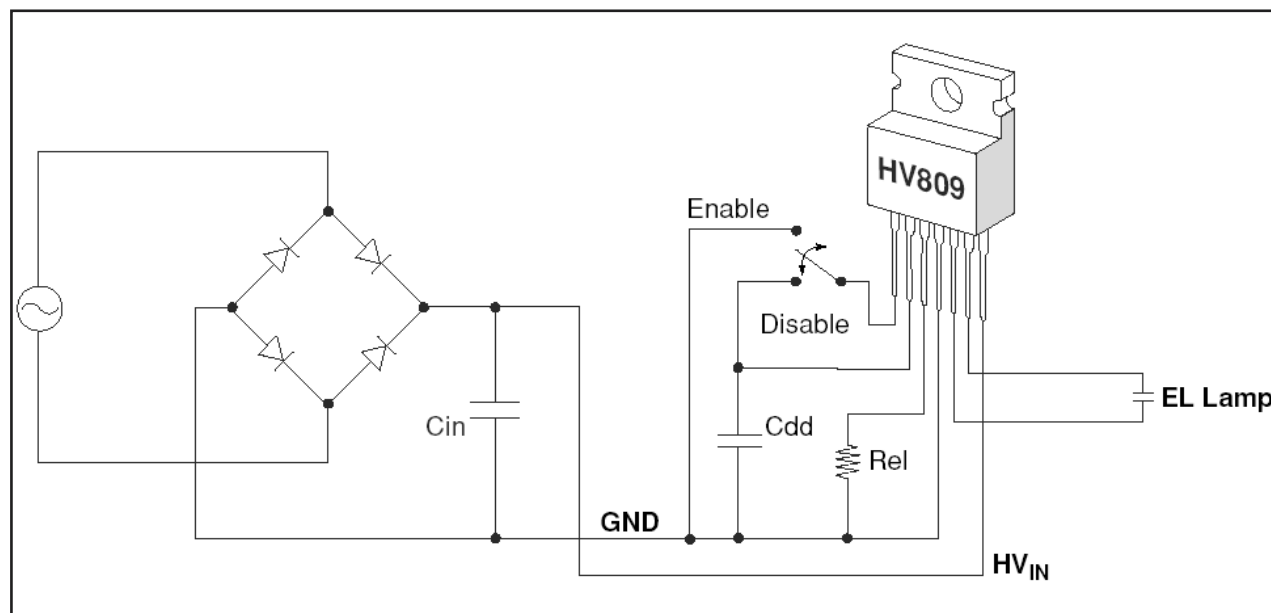
- interne voedingsspanning
8 V min., 12 V max.
- spanning tussen V_A en V_B
 $2 * HV_{IN}$
- chopperfrequentie
320 Hz min., 1,2 kHz max.
- weerstandswaarde versus frequentie
 $R_{EL-OSC} = 1,0 \text{ M}\Omega$: 400 Hz
 $R_{EL-OSC} = 390 \text{ k}\Omega$: 1,0 kHz
- capacitieve belasting
350 nF max.

HV809, spanningsgenerator voor EL panelen

Figuur 7/285-2: Aansluitgegevens van de HV809.

Voorbeeldschakeling

In figuur 7/285-3 is de standaardschakeling rond de HV809 voorgesteld. Met de schakelaar kan het IC worden in- en uitgeschakeld, dus de backlight verlichting worden bediend.



Figuur 7/285-3: Het door de fabrikant voorgeschreven schema rond de HV809.

8/6

Vakliteratuur

Inhoud

- 8/6.1 Vego's groot elektronische sensoren boek**
(verschenen in de 101e aanvulling)
- 8/6.2 Vego's groot operationele versterker boek**
(verschenen in de 101e aanvulling)
- 8/6.3 Takkenbos elektronica**
(verschenen in de 101e aanvulling)
- 8/6.4 Het op-amp experimenteer boek**
(verschenen in de 127e aanvulling)
- 8/6.5 Alle Nederlandstalige elektronica boeken op één site**
(verschenen in de 127e aanvulling)
- 8/6.6 Elektronica boeken van Uitgeverij Segment (Elektuur)**
(verschenen in de 129e aanvulling)

Vego's bestelservice voor oude hoofdstukken

Alle hoofdstukken uit dit naslagwerk kunt u afzonderlijk bestellen.
Ga hiervoor naar onze internetsite www.hobbyelektronica.nu en klik de menu-optie "Bestellen hoofdstukken" aan.

8/6.6

Elektronica boeken van Uitgeverij Segment (Elektuur)



305 Schakelingen

Auteur: Redactie Elektuur
Formaat: 17 x 23,5 cm, gebonden
Omvang: 416 pagina's, geïllustreerd
ISBN-10: 90-5381-056-0
ISBN-13: 978-90-5381-056-9
Prijs: € 24,50

305 schakelingen een onuitputtelijke bron van elektronica-inspiratie. Voor een deel worden complete schakelingen gepresenteerd, daarnaast een aantal deeloplossingen voor uiteenlopende elektronische problemen. Niet in de laatste plaats vormen deze 305 schakelingen echter de basis voor compleet nieuwe ideeën. De volgende rubrieken zijn wederom in ruime mate in deze uitgave vertegenwoordigd: meten en testen, HF, generatoren en oscillatoren, computer en periferie, audio en video, spel en hobby, telefoontechniek, huis en tuin, laders en voedingen.



307 Schakelingen

Auteur: Redactie Elektuur
Formaat: 17 x 23,5 cm, gebonden
Omvang: 388 pagina's, geïllustreerd
ISBN-10: 90-5381-125-7
ISBN-13: 978-90-5381-125-2
Prijs: € 24,50

Kenners van de 300-serie weten wat ze kunnen verwachten. 307 schakelingen bevat veel compleet uitgewerkte elektronica-ontwerpen, daarnaast ideeën die de aanzet kunnen zijn tot geheel nieuwe ontwerpen. De volgende rubrieken komen in deze uitgave weer aan bod: meten en testen, hoogfrequent, PC-hardware en -periferie, audio en video, hobby en modelbouw, microprocessoren, huis en tuin, acculaders en voedingen.



308 Schakelingen

Auteur: Redactie Elektuur
Formaat: 17 x 23,5 cm, gebonden
Omvang: 368 pagina's, geïllustreerd
ISBN-10: 90-5381-164-8
ISBN-13: 978-90-5381-164-1
Prijs: € 28,50

Dit is de negende uitgave in de 300-serie met wederom een uitgebreid scala aan schakelingen, deeloplossingen en elektronica-ideeën. Dit boek is onderverdeeld in rubrieken, zodat nu alle verwante schakelingen overzichtelijk bij elkaar staan. Voor het overgrote

6.6 Elektronica boeken van Uitgeverij Segment (Elektuur)

deel brengt 308 schakelingen precies wat u ervan verwacht. Software speelt in de elektronica echter een steeds belangrijker rol, vandaar dat dit boek ook enige bijdragen bevat die uitsluitend een stukje software behandelen. De volgende rubrieken komen in deze uitgave weer aan bod: meten en testen, hoogfrequent, PC-hardware en -periferie, audio en video, hobby en modelbouw, microprocessoren, huis en tuin, acculaders en voedingen.



309 Schakelingen

Auteur: Redactie Elektuur

Formaat: 17 x 23,5 cm, gebonden

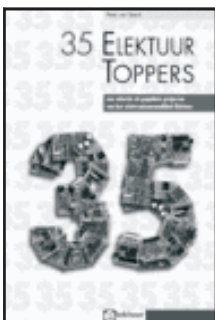
Omvang: 432 pagina's, geïllustreerd

ISBN-10: 90-5381-201-6

ISBN-13: 978-90-5381-201-3

Prijs: € 29,50

309 schakelingen bevat veel compleet uitgewerkte elektronica-ontwerpen, maar ook ideeën die de aanzet kunnen zijn tot geheel nieuwe, eigen ontwerpen. De volgende rubrieken komen in deze uitgave weer aan bod: meten en testen, hoogfrequent, computer en periferie, audio en video, hobby en modelbouw, microprocessor, huis en tuin en voedingen.



35 Elektuur Toppers

Auteur: Peter van Beeck

Formaat: 17 x 23,5 cm, gebonden

Omvang: 270 pagina's, geïllustreerd

ISBN-10: 90-5381-190-7

ISBN-13: 978-90-5381-190-0

Prijs: € 29,50

Dit boek bevat een selectie uit populaire projecten uit het elektronica maandblad Elektuur. Daaronder bevinden zich zowel moeilijke en eenvoudige als digitale en analoge schakelingen, met een serieuze of een speelse toepassing. Een greep uit de inhoud: accu-revitalisator, PIC-ontwikkelingssysteem, GSM-detector, 89S8252 Flash-Board, 20/40 MHz logic analyser, audioversterker Crescendo, dataspion, de beroemde GameBoy Digitale Sampling Oscilloscoop, digitale HF-wattmeter, condensator ESR-tester, AM-ontvanger, LED-kerstboom, stappenmotorsturing.



Audio en HiFi-buizen

Auteur: Rainer zur Linde

Formaat: 17 x 23,5 cm, gebonden

Omvang: 253 pagina's, geïllustreerd

ISBN-10: 90-5381-076-5

ISBN-13: 978-90-5381-076-7

Prijs: € 24,50

Op HiFi-gebied is de buis weer zeer actueel mede dankzij de sterk verbeterde uitgangstransformatoren. De documentatie over elektronenbuizen wordt door de introductie van dit databoek weer voor iedereen bereikbaar. Naast tabellen met specifieke gegevens van buizen worden ook de belangrijkste karakteristieken getoond, zodat het gedrag van een buis onder verschillende omstandigheden inzichtelijk wordt. Daarnaast wordt in het kort informatie gegeven over de speciale eigenschappen van de verschillende typen. De keuze van de opgenomen typen is bewust beperkt tot het gebied der HiFi- en instrumentversterkers. Juist dat gebied is nog altijd interessant voor HiFi-enthousiasten en muzikanten die het experiment niet schuwen. Daarnaast toont dit naslagwerk een groot aantal schema's van gerenommeerde producten uit het buizentijdperk. Wie specifieke gegevens van

6.6 Elektronica boeken van Uitgeverij Segment (Elektuur)

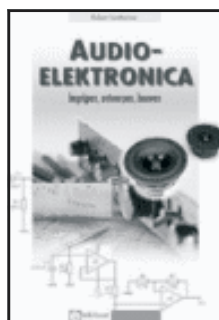
buizen zoekt, vindt die in dit boek!



Audio par excellence

Auteur: Peter van Beeck
Formaat: 17 x 23,5 cm, gebonden
Omvang: 208 pagina's, geïllustreerd
ISBN-10: 90-5381-188-5
ISBN-13: 978-90-5381-188-7
Prijs: € 24,50

Dit boek bevat een collectie van artikelen uit Elektuur, met als thema "natuurgetrouwe geluidswaergave". Er worden zowel voor- als eindversterkers behandeld, alsook een aantal luidsprekerkasten. Bovendien treft u er een aantal nuttige schakelingen in aan die bij het ontwerpen van geluidsinstallaties goed van pas komen, zoals een digitale clipping-indicator waarmee oversturing op CD's aangetoond kan worden. Het boek schenkt aandacht aan de realisatie van audio-versterkers, zonder de daarbij noodzakelijke theoretische achtergronden te diepgaand te behandelen. Eenieder die een beetje handig is met soldeerbout en tin, is met dit boek in staat zijn eigen high-end geluidsinstallatie te bouwen.



Audio-elektronica

Auteur: Robert Sontheimer
Formaat: 17 x 23,5 cm, gebonden
Omvang: 231 pagina's, geïllustreerd
ISBN-10: 90-5381-193-1
ISBN-13: 978-90-5381-193-1
Prijs: € 29,50

Ontwerpen van schakelingen gaat in dit boek hand in hand met het begrijpen ervan. Bij alle beschrijvingen van alle componenten en modules probeert de schrijver begrijpelijk te maken wat er eigenlijk gebeurt. Daartoe behoort de nodige achtergrondkennis over kwalitatieve aspecten van de audio-elektronica (ruis, brom, vervorming), maar tevens kennis van de gebruikte onderdelen (zowel passief als actief) en inzicht in de toepasselijke normen en standaarden (decibel, RIAA, stekerverbindingen). In hoofdstuk vier wordt ingegaan op de belangrijkste basisschakelingen met operationele versterkers, componenten die in de moderne audio-elektronica een vaste plaats hebben verworven. In veel van de in dit boek beschreven schakelingen komen variaties op deze basisschakelingen keer op keer terug. Na uitgebreide (bouw-)beschrijvingen van allerlei effect- en andere apparatuur (waaronder companders, mengpanelen, niveaumeters, basisbreedteregelaars, hoofdtelefoonversterkers, playback-versterkers en limiters) sluit een verzameling tips en trucs, onder andere ten behoeve van het foutzoeken, de cirkel tussen theorie en praktijk.



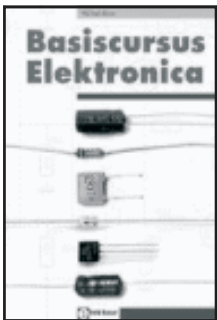
AVR microcontrollers

Auteurs: Safinaz & Francesco Volpe
Formaat: 17 x 23,5 cm, gebonden
Omvang: 224 pagina's, geïllustreerd
ISBN-10: 90-5381-091-9
ISBN-13: 978-90-5381-091-0
Prijs: € 32,55

De AVR-familie van Atmel bestaat uit een aantal 8 bit microcontrollers. Ze hebben een zogenaamde RISC-instructieset en zijn geschikt voor zeer uiteenlopende toepassingen. Deze qua programmeermogelijkheden op de programmeertaal C aangepaste microcontrollers kunnen eenvoudig "in system" worden geprogrammeerd. Hiervoor staan diverse C- en BASIC-compilers ter beschikking. Met de in dit boek beschreven assembler en si-

6.6 Elektronica boeken van Uitgeverij Segment (Elektuur)

mulator staat niets het zelf programmeren van deze aantrekkelijke serie microcontrollers meer in de weg. Naast de ontwikkelsoftware wordt ook een aantal praktische toepassingen met de bijbehorende kant-en-klare softwareroutines voorgesteld.



Basiscursus Elektronica

Auteur: Michael Ebner

Formaat: 17 x 23,5 cm, gebonden

Omvang: 232 pagina's, geïllustreerd

ISBN-10: 90-5381-191-5

ISBN-13: 978-90-5381-191-7

Prijs: € 23,50

Er zijn talloze diepgravende elektronica leerboeken op de markt. Wie echter elektronica-kennis voor dagelijks gebruik wil hebben, zit op zo'n wetenschappelijk verantwoorde verhandeling niet te wachten. Indien dit ook voor u geldt, dan is dit boek voor u bestemd: voor de beginnende elektronicus, voor de middelbare scholier, voor de hobbyist én voor iedereen die belangstelling voor de elektronica heeft. En dus voor iedereen die een korte, begrijpelijke en bovenal betaalbare inleiding tot dit interessante vakgebied wenst. Deze basiscursus maakt u vertrouwd met de analoge (laagfrequent-)techniek, letterlijk de basis van alle elektronica.



Basiscursus Microcontrollers

Auteur: Burkhard Kainka

Formaat: 14 x 21 cm, gebonden

Omvang: 232 pagina's, geïllustreerd

ISBN-10: 90-5381-178-8

ISBN-13: 978-90-5381-178-8

Prijs: € 19,50

Deze basiscursus microcontrollers wordt gecombineerd met het 89S8252 Flashboard dat eerder werd gepubliceerd in Elektuur. Daar blijft het in dit boek echter niet bij. Aan de hand van verschillende controllerschakelingen en meerdere programmeertalen wordt de techniek verduidelijkt. In totaal worden er drie controllers uit de 8051-familie gebruikt, van de kleine 89C2051 tot de AN2131 voor USB-toepassingen. De programmeerhulpmiddelen variëren van assemblers, via Basic-52 en BASCOM-51 tot verschillende C-compilers. In de loop van het boek krijgt de lezer steeds meer vaardigheid om eigen ideeën naar een microcontroller schakeling om te zetten. Alle voorbeeldprogramma's zijn te vinden op de website van de auteur. Dat heeft als bijkomend voordeel dat steeds de meest actuele versie beschikbaar is.



Belichtingstechniek voor podium en disco

Auteur: Michael Ebner

Formaat: 17 x 23,5 cm, gebonden

Omvang: 268 pagina's, geïllustreerd

ISBN-10: 90-5381-141-9

ISBN-13: 978-90-5381-141-2

Prijs: € 37,50

In dit boek wordt uitvoerig ingegaan op zowel de belichtingsapparatuur als het gebruik van die apparatuur binnen het kader van artistiek belichtingswerk. Daarnaast komen ook enige randgebieden ter sprake, zoals een stukje sterkteleer voor belichtingsconstructies en een uiteenzetting over de wet- en regelgeving voor openlucht- en theaterevenementen. Op de CD-ROM bij dit boek vindt u een complete versie van het programma "ProRigg light", waarmee de (vereiste) sterkte van een truss-constructie kan worden berekend. Daarnaast bevat de CD-ROM het zeer veelzijdige (shareware) lichtbesturingsprogramma

6.6 Elektronica boeken van Uitgeverij Segment (Elektuur)

ma "LightControl Mini", waarmee complete presentaties en voorstellingen geprogrammeerd kunnen worden uitgelicht.



Besturen via internet

Auteur: Jörg Ochs

Formaat: 17 x 23,5 cm, gebonden

Omvang: 160 pagina's, geïllustreerd

ISBN-10: 90-5381-148-6

ISBN-13: 978-90-5381-148-1

Prijs: € 21,85

Via internet heeft u de mogelijkheid om huis en haard vanaf waar dan ook ter wereld in de gaten te kunnen houden of te besturen. Daarvoor heeft u een server nodig (een afgedankte PC of een speciaal voor dit doel aangeschafte mini-PC) plus een bescheiden hoeveelheid software. Daarmee wordt de mogelijkheid geschapen vanaf elke plek ter wereld (vooropgesteld dat er een PC met internetaansluiting beschikbaar is) thuis de verlichting in en uit te schakelen, de verwarming in te stellen en talloze andere zaken te regelen. Dit boek vertelt hoe u dit soort zaken in beginsel aanpakt. De auteur beschrijft het internet en de mogelijkheden die het biedt, alsmede de vereiste infrastructuur en de noodzakelijke hard- en software om een internet-automatiseringsproject te realiseren. De diverse aspecten worden daarbij met voldoende diepgang voor een goed begrip van de materie en een gedegen eerste kennismaking met de internet-automatisering besproken.



Bliksemafleiders plannen en installeren

Auteur: Hans-Joachim Geist

Formaat: 14 x 21 cm, gebonden

Omvang: 152 pagina's, geïllustreerd

ISBN-10: 90-5381-174-5

ISBN-13: 978-90-5381-174-0

Prijs: € 17,50

Nog steeds bestaan er allerlei volkswijsheden die voorschrijven wat je bij onweer wel en niet mag doen. Wat hierbij zin en onzin is, lees je in het eerste deel. Daarin ook het nodige over onweer-meteorologie en de verschillende vormen van onweer. Het tweede deel gaat over bliksemafleiding. Daarmee worden de maatregelen bedoeld die een gebouw beschermen tegen de gevolgen van een blikseminslag. Aan de hand van vele voorbeelden, tekeningen en foto's wordt de werking van bliksemafleiders verduidelijkt. Gewapend met deze kennis is het mogelijk om zelf een bliksemafleider aan te leggen of tenminste bij de planning competent mee te kunnen praten. Daarnaast bevat dit boek vele tips alsook (internet-)adressen van fabrikanten en leveranciers, die zich in algemene zin of zeer specifiek met dit thema bezig houden.



Buizenversterkers

Auteur: Rainer zur Linde

Formaat: 17 x 23,5 cm, gebonden

Omvang: 240 pagina's, geïllustreerd

ISBN-10: 90-5381-124-9

ISBN-13: 978-90-5381-124-5

Prijs: € 29,50

Buizenversterkers mogen zich verheugen in een warme belangstelling. Vrijwel elk belangrijk HiFi-merk biedt een topversterker met buizen aan. Rainer zur Linde houdt zich al jaren met buizenversterkers bezig en geeft zijn kennis in dit boek aan de lezer door. Aan de hand van een aantal klassieke ontwerpen wordt aangegeven waar verbeteringen kunnen worden aangebracht en waarmee rekening moet worden gehouden bij het vervan-

6.6 Elektronica boeken van Uitgeverij Segment (Elektuur)

gen van buizen. Zowel theorie als praktijk komen uitvoerig aan bod, daarmee wordt dit specialisme voor iedereen toegankelijk. Een schemaverzameling en een symptoom/diagnoselijst completeren dit boek.



Compendium Elektrotechniek En Elektronica

Auteurs: Sjoerd Op 't Land e.a.

Formaat: 10 x 15 cm, gebonden

Omvang: 623 pagina's, geïllustreerd

ISBN-10: 90-5381-200-8

ISBN-13: 978-90-5381-200-6

Prijs: € 34,50

Dit boek is samengesteld door studenten en docenten van de Universiteit Twente. In het boek komen zowel theorie als praktijk aan bod. In het theoretische deel komen wiskunde, informatica, fysica, meettechniek, signaal- en systeemtheorie en elektronica aan de orde. Het praktische deel is onderverdeeld in de hoofdstukken componenten, audio/video en voedingen. Het is een verzameling informatie die regelmatig van pas komt voor iedereen die met elektrotechniek te maken heeft. Van pinouts van stekkers en IC's tot kleurcodes van weerstanden en schemas van spanningsregelaars.



Computerbestuurd waterleidingsysteem

Auteur: Ralf Pagel

Formaat: 17 x 23,5 cm, gebonden

Omvang: 180 pagina's, geïllustreerd

ISBN-10: 90-5381-109-5

ISBN-13: 978-90-5381-109-2

Prijs: € 34,50

Dit boek beschrijft drie regenwaterleidingsystemen van verschillende complexiteit. Het zwaartepunt ligt daarbij op de vele technische aspecten, die niet in een specifiek vakgebied zijn onder te brengen. Alle relevante thema's, van graafwerkzaamheden via leidinginstallatie tot microcontroller besturing, worden op overzichtelijke wijze behandeld. Hierbij wordt de lezer duidelijk getoond welke zaken belangrijk zijn. Het boek wordt afgerond met de beschrijving van een analoge en een microcontroller besturing voor een regenwaterleidingsysteem. Lezers met voldoende vakkennis kunnen de beschreven installaties nabouwen, voor anderen kan het een kennismaking met deze techniek zijn of een hulpmiddel bij de beoordeling van offertes.



De I²C-bus

Auteur: G. H. K. Dam

Formaat: 17 x 23,5 cm, gebonden

Omvang: 192 pagina's, geïllustreerd

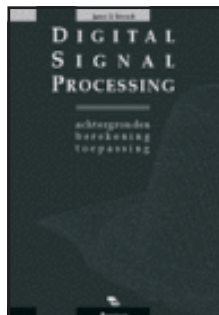
ISBN-10: 90-5381-143-5

ISBN-13: 978-90-5381-143-6

Prijs: € 29,50

De Inter-IC-bus vormt al jaren dé verbindingsschakel tussen IC's. Met de juiste software voor de besturing, de CD-ROM bij dit boek staat er vol mee, en vaak een heel klein beetje hardware zijn dan leuke dingen te doen. Het grote aantal kant-en-klare projecten in dit boek met, in vrijwel alle gevallen, de bijbehorende software en printontwerpen op de CD-ROM, leveren voldoende mogelijkheden alle finesses van deze bus te exploreren. De resterende gegevens op de CD-ROM, specificaties en datasheets, vormen daarnaast een solide basis om ook eigen ontwerpen te kunnen realiseren.

6.6 Elektronica boeken van Uitgeverij Segment (Elektuur)



Digital Signal Processing

Auteur: James D. Broesch

Formaat: 17 x 23,5 cm, gebonden

Omvang: 180 pagina's, geïllustreerd

ISBN-10: 90-5381-095-1

ISBN-13: 978-90-5381-095-8

Prijs: € 36,50

Dit boek breekt het ingewikkelde onderwerp DSP in gemakkelijk te begrijpen delen en geeft vanzelfsprekende, praktische uitleg van de belangrijkste begrippen. Bovendien zorgt de bijgeleverde "DSP Calculator" software voor dynamische demonstraties van de geleerde begrippen uit de tekst. Het is een virtueel laboratorium om met basis-DSP te experimenteren. Binnen de kortste keren ontwerpt u digitale filters! Wat u uit dit boek leert: een duidelijk model van een algemeen DSP-systeem, de wiskunde achter DSP-ontwerpen, de principes van periodieke bemonstering, een heldere inleiding tot de discrete Fourier transformatie, Fast Fourier transformatie en andere belangrijke hulpmiddelen, uitgebreide informatie over de belangrijke FIR en IIR digitale filters, een praktische en informatieve uitleg over bundeling en het gebruik ervan, toepassingen, aanwijzingen.



Digitale satellietssystemen plannen en zelf installeren

Auteur: Hans-Joachim Geist

Formaat: 14 x 21 cm, gebonden

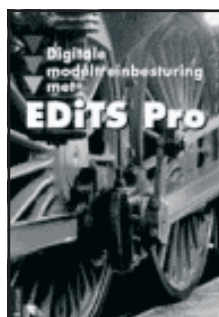
Omvang: 160 pagina's, geïllustreerd

ISBN-10: 90-5381-166-4

ISBN-13: 978-90-5381-166-5

Prijs: € 17,50

Satelliettelevisie is aantrekkelijk! En het wordt nog aantrekkelijker als u het steeds duurder wordende kabelabonnement kunt opzeggen en u de kosten van de installatie van een digitaal ontvangstsysteem kunt besparen. Dit boek wijst de weg voor de doe-het-zelver. Dit boek is bedoeld voor iedereen die zelf een ontvangstsysteem voor digitale satelliettelevisie wil installeren of een bestaande analoge installatie geschikt wil maken voor digitale ontvangst. Ook wanneer uw digitale ontvangstsysteem niet of niet meer goed werkt, kan dit boek u verder helpen. Naast de vele tips worden in deze praktijkgids alle gangbare systeemcombinaties voorgesteld en door middel van uitvoerige illustraties verduidelijkt. Stap voor stap wordt de opzet van een satelliet-ontvangstsysteem verklaard en de vele kneepjes van het vak helpen u tijd en geld te besparen.



EDiTS Pro digitale modeltreinbesturing

Auteur: Steffen van de Vries

Formaat: 17,5 x 23,5 cm, gebonden

Omvang: 252 pagina's, geïllustreerd

ISBN-10: 90-5381-132-X

ISBN-13: 978-90-5381-132-0

Prijs: € 29,50

Met de ontwikkeling van EDiTS Pro heeft het digitale treinbesturingssysteem EDITS een waardige opvolger gekregen. Een compleet nieuw hardware-ontwerp voor de controller in combinatie met zeer gebruiksvriendelijke controllersoftware maken nu echte modeltreindienstleiding mogelijk. Een demoversie vindt u op de CD-ROM bij dit boek. Dankzij de toepassing van microcontrollers kunnen met minder onderdelen een hogere betrouwbaarheid en complexere functies worden gerealiseerd. Ook het nabouwen wordt hierdoor aanzienlijk vereenvoudigd. Compatibiliteit stond ook bij de ontwikkeling van EDiTS Pro voorop. Naast de EDITS-wisseldecoder, -seindecoder, -retourmodule en -booster, werken ook de meeste Märklin-modules goed met EDiTS Pro samen. EDiTS Pro onder-

6.6 Elektronica boeken van Uitgeverij Segment (Elektuur)

steunt zowel het oude als het nieuwe Motorola-formaat, zodat besturing van de moderne 4-functie-locdecoders geen enkel probleem is. Verder bevat dit boek zeer veel tips en informatie over het gebruik van bestaande "Digital-"componenten binnen EDiTS Pro, compleet met uitgewerkte baanvoorbeelden en een uitgebreid aanhangsel met technische informatie.



Elektrische apparatuur in huis

Auteur: Hans-Joachim Geist
Formaat: 14 x 21 cm, gebonden
Omvang: 165 pagina's, geïllustreerd
ISBN-10: 90-5381-122-2
ISBN-13: 978-90-5381-122-1
Prijs: € 17,50

Dit boek beschrijft hoe elektrische apparatuur, met inachtneming van de voorschriften, veilig gerepareerd en getest kan worden. Aan de hand van een groot aantal voorbeelden, illustraties en tekeningen geeft de auteur inzicht in de werking van elektrische apparaten. Want alleen als u weet en begrijpt hoe een apparaat werkt, kunt u het repareren. Vervolgens wordt de reparatie aanpak van elektromotor tot wasmachine met behulp van systematische foutzoekmethoden en reparatierecepten beschreven. Dit gebeurt in de vorm van vele tips en adviezen voor het repareren van zowel kleine als grote huishoudelijke apparaten en er wordt aangegeven welke fouten vaak voorkomen en hoe ze vermeden kunnen worden.



Elektronica echt niet moeilijk 1,2,3

Auteur: A. Schommers
Formaat: 14 x 21 cm, gebonden
Omvang: 619 pagina's, geïllustreerd
ISBN-10: 90-5381-028-5
ISBN-13: 978-90-5381-028-6
Prijs: € 37,50

In deze 3-in-1-band wordt de elektronica vanuit de praktijk benaderd. Dat wil zeggen veel praktijk in de vorm van experimenten en een minimum aan theorie. Zo raakt u stap voor stap vertrouwd met de behandelde onderwerpen. Daarbij ontstaan gaandeweg ook een flink aantal praktisch bruikbare schakelingen. Het gaat bij de elektronica hobby tenslotte om het bouwen of uitdenken van allerlei praktische of leuke schakelingen. Aan het eind van elk deel is een aanhangsel opgenomen met aanvullende informatie en de gegevens van een groot aantal elektronische componenten, zodat u na dit boek ook eigen ideeën en experimenten kunt aanpakken.

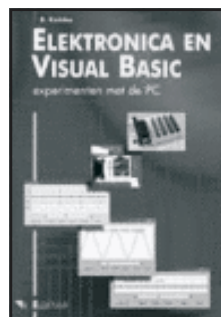


Elektronica echt niet moeilijk 4

Auteur: A. Schommers
Formaat: 14 x 21 cm, gebonden
Omvang: 240 pagina's, geïllustreerd
ISBN-10: 90-5381-015-3
ISBN-13: 978-90-5381-015-6
Prijs: € 17,50

In dit vierde deel onthult de schrijver u de geheimen van de opto-elektronica, vanaf de grondbeginselen tot moderne toepassingen in bijvoorbeeld de computertechniek. Via experimenten wordt u stap na stap vertrouwd gemaakt met de opto-elektronica. Daarbij ontstaan gaandeweg ook een flink aantal praktisch bruikbare schakelingen. Aan het eind van het boek zijn de gegevens van een aantal opto-elektronische componenten opgenomen, zodat ook de nodige informatie beschikbaar is voor eigen ideeën en experimenten.

6.6 Elektronica boeken van Uitgeverij Segment (Elektuur)



Elektronica en Visual Basic: experimenten met de PC

Auteur: Burkhard Kainka
Formaat: 14 x 21 cm, gebonden
Omvang: 188 pagina's, geïllustreerd
ISBN-10: 90-5381-147-8
ISBN-13: 978-90-5381-147-4
Prijs: € 27,50

In dit boek vindt u een aantal experimenten met de seriële interface, die zowel de elektronische mogelijkheden als de aanpak van de programmering treffend illustreren. Alle experimenten worden mede door eenvoudige Visual Basic programma's gerealiseerd. Enige voorbeelden: meten van grootheden als tijd, licht, temperatuur en spanning, AD-omzetter met één transistor, voltmeter, grafische weergave van meetresultaten, logic analyser, null-modem verbinding, gegevensoverdracht door middel van licht. Het boek gaat ook dieper in op het programmeren van Windows. Er wordt getoond hoe API-aanroepen direct met behulp van Visual Basic kunnen worden uitgevoerd. Bovendien wordt beschreven hoe een nieuwe DLL voor de seriële poort in Delphi 4 kan worden opgezet. De bij dit boek geleverde CD-ROM bevat alle voorbeeldprogramma's en de broncode van de DLL's.



Elektronica Kunst & Kunde, 1: Analoge technieken

Auteurs: P. Horowitz & W. Hill
Formaat: 17 x 23,5 cm, gebonden
Omvang: 547 pagina's, geïllustreerd
ISBN-10: 90-5381-064-1
ISBN-13: 978-90-5381-064-4
Prijs: € 44,50

In dit eerste deel van deze serie onder meer de volgende onderwerpen: nuttige deelschakelingen zoals spanningsvolgers, schakelaars, stroombronnen, stroomspiegels, verschilversterkers, balans- en cascode-configuraties JFET's en MOSFET's, FET's versus bipolaire ontwerpen, ESD, FET-versterkerschakelingen, analoge schakelaars, actieve gelijkrichters, logaritmische converters, piekdetectoren, diëlektrische absorptie, enkelzijdig gevoede opamp's, opamp's met FET-ingangen, actieve filters, filters met constante Q of constante bandbreedte, filters met geschakelde condensatoren, laagdoorlaatfilters zonder offset, met één potmeter afstembare notchfilters, oscillatoren, discrete en geïntegreerde spanningsregelaars, veilig werkgebied, thermische weerstand en koeling, schakelende voedingen, "crowbar"-schakelingen, lineaire precisie-ontwerpen, autonul-ling-versterkers, scheidingsversterkers, ruisgeneratoren, meettechnieken, ruissarme ontwerp-technieken, afscherming en aarding.



Elektronica Kunst & Kunde, 2: Microcomputers, digitale technieken en hoogfrequenttechniek

Auteurs: P. Horowitz & W. Hill
Formaat: 17 x 23,5 cm, gebonden
Omvang: 575 pagina's, geïllustreerd
ISBN-10: 90-5381-065-X
ISBN-13: 978-90-5381-065-1
Prijs: € 44,50

In dit tweede deel aandacht voor onder meer de volgende onderwerpen: phase-locked loop schakelingen, opto-elektronica, busschakelingen, capacitieve belasting, bekabeling, interfacing, timing, naaldpulsen, klokvertraging, monostabiele multivibratoren, de IBM-PC en de Intel-familie, RS232-kabels, seriële poorten, ASCII, modems, SCSI, IPI, GPIB, parallelle poorten, local-area-networks, de 68000 microprocessorfamilie, perifere

6.6 Elektronica boeken van Uitgeverij Segment (Elektuur)

LSI-chips, geheugen, programmeerbare instrumenten, prototyping, het ontwerpen van printplaten, wire-wrap-technieken, CAD/CAM technieken, de bouw van schakelingen, HF-modules, vereenvoudigd ontwerp van HF-versterkers en high-speed schakelaars, batterijen, accu's en zonnecellen, micropower-regelaars, op-amp's en microprocessoren, methoden om de bandbreedte te beperken, middeling.



Elektronica Kunst & Kunde, 3: Praktijkboek bij deel 1

Auteurs: P. Horowitz & T. C. Hayes

Formaat: 17 x 23,5 cm, gebonden

Omvang: 443 pagina's, geïllustreerd

ISBN-10: 90-5381-078-1

ISBN-13: 978-90-5381-078-1

Prijs: € 44,50

In dit derde deel wordt door middel van elf lessen en practica de in deel 1 beschreven theorie verder uitgediept. Enerzijds levert dit handboek met elf praktijkproeven het materiaal voor een semesterlange cursus analoge elektronica. Anderzijds vormt het een gedegen aanvulling op een aantal geselecteerde onderwerpen uit deel 1. In lessen wordt een aantal onderwerpen uit het theorieboek nader uiteengezet. Voorbeelden en uitleg aan de hand van analogieën met een groot aantal figuren bevorderen de toegankelijkheid van de stof. Verder biedt dit handboek bij elk hoofdstuk korte samenvattingen van de inhoud en, voor de lezer die nog niet zo vertrouwd is met dit vak, een verklarend overzicht van het gebruikte jargon en de vaktermen.



Elektronica Kunst & Kunde, 4: Praktijkboek bij deel 2

Auteurs: P. Horowitz & T. C. Hayes

Formaat: 17 x 23,5 cm, gebonden

Omvang: 443 pagina's, geïllustreerd

ISBN-10: 90-5381-079-X

ISBN-13: 978-90-5381-079-8

Prijs: € 44,50

Dit handboek komt aan twee wensen van de lezers van Elektronica, Kunst & Kunde 2 (het theorieboek) tegemoet. Enerzijds levert dit handboek met elf praktijkproeven het materiaal voor een semesterlange cursus digitale elektronica. Anderzijds vormt het een gedegen aanvulling op een aantal geselecteerde onderwerpen uit deel 2. Met name worden kwesties behandeld die belangrijk zijn wanneer u voor de eerste keer met het onderwerp in aanraking komt. De meeste lessen worden gevolgd door een uitgewerkt voorbeeld. Daarin wordt niet alleen een oplossing voor een bepaald probleem aangeboden maar tevens een procedure om het type probleem aan te pakken.



Elektronica Kunst & Kunde, 5: Uitwerkingen bij de opgaven en experimenten uit deel 1 en 3

Auteur: Michael Herzogenrath

Formaat: 17 x 23,5 cm, gebonden

Omvang: 254 pagina's, geïllustreerd

ISBN-10: 90-5381-119-2

ISBN-13: 978-90-5381-119-1

Prijs: € 24,50

Dit boek bevat de uitwerkingen van de opgaven en experimenten uit de delen 1 en 3 van de serie "Elektronica, Kunst & Kunde". De schrijver gaat aanzienlijk verder dan een simpele opsomming van de antwoorden. Ook de wijze(n) waarop naar een oplossing kan worden toegewerkt wordt gepresenteerd. Zo wordt de toch al hoge kwaliteit van het in deze serie geboden studiemateriaal, zeker bij zelfstudie, nog verder verbeterd. Daarmee

6.6 Elektronica boeken van Uitgeverij Segment (Elektuur)

wordt de analoge techniek uit deze serie op gepaste wijze afgerond.



Elektronica voor theatertechnici

Auteur: Michael Ebner

Formaat: 17 x 23,5 cm, gebonden

Omvang: 240 pagina's, geïllustreerd

ISBN-10: 90-5381-180-X

ISBN-13: 978-90-5381-180-1

Prijs: € 23,50

Dit boek vormt een gids door elektronica-land voor de theatertechnicus en reikt de vereiste basiskennis aan van onderdelen (weerstand, condensatoren, dioden, transistoren, operationele versterkers, geïntegreerde schakelingen, enzovoort) en apparatuur (mengpanelen, vermogensversterkers, (wissel)filters, limiters, dimmers). Alle schema- en rekenvoorbeelden zijn afkomstig uit of verwant aan de theatertechniek. Dit boek stelt de lezer in staat om schema's van analoge laagfrequent-apparatuur te lezen en (in grote lijnen) te begrijpen, eventuele defecten in die apparaten op te sporen en te verhelpen, aan de hand van een reeks praktische tips zelf eenvoudige schakelingen te ontwerpen en levert daarmee een belangrijke bijdrage aan de vakkennis van de theatertechnicus.



EMC en productontwikkeling: voldoen aan de Europese EMC-richtlijn

Auteur: T. Williams

Formaat: 17 x 23,5 cm, gebonden

Omvang: 320 pagina's, geïllustreerd

ISBN-10: 90-5381-107-9

ISBN-13: 978-90-5381-107-8

Prijs: € 41,95

Deze Nederlandse editie is gebaseerd op de geactualiseerde tweede editie van "EMC for product designers". De auteur beschrijft de toepassing van EMC-ontwerptechnieken bij de ontwikkeling van producten. Er wordt uitgebreid aandacht besteed aan genormeerde test- en meetmethoden, de layout van grote systemen, aarde en massa, layout en afsluiting van de bekabeling en de specificaties van componenten. De inhoud van dit boek samengevat in trefwoorden: Wat is EMC?, normen, EMC-metingen, interferentie en koppeling, layout en massa, digitale en analoge ontwerptechnieken, interfaces, filteren en afschermen, EMC en management, ontwerp-checklist, CAD voor EMC en tabellen en formules.



Essenties van de hoogfrequent-elektronica

Auteur: Jon B. Hagen

Formaat: 17 x 23,5 cm, gebonden

Formaat: 360 pagina's, geïllustreerd

ISBN-10: 90-5381-093-5

ISBN-13: 978-90-5381-093-4

Prijs: € 39,50

Dit uiterst toegankelijke en veelomvattende boek biedt een inleiding in de basisconcepten en -schakelingen van hoogfrequente systemen, waarbij aandacht wordt besteed aan de fundamentele principes die voor alle radiosystemen gelden, variërend van geïntegreerde data-transceivers tot grootvermogen omroepzenders. Aan de orde komen onder andere: filters, versterkers, oscillatoren, aanpassingsnetwerken, modulators, ruisarme versterkers, PLL-schakelingen, transmissielijnen en transformatoren. Bij de behandeling van elk onderwerp wordt de nadruk gelegd op fysische inzichtelijkheid, zonder dat daarbij een strikte analyse uit het oog wordt verloren. Toepassingen van hoogfrequent systemen

6.6 Elektronica boeken van Uitgeverij Segment (Elektuur)

worden beschreven op gebieden als communicatie, radio- en televisie-omroep, radar en radio-astronomie. Het boek telt talloze opgaven en veronderstelt slechts een elementaire kennis van elektronica en analysemethoden.



Frequentietabellen 2004/2005 voor scanners

Auteur: Jan Völkers

Formaat: 17 x 23,5 cm, gebonden

Omvang: 420 pagina's, geïllustreerd

ISBN-10: 90-5381-173-7

ISBN-13: 978-90-5381-173-3

Prijs: € 27,50

Al bijna 25 jaar beleven de scannerluisteraars veel plezier aan hun scanner-hobby dankzij de uitvoerige frequentietabellen in dit boek. Hier staan alle actuele frequenties van instanties en bedrijven die via de ether met elkaar communiceren, zeer overzichtelijk en keurig gesorteerd bij elkaar. Omdat frequenties waarop de verschillende instanties met elkaar communiceren aan verandering onderhevig zijn, bevat deze editie 2004/2005 geheel bijgewerkte en uitgebreide informatie. Waar nodig werd de rubricering aangepast aan de laatste ontwikkelingen. Nog meer hoofdstukken hebben nu een uitvoerige inleiding met relevante informatie. Daarnaast is een appendix toegevoegd met informatie over de stand van zaken rond het Trunking-netwerk C2000.



Frequentietabellen 2006/2007 voor scanners

Auteur: Johan Beck

Formaat: 17 x 23,5 cm, gebonden

Omvang: 208 pagina's, geïllustreerd

ISBN-10: 90-5381-197-4

ISBN-13: 978-90-5381-197-9

Prijs: € 24,50

Omdat frequenties waarop de verschillende instanties met elkaar communiceren aan verandering onderhevig zijn, bevat ook deze editie 2006-2007 weer geheel bijgewerkte en uitgebreide informatie. De nieuwe auteur Johan Beck heeft, nu het C2000-netwerk voor hulpdiensten is ingevoerd, een aantal nieuwe interessante items toegevoegd. Nieuw is bijvoorbeeld het landelijk trunkingnet Entropia, de uitbreiding van de luchtvaartfrequenties en het hoofdstuk kerkradio. Verder in deze 19e druk bedrijfsbrandweer, medische en paramedische diensten, zendamateurs, scheepvaart, busbedrijven, spoorwegen, taxibedrijven, rijscholen, bewakingsdiensten, burger- en militaire luchtvaart, FM-omroepstations en voetbalstadions.



Gitaarelelektronica: sounds, versterkers en effecten

Auteur: Gerhard Haas

Formaat: 17 x 23,5 cm, gebonden

Omvang: 222 pagina's, geïllustreerd

ISBN-10: 90-5381-110-9

ISBN-13: 978-90-5381-110-8

Prijs: € 29,50

Dit boek vertelt enerzijds hoe een bepaalde sound ontstaat en levert anderzijds de informatie om een naar persoonlijke smaak samengestelde versterker te bouwen. De basis daarvoor is een modulair opgezet systeem, waaraan bovendien een aantal effectmodules kunnen worden toegevoegd. Nabouwen is dankzij onderdelen van hoge kwaliteit en uitgebreid geteste schakelingen gemakkelijk te doen. Gitaristen geven meestal de voorkeur aan buizenversterkers. De karakteristieke eigenschappen van elektronenbuizen zijn in hoge mate bepalend voor de sound. Een groot deel van de schakelingen in dit boek

6.6 Elektronica boeken van Uitgeverij Segment (Elektuur)

is dan ook voorzien van elektronenbuizen. Halfgeleiders vervullen daarbij vaak een ondersteunende taak.



Handboek PA-Techniek

Auteur: Michael Ebner

Formaat: 17 x 23,5 cm, gebonden

Omvang: 280 pagina's, geïllustreerd

ISBN-10: 90-5381-168-0

ISBN-13: 978-90-5381-168-9

Prijs: € 37,50

Het thema public address is in dit boek over verschillende onderwerpen verdeeld. Het eerste deel behandelt de basiskennis en verklaart begrippen uit de elektro-akoestiek, de gebruikelijke eenheden en de eigenschappen van geluid. Dan volgen de losse componenten in een PA-installatie: kabels, signaalbronnen, mengtafels, effectapparatuur, luidsprekers en boxen, eindtrappen en de monitorinstallatie. De grote verscheidenheid en de zeer uiteenlopende uitrusting van de beschreven apparatuur maakt dit hoofdstuk bijzonder interessant. De met dit hoofdstuk verworven kennis zal zijn nut bewijzen bij aankoopbeslissingen en ertoe bijdragen om miskopen te vermijden. Op de CD-ROM bij dit boek staat een aantal speciaal voor dit boek opgenomen WAV-bestanden met een demonstratie van verschillende effecten. Daarnaast bevat de CD-ROM het programma "Audiotester": een twee-kanaals FFT-analyser.



Het elektronica-boek zonder titel

Auteur: Peter van Beeck

Formaat: 17 x 23,5 cm, gebonden

Omvang: 472 pagina's, geïllustreerd

ISBN-10: 90-5381-158-3

ISBN-13: 978-90-5381-158-0

Prijs: € 29,50

Maak een boek over elektronica, maar niet te moeilijk en óók nog leuk. Het is dan ook een overvloedig boek geworden. Weliswaar zonder titel, maar verder met alle ingrediënten die een boek over elektronica interessant én leuk kunnen maken. Een greep uit de inhoud: transport van elektriciteit, vermogen en verbruik, laagfrequent wattmeter, condensatoren in de praktijk, capaciteitsmeter, de decibel, zenerdiode, zenerdiode-tester, koeling van halfgeleiders, transistor verkeerd, transistor- en FET-tester, de timer 555, 555-looplicht, CMOS onlogisch gebruikt, Ub- naar 2*Ub-converter, hoog- en laagdoorlaatfilters, fysiologische volumeregeling, luidsprekerkabel, luidspreker-impedantiemeter, foutzoeken in versterkers, elektromagnetische golven, warmte, licht en straling, VHF-ontvanger, Peltier-elementen.



In System Programmable: GAL's, CPLD's, PAL's

Auteur: Andreas Heppner

Formaat: 17 x 23,5 cm, gebonden

Omvang: 300 pagina's, geïllustreerd

ISBN-10: 90-5381-165-6

ISBN-13: 978-90-5381-165-8

Prijs: € 35,50

ISP staat voor "In System Programmable", een IC kan op de print worden geprogrammeerd. Daarbij worden digitale en analoge schakelingen als inwendige schakeling van een IC door middel van software opgebouwd én bedraad. Zelfs in ingesoldeerde toestand kan de inwendige schakeling van een digitaal of analogo IC volledig veranderd worden. Compleet opgebouwde elektronische apparatuur kan nu binnen de levensduur

6.6 Elektronica boeken van Uitgeverij Segment (Elektuur)

via in system programmeren opnieuw geconfigureerd, dus omgebouwd worden. Bij de analoge schakelingen worden daarbij vrijwel uitsluitend instrumentatieversterkers gebruikt. Het programmeren kan ook buiten de print in een gewone IC-socket plaatsvinden. Dit boek omvat een inleiding in de ISP-techniek. Daarbij wordt een aantal printen, inclusief layout en testprogramma's voorgesteld, waardoor het zeer eenvoudig wordt om met deze techniek aan de slag te gaan. Bij de meeste experimenten kan de oscilloscoop in de kast blijven. Op de CD-ROM bij dit boek vindt u de ontwerpvoorbeelden en testprogramma's, de printlayouts, alle noodzakelijke software en een ruime sortering datasheets en application notes. De software is zowel voor digitale IC's met schakelingen van gemiddelde afmetingen, als voor analoge IC's kosteloos. De ontwikkeling die meer dan twintig jaar geleden met de PAL-IC's begon, wordt met de ISP-technologie voorlopig afgerond.



Inbraak-alarmsystemen met succes geïnstalleerd

Auteur: Hans-Joachim Geist

Formaat: 14 x 21 cm, gebonden

Omvang: 165 pagina's, geïllustreerd

ISBN-10: 90-5381-123-0

ISBN-13: 978-90-5381-123-8

Prijs: € 16,25

Wie huis en haard wil beschermen zal bijtijds de juiste beveiligingsmaatregelen moeten treffen. Vaak zijn alleen uitgekiende technische beveiligingsmaatregelen opgewassen tegen de moderne inbraakmethodes. Dit boek gaat uitvoerig in op de theorie en praktijk van de hedendaagse beveiligingstechniek. Aan de hand van een groot aantal voorbeelden, illustraties en tekeningen worden planning, uitvoering en inbedrijfstelling van moderne beveiligingsinstallaties beschreven. Verder wordt er een aantal goed doordachte beveiligingsconcepten voorgesteld, die de lezer als uitgangspunt voor zijn eigen situatie kan gebruiken. Een en ander wordt beschreven met de eisen die door verzekeringsmaatschappijen worden gesteld als uitgangspunt. Ook wanneer u uw waardevolle bezittingen niet wilt verzekeren, bereikt u door te voldoen aan deze, op een langdurige ervaring gebaseerde eisen, een effectieve beveiliging. Dankzij de gedetailleerde illustraties en uitvoerige, met vele tips en adviezen gelardeerde beschrijvingen, verkrijgt u de kennis die voor het installeren van een modern inbraakalarmsysteem nodig is.



Infrarood Datatransmissie

Auteur: Frank Wohlrabe

Formaat: 17 x 23,5 cm, gebonden

Omvang: 296 pagina's, geïllustreerd

ISBN-10: 90-5381-152-4

ISBN-13: 978-90-5381-152-8

Prijs: € 29,50

IR-techniek lijkt op het eerste gezicht simpel, maar tóch zitten er complete ontwerpfilosofieën achter IR-datatransmissie. Hoewel een IR-afstandsbediening ogenschijnlijk een simpel ding is, hebben we hierbij wel te maken met een apparaatje met een eigen transmissieprotocol. Foutcorrectiesystemen moeten daarbij garanderen dat het uitgezonden signaal aan de ontvangstzijde ook juist geïnterpreteerd kan worden. Met opzet wordt hier in meervoud geschreven, want zoals zo vaak in elektronicaland, zijn er ook op IR-gebied veel dingen parallel ontwikkeld. Het gevolg is dat de opbouw van het IR-signaal meestal van merk tot merk verschilt. Japan heeft een eigen norm, Philips heeft een eigen norm en zo zijn er nog een aantal te noemen. Dat alles maakt het er voor een ontwerper niet gemakkelijker op. Dit boek geeft een overzichtelijk beeld van de betreffende chaos in IR-land. Ook op het gebied van software wordt het nodige aan informatie gegeven. De auteur beschrijft een aantal beproefde algorithmen, zodat u kunt putten uit een solide basis voor uw eigen ontwerpen.

6.6 Elektronica boeken van Uitgeverij Segment (Elektuur)



Kleine zenders voor zelfbouw, ontwerpen voor de experimenterende electronicus

Auteurs: Rudolf F. Graf & William Sheets

Formaat: 17 x 23,5 cm, gebonden

Omvang: 312 pagina's, geïllustreerd

ISBN-10: 90-5381-167-2

ISBN-13: 978-90-5381-167-2

Prijs: € 38,50

Dit boek beschrijft de werking en bouw van twintig audio- en videozenders. Daarmee biedt het aan de amateur elektronicus, technicus, zendamateur en andere radio enthousiasten het noodzakelijke materiaal om zich verder te bekwamen op dit gebied. De zenders, sommige eenvoudig, andere meer gecompliceerd, werden speciaal ontworpen voor het gebruik door amateurs. Ze werken tussen 150 kHz en 1.300 MHz. De technieken hebben zich inmiddels bewezen en er worden eenvoudige, goedkope en nog steeds goed verkrijgbare onderdelen gebruikt. De schakelingen zijn probleemloos na te bouwen. Om dat te bereiken hebben de auteurs veel aandacht besteed aan de testprocedures voor elke schakeling, de onderdelenlijst, instructies voor het vervaardigen van de spoelen en voor de afregeling. Bij de meeste schakelingen is bovendien een printontwerp afgedrukt.



Lasers in theorie en praktijk

Auteur: Dirk R. Baur

Formaat: 17 x 23,5 cm, gebonden

Omvang: 232 pagina's, geïllustreerd

ISBN-10: 90-5381-069-2

ISBN-13: 978-90-5381-069-9

Prijs: € 33,55

Als het gaat over het zelf toepassen van een laser, lopen veel mensen er in een grote boog omheen. Om de laser en zijn toepassingen ook van dit laatste stukje mystiek te ontdoen, behandelt dit boek in twee delen hoe lasers werken en een aantal praktische schakelingen en experimenten. Zo komen in het eerste deel thema's als lasertypes, lasermodes, golf lengtes, choppen en scannen en een aantal toepassingsvoorbeelden aan de orde. Het tweede deel houdt zich vervolgens bezig met de praktijk. Hierbij worden zaken als een alarmsysteem, afstandsmeter, seismograaf, impulsteller en opto-ontvanger beschreven. Een aantal van deze schakelingen kan als module in een groter ontwerp worden toegepast. Verder leveren de vele tips en trucs uit de praktijk en het laatste hoofdstuk met belangrijke informatie over speciale lasercomponenten, de resterende ingrediënten voor een helder totaalbeeld van de lasertechniek.



Luidsprekerkasten ontwerpen

Auteur: Vance Dickason

Formaat: 17 x 23,5 cm, gebonden

Omvang: 398 pagina's, geïllustreerd

ISBN-10: 90-5381-137-0

ISBN-13: 978-90-5381-137-5

Prijs: € 37,50

Dit boek levert de kennis en de methodes om een kastontwerp via computersimulatie en meettechnieken optimaal te ontwerpen. Beschreven wordt niet alleen hoe u op eenvoudige wijze precies de juiste componenten en behuizingen kiest en het systeem op oogstrelende wijze afwerkt, maar ook hoe u uw favoriete muziek op de juiste manier naar uw zelfgebouwde, letterlijk luisterrijke luidsprekersysteem stuurt. Centraal staat daarbij het gebruik van Thiele/Small-parameters, waarmee het gedrag van een luidsprekerchassis

6.6 Elektronica boeken van Uitgeverij Segment (Elektuur)

eenduidig kan worden beschreven. Nabouwwriendelijke, hoogwaardige ontwerpen, gemakkelijke methoden om uw projecten zelf te testen en een zeer uitgebreid literatuur-overzicht! Tenslotte een geheel nieuw hoofdstuk. Hierin worden twee zelfbouwprojecten beschreven: een compleet home theater-systeem plus een zeer hoogwaardige studio-monitor.



Luidspreker-meettechniek

Auteur: J. D'Appolito

Formaat: 17 x 23,5 cm, gebonden

Omvang: 380 pagina's, geïllustreerd

ISBN-10: 90-5381-116-8

ISBN-13: 978-90-5381-116-0

Prijs: € 34,50

De technologie van luidsprekers heeft de afgelopen dertig jaar verbazingwekkende vooruitgang geboekt. Ondanks dat, zijn de methodes om de kwaliteiten van een luidspreker te meten niet erg goed beschreven. Dat wil zeggen, tot nu toe. Om deze meetmethodes goed over te kunnen brengen, presenteert de auteur in dit boek naast de noodzakelijke basiskennis een groot aantal voorbeelden en tests. De gevolgde meetprocedures kunt u ook zelf uitvoeren, zodat ook alle getoonde tussenresultaten op de voet kunnen worden gevolgd. Verder worden in het aanhangsel (meet-)microfoons en een meet-programma besproken, dat in combinatie met een conventionele PC-geluidskaart vrijwel alle professionele metingen mogelijk maakt.



Moderne High-End buizenversterkers

Auteur: Menno van der Veen

Formaat: 17 x 23,5 cm, gebonden

Omvang: 256 pagina's, geïllustreerd

ISBN-10: 90-5381-089-7

ISBN-13: 978-90-5381-089-7

Prijs: € 39,50

De combinatie van klassieke techniek met moderne componenten heeft geleid tot een ware revival van de buizenversterker. De toepassing van de in de afgelopen 15 jaar door de auteur ontwikkelde ringkern-uitgangstransformatoren heeft daar mede toe bijgedragen. Naast de beschrijving van schematuur en zelfbouw van eenvoudig na te bouwen moderne high-end buizenversterkers met een uitgangsvermogen van 10 W tot 100 W, worden bijzondere buizenversterkers met ringkerntransformatoren besproken: innovatieve oplossingen voor perfecte audiokwaliteit. Zowel de zelfbouwer als degene die kennis en inzicht wil verwerven in de complexe materie van transformatoren, buizenversterkers en audiosignaalverwerking zal dit boek met plezier ter hand nemen.



Modules voor studio- en PA-systemen

Auteur: G. Haus

Formaat: 17 x 23,5 cm, gebonden

Omvang: 256 pagina's, geïllustreerd

ISBN-10: 90-5381-066-8

ISBN-13: 978-90-5381-066-8

Prijs: € 34,50

Na een korte theoretische inleiding komt in dit boek een aantal ontwerpen aan de orde voor gebruik bij audiorecording, zaalversterking en PA-techniek. Apparatuur voor de consumenten is meestal niet geschikt voor professioneel gebruik of biedt niet de gewenste mogelijkheden en de professionele apparatuur is onbetaalbaar. Met de hier gepresenteerde ontwerpen is consumentenapparatuur echter uitstekend naar een professioneel

6.6 Elektronica boeken van Uitgeverij Segment (Elektuur)

niveau te tillen. De kwaliteit van de modules voldoet aan door diverse radio-omroepen gestelde eisen. Een greep uit de inhoud: aanpassings- en verdeelversterker, actief scheidingsfilter, microfoon/lijnversterker-module, equalizer-module, compacte modulaire mengtafel, symmetrische signaallijnen en meettechniek.



MRB: Meten, regelen en besturen met de PC

Auteur: Andreas Heppner

Formaat: 17 x 23,5 cm, gebonden

Omvang: 316 pagina's, geïllustreerd

ISBN-10: 90-5381-189-3

ISBN-13: 978-90-5381-189-4

Prijs: € 32,50

Dit boek is bedoeld voor scholieren en studenten, voor hobby-elektronici, geïnteresseerde technici en ingenieurs die zijdelings wel eens met elektronica te maken krijgen. Het biedt een handreiking bij de eerste kennismaking met de MRB-techniek, maar gaat tevens dieper in op het werken met deze techniek. Iedereen die in deze techniek geïnteresseerd is, kan daar ook mee omgaan. Voor de beginner is in hoofdstuk 1 van dit boek een datadisplay beschreven dat kan worden uitgebreid tot een systeem van computergestuurde verlichtingsschakelaars. Daarna worden diverse mogelijkheden voor de opbouw van een MRB-systeem beschreven, waarbij de lezer tegelijk kennis opdoet over de werking van de betreffende schakelingen. Hierna is de lezer in staat de juiste schakeling te ontwerpen voor zijn eigen, specifieke MRB-systeem.



Microfoons in theorie en praktijk

Auteur: Thomas Görne

Formaat: 17 x 23,5 cm, gebonden

Omvang: 304 pagina's, geïllustreerd

ISBN-10: 90-5381-059-5

ISBN-13: 978-90-5381-059-0

Prijs: € 29,50

Elke al dan niet digitale geluidsregistratie dankt haar aantrekkingskracht aan analoge geluidsomzetters. Aan microfoons dus, die het akoestische signaal in een elektrische spanning omzetten. Aan de hand van dit boek leert u de gegevens van fabrikanten kritisch te beoordelen, de voor de eigen toepassing meest geschikte microfoons uit te zoeken en deze ook volgens de regels der kunst te gebruiken. Eerst wordt ingegaan op de theoretische achtergronden, vervolgens komt de praktische omgang met microfoons aan de orde. Zowel het theoretische als het praktische deel van het boek zijn van uitvoerige voorbeelden en talloze afbeeldingen voorzien. Er zal dus vrijwel geen enkele vraag onbeantwoord blijven. In het aanhangsel is een aantal veel gebruikte formules samengevat. Dankzij een omvangrijk trefwoordenregister is dit boek tevens geschikt als praktisch naslagwerk.



Pascal voor de 8051-familie

Auteurs: O'Niel & A. V. Som

Formaat: 17 x 23,5 cm, gebonden

Omvang: 180 pagina's, geïllustreerd

ISBN-10: 90-5381-115-X

ISBN-13: 978-90-5381-115-3

Prijs: € 69,50

Microcontrollers uit de 8051-familie kunnen met de in dit boek beschreven software net zo gemakkelijk en snel worden geprogrammeerd als een PC. Het softwarepakket op de meegeleverde diskette bestaat uit een Pascal cross-compiler en assembler voor Win-

6.6 Elektronica boeken van Uitgeverij Segment (Elektuur)

dows 3.1/95/98, een uitgebreide 8031-simulator met onder andere directe toegang tot de belangrijkste SFR's en poorten via dialoogvensters respectievelijk een simpele muisklik en een gebruikersplatform met teksteditor. In de volgende fase kan het programma in de microcontrollerschakeling worden getest. De vereiste hardware-ontwikkeling kan tot een minimum worden beperkt indien de eveneens in dit boek beschreven 87C52 single-board-computer wordt toegepast.



PC-architectuur

Auteur: Michael B. Karbo

Formaat: 14 x 21 cm, gebonden

Omvang: 231 pagina's, geïllustreerd

ISBN-10: 90-5381-185-0

ISBN-13: 978-90-5381-185-6

Prijs: € 19,50

Dit boek geeft een diepgaande, samenhangende beschrijving van de hardware systeem-onderdelen van een PC. Zo worden onder andere zaken als de werking en taakstelling van processor, RAM, chipsets, BIOS, enz. uitvoerig beschreven. Op deze manier verkrijgt u een duidelijk en samenhangend beeld van de elementen die samen een PC vormen en de werking ervan. Bent u op zoek naar informatie om zelf een PC te kunnen bouwen of upgraden, of gewoon nieuwsgierig naar hoe de architectuur van een PC er uit ziet, dit boekje verschaft de gewenste schat aan informatie. Termen als PCI, DDR-RAM, north/south bridge of 2nd level cache hebben na het lezen van dit boek geen geheimen meer.



PC-netwerken van A tot Z

Auteur: Jes Nyhus

Formaat: 18,5 x 25,7 cm, gebonden

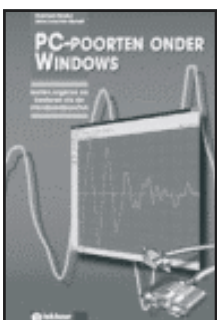
Omvang: 82 pagina's, geïllustreerd

ISBN-10: 90-5381-156-7

ISBN-13: 978-90-5381-156-6

Prijs: € 9,50

Een netwerk opzetten met uw computers thuis is een kwestie van beginnen. Welke netwerkkaarten, kabels, hubs en switches bestaan er en welke moet u kiezen? Welke protocollen en stuurprogramma's zijn er nodig en wat zijn dat eigenlijk? Netwerkbronnen (harddisks, printers, internetverbinding) kun u delen, maar hoe doet u dat? Vragen genoeg, deze compactcursus geeft de antwoorden. De inhoud omvat de volgende onderwerpen: netwerktypes, klassiek of fast, kabelsystemen, draadloze netwerken, automatisch of handmatig installeren, netwerkbronnen delen, verbindingen opzetten, het netwerk in de praktijk.



PC-poorten onder Windows

Auteurs: B. Kainka & H. J. Berndt

Formaat: 17 x 23,5 cm, gebonden

Omvang: 288 pagina's, geïllustreerd

ISBN-10: 90-5381-206-7

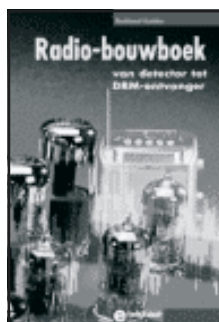
ISBN-13: 978-90-5381-206-8

Prijs: € 29,50

De standaardpoorten van een PC zijn voor veel meer zaken te gebruiken dan een printer, muis, modem of joystick. Was het bij een DOS-PC nog relatief eenvoudig om toegang te krijgen tot deze poorten, onder Windows is het niet bepaald gemakkelijk. Het is echter wél mogelijk en dit boek beschrijft hoe! Aan de orde komen besturingsschakelingen, meetapparatuur, analoog/digitaal-omzetters, geheugenoscilloscoop, I²C-toepassingen,

6.6 Elektronica boeken van Uitgeverij Segment (Elektuur)

meten met een geluidskaart, meten met een video-capture-kaart. Naast een nauwkeurige en praktijkgerichte beschrijving van de klassieke PC-aansluitingen beschrijven de auteurs de zelfbouw en de programmering van een aantal zeer interessante schakelingen, die allemaal op de standaardpoorten kunnen worden aangesloten.



Radio-bouwboek: van detector tot DRM-ontvanger

Auteur: Burkhard Kainka
Formaat: 14 x 21 cm, gebonden
Omvang: 232 pagina's, geïllustreerd
ISBN-10: 90-5381-209-1
ISBN-13: 978-90-5381-209-9
Prijs: € 29,50

De hoogfrequentietechniek is een van de gebieden waar u ook nu nog uw eigen ideeën relatief gemakkelijk in praktische schakelingen kunt vertalen. Op dit gebied is er veel dat niet kant-en-klaar gekocht kan worden. Detectorradio's zonder eigen energiebron, eenvoudige buizenontvangers met hun onmiskenbare en voor velen aangename klank, uw eerste experimenten met digitale omroep (DRM) of speciale amateurband-ontvangers, dat alles kan met relatief eenvoudige middelen worden gerealiseerd. Naast de aloude detectorontvanger zijn vooral buizenontvangers en de moderne digitale omroep DRM interessante onderwerpen en dan vooral wanneer u een krachtige DRM-buizenontvanger bouwt. Ook in dit boek speelt de PC (met speciale software) bij de afstemming van digitaal gestuurde kristaloscillatoren een doorslaggevende rol. De broncodes van de in dit boek besproken programmatuur zijn in het aanhangsel in hun geheel afgedrukt.



Robots zelf construeren

Auteur: H. W. Katzenmeier
Formaat: 17 x 23,5 cm, gebonden
Omvang: 232 pagina's, geïllustreerd
ISBN-10: 90-5381-183-4
ISBN-13: 978-90-5381-183-2
Prijs: € 24,50

Dit boek reikt de roboticus in spé de nodige basiskennis aan van mechanische constructies en elektronische systemen. Bovendien worden eenvoudige, gemakkelijk na te bouwen en goed functionerende systemen beschreven die de fantasie van de lezer zullen prikkelen en een bron van inspiratie zijn voor de eigen creativiteit. In dit boek worden niet alleen bouwbeschrijvingen van complete systemen gegeven, maar wordt ook een groot aantal modulaire componenten beschreven ten behoeve van aandrijving, voortbeweging, voeding en sensoren. De beschreven modules kunnen naar believen in eigen modellen worden ingebouwd waarbij aan de combinatiemogelijkheden geen grenzen zijn gesteld.



Schakelingen voor de buitenwereld

Auteur: G. H. K. Dam
Formaat: 17 x 23,5 cm, gebonden
Omvang: 229 pagina's, geïllustreerd
ISBN-10: 90-5381-140-0
ISBN-13: 978-90-5381-140-5
Prijs: € 29,50

Dit boek beschrijft hoe u een PC op de buitenwereld kunt laten reageren. De beschreven zelfbouwschakelingen worden op de standaard aanwezige PC-poorten (de parallelle printerpoort, de seriële poort of de USB-poort) aangesloten. Deze externe hardware, in combinatie met de software op de CD bij dit boek, tovert de PC om tot besturingscompu-

6.6 Elektronica boeken van Uitgeverij Segment (Elektuur)

ter of een compleet meet- of regelsysteem, zonder dat u bij wijze van spreken de motor-kap omhoog hoeft te doen. En omdat van de meeste programma's de broncode is mee-geleverd, hoeft u zich niet tot de hier beschreven voorbeeld-applicaties te beperken, maar kunt u met een beetje kennis van BASIC of een andere programmeertaal uw eigen toepassingen ontwikkelen. Een greep uit de inhoud: de PC als accucapaciteitsmeter, I/U-curves opmeten met de PC, A/D-omzetter voor de Centronics-interface, PC-gestuurde 32-kanaals dimmer, 8-kanaals input- en output-kaart, displaysturing via de COM-poort, temperatuurrecorder en datalogger, experimenten met de Universal Serial Bus, I²C-interface voor aansluiting op de printerpoort, RC5-codes via de computer, CAN-bus-interface, programmers voor PIC- en AVR-microcontrollers.



SCSI in detail

Auteur: Ulrich Weber

Formaat: 17 x 23,5 cm, gebonden

Omvang: 300 pagina's, geïllustreerd

ISBN-10: 90-5381-067-6

ISBN-13: 978-90-5381-067-5

Prijs: € 33,55

SCSI is een universele standaard voor het aansluiten van computerperiferie zoals harde schijven, CD-ROM-loopwerken, verwisselbare harddisks, tape-streamers, scanners en zelfs digitale fotocamera's. Wegens zijn veelzijdigheid en de voortreffelijke prestaties wordt SCSI bij professionele computers al lang toegepast en dringt deze standaard nu ook op de consumentenmarkt door. De auteur verschaft u de kennis om SCSI-randapparatuur optimaal in een computer te installeren en de prestatiemogelijkheden ten volle te benutten. De opbouw van de SCSI-bus, de commandostructuur inclusief berichten-sensecodes, de handshake, de afzonderlijke apparaatklassen evenals de verschillende standaarden worden in het theoriedeel van het boek uitvoerig besproken. Het praktijkgedeelte geeft hulp en raadgevingen bij: de configuratie van de bus, SCSI-kabels en kabellengtes, het SCSI-BIOS en de apparaatdrivers, software interfaces, SCSI-adapters, de verschillende busbreedtes en -timing, Plug & Play, de meest uiteenlopende SCSI-apparatuur, waarbij de nieuwste ontwikkelingen omtrent het modulair opgebouwde SCSI-3 ook vermeld worden. Een uitgebreide lijst met suggesties voor de oplossing van niet alledaagse problemen evenals een meegeleverde CD-ROM met drivers, utilities, programmeerhulpen, voorbeelden en een complete SCSI-2 specificatie ronden het boek af.



Theorie en praktijk van buizenversterkers

Auteur: Peter Dieleman

Formaat: 17 x 23,5 cm, gebonden

Omvang: 240 pagina's, geïllustreerd

ISBN-10: 90-5381-151-6

ISBN-13: 978-90-5381-151-1

Prijs: € 34,50

In dit boek is getracht alle, voor audiodoeleinden belangrijke, theoretische en praktische buizenkennis te bundelen. Uiteraard wordt, voor die delen die niet in de signaalweg zitten, gewoon gebruik gemaakt van de moderne middelen, zoals transistoren en IC's. Ook worden hoofdzakelijk moderne ringkerntransformatoren toegepast. In de eerste hoofdstukken van dit boek wordt de bouw en de werking van buizen toegelicht, daarna worden elementaire schakelingen bekeken. Deze kennis wordt daarna gebruikt voor de theorie van de eindtrappen en klankregelingen. Er zijn ook twee wat meer losstaande hoofdstukken opgenomen over vervorming en over ruis, microfonie en andere nare bijgeluiden. Vier hoofdstukken beschrijven complete ontwerpen. Hierbij worden van alle onderdelen de berekeningen en de ontwerpoverwegingen gegeven, waarbij verwezen wordt naar de bijpassende hoofdstukken. Tenslotte worden er veel tips gegeven voor de werkelijke

6.6 Elektronica boeken van Uitgeverij Segment (Elektuur)

bouw en voor het opmeten van de resultaten.



Voorkomen is beter, over foutzoeken in analoge schakelingen

Auteur: R. A. Pease

Formaat: 17 x 23,5 cm, gebonden

Omvang: 246 pagina's, geïllustreerd

ISBN-10: 90-5381-088-9

ISBN-13: 978-90-5381-088-0

Prijs: € 34,50

Foutzoeken, zowel in het ontwerpstadium van apparatuur en IC's als in defecte apparatuur, vergt een methodische en logische aanpak. Als ontwerper van analoge schakelingen bij National Semiconductor heeft Bob Pease methoden en technieken ontwikkeld voor het "debuggen en troubleshooten" van analoge schakelingen. De oorspronkelijke artikelen werden uitgebreid en aangevuld met twee extra hoofdstukken en een appendix. Dat levert een aantal duidelijke uiteenzettingen en "bewezen" methodes op, die u optimaal voorbereiden om betrouwbare analoge ontwerpen te kunnen maken. Dit boek laat u ontdekken dat foutzoeken ook met behulp van eenvoudige apparatuur kan gebeuren (wat dacht u van een gewone AM-radio) en laat u kennismaken met een aantal step-by-step procedures.

Bestellen

www.elektuur.nl

www.elektronicaboeken.nl

www.nl.bol.com

www.beslist.nl

www.bruna.nl

www.wilbro.nl

www.nlstore.nl

www.broese.net

6.6 Elektronica boeken van Uitgeverij Segment (Elektuur)